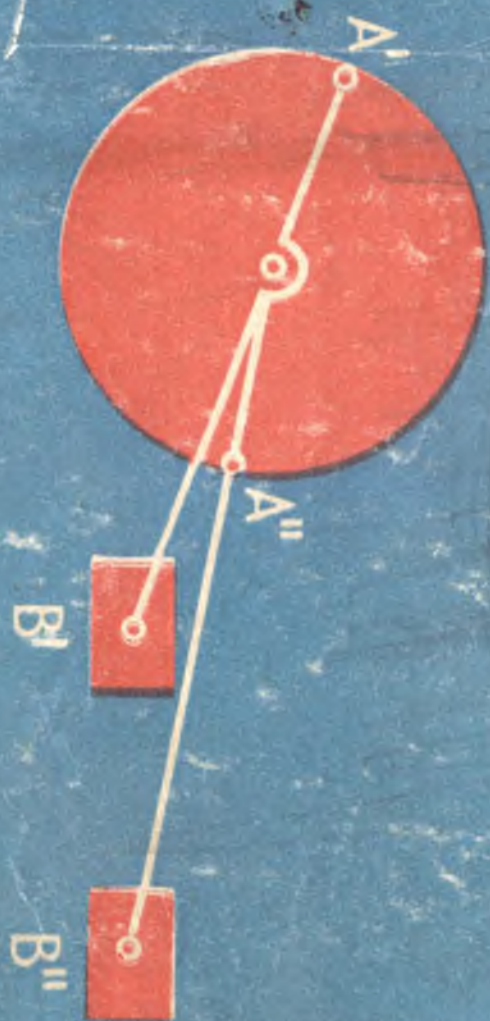


УЗБ  
624  
1129

Э.Х.Иззатов

МЕХАНИЗМ ВА  
МАШИНДАР  
НА ЗАРИЯСИДАН  
КУРСАВИЙ  
ЛОЙХАЛДАШ

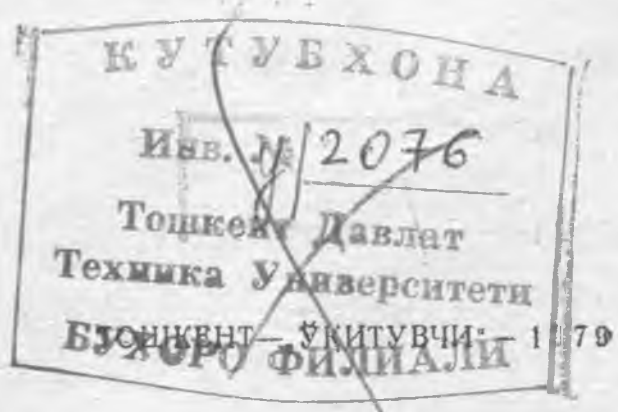


З. Х. ИЗЗАТОВ

МЕХАНИЗМ ВА  
МАШИНАЛАР  
НАЗАРИЯСИДАН  
КУРСАВИЙ  
ЛОЙИХАЛАШ

ЎК

Библиотека  
Бух. гип в ЛП  
600ч.



Ўқув қўлланмасида ричагли, тишли ва кулачокли механизмлар лойиҳа-лашнииг есесий назарий масалалари, механизмларни анализ ва синтез қи-лиш учун ҳисоблаш методлари баёни этилган. Лопиҳалаш топшириклари бе-рилган ва уларни ҳисоблаш гартиби мисолларда кўрсатилган.

Қўлланма олий техника ўқув юртларининг студентларига мўлжалланган. Қўлланмадан аспирантлар, инженер-техник ва илмий ходимлар ҳам фойда-ланишлари мумкин.

## СҮЗ БОШИ

Механизм ва машиналар назариясида лойиҳалашга жуда катта аҳамият берилади. Лойиҳалашнинг ҳисоблаш методларини чуқур ўрганиш студентнинг бу фаннинг илмий асосларини чуқур ўзлашгирлишига ёрдам беради.

Сунгги йилларда Ўзбекистонда техника тараққиёти ва фаннинг ривожланиши механизм ва машиналар назариясига кўпгина янгиликлар кирилди. Механикавий катталикларнинг халқаро системаси (СИ), техникага оид янги терминлар ҳамда белгилар ва бошқалар шулар жумласидандир.

Механизмлар, асосан, икки усулда ҳисобланади ва улар ўзаро боғланган бўлади. Бу эса студентнинг курсавий лойиҳалаш процессида ўз ҳисобнининг қанчалик тўғри бажарилганини ўқингувчи ёрдамисиз билиши ва узи текшира олиши учун имконият яратади.

Графикавий маълумотларнинг масштаб коэффициентларини танлаб олининг катта аҳамият берилган. Бунинг натижасида математикавий сон қийматлари чизма кесмаларига мосланиб, ҳисоблаш ва текшириш енгиллаштирилган. Студентнинг билим давоми, ўқув планида курсавий лойиҳалашга ажратилған вақт ҳамда олий ўқув юрти бўлимларининг ихтисослашганлигига қараб, курсавий лойиҳалаш топширикларининг ҳажми ва мазмуни ҳар бир аниқ ҳол учун мослаб берилиши мумкин. Листнинг ҳажмини механизмнинг текшириладиган вазиятлари сонига яратша белгилаш мумкин.

Қўлланманинг қўл ёзмаси билан танишиб, қимматли маслаҳатлар берганликлари учун ЎзФА мухбир аъзоси, т. ф. д., проф. Х. Х. Усмонхўжаевга, Тошкент темир йўл инженерлари институтининг кафедра мудири, т. ф. д., проф. А. Д. Мошковга, техника фанлари кандидатлари, доцентлар А. Ҳ. Ҳамидов, И. И. Қурбонов, А. Усмонов, М. Р. Мавлявиев ва бошқаларга муаллиф чуқур миннатдорчилик билдиради.

Бу китоб лойиҳалашга оид ўзбек тилида ёзилган биринчи  
қўлланма бўлгани учун уни айрим камчиликлардан холи деб  
айта олмаймиз. Шунинг учун қўлланма ҳақидаги фикр ва му-  
лоҳазаларни муаллиф миннатдорчилик билан қабул қиласи.  
Бизнинг адрес: Тошкент, 129, Навоий кўчаси, 30. „Ўқитувчи“  
нашиётининг Умумтехника адабиёти редакцияси.

*Муаллиф.*

## КИРИШ

Механизм ва машиналар назарияси курси механизмлар яратиш ва уларни тадқиқ этишнинг назарий ва амалий методларини ургатади. Яхши сифатли машина яратиш (лойиҳалаш) инженерлик ҳисоблаш усулларига асосланади. Бу усуллар жумласига, асосан, механизмнинг схемасини тұғри танлаш ва уни кинематикавий ва динамикавий ҳисоблаш киради.

Техника тараққиётини янада тезлаштириш учун ишлаб чиқаришнинг барча соҳаларидағи технологик процессларни комплекс механизациялаштириш ва автоматлаштириш зарур булади. Бу масалани ҳал қилиш учун ҳар бир саводли инженер механизм ва машиналар лойиҳалаш, уларни текшириш ва тақомиллаштириш усулларини чуқур билиши керак.

Механизм ва машиналар назарияси (ММН) курсидан курсавий лойиҳалаш иши бажарылғандагина бу курс яхши ва пухта үзлаштирилади. Курсавий лойиҳалаш эса курснинг асосий қысмларини уз ичига олади.

Механизм ва машиналар назарияси курси машинасозлик ихтисосларидан иккى семестр давомида үтилади. 4-семестрда, асосан, ричагли механизмларни структуравий, кинематикавий ва кинетостатикавий текширишлар юзасидан, 5-семестрда эса тишли ва кулачоклы механизмлар юзасидан курсавий лойиҳалар бажарылади.

Студент механизм таркибидаги звено, кинематикавий жуфт ва группанинг геометрик, кинематикавий ва динамикавий параметрларини ҳисоблаш усуллари асосини яхши билса, у мураккаб тузилган ҳар қандай механизмни бемалол лойиҳалашы ва тадқиқ этиши мүмкін.

Шуларни назарда тутиб, құлланманинг гузилиш (ёзилиш) гартиби үзгартырилди. Курсавий лойиҳалашнинг топшириқлари бир-бирига боғлиқ қолда берилмай, конкрет (ричагли, тишли, кулачоклы) механизм лойиҳалаш методлари батафси і ёритилди.

Формулаларни келтиріб чиқариш, құлланылған усулларни исбетлаш каби масалалар үқув адабиётида батафсыл берилгани учун бу құлланмада келгірілмади.

Құлланма мұаллифи студенттіңг:

1) умумий усулларни конкрет механизм лойиҳалаш ва уни анализ қилишга татбиқ этиши ва бу усулларни чуқур үрганиши;

2) курсавий лойиҳалашда керак бұладиган ҳисоблаш масалаларини үзи ҳал қила олиши;

3) лекция, амалий ва лаборатория машғулотларида олган назарий билеммелині курсавий лойиҳалашда мустаҳкамлаши көреклигини назарда тутди.

Бу құлланма механизм ва машиналар назарияси үқув планы асосида ёзилди. Бу китоб олий техника үқув юртлари күндүзги бұлимнинг студентлари учун курсавий лойиҳалашдан құлланма бўлиб, ундан машинасозлик олий үқув юртлари сиртқи ва кечки бўлимларининг студентлари, ёш үқитувчилар ва аспирантлар ҳам фойдаланиши мумкин.

Құлланмада, асосан, ясси (текис) механизмлар лойиҳалаш ва уларни текшириш усуллари берилади. Лойиҳалаш ва текшириш усулларни тушуниш ва үзлаштиришни осоилаштириш учун, асосан Ассур группаларидан гузилган механизмлар кўриб чиқилади.

Бу құлланма авторнинг А. Беруний номидаги Тошкент политехника институтининг „Механизм ва машиналар назарияси“ кафедрасида олиб борган кўп йиллик педагоглик тажрибаси асосида ёзилди. Уни ёзинша рус тилида нашр этилган курсавий лойиҳалаш құлланмаларидан ҳам кеңг фойдаланилди.

## I. РИЧАГЛИ МЕХАНИЗМЛАР ЛОЙИХАЛАШ

### 1. РИЧАГЛИ МЕХАНИЗМЛАРНИНГ ТУРЛари ВА УЛАРНИНГ ТЕХНИКАДА ИШЛАТИЛИШИ

Ричагли механизм таркибидан фақат айланма ва илгарилама қўйи кинематикавий жуфтлари бўлган ричагли звенолардан тузилган механизmdir. Ричагли механизмлар бошқа механизмлар узатганига қарагандан катта куч ва қувват узатади, уларнинг фойдали иш коэффициенти юқори бўлади.

Ричагли механизм звеноларини тайёрлаш осон, улар мустаҳкамлиги ва ейилишга чидамлилиги юқори бўлгани учун қуввати катта бўлган прессларда, болғаташ машиналарида кенг кўламда ишлатилади.

Оддий ричагли механизм икки звеноли булиб, у қўзғалмас стойка ва унинг атрофида айланувчи қўзғалувчан звенодан иборат. Электрик двигатель, вентилятор, янчиш барабани ва бошқалар ана шундай механизмга мисол бўла олади.

3 звеноли ва 4 звеноли шарнирли мураккаб механизмлар турли машиналарнинг конструкцияларида кўп ишлатилади.

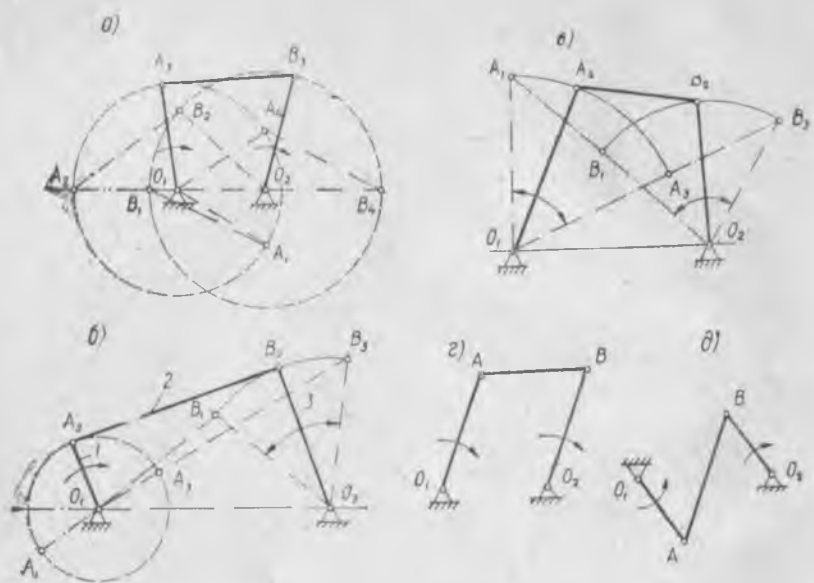
Ричагли механизмлар тузилишига кура, бир неча турга бўлинади:

**1. Шарнирли тўрт звеноли ричагли механизм.** Бу механизм фақат айланма кинематикавий жуфтлар (шарнирлар) дан тузилган булиб, у мустақил механизм булиши ёки мураккаб механизмларнинг таркибий қисмини талқиъ этиши мумкин. Улар куриниши жиҳатидан бир неча группага бўлинади:

а) икки кривошипли ричагли механизм; бунда етакчи ва етакланувчи звенолар тула айланади (1-шакл, а); бу механизмлар сув насосларида ишлатилади;

б) кривошип-коромислоли механизм; бунда етакчи звено тўла айланганда етакланувчи звено бурилма-қайтар (тебранма) ҳаракат қиласи (1-шакл, б); бу механизм звено-кривошип ( $360^\circ$  га тўла айланувчи звено) 1, звено-шатун (мураккаб ҳаракатланувчи звено) 2 ва звено-коромисло ( $360^\circ$  га тула айланмайдиган звено) 3 дан иборат. Бу механизм хамир қориш, пичан ағдариш машиналари ва бошқа машиналарда ишлатилади;

в) икки коромислоли механизм; бу механизм ёрдамида бир звенонинг унча катта булмаган (кўпинча,  $90^\circ$  гача



1-шакл.

бұлған) бурилиш ҳаракати иккінчи звенонинг кичик бурилиш ҳаракатига айлантирилади (1-шакл, ө).

Икки коромислоли механизмларнинг узагиши сони үзгарувчан бўлиб, звенонарнинг бошланғич вазияти ва үлчамларига боғлиқ. Механизмнинг узатиш сони мусбат ва манфиий бўлиши мумкин. Агар механизмнинг етакчи ва етакланувчи звенолари бир томонга айланса (1-шакл, 2), узатиш сони мусбат, қарама-қарши томонга айланганда эса (1-шакл, ө), манфиий бўлади.

Икки коромислоли механизм ёрдамида маълум оралиққа тебраңма (бурилма-қайтар) ҳаракат узатиш ва етакланувчи звенонинг бурилиш бурчагини керакли қийматга үзгартириш мумкин.

**2. Кривошип-ползуны механизм.** Бу механизм, асосан, кривошип 1, шатун 2 ва құзғалмас йұналтирувчи бүйлаб илгарилама-қайтар ҳаракатланувчи звено — ползуни 3 дан иборат (2-шакл). Бу механизм ёрдамида кривошиппнинг айланма ҳаракати ползуннинг илгарилама-қайтар ҳаракатига айлантирилади. Бундай механизмлар компрессорларда, пичан ўрыш машиналарида, прессларда ва



2-шакл.

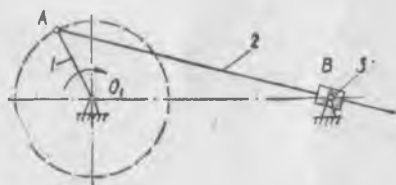
насосларда күп ишлатилади. Бу механизм ёрдамида ползуннинг илгарилама ҳаракатини кривошиппинг айланма ҳаракатига айлантириш ҳам мумкин. Масалан, поршенли ички ёнув двигателларида ва буғ машиналарида ана шундай механизм ишлатилади. Кривошип-ползунли механизмлар марказий (агар кривошиппинг айланиш маркази ползуннинг ҳаракатланиш чизигида бўлса) ва номарказий (агар кривошиппинг айланиш маркази ползуннинг ҳаракатланиш чизигида ётмаса) бўлади.

**3. Кулисали механизм.** Агар тўрт звеноли шарнирли механизмнинг таркибидаги ползун қўзғалувчан йўналтирувчида ҳаракатланса, бундай механизм *кулисали механизм* дейилади. Қўзғалувчи йўналтирувчи звено 2 кулиса деб, унда ҳаракатланувчи звено 3 эса тош деб аталади (З-шакл, а, б, в).

Кулисали механизмлар тикув машиналарида, рандалаш станогида, тўқув автоматларида, полиграфик машиналарда ва бошқаларда күп ишлатилади. Кулисали механизмлар Ассур группаси З-турининг кривошипга боғланишидан ҳосил бўлади. Улар боғланиш турига кўра икки хил бўлади.

Биринчи хил кулисали механизmdа (З-шакл, а)  $O_1A$  кривошип кулисага таъсир қиласди. Бунда кулиса мураккаб ҳаракатланиди, тош эса қўзғалмас стойка ўқига нисбатан тебранма ҳаракат қиласди. Бундай механизмлар хамир қориш, жун тозалаш, картошка ковлаш машиналарида куп ишлатилади.

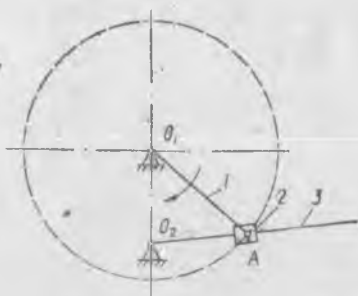
а)



б)



в)



З-шакл,

Иккинчи хил кулисали механизмда (3-шакл, б) кривошип тошга таъсир этади. Бу механизмда кулиса тебранма ҳаракат қиласи, тош эса кулиса билан тебраниб, кривошип айланаси бўйлаб ҳаракатланади.

Кулисали механизмларнинг кулисаси тула айланиши ёки маълум бурчакка бурилиб, тебранма ҳаракат қилиши мумкин. Агар кривошипнинг узунлиги  $r$  кривошип билан кулиса стойкалари  $h$  оралиғидан катта  $r > h$  бўлса, кулиса  $360^\circ$  га тула айланади, акс ҳолда эса тебранма ҳаракат қиласи (3-шакл, в).

## 2. РИЧАГЛИ МЕХАНИЗМЛАРНИНГ ТУЗИЛИШИНИ АССУР—АРТОБОЛЕВСКИЙ УСУЛИ БИЛАН ТЕКШИРИШ

Машинасозликда текис механизмлар кўп ишлатилади. Шунинг учун бу механизмларниң тузилиш класификацияларини кўриб чиқамиз.

Ҳозирғи замон кинематикавий ва кинетостатикавий текшириш, шунингдек, механизмларни синтез қилиш усуллари уларнинг структуравий класификацияси билан узвий боғланган. Ассур — Артоболевский структуравий класификацияси қуйи кинематикавий жуфтлари булган ричагли текис механизмларниң рационал класификацияси бўлиб, барча текис механизмларниң тузилишини анализ қилиш ана шу усулга асосланади.

Бу усулнинг афзаллиги шундаки, унда механизмларнинг кинематикасини, кинетостатикаси ва динамикасини текшириш методлари бир-бирига боғланади.

Хар бир ричагли текис механизм стойка, етакчи звено ва бир неча оддий кинематикавий занжирдан тузилган мураккаб системадан иборат.

Етакчи звенолар сони механизмининг эркинлик даражаси сони билан белгиланади. Қўйидаги мисоллардаги етакчи звеноси битта бўлган механизмларни кўриб чиқамиз.

В класс кинематикавий жуфтни ҳосил қилган стойка  $O$  билан етакчи звено  $I$  нинг йиғиндинсини шартли равиша I класс механизм деб қабул қиласиз (4-шакл). Бу механизм П. Л. Чебышев формуласига кўра, битта эркинлик даражасига эга, яъни:

$$W = 3n - 2p_5 - p_4 = 3 \cdot 1 - 2 \cdot 1 - 0 = 1. \quad (1)$$



4-шакл.

Бунга уланган кинематикавий занжирлар бу механизмининг эркинлик даражасини узгартираслиги, яъни бу звенога уланадиган кинематикавий занжирнинг эркинлик даражаси нолга тенг булиши керак Эркинлик дъражаси нолга тенг ( $W = 0$ ) бўлган бундай группа *Assur группаси* деб аталади.

Күпинча, механизм таркибіда олий кинематикалық жуфті бұлса, у қуйын кинематикалық жуфтілік битта құшымча звено болып алмаشتырылған, яңги механизм олинади. Ү қолда,  $p_4 = 0$  бўлиб, Чебишев формуласи қуйидагича ёзилади:

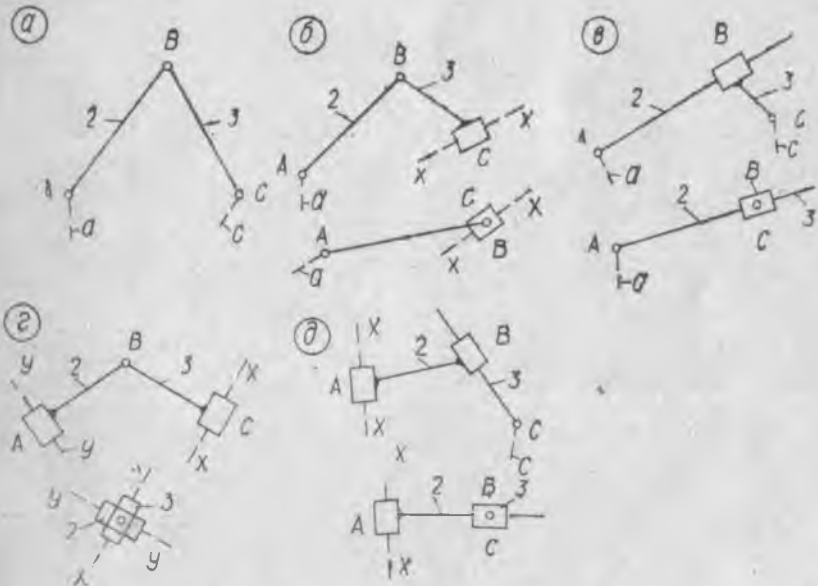
$$W = 3n - 2p_s = 0,$$

бундан  $p_s = \frac{3}{2} n$ , яъни Ассур группасига киругучи V класс кинематикалық жуфтлар сони  $p_s$  звенолар сони  $n$  дан 1,5 марта ортиқ бўлиши керак. Звенолар сони  $n$  га бир неча 2, 4, 6, ... жуфт сонлар берабер, унга мос 3, 6, 9, ... V класс кинематикалық жуфтлар сонини оламиз, яъни:

$$\begin{aligned} n &= 2, 4, 6, 8, \dots \\ p_s &= 3, 6, 9, 12, \dots \end{aligned} \quad (a)$$

Демак, юқорида кўрсатилган шартни бажарувчи турли кўришишдаги Ассур группалари ҳосил қилинди. Бу усул билан олинган группалар II, III, IV, V, ... классларга бўлинади. Биринчи группанинг звенолар сони  $n = 2$ , кинематикалық жуфтлар сони  $p_s = 3$  бўлиб, бу группа II класс 2 тартибли группа деб аталади (5-шакл).

Бу группа B нуқтада битта ички ва A билан C нуқталарда иккита ташқи V класс айланма кинематикалық жуфтлардан иборат.



5-шакл.

Ташқи кинематикавий жуфтларнинг сонига қараб, группанинг тартиб сони аниқланади.  $ABC$  группа  $A$  ва  $C$  элементлари воситасида исталган бошқа механизмнинг  $a$  ва  $c$  звено-ларига уланади. II класс группаси 5-шакл,  $a$  да кўрсатилган уч шарнирли турдан ташқари, айланма ва илгарилама жуфтларнинг жойланиши ва сонига қараб, яна тўргта турга эга (5-шакл,  $b$ ,  $v$ ,  $g$ ,  $d$ ).

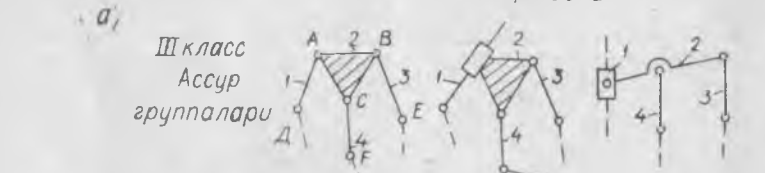
Биринчи класс механизмга Ассур группаларининг кетмагет уланишидан мураккаб текис механизмлар ҳосил қилинади. Группанинг битта звеноси етакчи звенога, иккинчиси эса стой-кага уланади. Қолган группалар эса олдинги группанинг ис-талган звеноларига уланиши мумкин. Механизм таркибида фақат II класс группалари бўлса, бундай механизм II класс механизми дейилади.

Сўнгги звено ва кинематикавий жуфтлар йигиндисидан ту-зилган иккита группанинг кўриб чиқамиз. (а) муносабатга кў-ра, бу группа тўртта звено ( $n = 4$ ) ва олтига V класс ( $p_s = 6$ ) кинематикавий жуфтдан тузилиши керак. 10-шакл,  $a$  да кўрсатилган очиқ мураккаб кинематикавий занжир  $ABC$  базисли звено ва унга уланган учта  $AD$ ,  $BE$ ,  $CF$  звенолардан иборат. Бу занжир III класс 3-тартибли группа деб аталади. Бу груп-па ҳам айланма ва илгарилама кинематикавий жуфтларнинг жойланиши ва сонига қараб, бир неча турга эга бўлади (6-шакл,  $a$ ). Худди шунингдек, 4 звено ва 6 қўйи кинематикавий жуфтли занжир ҳам кўрсатилган (6-шакл,  $b$ ).

Бу группада иккита  $\triangle ACB$  ва  $\triangle DEF$  базисли звенодан ташқари, берк контурни ҳосил қилувчи бикр икки звено бў-либ, у қўзғалувчан тўрт томонли берк  $ABDE$  контурни ҳосил қилади.

4 томонли қўзғалувчан берк контурли группа IV класс группа деб аталади. Демак, II класс группага тўғри чизиқли

### 3-тартибли



6-шакл.

контур, III класс группага уч томонли бирк берк контур, IV класс группага түрт томонли құзғалувчан берк контур киради ва ҳоказо. V, VI класс группаларига беш томонли (6-шакл, в), олти томонли берк құзғалувчан контурлы звенолар киради. Шунинг учун Ассур группалари контур классига қараб, классларга булинади.

Контурнинг класси звено томонини ташкил қилған кинематикавий жуфтларнинг сони билан аниқланади. Группанинг класси унинг таркибидаги контурнинг класси билан, тартиби эса әркін (ташқи) кинематикавий жуфтларнинг сони билан аниқланади. Механизмнинг класси унинг таркибидаги группаларнинг әнг юқори-класси билан белгиланади.

Группани ташкил қилған звенолар ва кинематикавий жуфтлар сони, шунингдек, әркін жуфтлар сони группанинг классига таъсир қилмайды. Масалан, 6 та звено ва 9 та кинематикавий жуфтдан иборат, Ассур группаси III класс (7-шакл, а), IV класс (7-шакл, б) ва V класс (7-шакл, в) группа булиши мүмкін.

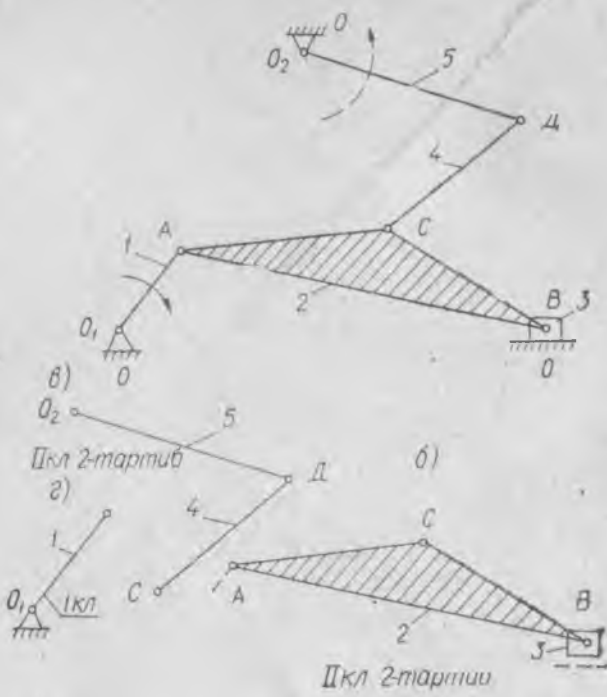
Механизмни структуравий группаларга ажратиб, унинг классини аниқлашдан мақсад шуки, бир классга кирувчи барча группанинг фақат үзігі тааллуқли ҳисоблаш усули мавжуд, бу усулни бошқа класс группаларга татбиқ этиб бұлмайды. Демек, ҳар бир структуравий группа классини аниқлаб, бу группадан тузилған механизмнинг кинематикасини ва кучларини ҳисоблаш усули танлаб олилади.

Механизмни структуравий группаларга ажратиш ёки тузилишини текшириш учун етакчи звенодан әнг узоқда жойлашған икки звено ва уч кинематикавий жуфтли Ассур группаси механизмдан ажратилади. Шунда механизмнинг қолған қисмининг құзғалувчанлик дараражалари сони үзгартасынан көрек.

Агар 2 звено ва 3 жуфтли группани ажратиш мүмкін бул-маса, 4 звено ва 6 жуфтли бошқа группани ажратиш керак. Шундай қилиб, етакчи звено ва стойка қолғунча механизмнинг группаларини тарқатиш зарур.



7-шакл.



8-шакл.

Механизм группаларга тарқатилиб, ҳар бир группанинг класси аниқланади ва уларнинг ўзаро уланиши ёзилиб, механизмнинг структуравий формуласи тузилади.

**Мисол.** 8-шаклда берилган ричагли механизмнинг тузилиши текширилсін.

**Е ч и ш:** механизмнинг құзғалуучанлық даражасини Чебышев формуласы ёрдамда ҳисоблаң топамиз. Механизмда 5 та ( $1, 2, 3, 4, 5$ ) құзғалуучи звено ( $n = 5$ ) ва 7 та [ $(O_{1(0,1)}, A_{(1,2)}, B_{(2,3)}, C_{(3,4)}, D_{(4,5)}, O_{2(5,0)}$ ] V класс кинематикаий жуфт ( $p_5 = 7$ ) бор. У ҳолда,  $W = 3n - 2p_b - p_4 = 3 \cdot 5 - 2 \cdot 7 - 0 = 1$ . Демек,  $W = 1$  бўлгани учун механизмда битта етакчи звено олинади. Бу етакчи звенонинг олинишига қараб, механизмнинг класси ҳар хил булиши мумкин.

А)  $O_1A$  кривошипни етакчи звено деб белгилаймиз. Механизмдан Ассур группаларини кетма-кет ажратамиз. Етакчи звенодан энг узоқда ётган  $4-5$  звеноларни механизмдан ажратамиз. Бу группанинг (8-шакл 6) эркинлик даражаси  $W = 3n - 2p_b = 3 \cdot 2 - 2 \cdot 3 = 0$  булиб, у II класс, 2-тартибли, 1-тур

## 6. КРИВОШИП-ПОЛЗУНЛИ МЕХАНИЗМ ЛОЙИХАЛАШ

**1-мисол.** Кривошип-ползунли механизм ползунининг уртacha тезлиги  $v_{yp}$ , кривошиппининг айланишлар сони  $n$  ва кривошип узунлигининг шатун узунлигига нисбати  $\lambda = \frac{r}{l}$  асосида кривошипи ва шатунининг узунлиги аниқлансин.

Ечиш: бу вариант, асосан, марказий кривошип-ползунли механизмлар лойиҳалашда қулланилади.

Кривошип бир марта тұла айланғанда ползун  $2H$  масофага силжиди. Ползуннинг бир минутдагы йүли эса  $2Hn$  булади.

Ползуннинг уртacha тезлиги:

$$v_{yp} = \frac{2Hn}{60} = \frac{Hn}{30} \text{ м/сек.}$$

Бундан ползуннинг силжиши қиймати:

$$H = \frac{30 v_{yp}}{n}.$$

Кривошиппининг узунлиги:

$$r = \frac{H}{2}.$$

Шатуннинг узунлиги:

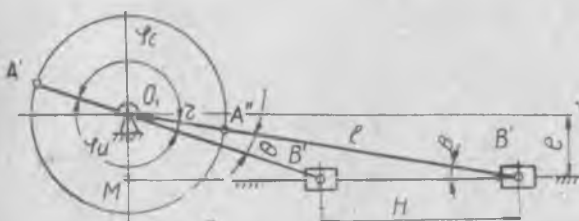
$$l = \frac{r}{\lambda}.$$

**2-мисол.** Кривошип-ползунли механизм ползуннинг йүли  $H$ ,  $\lambda = \frac{r}{l}$  нисбат ва тезликкниң үзгариш коэффициенти  $K_v$  асосида кривошиппининг радиуси  $r$ , шатуннинг узунлиги  $l$  ва но марказий силжиш қиймати — эксцентрикситет  $e$  аниқлансиц.

Ечиш: 1) бурчак  $\theta$  ҳисоблаб топилади:

$$\theta = 180^\circ \frac{K_v - 1}{K_v + 1},$$

2) косинуслар теоремасидан фойдаланиб,  $O_1B'B''$  учбурчак-ликдан (10-шакл) күйидаги ифода ҳосил қилиннади:



10-шакл. Виб-кэ ИПФ 1004  
Бұж ТИП, РТ

$H^2 = (l+r)^2 + (l-r)^2 - 2(l+r)(l-r) \cos \theta$ ,  
берилган  $r = \lambda l$  ўрнига қўйилиб, соддалаштирилгандан кейин шатуннинг узунлиги аниқланади:

$$l = \frac{H}{\sqrt{2[(1-\cos \theta) + \lambda^2(1+\cos \theta)]}}; \quad (6)$$

3) кривошиппнинг узунлиги топилади:

$$r = \lambda l;$$

4)  $O_1MB''$  учбурчакликдан эксцентриситет  $e$  нинг қиймати қўйидаги формула ёрдамида аниқланади:

$$e = (l+r) \sin \theta. \quad (7)$$

Бу формуладаги  $\sin \beta$  синуслар теоремаси ёрдамида  $O_1B'B''$  учбурчакликка оид  $\frac{H}{\sin \theta} = \frac{l-r}{\sin \beta}$  ёки

$$\sin \beta = \frac{l-r}{H} \sin \theta$$

нисбатдан аниқланади.

## 7. КУЛИСАЛИ МЕХАНИЗМ ЛОЙИҲАЛАШ

**Мисол.** Кулиса учининг силжиши  $H$  ва уртача тезликнинг ўзгарувчанлик коэффициенти  $K_\omega$ , кривошип билан кулисанинг

марказлар оралиғи  $h$  асосида кривошиппнинг радиуси  $r$  ва кулисанинг узунлиги  $l$  аниқлансин.

Ечиш: 1)  $\varphi_u$  ва  $\varphi_c$  бурчаклар аниқланади (11-шакл):

$$\varphi_u + \varphi_c = 360^\circ,$$

$$K_\omega = \frac{\varphi_u}{\varphi_c},$$

бундан

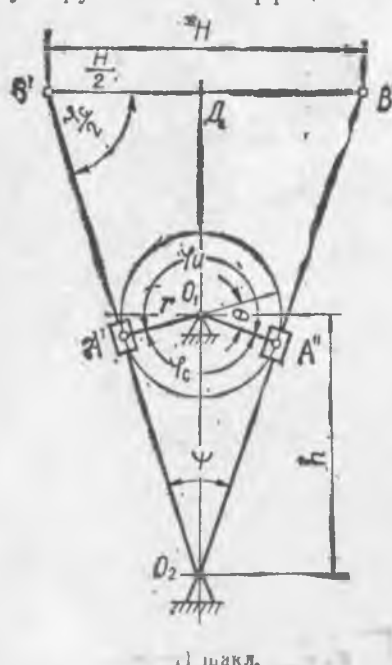
$$\varphi_c = 360^\circ \frac{1}{K_\omega + 1};$$

$$\varphi_u = 360^\circ - \varphi_c = 360^\circ \frac{K_\omega}{K_\omega + 1};$$

2) кулисанинг тебраниш бурчаги  $\psi$  шаклдан аниқланади:

$$\psi = \theta = \varphi_u - 180^\circ;$$

3)  $O_1A''O$ , учбурчакликдан кривошиппнинг радиуси аниқланади:



$$r = h \sin \frac{\psi}{2};$$

4)  $O_2DB'$  учбурчакликдан кулисанинг узунлиги аниқланади

$$l = \frac{H}{2 \sin \frac{\psi}{2}}.$$

## II. РИЧАГЛИ МЕХАНИЗМЛАРНИНГ КИНЕМАТИКАСИНИ ТАДҚИҚ ЭТИШ

Механизмларнинг кинематикасини текширишда қуйидаги асосий масалалар ҳал қилинади:

1) механизм звеноларининг вазияти ва айрим нуқталарининг траекторияси аниқланади;

2) звеноларнинг бурчагий тезликлари ва айрим нуқталарининг чизигий тезликлари аниқланади;

3) звеноларнинг бурчагий тезланишлари ва айрим нуқталарининг чизигий тезланишлари аниқланади.

Күпинча, технологик процесслик бажариш жараёнида звенолар ҳаракатланган пайтда маълум вақт ичида бирор вазиятда туриши ва унинг айрим нуқталари берилган эгри чизиқ бўйича ҳаракагланиши талаб қилинади. Масалан, машина-автоматларнинг технологик процесслик автоматик бажариш механизмида кейинги бирор операцияни бажариш учун механизм звенолари керакли вазиятда тўхташи ва маълум вақт ўтгандан сунг яна ҳаракатлана бошлаши керак бўлади. Бундай операцияни бажарувчи механизм яратишда, албатта, кинематикавий параметрларни билиш шарт бўлади. Шунингдек, айрим механизмлар лойиҳалашда уларни машинанинг ҳажмий бушлиги ичига жойлаштириш талаб қилинади. Бундай ҳолда механизмнинг габарит ўлчамларини аниқлаш учун унинг етакчи звеноси тўла айлангандаги бошқа звеноларининг силжиши ўлчамларини аниқлаш зарур бўлади. Бу масала механизм вазиятлари ва нуқталарининг траекторияси чизилгандан кейин ҳал қилинади.

Машина ҳаракатини созлаш учун (маховик массасини ҳисоблашда) механизм звенолари тезликларининг нисбатини билдиш керак. Шунингдек, звенонинг тезланишини топиб, унга таъсир этувчи динамикавий кучлар (инерция кучлари) аниқланади. Бу кучлар звеноларнинг мустаҳкамлигини ва кинематикавий жуфтлардаги ишқаланиш кучларини ҳисоблашда керак бўлади. Текис механизмларни кинематикавий текширишда графикавий, графоаналитикавий ва аналитикавий усувлар қўлланади. Графикавий усул оддий бўлиб, амалий ҳисоблашда етарли аниқликни таъминлайди.

Графикавий ҳисоблаш мумкин бўлмаганда (етакланувчи звеноларнинг силжиши жуда кичик бўлганда) ва жуда катта

апиқлик билан ҳисоблаш талаб қилинганды аналитикавий усулдан фойдаланилади. Инженерлик ҳисоблаш практикасіда, асосан, құтбий план ва кинематикавий диаграмма методлари көнгүлланилади.

## 1. МЕХАНИЗМНИ КИНЕМАТИКАВИЙ ТЕКШИРИШ

Механизмни кинематикавий текшириш учун шу механизм барча звеноларининг үлчамлари, кинематикавий схемаси ва етакчи звеносининг ҳаракат қонуни берилған булиши керак. Етакчи звенонинг ҳаракат қонуни вақтнинг функциясы тарзіда берилади. Бу ҳаракат қонунига биноан, етакчи звенонинг вазияти аниқланади.

Етакчи звенонинг ҳар бир вазиятида унга уланган Ассур группаларининг кинематикаси текширилади. Биринчи галда етакчи звенога уланган группа звеноларининг кинематикавий параметрлари ҳисоблаб топилади-да, сүнгра унга кетма-кет уланған иккінчи группанинг кинематикаси текширилади ва ҳоқазо. Шу тарғибда қолған группалар ҳисобланади.

Агар механизмнинг етакчи звеносига бир неча группа уланған булса, уларниң кинематикаси исталған кетма-кетлік болып ҳисобланади. Механизмни кинематикавий текширишда аввал уннинг вазияти, сүнгра эса тезлик ва тезланишлари аниқланади.

## 2. МЕХАНИЗМ ЗВЕНОЛАРИНИНГ ВАЗИЯТИНИ АНИҚЛАШ

Механизм звеноларининг вазиятини чизиш учун кинематикавий жуфтларнинг құзғалмас элементларининг (құзғалмас нүкта) ва йуналтиргичнинг) чизмада берилған координатлар буйicha жойлашиш вазияти белгиланади. Етакчи звенонинг берилған вазияти күрсатилади. Структуравий группаларнинг жойланыш тартиби буйicha етакчи звенога уланған вазияти чизилади. Механизм звенолари ва құзғалмас стойкалар оралығы схемада маълум танланған) масштаб буйicha чизилади. Механизм ва машиналар назариясіда берилған параметрнинг қийматлари 1 мм кесма қанчага тенглиги (масштаб) болып тасвирланади. Масштаб  $\mu$  ҳарфи болып белгиланади. Масштаб индексидеги ҳарф кесмада қайси үлчам тасвирланғанligini билдиради.

Узунлик, тезлик на тезланиш масштаблари қўйидагича белгиланади:

$$\mu_l \left( \frac{m}{mm} \right), \mu_v \left( \frac{m/sec}{mm} \right), \mu_a \left( \frac{m/sec^2}{mm} \right).$$

Масштаб коэффициентининг қиймати

$$\mu = \frac{\text{дақиқий үлчам}}{\text{кесма узунлиги}} \quad (8)$$

формула ёрдамида ҳисоблаб топилади.

### 3. МЕХАНИЗМ ЗВЕНОЛАРИНИНГ АЙРИМ НУҚТАЛАРИ ТРАЕКТОРИЯСИНИ ЧИЗИШ

Звено нуқталарининг траекториясини чизишда ҳар бир нуқтанинг ҳаракатланиш чизигини олдиндан билиш керак. Масалан, коромисло, кулиса, кулачок ёки бошқа бир звено қўзғалмас стойка атрофида бурилма ёки айланма ҳаракат қиласа, унинг исталган нуқтаси маълум ёй ёки айланга траектория чизади. Агар звено қўзғалмас йўналтирувчи бўйлаб ҳаракатланса, унинг траекторияси тўғри чизиқдан иборат бўлади. Мураккаб ҳаракатланувчи звенонинг (шагун, базисли звено ва бошқаларнинг) айрим нуқталари траекторияси мураккаб чизик бўлади.

Механизмни кинематикавий текширишда унинг кинематикавий схемаси ва барча звеноларининг ўлчамлари берилади.

Масалан, кривошип-ползунли механизм берилган бўлсин. Унинг  $A$ ,  $S_2$ ,  $B$  нуқталарининг траекториясини чизиш талаб қилинади.

Траекторияни чизиш тартиби:

1. Механизмнинг схемаси узунлик масштаби  $\mu_l$  да чизилади (12-шакл).

2. Нуқталар ҳаракатининг маълум траекториялари чизилади.

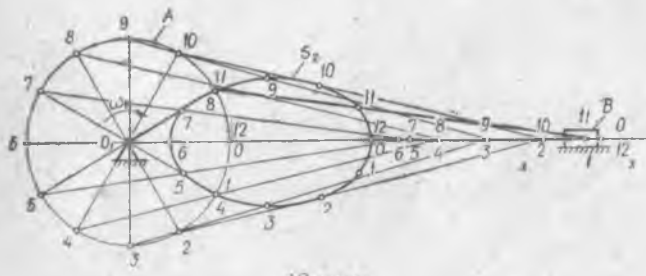
$O_1$  нуқта марказидан звено 1 нинг (кривошиппининг)  $A$  нуқтаси траекторияси — айланга ўтказилади.

$B$  нуқта тўғри чизик бўйлаб ҳаракатланади. У  $xx$  чизигида кўрсатилади.  $S_2$  нуқта мураккаб ҳаракат қиласа. Унинг траекторияси чизилади.

3.  $A$  нуқта айланаси тенг (12, 18, 24 ва ҳоказо) қисмларга бўлинади. Шулардан  $O_1A$  кривошиппининг бир вазияти белгиланади.

4.  $B$  нуқтанинг вазияти аниқланади. Бунинг учун звено 2 нинг  $AB$  узунлигига тенг радиус билан  $xx$  тўғри чизиқда кесиштириш усули бўйича ёй чизилиб,  $B$  нуқтанинг вазияти белгиланади.  $A$  ва  $B$  нуқталар тўғри чизик билан бирлаштирилади.

5. Сўнгра  $A$  нуқтадан  $AS_2$  нинг узунлигига тенг радиус билан  $AB$  звенода  $S_2$  нуқта белгиланади.



12-шакл.

6. Кривошиппинг қолған вазиятлари ҳам шу тартибда чи-зилиб,  $B$ ,  $S_2$  нүкталарнинг белгиланған вазиятлари бирлаштирилады да, уларнинг ҳаракат траекториялари чизилади. Бу траекторияни 12-шаклдан яққол күриш мүмкін.

#### 4. ЗВЕНО ҲАМДА КИНЕМАТИКАВИЙ ЖУФТНИНГ ТЕЗЛИК ВА ТЕЗЛАНИШІЛАРИНИ АНИҚЛАШНИНГ АСОСИЙ ТЕНГЛАМАЛАРЫ

Механизмларни кинематикавий текширишда графикавий усуллардан фойдаланиш учун тезлик ва тезланиш қыйматларни аниқловчы асосий муносабатларни, тезлик ва тезланиш векторларнинг йұналишини ва турлы ҳоллар учун уларнинг векторий тенгламаларини туза олишни яхши билиш керак. Қуйидә назарий механиканинг айрым қоидаларини әслатиб үтәмиз. Маңлумки, механизм таркибида илгарилама, айланма ва мураккаб ҳаракат қылувчи звенолар бұлады. Уларнинг тезлик ва тезланишларини аниқлашы усулларини күриб чиқамиз.

1. Бунда алоқида звено ва икки звенони боғловчы кинематикавий жуфт илгарилама ҳаракатланади. Бу звенонинг барча нүкталари тезлик ва тезланишининг қыймати ҳамда йұналиши бир хил бұлади (13-шакл, а):

$$\begin{aligned}\vec{v}_A - \vec{v}_B - \vec{v}_C &= \dots, \\ \vec{a}_A - \vec{a}_B - \vec{a}_C &= \dots,\end{aligned}$$

б) икки звенонинг икки нүктаси бұлган кинематикавий жуфт илгарилама ҳаракат қиласы. 13-шакл, б да илгарилама ҳаракатланувчи  $B$  жуфт күрсатылған.

Звено 2 да иктиерій  $C_2$  нүкта танлаб олинади. Звено 1 га  $S_1$  текислик бирлаштирилади. Бунда звено 2 нинг  $C_2$  нүктаси билан звено 1 нинг  $C_1$  нүктаси устма-уст тушади. У ҳолда, бу нүкталарнинг тезліктері үзаро қойылады тенглама билан боғланади:

$$\vec{v}_{C_2} = \vec{v}_{C_1} + \vec{v}_{C_2 C_1}, \quad (9)$$

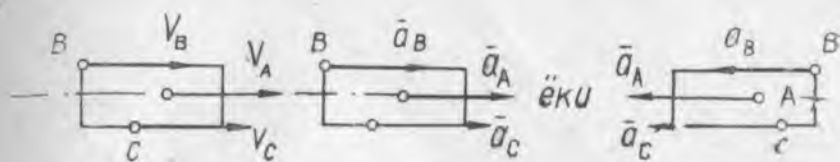
бу ерда  $\vec{v}_{C_2}$  — звено 2  $C_2$  нүктасининг тезлик вектори;

$\vec{v}_{C_2 C_1}$  — илгарилама ҳаракатдагы звено 2  $C_2$  нүктасининг звено 1 га нисбатан нисбий тезлик вектори бўлиб, у  $xx$  йұналтирувчига параллел йұналади;

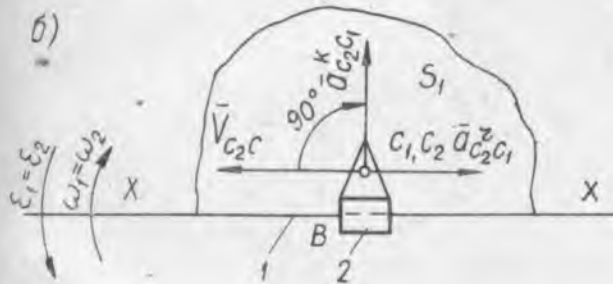
$\vec{v}_{C_1}$  — звено 1  $C_1$  нүктасининг күчирма тезлик вектори.

Звено 2 звено 1 га нисбаган силжиганда унинг  $C_2$  нүктаси  $xx$  йұналтирувчига параллел түғри чизиқ бўйлаб ҳаракат қиласы.

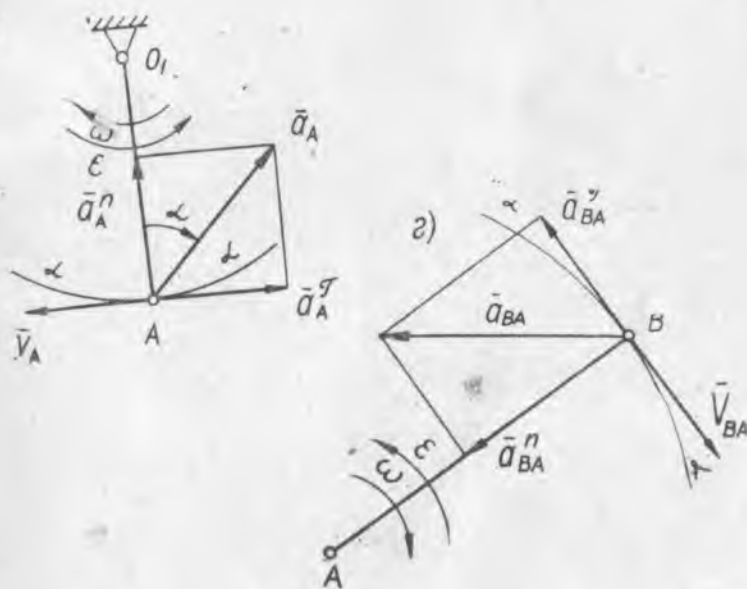
a)



б)



в)



13-шакл.

$C_2$  нүктанинг тезланиши  $\vec{a}_{C_2}$ ,  $C_1$  нүктанинг күчирма тезланиши  $\vec{a}_{C_1}$ , бурилма (кориолис) тезланиш  $\vec{a}_{C_2C_1}^k$  ва иисбий тезланиш  $\vec{a}_{C_2C_1}^r$  йигиндисига тенг:

$$\vec{a}_{C_2} = \vec{a}_{C_1} + \vec{a}_{C_2C_1}^r + \vec{a}_{C_2C_1}^k. \quad (10)$$

Бу тенгламадаги  $\vec{a}_{C_2C_1}^k$  тезланишнинг қиймати қуйидагича топилади:

$$a_{C_2C_1}^k = 2 \cdot \omega_1 \cdot v_{C_2C_1}, \quad (11)$$

бу ерда  $\omega_1$  — звено 1 нинг бурчагий тезлиги. Звенолар 1 ва 2 биге илгарилама кинематикавий жуфт ҳосил қылгани учун  $\omega_1 = \omega_2$  бўлади. Шунинг учун улар бирга айланниб, уларнинг бурчагий тезлиги ва тезланиши бир хил бўлади.

Тезланиш вектори  $a_{C_2C_1}^k$  нинг йўналиши иисбий тезлик вектори  $v_{C_2C_1}$  ни бурчагий тезлиги  $\omega_1$  нинг айланиш томонига  $90^\circ$  га буриш йўли билан аниқланади (13-шакл, б). Нисбий тезланиши вектори  $a_{C_2C_1}^r$   $xx$  йўналтирувчига параллел йўналади (13-шакл, б).

2. Звено қўзғалмас ўқ атрофида айланма ҳаракат қилади (13-шакл, в).

Бунда  $A$  нүкта чизигий тезлигининг қиймати звенонинг бурчагий тезлиги  $\omega$  билан радиус  $l_{O_1A}$  кўпайтмасига тенг:

$$v_A = \omega \cdot l_{O_1A}. \quad (12)$$

Тезликнинг вектори звенонинг бурчагий тезлиги  $\omega$  бўйича радиусга тик йўналади.

$A$  нүктанинг нормал тезланиши қуйидагича аниқланади:

$$a_A^n = \frac{v_A^2}{l_{O_1A}} = \omega^2 \cdot l_{O_1A}, \quad (13)$$

унинг вектори  $A$  нүктадан  $O_1$  нүктага томон радиусга параллел йўналади.

$A$  нүктанинг уринма тезланиши қуйидагича топилади:

$$a_A^r = \epsilon \cdot l_{O_1A} \quad (14)$$

унинг вектори бурчагий тезланиш  $\epsilon$  бўйича радиусга тик йўналади.

$A$  нүктанинг тўла тезланиши  $\vec{a}_A$  нормал ва уринма тезланишларнинг йигиндисига тенг бўлиб, қуйидагича аниқланади:

$$a_A = l_{O_1A} \sqrt{\omega^2 + \epsilon^2}. \quad (15)$$

Бу тезлапици векторининг радиус  $O_1A$  дан огиш бурчаги  $\alpha$  қўйидаги аниқланади:

$$\operatorname{tg} \alpha = \frac{a_A}{a_A^n} = \frac{\varepsilon}{\omega^2}. \quad (16)$$

3. Звенонинг икки нуқтаси бир-бираидан  $l_{AB}$  масофада бўлиб ҳаракагланади (13-шакл, 2).

Назарий механикадан маълумки, звенодаги бирор нуқтанинг (масалан,  $B$  нуқтанинг) ҳаракати икки ҳаракатдан: шу звено-даги бошқа бирор нуқтанинг (масалан,  $A$  нуқтанинг) кўчирма ҳаракатидан ва  $B$  нуқтанинг  $A$  нуқта атрофида айланма нисбий ҳаракатидан иборат бўлади. Шунга кўра, икки нуқтанинг ўзаро боғланиши қўйидаги векторий тенглама билан ифодаланади:

$$\vec{v}_B = \vec{v}_A + \vec{v}_{BA}, \quad (17)$$

бу ерда  $\vec{v}_A$  —  $A$  нуқтанинг тезлик вектори;

$\vec{v}_B$  —  $B$  нуқтанинг тезлик вектори;

$\vec{v}_{BA}$  —  $B$  нуқтанинг  $A$  нуқтага нисбатан нисбий тезлик вектори.

$B$  нуқта  $A$  нуқтага нисбатан доимо  $\alpha$  ёй бўйича ҳаракатланади. Шунинг учун  $v_{BA} \perp AB$  бўлади,  $AB$  звенонинг бурчагий тезлиги қўйидаги формула ёрдамида ҳисоблаб топилади:

$$\omega = \frac{v_{BA}}{l_{AB}}. \quad (18)$$

$B$  нуқтанинг тезланиши  $\vec{a}_B$  икки тезланишдан —  $A$  нуқтанинг кўчирма тезланиши  $\vec{a}_A$  ва  $B$  нуқтанинг  $A$  нуқтага нисбатан нисбий тезланиши  $\vec{a}_{BA}$  дан иборат бўлади:

$$\vec{a}_B = \vec{a}_A + \vec{a}_{BA}.$$

Нисбий тезланиш  $\vec{a}_{BA}$  эса нормал  $\vec{a}_{BA}^n$  ва уринма  $\vec{a}_{BA}^t$  тезланишлар йиғиндинсига teng.

У ҳолда,  $B$  нуқтанинг тезланиш вектори қўйидаги аниқланади:

$$\vec{a}_B = \vec{a}_A + \vec{a}_{BA}^n + \vec{a}_{BA}^t. \quad (19)$$

Тенгламадаги нормал тезланиш  $\vec{a}_{BA}^n$  вектори  $B$  нуқтадан  $A$  нуқтага, яъни нисбий айланиш маркази томонига параллел йўналган бўлиб, унинг қиймати қўйидаги аниқланади:

$$a_{BA}^n = \frac{v_{BA}^2}{l_{AB}} = \omega^2 \cdot l_{AB} \quad (20)$$

Үринма тезланиш вектори  $\vec{a}_{BA}$  кесма  $AB$  га тик  $\alpha$  ёйга уринма булиб, бурчагий тезланишининг айланиш томони буйича йўналади. Унинг қиймати:

$$a_{BA}^z = \left| \frac{dv_{BA}}{dt} \right| = \varepsilon \cdot l_{AB}.$$

Бурчагий тезланиш  $\varepsilon$  нинг қиймати қўйидагида топилади:

$$\varepsilon = \frac{a_{BA}^z}{l_{AB}}. \quad (21)$$

Иккинчи класс, 2-тартибли Ассур группалари ҳар бир турининг тезлик ва тезланиш қутбий планини тузиш усулларини кўриб чиқамиз.

### 5. ИККИНЧИ КЛАСС, 1-ТУР ГРУППАНИНГ ТЕЗЛИК ВА ТЕЗЛАНИШЛАРИНИ АНИҚЛАШ

Группанинг ташки  $A$  ва  $C$  кинематикавий жуфтларининг берилган  $\vec{v}_A$  ва  $\vec{v}_C$  тезликлари бўйича звеноларнинг исталган нуқталари тезликларини аниқлаймиз (14-шакл,  $a$ ).

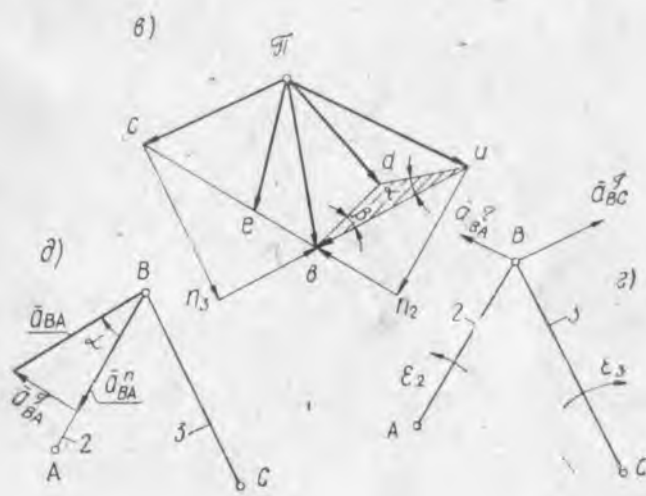
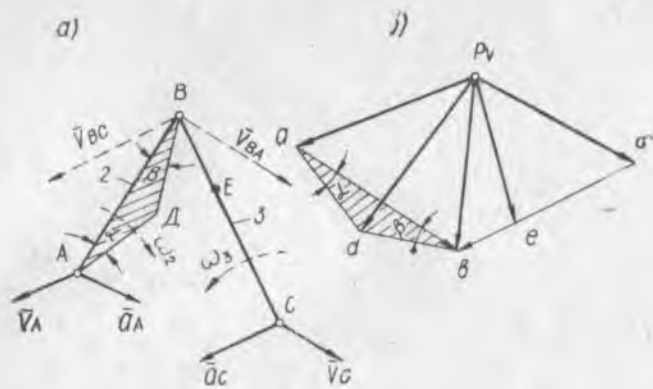
$B$  нуқтанинг тезлигини аниқлаш учун  $\vec{v}_B$  тезликини  $A$  ва  $C$  нуқталариниг  $\vec{v}_A$  ва  $\vec{v}_C$  тезликлари билан боғловчи векторий тенгламани тузамиз:

$$\begin{aligned} \vec{v}_B &= \vec{v}_A + \vec{v}_{BA}; \\ \vec{v}_B &= \vec{v}_C + \vec{v}_{BC}. \end{aligned} \quad (22)$$

Бу тенгламадаги нисбий  $\vec{v}_{BA}$  ва  $\vec{v}_{BC}$  тезликлар векторларининг йўналиши маълум.  $\vec{v}_{BA}$  тезликининг вектори звено 2 нинг  $AB$  томонига тик,  $\vec{v}_{BC}$  тезликининг вектори эса звено 3 нинг  $BC$  томонига тик йўналган. Бу тезликларниң қийматини тезликлар плани тузиш йўли билан аниқлаймиз.

Тезликлар планини чизиш учун тезлик масштаби  $\mu_v$  ( $\frac{\text{м/сек}}{\text{мм}}$ ) ни ганлаб оламиз. Тезликлар планида чизилиши керак бўлган  $A$  ва  $C$  нуқталар берилган  $\vec{v}_A$  ва  $\vec{v}_C$  тезликларининг кесма узунликлари  $\overline{p_v a}$  ва  $\overline{p_v c}$  ни (мм ҳисобида) аниқлаймиз:

$$\overline{p_v a} = \frac{v_A}{\mu_v} \text{ MM} \quad \text{ва} \quad \overline{p_v c} = \frac{v_C}{\mu_v} \text{ MM}.$$



14-шакл.

Гезликлар қутбини ифодаловчи ихтиёрий  $p_v$  нүктаны белгилаймиз. Бу нүктадан  $\vec{v}_A$  ва  $\vec{v}_C$  векторларга параллел чизиклар ўтказиб, уларга  $p_v a$  ва  $p_v c$  кесмаларни қўямиз (14-шакл, б). Сунгра пландаги  $a$  нүктадан  $AB$  томонга ва  $c$  нүктадан  $BC$  томонга тик чизиклар ўтказиб, уларнинг кесишув нүкласи  $b$  ни оламиз. Пландаги  $v_{BA}$  ва  $v_{BC}$  нисбий тезликларнинг —  $\overrightarrow{ab}$

ва  $\vec{cb}$  кесмаларнинг йуналишини (22) тенглама асосида белгилаймиз. Кутб нуқтаси  $p_v$  билан  $b$  нуқтаси бирлаштириб, группа  $B$  нуқтасининг тезлик вектори  $\vec{v}_B$  ни ифодаловчи  $\vec{p}_v \vec{b}$  кесмани оламиз.  $\vec{v}_B$ ,  $\vec{v}_{BA}$ ,  $\vec{v}_{BC}$  тезликларнинг қийматларини топиш учун чизилган кесмаларнинг узунликларини үлчаб, тезлик масштабига күпайтирамиз:

$$\vec{v}_B = \vec{p}_v \vec{b} \cdot \mu_v \text{ м/сек},$$

$$\vec{v}_{BA} = \vec{ab} \cdot \mu_v \text{ м/сек},$$

$$\vec{v}_{BC} = \vec{cb} \cdot \mu_v \text{ м/сек}.$$

Группанинг тезликлар плани чизилгандан сўнг, звенолар 2 ва 3 нинг бурчагий тезликлари  $\omega_2$  ва  $\omega_3$  нинг қийматлари аниқлапади:

$$\omega_2 = \frac{\vec{v}_{BA}}{l_{AB}} \text{ 1/с рад/сек} \quad \text{ва} \quad \omega_3 = \frac{\vec{v}_{BC}}{l_{BC}} \text{ рад/сек}$$

Бурчагий тезликларнинг йуналишини аниқлаш учун  $\vec{v}_{BA}$  ва  $\vec{v}_{BC}$  векторларни группанинг  $B$  нуқтасига қўямиз (14- шакл, а).

Чизмадан кўринадики, звено 2 соҳт стрелкаси юрадиган томонга, звено 3 эса унга тескари томонга йўналгани.

Тезликлар планинн чизиш нағижасида группанинг ҳар бир звеносида икки нуқтанинг тезлиги маълум бўлди, яъни 2 звенода  $A$  ва  $B$  нуқталар, 3 звенода эса  $B$  ва  $C$  нуқталарнинг тезликлари аниқланди.

Демак, звенодаги икки нуқтанинг тезлиги маълум бўлса, исталган учинчи нуқтанинг тезлигини ҳам топиш мумкин. Учинчи нуқта звенонинг устида ёки ёнида ётиши мумкин. Агар учинчи  $D$  нуқта  $AB$  звенонинг ёнида бўлиб, у билан  $ABD$  учбуручаклик ҳосил қиласа, унинг  $\vec{v}_D$  тезлиги  $A$  ва  $B$  нуқталарнинг  $\vec{v}_A$  ва  $\vec{v}_B$  тезликлари билан қўйидаги векторий тенгламалар воситасида боғланган:

$$\vec{v}_D = \vec{v}_A + \vec{v}_{DA}, \quad (23)$$

$$\vec{v}_D = \vec{v}_B + \vec{v}_{DB}.$$

Бу тенгламаларни графикавий усулда ечамиз. Тезликлар планиннг  $a$  ва  $b$  нуқталаридан звено 2 нинг  $AD$  ва  $BD$  томонларига (14- шакл, б)  $\vec{v}_{DA}$  ва  $\vec{v}_{DB}$  тезлик векторларининг йуналиши бўйича тик чизиқлар утказиб, кесишув нуқтаси  $d$  ни оламиз.  $d$  нуқтани қутб нуқтаси  $p_v$  билан туташтириб,  $D$  нуқтанинг тезлик вектори  $\vec{v}_D$  ни ҳосил қиласимиз. Унинг қиймати

$v_D = \overline{p_v d} \cdot \mu_v$  м/сек булади. Тезликлар планидаги  $abd$  учбұрчак-лик звено 2 нинг  $ABD$  учбұрчаклигига үшаш бұлалы:  $ad \perp AD$ ,  $bd \perp BD$  ва  $ab \perp AB$ . Тезликлар планининг бу хоссаси үшаш-лик қоидаси дейилади. Демак, звенодаги уч нүктанинг тезликлар плани шу нүкталарнинг учбұрчаклигига үшаш була-ди. Тезликлар плани учбұрчакликтегі бир томонига механизм звеносидаги учбұрчаклика үшаш учбұрчаклик томонлари чизилади. Шунда звенода учбұрчакликтегі бурчакларидаги ҳарфлар қандай жойлашған бұлса, пландаги учбұрчаклика ҳам шундай жойлашув керак, яғни звенонинг  $A, B, D$  ҳарф-лари планда  $a, b, d$  тартибида бўлиши лозим.

Агар учинчи нүкта звено чизифда ётса (масалан,  $E$  ҳарфи  $BC$  түғри чизик устида бўлса), у нүктанинг тезлиги үшаш-лик қоидасига мувофиқ қуйидагича аниқланади:

$$\frac{\overline{be}}{\overline{bc}} = \frac{\overline{BE}}{\overline{BC}},$$

бундандан

$$\overline{be} = \overline{bc} \frac{\overline{BE}}{\overline{BC}}$$

булади. Демак,  $BC$  звенода  $E$  нүкта қандай жойлашған бўлса,  $e$  нүкта тезликлар планидаги  $\overline{bc}$  кесмада ҳам шундай жойлаш-ған булади.  $E$  нүктанинг тезлиги  $v_E = \overline{p_v e} \cdot \mu_v$  м/сек.

Энди группанинг тезланишларини аниқлашга ўтамиз. 2 ва 3 звенолар ташқи шарнирлари  $A$  ва  $C$  нинг абсолют чизигий тезланишлари  $\vec{a}_A$  ва  $\vec{a}_C$  берилган. Группанинг қолган нүкталарининг чизигий ва звеноларнинг бурчагий тезланишларини аниқлаш керак.

$B$  нүктанинг тезлапишини аниқлаш учун уни  $\vec{a}_A$  ва  $\vec{a}_C$  тезланишлар билан боғлайдиган векторий тенгламани ёзамиз:

$$\vec{a}_B = \vec{a}_A + \vec{a}_{BA}^n + \vec{a}_{BA}^c; \quad (24)$$

$$\vec{a}_B = \vec{a}_C + \vec{a}_{BC}^n + \vec{a}_{BC}^c. \quad (25)$$

(24) ва (25) тенгламалардаги  $\vec{a}_{BA}^n$  ва  $\vec{a}_{BC}^n$  векторлар  $B$  нүктанинг  $A$  ва  $C$  нүкталарга нисбатан нисбиң нормал тезланишлари булади. Уларнинг қийматы

$$a_{BA}^n = \frac{v_{BA}^2}{l_{AB}} = \frac{(\overline{ab})^2 \cdot \mu_v^2}{l_{AB}} \text{ м/сек}^2,$$

$$a_{BC}^n = \frac{v_{BC}^2}{l_{BC}} = \frac{(\overline{cb})^2 \cdot \mu_v^2}{l_{CB}} \text{ м/сек}^2$$

булиб,  $\vec{a}_{BA}^n$  нормал тезланиш вектори  $AB$  звенога параллел тарзда  $B$  нуқтадан  $A$  нуқтага,  $\vec{a}_{BC}^n$  нормал тезланиш вектори эса  $BC$  звенога параллел тарзда  $B$  нуқтадан  $C$  нуқтага томон йўналган.

$\vec{v}_{BA}$  ва  $\vec{v}_{BC}$  нисбий тезликларнинг қийматлари тезликлар планида аниқланган.  $\vec{a}_{BA}^t$  ва  $\vec{a}_{BC}^t$  векторлар  $B$  нуқтанинг  $A$  ва  $C$  нуқталарга нисбатан уринма тезланишлари булади. Уларнинг қиймати номаълум, аммо йўналиши маълум.  $a_{BA}^t$  тезланиш вектори  $AB$  звенога,  $a_{BC}^t$  вектор эса  $BC$  звенога тик йўналган.  $B$  нуқтанинг  $\vec{a}_B$  тезланишини ва уринма тезланишлар  $a_{BA}^t$ ,  $a_{BC}^t$  ни тезланишлар плани тузиш ёрдамида аниқлаймиз. Бунинг учун танланган тезланиш масштаби  $\mu_a \left( \frac{\text{м/сек}^2}{\text{мм}} \right)$  бўйича берилган  $a_A$  ва  $a_C$  тезланишларни кесмада ифодаловчи

$$\overline{\pi a} = \frac{a_A}{\mu_a} \text{ мм},$$

$$\overline{\pi c} = \frac{a_C}{\mu_a} \text{ мм}$$

узунликларни тезланишлар планининг ихтиёрий танланган қугби  $\pi$  дан шу тезланишлар векторларига параллел йўналган чизиқда белгилаймиз. Сўнгра  $a$  ва  $c$  нуқталардан  $\vec{a}_{BA}^n$  ва  $\vec{a}_{BC}^n$  нормал тезланишларнинг

$$\overline{an}_2 = \frac{a_{BA}^n}{\mu_a} \text{ мм},$$

$$\overline{cn}_3 = \frac{a_{BC}^n}{\mu_a} \text{ мм}$$

вектор кесмаларини (14- шакл,  $b$ ) белгилаймиз. Пландаги  $n_2$  нуқтадан  $AB$  звенога тик қилиб уринма тезланиш вектори  $\vec{a}_{BA}^t$ ни,  $n_3$  нуқтадан  $CB$  звенога тик қилиб, уринма тезланиш вектори  $\vec{a}_{BC}^t$ ни йўналтирамиз. Бу икки чизиқ  $b$  нуқтада кесишади. Бу нуқта  $B$  нуқтанинг абсолют тезланиш векторининг уни  $\overline{b}$  билан туташтириб,  $\overline{\pi b}$  кесмани ҳосил қиласиз.  $\overline{\pi b}$  кесмани тезланиш масштаби  $\mu_a$  га кўпайтириб,  $B$  нуқтанинг абсолют тезланишини оламиз:

$$a_B = \overline{\pi b} \cdot \mu_a \text{ м/сек}^2.$$

Худди шунингдек,  $\overrightarrow{n_2 b}$ ,  $\overrightarrow{n_3 b}$  кесмалар  $\mu_a$  масштабда  $B$  нуқтанинг  $A$  ва  $C$  атрофида айланишидан ҳосил бўлган уринма тезланишлар  $\overrightarrow{a_{BA}}$ ,  $\overrightarrow{a_{BC}}$  ни беради. Уларнинг қийматлари:

$$a_{BA} = (\overline{n_2 b}) \cdot \mu_a \text{ м/сек}^2,$$

$$a_{BC} = (\overline{n_3 b}) \cdot \mu_a \text{ м/сек}^2.$$

$b$  нуқтани  $a$  ва  $c$  нуқталар билан бирлашгириб,  $B$  нуқтанинг  $A$  ва  $C$  нуқталарга нисбатан тўла нисбий тезланишлари  $\overrightarrow{a_{BA}}$  ва  $\overrightarrow{a_{BC}}$  ни оламиз. Звенолар 2—3 нинг бурчагий тезланишлари  $\epsilon_2$  ва  $\epsilon_3$  қиймати ва йўналишини аниқлаймиз. Уларнинг қийматлари қўйидагича ҳисоблаб гопилади:

$$\epsilon_2 = \frac{a_{BA}^T}{l_{BA}} \text{ рад/сек}^2, \quad (26)$$

$$\epsilon_3 = \frac{a_{BC}^T}{l_{CB}} \text{ рад/сек}^2.$$

Бурчагий тезланишнинг йўналишини аниқлаш учун тезланиш векторлари  $\overrightarrow{a_{BA}}$  ва  $\overrightarrow{a_{BC}}$  группадаги 2 ва 3 звеноларнинг  $B$  нуқтасига қўйилади (14-шакл, 2). Бу чизмадан звено 2 нинг бурчагий тезланиши  $\epsilon_2$  соат стрелкаси юрадиган томонга тескари, звено 3 нинг бурчагий тезланиши  $\epsilon_3$  эса соат стрелкаси юрадиган томонга йўналгани кўриниб турибди.

Групла звеноларидаги исталган учинчи нуқтанинг тезланиши ўхшашлик қоидасидан фойдаланиб аниқланади. Буни кўриб чиқамиз.

$B$  нуқтанинг  $A$  нуқтага нисбатан тўла нисбий тезланиши  $\overrightarrow{a_{BA}}$  ни группанинг  $B$  нуқтасига кўчирамиз (14-шакл, 3).  $a_{BA}$  нисбий тезланиш вектори  $\overrightarrow{a_{BA}}$  нинг  $AB$  звенога нисбатан оғиш бурчагини  $\alpha$  билан белгилаймиз.  $\overrightarrow{a_{BA}}$  векторин нормал  $\overrightarrow{a_{BA}^n}$  ва уринма  $\overrightarrow{a_{BA}^t}$  тезланишларга ажратамиз. У ҳолда

$$\operatorname{tg} \alpha = \frac{a_{BA}^T}{a_{BA}^n} = \frac{\epsilon_2 \cdot l_{AB}}{\omega_2^2 \cdot l_{AB}} = \frac{\epsilon_2}{\omega_2^2}. \quad (27)$$

бўлади. Бу тенглама тўла нисбий тезланиш вектори  $\overrightarrow{a_{BA}}$  нинг  $AB$  звенодан неро градус оғланлигини билдиради. Бу оғиш бурчаги звено 2 нинг бурчагий тезлиги ва тезланишинг қийматларига боғлиқ бўлгани учун звено 2 нинг  $A$  нуқтаси билан туташиб, радиус вектор ҳосил қилувчи бошқа барча нуқталарнинг нисбий тезланишлари ҳам  $\alpha$  бурчакка оғади. Де-

мак, звенодаги учта  $A, B, D$  нүқта абсолют тезланиш векторларининг учлари  $a, b, d$  учбурчаклигини ҳосил қиласди, бу учбурчаклик томонлари (тұла нисбий тезланиш векторлари) эса звенодаги учбурчакликнинг томонларига нисбатан бир хил а бурчакка оғади.

Үшашшылк қоидаси асосида, звено 2 нинг  $D$  нүқтаси тезланишини аниқлаймиз. Тезланишлар планидаги  $\overline{ab}$  кесмада  $abd$  учбурчакликни чизамиз. Бу учбурчаклик звено 2 нинг  $ABD$  учбурчаклигига үшаш бўлиши керак. Бунинг учун пландаги  $a$  нүқтадан  $ab$  томонга нисбатан  $a$  бурчак остида  $ABD$  учбурчаклик учларидаги ҳарфларнинг жойланиши бўйича  $\overline{ad}$  кесмани чизамиз.  $\overline{ad}$  кесманинг узунлигини үшашшылк шартидан аниқлаймиз, яъни:

$$\overline{ad} = \overline{ab} \frac{\overline{AD}}{\overline{AB}}$$

$d$  нүқтани  $\pi$  билан туташтириб,  $D$  нүқтанинг тезланишини хисоблаб топамиш:

$$a_D = \pi \overline{d} \cdot v_a \text{ м/сек}^2.$$

Шунингдек, үшашшылк шартидан фойдаланиб, звено 3 нинг  $E$  нүқтаси тезланишини аниқлаймиз.  $E$  нүқта  $BC$  чизиқда ётгани учун планда ҳам  $e$  нүқта  $\overline{bc}$  оралиғида ётиши керак. У кесмалар нисбати ёрдамида аниқланади:

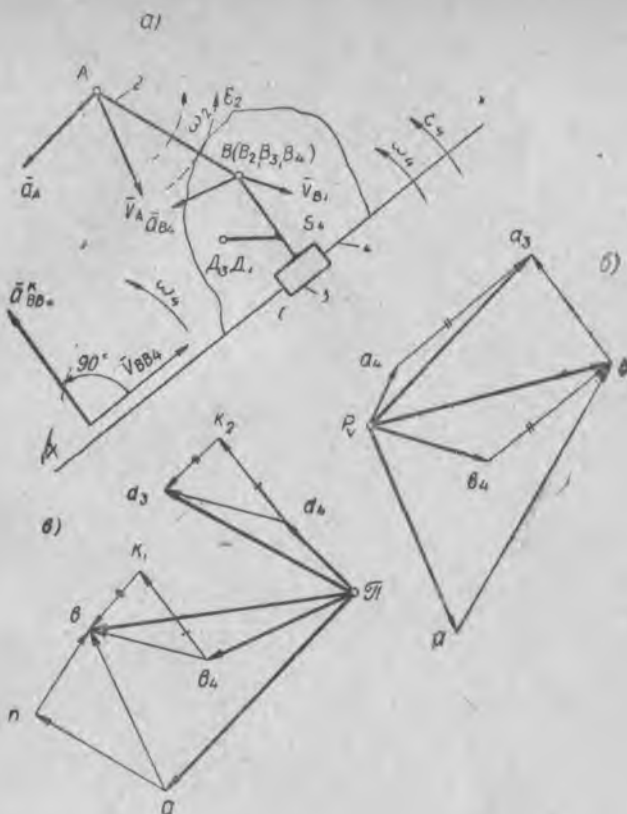
$$\overline{be} = \overline{bc} \frac{\overline{BE}}{\overline{BC}}.$$

$B$  нүқтанинг тезланиши қўйидагича бўлади:

$$a_B = \pi \overline{e} \cdot v_a \text{ м/сек}^2.$$

## 6. ИККИНЧИ КЛАСС, 2-ТУР ГРУППАНИНГ ТЕЗЛИК ВА ТЕЗЛANIШЛАРИНИ АНИҚЛАШ

Группанинг звеноси 2 даги  $A$  нүқтанинг тезлик вектори  $v_A$  ва илгарилама жуфт йўналтирувчи  $C$  жойлашган звено 4 нинг бурчагий тезлиги  $\omega_4$  маълум (15-шакл, a).  $B$  ( $B_2, B_3$ ) нүқталарнинг тезлигини аниқлаш талаб қилинади.  $xx$  йўналтирувчига бирор текислик  $S_4$  ни группа звеноларининг ҳаракат текислигига параллел қилиб маҳкам бириктирилган.  $xx$  йўналтирувчи звено 4 да булгани учун унга бириктирилган текислик  $S_4$  нинг нүқталари ҳам звено 4 га тааллуқли деб қаралади. Шунинг учун текислик  $S_4$  нинг барча нүқталарининг тезлик векторлари ва шу вазиятда текислик  $S_4$  нинг  $B$  нүқтада бўлган  $B_4$  нүқтаси ҳам берилган ҳисобланади.



15-шакл.

*B* нүктанинг векторий тенгламаси қўйидагича ёзилади:

$$\left. \begin{aligned} \vec{v}_B &= \vec{v}_A + \vec{v}_{BA}, \\ \vec{v}_B &= \vec{v}_{B_4} + \vec{v}_{BB_4}, \end{aligned} \right\} \quad (28)$$

бу ерда  $\vec{v}_A$  ва  $\vec{v}_{B_4}$  — *A* ва *B*<sub>4</sub> нүкталарнинг тезлик векторлари (улар берилган);  $\vec{v}_{BA}$  ва  $\vec{v}_{BB_4}$  — *B* нүктанинг *A* ва *B*<sub>4</sub> нүкталарга нисбатан нисбий тезлиги (улар векторларининг йўналишлари маълум). Тезликнинг  $v_{BA}$  вектори *AB* звенога тик,  $v_{BB_4}$  вектори эса *xx* бўйича йўналган. *B* нүктанинг тезлик вектори тезликлар планини тузиш йўли билан аниқланади.

Бунинг учун тезлик масштаби  $p_v \left( \frac{\text{м/сек}}{\text{мм}} \right)$  ни танлаб оламиз.

Тезликлар планининг ихтиёрий қутб нүктаси  $p_v$  дан  $\vec{v}_A$  ва  $\vec{v}_{B_4}$  тезликларнинг йўналишини ўтказиб, унда

$$\overline{pa} = \frac{v_A}{\mu_o} \text{ мм} \quad \text{ва} \quad \overline{pb}_4 = \frac{v_{B_4}}{\mu_v} \text{ мм}$$

кесмаларнинг узунликларини белгилаймиз (15-шакл, б). Сунгра пландаги  $a$  нуқтадан  $v_{BA}$  векторнинг йўналишини звено 2 нинг  $AB$  томонига тик қилиб,  $b_4$  нуқтадан эса  $v_{BB_4}$  векторнинг йўналишини  $xx$  йўналтирувчига параллел қилиб чизамиз. Бу икки чизиқнинг кесишув нуқтаси группанинг  $B$  нуқтасини, яъни абсолют тезлик векторининг учини беради. Унинг қиймати:

$$v_B = \overline{p_v} b \cdot \mu_v \text{ м/сек.}$$

Звено 2 нинг бошқа нуқталари тезлиги юқорида аниқланган ўхшашлик қоидасидан фойдаланиб топилади. Звено 2 нинг бурчагий тезлаги  $\omega_2$  нинг қиймати қўйидагича ҳисоблаб топилади:

$$\omega_2 = \frac{v_{BA}}{l_{AB}} \text{ рад/сек.} \quad (29)$$

Бурчагий тезлик  $\omega_2$  нинг йўналиши  $v_{BA}$  векторни звенонинг  $B$  нуқтасига кўчириш йўли билан аниқланади.

15-шакл, а дан кўриниб турибдики, бурчагий тезлик  $\omega_2$  соат стрелкаси айланишига тескари томонга йўналган.

Звено 3 звено 4 билан илгарилама кинематиковий жуфт ёсил қилгани учун унинг бурчагий тезлиги  $\omega_3$  звено 4 нинг бурчагий тезлиги  $\omega_4$  га teng ва у билан бир хилда бўлади. Звено 3 нинг исталган бирор нуқтаси тезлигини, масалан,  $D_3$  нуқтанинг тезлигини аниқлаш учун қўйидаги векторий тенгламани тузамиз:

$$\vec{v}_{D_3} = \vec{v}_{D_4} + \vec{v}_{D_4 D_3} \quad (30)$$

Бу тенгламадаги  $v_{D_4}$  вектор звено 4 нинг звено 3 даги  $D_3$  нуқтага мос келган  $D_4$  нуқтасининг тезлик векторидир.  $v_{D_4}$  векторнинг қиймати ва йўналиши маълум.

Звено 3 звено 4 га илгарилама кинематиковий жуфт билан боғлангани учун звено 3 нинг барча нуқталари тезлиги  $S_4$  текисликдаги звено 4 нинг нуқталари тезлигига teng булади, яъни:

$$\vec{v}_{D_4 D_3} = \vec{v}_{BB_4}.$$

Звено 4 нинг тезликлар планидаги  $D_4$  нуқтасининг тезлик вектори  $v_{D_4}$  ни  $d_4$  нуқтадан  $b_4 b$  кесмага teng ва параллел булган  $d_4 d_3$  кесмага кўчирамиз. Уни қутб нуқтаси  $p_v$  билан ту-

таштириб,  $D_3$  нуқтанинг абсолют тезлиги  $v_D$  нинг вектор кесмаси  $p_v d_3$  ни оламиз. Унинг қиймати  $v_{D_3} = p_v d_3 \mu_v$  м/сек бўлади.

Энди группанинг тезланишлар планини тузамиз.

Группа A нуқтасининг тезланиш вектори  $\vec{a}_A$  ва звено 4 даги барча нуқталарнинг тезланиш векторлари берилган. Демак, звено 4 нинг бурчагий тезланиши  $\epsilon_4$  ва  $S_4$  текисликдаги барча нуқталарнинг тезланиши маълум (15-шакл, 6). Бундай шарт берилгани учун шу вазиятда звено 4 нинг  $B(B_2, B_3)$  нуқта устидаги  $B_4$  нуқтасининг вектори  $\vec{a}_{B_4}$  ҳам маълум.  $B$  нуқтанинг тезланиши қўйидаги векторий тенглама ёрдамида аниқланади:

$$\vec{a}_B = \vec{a}_A + \vec{a}_{BA}'' + \vec{a}_{BA}^{\kappa}, \quad (31)$$

$$\vec{a}_B = \vec{a}_{B_4} + \vec{a}_{BB_4}'' + \vec{a}_{BB_4}^{\kappa}. \quad (32)$$

Бу тенгламалардаги  $\vec{a}_A$  ва  $\vec{a}_{B_4}$  тезланишларнинг қиймати ва йўналиши берилган. Нормал тезланиш  $\vec{a}_{BA}''$  нинг қиймати тезликлар планидан фойдаланилиб, қўйидагича ҳисоблаб топилилади:

$$a_{BA}'' = \frac{v_{BA}^2}{l_{AB}} = \frac{(\bar{ab})^2 \cdot \mu_v^2}{l_{AB}} \text{ м/сек}^2,$$

бу ерда  $\bar{ab}$  — тезликлар планидаги кесма узунлиги.  $\vec{a}_{BA}''$  вектор  $AB$  звенога параллел тарзда  $B$  нуқтадан  $A$  нуқтага томон йўналган.

Кориолис тезланиши  $\vec{a}_{BB_4}''$  нинг қиймати қўйидагича аниқланади:

$$a_{BB_4}'' = 2 \cdot \omega_4 \cdot v_{BB_4} = 2 \cdot \omega_4 \cdot (\bar{bb}) \cdot \mu_v, \quad (33)$$

бу ерда  $\bar{bb}$  — тезликлар планидаги кесма узунлиги (15-шакл, 6). Бу тезланишнинг вектори  $xx$  йўналтирувчига тик йўналади. Унинг йўналишини аниқлаш учун нисбий тезлик вектори  $v_{BB_4}$  (15-шакл, a) йўналтирувчи бурчагий тезлиги  $\omega_4$  нинг айланниш томонига  $90^\circ$  бурилади.

$\vec{a}_{BA}^{\kappa}$  ва  $\vec{a}_{BB}^{\kappa}$  векторларнинг йўналиши маълум:  $\vec{a}_{BA}^{\kappa}$  вектор  $AB$  звеногатик,  $\vec{a}_{BB}^{\kappa}$  эса  $xx$  йўналтирувчига параллел йўналади. Бу тезланишларнинг қиймати тезланишлар плани тузиш йўли билан аниқланади. Бунинг учун тезланиш масштаби  $\mu_a \left( \frac{\text{м/сек}^3}{\text{мм}} \right)$  танлаб олинади.

Тезланишлар планининг қутб нуқтаси  $\pi$  дан  $\vec{a}_B$  ва  $\vec{a}_{B_4}$  тезланиш векторларини тасвирловчи чизиқларнинг йўналишини чизамиз (15- шакл, б). Бу чизиқларда  $\mu_a$  масштаб бўйича қўйидаги кесмаларни белгилаймиз:

$$\overline{\pi a} = \frac{a_A}{\mu_a} \text{ ММ,}$$

$$\overline{\pi b_4} = \frac{a_{B_4}}{\mu_a} \text{ ММ.}$$

Сўнгра  $a$  ва  $b_4$  нуқталардан  $\vec{a}_{BA}^n$  ва  $\vec{a}_{BB_4}^\kappa$  тезланишларнинг

$$\overline{an} = \frac{a_{BA}^n}{\mu_a} \text{ ММ} \text{ ва } \overline{b_4 \kappa_1} = \frac{a_{BB_4}^\kappa}{\mu_a} \text{ ММ.}$$

кесмаларини уларнинг йўналиш чизиқларида белгилаб қўямиз.  $n$  нуқтадан уринма тезланиш вектори  $\vec{a}_{BA}$  ни  $AB$  звенога тик қилиб,  $\kappa_1$  нуқтадан эса тезланиш вектори  $\vec{a}_{BB_4}^r$  ни  $xx$  йўналтирувчига параллел қилиб ўтказамиз. Бу чизиқлар  $b$  нуқтада кесишади. Кесишув нуқтасини қугб  $\pi$  билан туташтириб,  $\overline{\pi b}$  кесмани ҳосил қиласиз. Унинг қиймати қўйидагича бўлади:

$$a_B = \overline{\pi b} \cdot \mu_a \text{ м/сек}^2.$$

$\vec{a}_{BA}$  ва  $\vec{a}_{BB_4}^r$  тезланишларнинг қийматларини аниқлаймиз:

$$a_{BA}^n = \overline{nb} \cdot \mu_a \text{ м/сек}^2;$$

$$a_{BB_4}^r = \overline{\kappa_1 b} \cdot \mu_a \text{ м/сек}^2.$$

Бу ердаги  $\overline{nb}$  ва  $\overline{\kappa_1 b}$  кесмаларнинг қийматларини (мм. ҳисбida) тезланишлар планиндан оламиз.

Звено 2 нинг бурчагий тезланиши  $\varepsilon_2$  нинг қиймати

$$\varepsilon_2 = \frac{a_{BA}^n}{i_{AB}} \text{ рад/сек}^2$$

булиб, соат стрелкаси айланадиган томонга қарши йўналган (15- шакл, а). Звено 3 звено 4 (йўналтирувчи) бўйлаб ҳаракатлангани учун унинг бурчагий тезланиши  $\varepsilon_3$  звено 4 нинг бурчагий тезланиши  $\varepsilon_4$  га тенг бўлади.

Звено 3 даги ихтиёрий  $D_3$  нуқтанинг тезланиши қўйидаги векторий тенглама ёрдамида аниқланади:

$$\vec{a}_{D_3} = \vec{a}_{n_3} + \vec{a}_{D_3 D_4}^\kappa + \vec{a}_{D_3 D_4}^r. \quad (34)$$

Звено 4 нинг тезланишлари берилган бўлгани учун тезланиш  $\ddot{a}_{D_4}$  нинг вектори маълум.

$\ddot{a}_{D_3D_4}^k$  ва  $\ddot{a}_{D_3D_4}^r$  векторларнинг геометрик йифиндиси звено 3 даги  $D_3$  нуқтанинг звено 4 даги  $D_4$  нуқтага нисбатан тўла нисбий тезланиш вектори  $\ddot{a}_{D_3D_4}$  ни беради:

$$\ddot{a}_{D_3D_4} = \ddot{a}_{D_3D_4}^k + \ddot{a}_{D_3D_4}^r. \quad (35)$$

Звено 3 даги  $B_8$  нуқтанинг звено 4 даги  $B_4$  нуқтага нисбатан тўла нисбий тезланиши  $\ddot{a}_{BB_4}$  қуйидагича бўлади:

$$\ddot{a}_{BB_4} = \ddot{a}_{BB_4}^k + \ddot{a}_{BB_4}^r. \quad (36)$$

3 ва 4 звенолар илгарилама кинематикавий жуфт ҳосил қилгани учун  $\ddot{a}_{D_3D_4}^r$  ва  $\ddot{a}_{BB_4}^r$  векторлар тенг бўлади.  $\ddot{a}_{D_3D_4}^k$  ва  $\ddot{a}_{BB_4}^k$  векторларнинг қийматлари қуйидагича аниқланади:

$$a_{D_3D_4}^k = 2 \cdot \omega_4 \cdot v_{D_3D_4},$$

$$a_{BB_4}^k = 2 \cdot \omega_4 \cdot v_{BB_4}.$$

$\ddot{v}_{BB_4}$  ва  $\ddot{v}_{D_3D_4}$  нисбий тезликларнинг векторлари тенг бўлгани учун

$$\ddot{a}_{D_3D_4}^k = \ddot{a}_{BB_4}^k$$

бўлади. Демак, звено 3 даги барча нуқталарнинг тўла нисбий тезланишлари звено 4 даги нуқтанинг (шу онда мос келгани учун) тезланишлари билан бир хилда бўлади:

$$\ddot{a}_{DD_4} = \ddot{a}_{BB_4}.$$

Шу сабабли звено 3 даги  $D_3$  нуқтанинг тезланишини аниқлаш учун маълум  $\ddot{a}_{D_4}$  векторнинг тезланишлар планидаги  $d_4$  нуқтадан  $a_{DD_4}$  тезланишнинг  $a_{BB_4}$  тезланишни тасвирловчи  $b_4b$  кесмага тенг булган  $\overline{d_4a_3}$  кесмасини оламиз. Бу  $\overline{d_4a_3}$  кесмани  $b_4b$  кесмага параллел қилиб кўчирамиз. Ёпувчи  $\overline{ad_3}$  кесма  $D_3$  нуқтанинг абсолют тезланишини билдиради.

Унинг қиймати

$$a_{D_4} = \pi d_3 \cdot \mu_a \text{ м/сек}^2$$

бўлади.

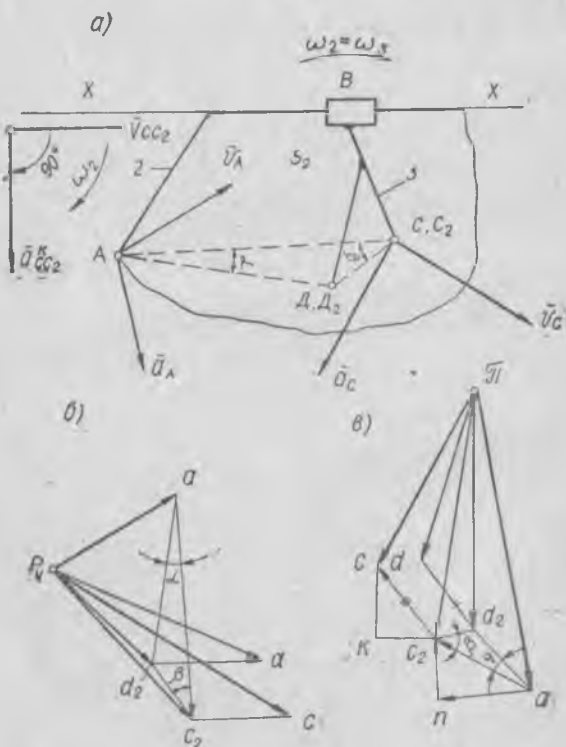
## **7. ИККИНЧИ КЛАСС, З-ТУР ГРУППАНИНГ ТЕЗЛИК ВА ТЕЗЛАНИШЛАРИНИ АНИҚЛАШ**

З-тур группанинг ички кинематикавий жуфти *B* илгарила-  
ма, иккى *A* ва *C* ташқи жуфтлари эса айланма жуфтлар була-  
ди (16- шакл, *a*).

Группадаги  $A$  ва  $C$  нүкталарнинг  $\vec{v}_A$  ва  $\vec{v}_C$  тезликлари берилган бўлиши керак.

Группанинг тезликларини билиш учун 2 ва 3 звенолардан ҳар бирининг яна бир нүктаси тезлигини аниқлаш керак. Звено 2 га тегишли  $xx$  йұналтирувчига  $S_2$  текисликни маҳкамлаймиз. У ҳолда бу текисликнинг барча нүкталари звено 2 нинг нүкталари деб қаралади. Звено 3 нинг  $C$  нүктаси звено 2 нинг  $C_2$  нүктаси устида ётади. У ҳолда  $C$  ва  $C_2$  нүкталарнинг тезликлари ұзаро қуйидаги векторий тенглама восита-сіда bogланады:

$$\vec{v}_c = \vec{v}_{c_i} + \vec{v}_{cc_i}. \quad (37)$$



16-шакл.

Звено 2 даги  $C_2$  нүктанинг тезлик вектори  $\vec{v}_{C_2}$ :

$$\vec{v}_{C_2} = \vec{v}_A + \vec{v}_{C_2 A}. \quad (37a)$$

(37) тенгламадаги  $\vec{v}_{C_2}$  нинг урнига (37a) формуладаги қийматини қўйсак, қўйидаги тенглама ҳосил бўлади:

$$\vec{v}_{C_2} = \vec{v}_A + \vec{v}_{C_2 A} + \vec{v}_{CC_2}. \quad (38)$$

Бу тенгламадаги  $\vec{v}_A$  ва  $\vec{v}_{C_2}$  векторлар маълум.  $\vec{v}_{C_2 A}$  вектор  $AC$  томонга тик,  $\vec{v}_{CC_2}$  вектор эса йўналтиргичга параллел йўналган.

Бу векторларнинг қиймати вади  $C_2$  нүктанинг  $\vec{v}_{C_2}$  вектори тезликлар планини тузиш йўли билан аниқланади. Бунинг учун тезлик масштаби  $\mu_v \left( \frac{\text{м/сек}}{\text{мм}} \right)$  ташлаб олинади. Пландаги қутб нүктаси  $p_v$  дан  $\vec{v}_A$  ва  $\vec{v}_{C_2}$  тезликларнинг йўналиш чизиқларида

$$\overline{pa} = \frac{v_A}{\mu_v} \text{ мм} \quad \text{ва} \quad \overline{pc} = \frac{v_{C_2}}{\mu_v} \text{ мм}$$

кесмаларни белгилаймиз (16- шакл, б). Пландаги  $c$  нүктадан  $xx$  чизиқка параллел қилиб,  $v_{CC_2}$  тезликнинг йўналишини, а нүктадан  $AC_2$  томонга тик қилиб  $v_{C_2 A}$  тезликнинг йўналишини чизамиз. Бу чизиқларнинг кесишув  $c_2$  нүктаси  $v_{C_2 A}$  ва  $\vec{v}_{CC_2}$  векторларнинг кесмаларини беради. Уларнинг қиймати қўйидагича бўлади:

$$v_{C_2 A} = (\overline{c_2 a}) \cdot \mu_v \text{ м/сек};$$

$$v_{CC_2} = (\overline{cc_2}) \cdot \mu_v \text{ м/сек}.$$

Қутб нүктаси  $p_v$  билан  $c_2$  нүктани бирлаштириб,  $C_2$  нүкта-нинг абсолют тезлигини топамиз. Унинг қиймати

$$v_{C_2} = (\overline{pc_2}) \cdot \mu_v \text{ м/сек}$$

бўлади. Звено 2 нинг бўрчагий тезлиги

$$\omega_2 = \frac{v_{C_2 A}}{l_{AC_2}} = \frac{(\overline{c_2 a}) \cdot \mu_v}{\overline{AC_2} \cdot \mu_l} \text{ рад/сек}$$

бўлади. Бу ердаги  $\overline{c_2 a}$  ва  $\overline{AC_2}$  кесмалар тезликлар планидан ва группанинг ҳолат схемасидан ўлчаб олинади.

$\omega_2$  нинг йўналиши 1-тур группадаги усулга ухшаш усул билан аниқланади. 2 ва 3 звенолар ўзаро илгарилама кинема-

тиковий жуфт ёрдамида бирлашгани учун звено 3 нинг бурчагий тезлиги  $\omega_3$  звено 2 нинг бурчагий тезлиги  $\omega_2$  га тенг бўлади:

$$\omega_3 = \omega_2.$$

Звено 3 даги ихтиёрий иккинчи нуқтанинг, масалан,  $D$  нуқтанинг тезлигини топиш учун звено 2 нинг шу онда  $D$  нуқта билан устма-уст ётган  $D_2$  нуқтаси тезлигини аниқлаш керак. Бунинг учун ўхшащлик қоидасидан фойдаланамиз. Пландаги  $ac_2$  кесмада звено 2 нинг  $AC_2D_2$  учбурчаклигига ўхаш  $ac_2d_2$  учбурчаклик ясаймиз. Шунда кландаги учбурчаклик ҳарфларининг жойлашувига мос бўлиши керак.

Звено 3 даги  $D$  нуқтанинг тезлиги  $v_D$  звено 2 даги  $D_2$  нуқтанинг тезлиги  $v_{D_2}$  билан қўйидаги тенглама воситасида боғланган:

$$\vec{v}_D = \vec{v}_{D_2} + \vec{v}_{DD_2}, \quad (39)$$

бу ерда  $\vec{v}_{DD_2}$  — звено 3 даги  $D$  нуқтанинг звено 2 даги  $D_2$  нуқтага нисбатан нисбий тезлиги.

2 ва 3 звенолар илгарилама кинематиковий жуфт  $B$  билан боғлангани учун  $v_{DD_2}$  вектор  $v_{CC_2}$ , векторга тенг бўлади. Шунга асосланаб, пландаги  $c_2$  нуқтадаи  $v_{CC_2}$  векторнинг  $c_2c$  кесмасига тенг ва параллел қилиб,  $d_2d$  кесмани кучирамиз.

Тезликлар планидаги  $\overline{p_v d}$  кесма звено 3 даги  $D$  нуқтанинг  $v_D$  тезлигини беради. Унинг қиймати қўйидагича бўлади:

$$v_D = p_v \overline{d} \cdot \mu_v \text{ м/сек.}$$

Энди группанинг тезланишларини аниқлашга ўтамиз. Группадаги  $A$  ва  $C$  нуқталарнинг  $a_A$  ва  $a_C$  тезланишлари берилган (16-шакл, в). 2 ва 3 звенолардаги  $C_2$  ва  $D$  нуқталарнинг  $a_{C_2}$  ва  $a_D$  тезланишларини аниқлаш керак.

Звено 2 даги  $C_2$  нуқтанинг  $a_{C_2}$  тезланишини аниқлаш учун векторий тенгламалар тузамиз:

$$a_{C_2} = a_A + \vec{a}_{C_2 A}^n + \vec{a}_{C_2 A}^s, \quad (40)$$

$$\vec{a}_C = \vec{a}_{C_2} + \vec{a}_{CC_2}^n + \vec{a}_{CC_2}^s. \quad (41)$$

Юқоридаги тенгламаларни соддалаштириб, қўйидаги тенгламани ҳосил қиласиз:

$$\vec{a}_C = \vec{a}_A + \vec{a}_{C_2 A}^n + \vec{a}_{C_2 A}^s + \vec{a}_{CC_2}^n + \vec{a}_{CC_2}^s. \quad (42)$$

Бу тенгламадаги  $\vec{a}_A$  ва  $\vec{a}_C$  векторлар берилган. Нормал тезланиш вектори  $\vec{a}_{C_2A}^n$  нинг қиймати қуидаги аниқланади:

$$\vec{a}_{C_2A}^n = \frac{\omega_{C_2A}^2}{l_{AC_2}} \text{ м/сек}^2. \quad (43)$$

Кориолис тезланишини аниқлаш формуласи қуидаги бүләди:

$$\vec{a}_{CC_2}^k = 2 \cdot \omega_2 v_{CC_2} \text{ м/сек}^2. \quad (44)$$

$\vec{a}_{C_2A}^n$  вектор  $AC_2$  чизиқта параллел булиб,  $C_2$  нүктадан  $A$  нүктега томон йұналади. Кориолис тезланиши  $\vec{a}_{CC_2}^k$  нинг йұналиши 16-шакт,  $a$  да курсатилған. Номағым  $\vec{a}_{C_2}$ ,  $\vec{a}_{C_2A}$  ва  $\vec{a}_{CC_2}$  векторларни тезланишлар плани тузиш йўли билан аниқлаймиз. Пландағи қутб нүктаси  $\pi$  дан  $\mu_a \left( \frac{\text{м/сек}^2}{\text{мм}} \right)$  масштаб бүйича

$$\overline{\pi a} = \frac{a_A}{\mu_a} \text{ мм}$$

$$\overline{\pi c} = \frac{a_C}{\mu_a} \text{ мм}$$

кесмаларни белгилаймиз. Сұнг  $a$  нүктадан

$$\overline{an} = \frac{\vec{a}_{C_2A}^n}{\mu_a} \text{ мм}$$

кесмани ва  $c$  нүктадан

$$\overline{ck} = \frac{\vec{a}_{CC_2}^k}{\mu_a} \text{ мм}$$

кесмани йұналиш чизигида белгилаб оламиз. Шундан кейин  $n$  нүктадан  $C_2A$  га тик қилиб тезланиш вектори  $\vec{a}_{C_2A}^r$  ни,  $c$  нүктадан  $xx$  йұналтиргичга параллел қилиб эса  $\vec{a}_{CC_2}^r$  вектор йұналишини чизамиз. Бу чизиқтар  $c_2$  нүктада кесишади.

Чизмадан  $\overline{ck}$  ва  $(\overline{nc_2})$ ,  $(\overline{c_2k})$  кесмаларини үлчаб,  $\vec{a}_{C_2}$ ,  $\vec{a}_{C_2A}^r$ ,  $\vec{a}_{CC_2}^r$  тезланишларнинг қийматини аниқлаймиз:

$$a_{C_2} = \overline{ck} \cdot \mu_a \text{ м/сек}^2;$$

$$a_{C_2A}^r = (\overline{nc_2}) \cdot \mu_a \text{ м/сек}^2.$$

$$a_{CC_2}^r = c_2 k \cdot \mu_a \text{ м/сек}^2.$$

Звено 2 нинг бурчагий тезланиши қуйидагича бўлади:

$$\epsilon_2 = \frac{\dot{a}_{C_2 A}}{l_{AC_2}} \text{ рад/сек}^2. \quad (45)$$

Звено 3 даги  $D$  нуқтанинг тезланиши  $\ddot{a}_D$  қуйидаги тенгламадан топилади:

$$\ddot{a}_D = \ddot{a}_{D_2} + \ddot{a}_{DD_2}, \quad (46)$$

бу ерда  $\ddot{a}_{D_2}$  — звено 2 нинг звено 3 даги  $D$  нуқта устида ётган  $D_2$  нуқтасининг тезланиш вектори, бу векторнинг қиймати тезланишлар планининг  $\dot{a}c_2$  томонига звено 2 нинг  $AC_2D_2$  уч бурчаклигига ўхаш  $a_{C_2}d_2$  учбурчаклик ясаш йўли билан аниқланади;  $a_{CC_2}$  —  $C$  нуқтанинг  $C_2$  нуқтага нисбатан тўла нисбий тезланиши.

2 ва 3 звенолар бир-бири билан илгарилама кинематикавий жуфтлар ёрдамида боғланган.

Юқоридаги мулоҳазаларга кўра,

$$\ddot{a}_{DD_2} = a_{CC_2}$$

булади.

Тезланишлар планидаги  $c_2$  нуқтадан  $C$  нуқтанинг  $C_2$  нуқтага нисбатан тўла нисбий тезланиши  $\ddot{a}_{CC_2}$  нинг  $\dot{c}_2\bar{c}$  кесмасига тенг ва параллел қилиб,  $\bar{d}_2\bar{d}$  кесмани чизамиз.  $D$  нуқта тезланиши  $\ddot{a}_D$  нинг қиймати қуйидагича бўлади:

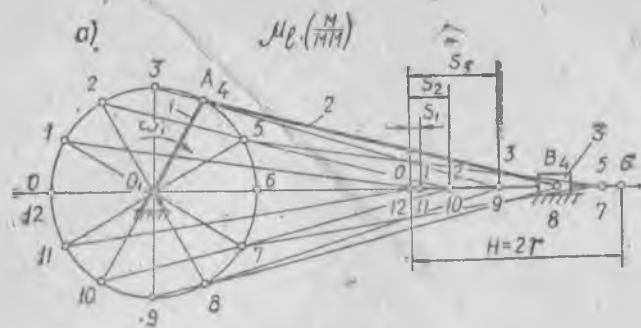
$$a_D = \pi d \cdot \mu_a \text{ м/сек}^2.$$

Иккинчи класснинг 4- ва 5-тур группалари учун тезлик ва тезланишларини аниқлаш йўли юқорида келтирилгани каби.

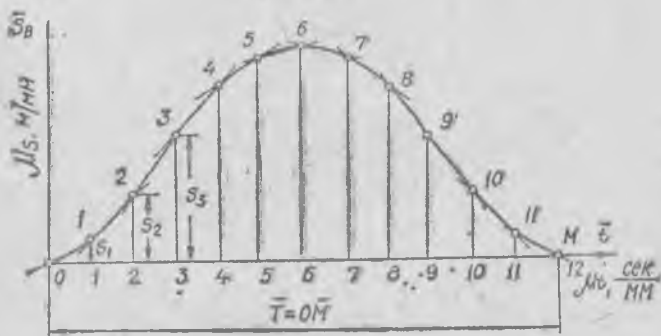
## 8. ДИАГРАММАВИЙ (ГРАФИКАВИЙ) УСУЛ

Механизм бирор нуқтасининг тўла ҳаракатланиш даврини текшириш учун кинематикавий диаграмма усулидан фойдаланилади. Бунинг учун илгарилама-қайтар ҳаракатланувчи нуқтанинг вақт — силжиш  $S = S(t)$ , вақт — тезлик  $v = v(t)$  ҳамда вақт — тезланиш  $a = a(t)$  графиклари, айланма ҳаракатланувчи звеноларнинг эса вақт — бурчагий силжиш  $\varphi = \varphi(t)$ , вақт — бурчагий тезлик  $\omega = \omega(t)$  ҳамда вақт — бурчагий тезланиш  $\epsilon = \epsilon(t)$  графиклари тузилади.

Механизм етакчи звеноси вазиятининг бошланғич ҳолатига келиши, тезлиги ва тезланишининг эса бошланғич қийматига эришиш учун кетган вақт шу механизм етакчи звеносининг ҳаракат даври дейилади.



б)  $\sigma_B = S_B(t)$



17-шакл. (а, б)

в)

Механизм етакчи звеносининг ҳаракат даври ёки кинематика вий цикли шу звенонинг бир марта тұла айланиши билан аниқланади.

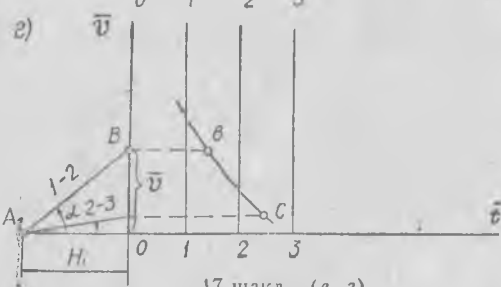
Кривошиппнинг бир марта айланиш вақти қүйидагича ҳисобладаб топилади:

$$T = \frac{60}{n} \text{ сек}, \quad (47)$$

бу ерда  $n$  — звенонинг минутига айланишлар сони.

Звенодаги бирор нүктаның силжиш гра-

ф)



17-шакл. (в, г)

фиги, асосан, механизмнинг вазияти планлари ва шу нуқтанинг траекторияси тузилгандан сўнг чизилади.

Мисол тариқасида кривошип-ползунли механизм  $B$  нуқтасининг силжиш графигини чизамиз (17-шакл, *а*). Бунинг учун механизмнинг қуйидаги параметрлари: асосий ўлчамлари, етакчи звеносининг ҳаракат қонуни (масалан,  $\omega = \text{const}$ ) ва унинг минутига айланишлар сони  $n_1$  маълум бўлиши керак. Звеноning вақт бўйича силжиш  $S_B = S_B(t)$  графиги қуйидаги тартибда чизилади.

1. Кривошипнинг ҳар  $30^\circ$  бурилиши учун механизмнинг 12 хил вазияти плани узвунлик масштаби  $\mu_t \left( \frac{\text{м}}{\text{мм}} \right)$  да чизилади. Шунда ползуннинг чап ёки ўнг чекка вазияти учун кривошипнинг бошланғич бурилиш бурчаги танланади.

2. Кривошипнинг бир марта тұла айланиш вақти  $T = \frac{60}{n}$  ҳисоблаб топилади.

3.  $T$  вақт учун ихтиёрий кесма узунлиги  $T = \overline{OM}$  ни танлаб, вақт масштаби  $\mu_t$  қуйидагича ҳисоблаб чиқарилади:

$$\mu_t = \frac{T}{\overline{OM}} \text{ сек/мм.} \quad (48)$$

4. Тұғыри бурчаклы  $S_B - t$  координаталар системасини танлаймиз (17-расм, *б*). Абсциссалар үқига кривошипнинг бир марта айланиш вақти  $T$  ни тасвирловчи  $\overline{OM}$  кесмани құямыз. Бу кесмани тенг 12 қисмга бүламиз. Ординаталар үқига кривошип ҳар  $30^\circ$  бурилганда ползуннинг чекка вазиятдан силжиш қийматтарини құямыз. Шунда ординатанинг масштаби  $\mu_s$  ни  $\mu_s$  га тенг (кичик ёки катта) қилиб олиш мүмкін.

Абсциссалар үқидаги 0, 1, 2, 3, ... булинмалардан күтариленген тик чизиқларга ползуннинг чекка вазиятдан бўлган оралиқлари  $S_0, S_1, S_2, \dots$  ни қўйиб чиқамиз. Ординаталар үқидан чиқарилган тик чизиқлардаги 1, 2, 3 ... нуқталарни бирлаштириб, ползундаги  $B$  нуқтанинг вақт-силжиши  $S_B = S_B(t)$  графигини ҳосил қиласиз. Күпинча, абсциссалар үқига вақт  $t$  ўрнига кривошипнинг бурилиш бурчаги  $\varphi$  қўйилади. Унда механизм вазияти функцияси  $S_B = S_B(\varphi)$  диаграммасини ҳосил қиласиз. Унинг масштаби қуйидагича аниқланади:

$$\mu_\varphi = \frac{2\pi}{\overline{OM}} \text{ рад/мм.} \quad (49)$$

$B$  нуқтанинг тезлиги  $v = v(t)$  ни аниқлаш учун  $S = S(t)$  диаграммасини графикавий усулда бир марта,  $\sqrt{3}$  нуқтанинг тезланиши  $a = a(t)$  ни аниқлаш учун эса икки марта дифференциаллаш керак. Графикавий дифференциаллашнинг бир неча усули—уринма ўтказиш, ватар чизиқлар ўтказиш, орттириш, нормал ости ўтказиш усули ва бошқа усуллари мавжуд.

Графикавий дифференциаллашнинг инженерлик ҳисобларида энг күп қулланыладиган усулларидан баъзиларини куриб чиқамиз.

1. Ватар чизиқлар ўтказиш усули. Бу усул ёрдамида берилган кинематикавий параметрларни графикавий дифференциаллаш ва интеграллаш мумкин.

$S_B = S_B(t)$  функцияning юқорида (17-шакл, б) чизилган графигини дифференциаллаб,  $v = v(t)$  функцияning графигини ҳосил қиласиз. Қуйидаги дифференциаллаш усулиниңг моҳиятини куриб чиқамиз.

Масалан, бирор  $S = S(t)$  функцияning графиги (17-шакл, б) берилган бўлсан. Маълум  $\Delta t$  вақт ичида 1—2 оралиқнинг тезлик қиймати

$$v_{yp} = \frac{\Delta S}{\Delta t}$$

булади. Уни кесма бирлиги ҳисобида ифодаласак,

$$v_{yp} = \frac{\overline{\Delta S} \cdot \mu_s}{\overline{\Delta t} \cdot \mu_t}$$

булади.

17-шакл, в дан  $\frac{\overline{\Delta S}}{\overline{\Delta t}} = \overline{\tan \alpha}$  өканлиги кўриниб турибди. У ҳолда,  $v_{yp} = \frac{\mu_s}{\mu_t} \overline{\tan \alpha}$  бўлади, яъни нуқтанинг вақт бирлигидаги тезлиги  $\overline{v}$  бурчакнинг тангенсига пропорционал равишда ўтгаради. Бу график дифференциаллашнинг асосий формуласи бўлади.

Тўғри бурчакли янги  $v-t$  координаталар системасини чи-вамиз (17-шакл, г).

Абсциссалар ўқининг чап томонига координаталар бошидан  $H_1$  оралиқда ихтиёрий қутбиш нуқта  $A_1$ , ни белгилаб оламиз.  $A_1$ , нуқтадан 1—2 ватар чизигига параллел қилиб, ординаталар ўқи билан кесишгунча  $AB$  кесмани ўтказамиз.

Координаталар системасида  $OA_1B$  учбурчаклик ҳосил бўлади. Бу учбурчакликдан

$$\overline{\tan \alpha} = \frac{\overline{v}}{H_1}.$$

Бўлади.  $\overline{\tan \alpha}$  нинг қийматини юқоридаги формулага қўйиб, қўйидагини ҳосил қиласиз:

$$v_{yp} = \frac{\mu_s}{\mu_t} \frac{\overline{v}}{H_1},$$

Буни соддалаштириб, тезлик масштаби

$$\frac{v_{yp}}{\overline{v}} = \mu_v = \frac{\mu_s}{H_1 \cdot \mu_t}$$

ни оламиз. Демак,  $\tilde{v}$  кесма 1—2 оралиқнинг масштабда ифодаланған ўртаса тезлигини билдиради.

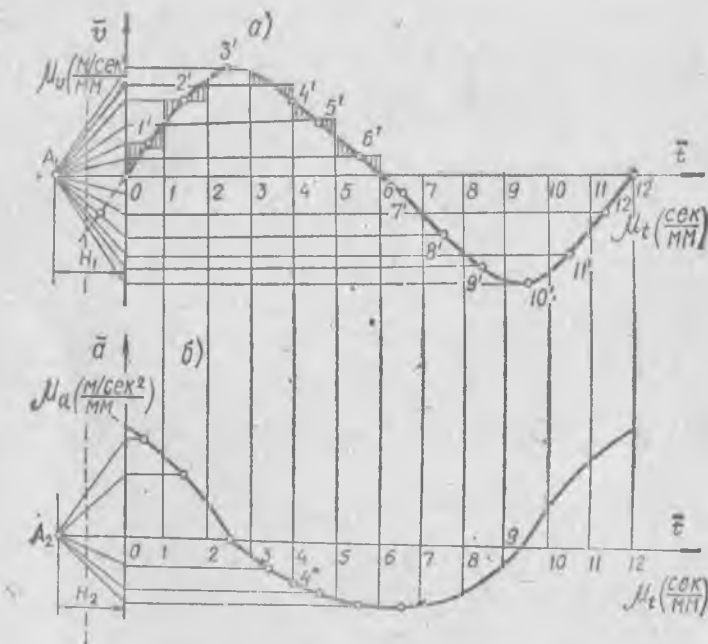
Демак, графикавий дифференциаллаш учун абсциссалар ўқи тенг қысмларга булиніб, ҳар бир булинмадан тик чизиқтар үтказилади. Бу тик чизиқлар билан берилған графикнинг әгри чизигининг кесишув нүкталари белгиланыб, ular ватар чизиқлар воситасида туташтырылади.

$v-t$  графикининг  $A_1$  нүктасидан — қутбдан бу ватар чизиқларга параллел қилиб ординаталар ўқи билан кесишгүнча нур чизиқлар үтказилади. Нур чизиқлар ординаталар ўқида тезлик масштабида ҳар бир оралиқнинг ўртаса тезлик  $v_{up}$  кесмаларини беради. Ординаталардаги кесишув нүкталарини ҳар бир оралиқнинг ўртасига горизонтал чизиқ ёрдамида күчиралыз.

17-шакл, г да в, с ҳарфлари билан белгиланған нүкталар күрсатылған. Бұу нүкталар үзаро туташтирилса, тезлик графикі ҳосил болади. ІОқорида чизилған  $S_B = S_B(t)$  графикини дифференциаллаб, тезлик графикини тұзамыз (18-шакл, а).

Графикни дифференциаллаш тартиби қуйидагича:

1.  $S_B = S_B(t)$  графикіда 0—1, 1—2, 2—3, ..., ватар чизиқлар үтказамыз (18-шакл, б).



18-шакл.

2.  $v_B = v_B(t)$  графигида координаталар бошининг чап томонида  $H_1$  оралиқда  $A_1$  нүктаны (қутбни) белгилаймиз (18-шакл, а).

3.  $A_1$  нүктадан ординаталар ўқи билан кесишгунча 0—1, 1—2, 2—3, ... ватар чизиқларга параллел чизиқлар үтказмиз.

4. Ординаталар ўқидаги кесишув нүктасидан абсциссалар ўқига параллел қилиб, 0—1, 1—2, 2—3, 3—4, ... оралиқлар нинг уртасигача горизонтал чизиқлар ўтказмиз.

5. Белгиланган 1', 2', 3', ... нүкталарни бирлашириб, тезлик графикининг эгри чизигини ҳосил қиласмиз.

6. Сұнгра графикнинг тезлик масштаби

$$\mu_v = \frac{\mu_s}{H_1 \cdot \mu_t} \frac{\text{м/сек}}{\text{мм}}$$

ни аниқлаймиз.

Тезлик графикининг бошланғич ординатасини аниқлаш учун абсциссалар уқининг чап томонига бир булинма чизамиз. Бұ булинма 18-шакл, а да штрих чизиқлар билан курсатылған.

Графикнинг қанчалик туғри чизилганинги текшириш тартиби қўйидагича:

1. Механизм ҳаракатининг бир циклига оид графикнинг бошланғич ва охирги нүкталари бир хил ординатага эга булиши керак.

2. Силжиш графикининг максимал ва минимал ординаталары тезлик ординаталари нолга тенг булиши лозим.

3. Тезлик графикининг максимал ва минимал қийматлари силжиш графикининг эгилиш нүктасига мос келиши зәурүр.

4. Дифференциалланувчи эгри чизиқнинг кутарылған вазияти дифференциалланған эгри чизиқнинг мусбат қийматига, пасайлан вазияти эса манфий қийматига мос булиши керак.

Тезланиш графикини чизиш. Вақт—тезланиш  $a_B = -a_B(t)$  графикини чизиш учун  $v_B = v_B(t)$  графикини юқоридаги каби тартибда дифференция іашнинг ўзи кифоя (18-шакл, б).

Тезланиш графикининг масштаби қўйидагича аниқланади:

$$\mu_a = \frac{\mu_y}{H_2 \cdot \mu_t} \frac{\text{м/сек}^2}{\text{мм}}, \quad (50)$$

бу ерда  $H_2$ —тезланиш графикининг құгбий оралиғи.

Агар нүкта ёки звено эгри чизиқ бүйлаб ҳаракатланса, унинг тезлик графикини дифференциаллаш натижасыда уринма тезланиш  $a_B^t$  нинг ўзгариш қонуни чиқади. Агар нүкта ёки звено түғри чизиқ бүйлаб ҳаракатланса, унинг нормал тезланиши  $a^t$  нолга тенг бўлганда, чизилган график тұла тезланишнинг ўзгариш қонунини тасвиirlайди.

(50) формуладан күрінідікі, тезланиш масштаби  $\mu_a$  қутб оралиғи  $H_2$  нинг танланишига боғлиқ. Құтб оралиғи қанча катта бұлса, тезланиш графигининг ординатасы шунчай ошади. Шунинг учун графикнинг эң тик бұлған ватар чизигінде параллел чизик үтказиб, графикнинг максимал ординатасын белгилаймиз ва қутб оралиғи  $H_2$  ни танлаймиз.

Тезлик  $v_B = v_B(t)$  ва тезланиш  $a_B = a_B(t)$  графикларидаги йүғон әгри чизик шундай үтказилиши керакки, бўлинмалар ўртасида белгиланган нуқталардан үтган ва бу әгри чизиқка тик бұлған чизиқлар орасидаги юзалар бир-бирига тенг бўлсин (18-шакл, а).

Графиклар чизиб бўлингандан сўнг нуқтанинг ёки звено-нинг исталган ҳолатининг тезлик ёки тезланиш қийматини аниқлаш учун уларнинг диаграммасидан шу ҳолатнинг ордината баландлыгини мән ҳисобида ўлчаб, тезлик  $\mu_v$  ёки тезланиш  $\mu_a$  масштабларига кўпайтириш керак.

**Мисол.** Кривошип-ползуныи механизм (18-шакл, а, б) ползуни тўрт вазиятининг тезлик қиймати

$$v_t = 44^{\prime\prime} \cdot \mu_v \text{ м/сек}$$

формула ёрдамида, тезланиш қиймати

$$a_t = 44^{\prime\prime} \cdot \mu_a \text{ м/сек}^2$$

формула ёрдамида ҳисоблаб топилади.

2. Орттириш усули. Графикларни орттириш усули билан ҳам дифференциаллаш ва интеграллаш мумкин. Масалан, 19-шакл, а да кўрсатилган тезлик  $v = v(t)$  графикиги берилган бўлсин. Уни орттириш усули билан дифференциаллаб, тезланиш  $a = a(t)$  графикини ҳосил қиласиз.

Дифференциаллаш тартиби қўйидагича бўлади:

1. Берилган  $v = v(t)$  графикининг абсциссалар ўқини бир неча  $0 - 1, 1 - 2, 2 - 3, \dots$  тенг қисмларга бўлиб, улардан тик чизиқлар үтказамиш.

2. Ҳар бир бўлинманинг бошланиш тик чизиги билан графикнинг кесишув нуқтасидан навбатдаги тик чизиги билан кесишгунча горизонтал үтказиб,  $a_1, a_2, a_3, \dots$  нуқталарни белгилаб оламиш. Шунда ҳосил бўлган  $a_1 - 1, a_2 - 2, a_3 - 3, \dots$ , ордината кесмалари тезликнинг элементар орттиримаси

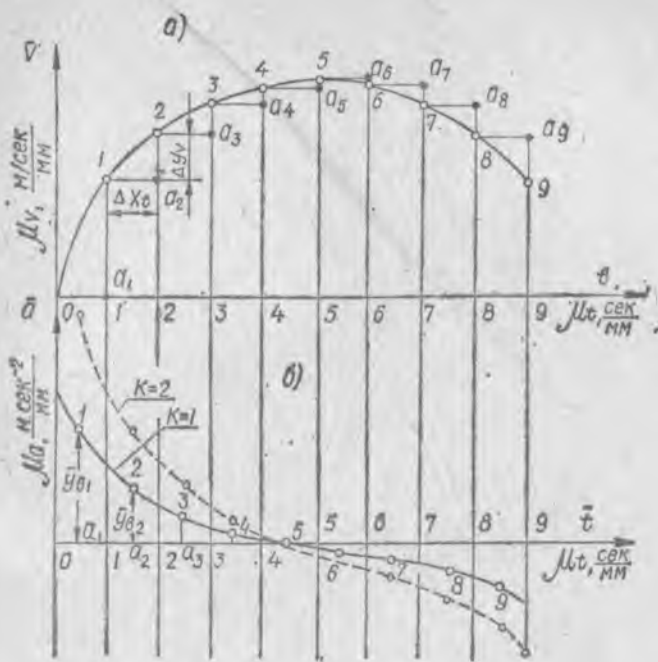
$$\Delta v = \Delta y_v \cdot \mu_v \text{ ни,}$$

$0 - a_1, 1 - a_2, 2 - a_3, \dots$  горизонтал кесмалар эса вақтнинг элементар орттиримаси

$$\Delta t = \Delta x_t \cdot \mu_t$$

ни билдиради. У ҳолда тезланиш қўйидагича ифодаланади:

$$a = \frac{\Delta v}{\Delta t} = \frac{\Delta y_v \cdot \mu_v}{\Delta x_t \cdot \mu_t}.$$



19-шакл.

Бўлинмалар оралиғи бир-бирига тенг бўлгани учун ҳар бир бўлинманинг ўртача тезланиши  $a_1 - 1, a_2 - 2, a_3 - 3, \dots$  кесмалар билан ифодаланувчи тезликларнинг орттириласига пропорционал бўлади.

3. Берилган тезлик  $v = v(t)$  графигининг остига тезланиш  $a = a(t)$  координаталарини чизамиз (19-шакл, б).

4. Тезлик графигининг тик чизиқларини пастга давом этириб,  $a = a(t)$  графигининг абсциссалар ўқини тенг кесмаларга бўламиз.

5. Бу бўлинмаларнинг ўргасига  $a_1 - 1, a_2 - 2, a_3 - 3, \dots$  тезлик орттирма кесмаларини белгилаймиз, яъни абсциссалар ўқининг 0—1 бўлинмаси ўртасига  $y_{B_1} = a_1$  ва 1—2 бўлинмаси ўртасига  $y_{B_2} = a_2$  кесмаларни қўямиз.

(Агар тезланиш  $a = a(t)$  графиги кичик чизилса, орттирма кесмаларини  $K$  марта катталаштириб чизиш керак.)

6. Белгиланган нуқталарни йўгон текис чизиқ билан бирлаштириб, тезланиш  $a = a(t)$  графигини ҳосил қиласиз.

7. Тезланишининг ординаталар ўқидаги масштабини аниқлаймиз:

$$a = \frac{\Delta v}{\Delta t}$$

ни кесмалар орқали ифодалаб, қуйидагини ҳосил қиласиз:

$$\bar{y}_B \cdot \mu_a = \frac{\Delta y_v \cdot \mu_q}{\Delta x_t \cdot \mu_t}.$$

Агар тезлик орттирилган  $K$  марта оширилса,

$$\bar{y}_B = K \cdot \Delta y_v$$

булади. У ҳолда, тезланиш масштабининг қуйидаги формуласига эга бўламиш:

$$\mu_a = \frac{\mu_v}{K \cdot \Delta x_t \cdot \mu_t} \frac{\text{м/сек}^2}{\text{мм}}, \quad (51)$$

бу ерда  $\mu_v$  — тезлик масштаби,  $\frac{\text{м/сек}}{\text{мм}}$ ;

$\mu_t$  — вақт масштаби,  $\frac{\text{сек}}{\text{мм}}$ ;

$\Delta x_t$  — бўлинмалар оралиги, мм;

$K$  — тезлик орттирилганнинг неча марта катталашгани билдирувчи сон.

Графикларни интеграллаш учун дифференциаллаш усулида бажарилган ишлар тескари тартибда бажарилиши керак. Графикларни ватар ўtkазиш усули билан интеграллаш тартиби шу китобнинг кулачокли механизмлар лойиҳалашга бағишлиланган қисмида берилган.

### III. МАШИНА ВА МЕХАНИЗМЛАР ДИНАМИКАСИ

Механизм динамикасини текширишда, асосан, иккита масала ҳал қилинади: 1) ҳаракатланувчи механизмнинг кинематиковий жуфтларидаги реакция ва босим кучларини, шунингдек, унинг звеноларига таъсир этувчи номаълум тащқи кучларни аниқлаш; 2) механизм ёки машинанинг қўйилган куч таъсирида унинг ҳақиқий ҳаракатланиш қонунини аниқлаш.

Биринчи масала *механизмларни кинетостатикавий текшириш*, иккинчи масала эса *механизилар динамикаси* дейлади.

Бу қисмда кинематиковий жуфтлардаги ишқаланиш, механизмларнинг фойдали иш коэффициенти, машина ҳаракатининг тенгламаси ва бошқа масалалар ҳам текширилади.

#### 1. МЕХАНИЗМ ЗВЕНОЛАРИГА ТАЪСИР ЭТУВЧИ КУЧЛАР

Машина ҳаракатланганда унинг звеноларига қуйидаги кучлар таъсир қиласиди:

1. Механизмнинг етакчи звеносига қўйилган мусбат иш бажарадиган ҳаракатлантирувчи куч. Бу куч тезлик йўналиши билан ўткир бурчак ҳосил қиласан ҳолда, ҳаракат томонига йўналади. Ҳаракатлантирувчи кучни  $P_x$  ҳарфи билан,

моментни эса  $M_x$  ҳарфи билан белгилаймиз (20-шакл, а). Бу куч ёки момент ҳаракат тезлигини оширади. Етакчи звеноларнинг ҳаракатлантирувчи кучи механизм ёрдамида етакланувчи звенога сўнгра момент орқали иш бажарувчи машинанинг етакчи звено-сига узатилади. Ҳаракатлантирувчи  $P_x$  кучни бирор тур (термик, электрик, гидравликавий ва бошқа) энергияни механикавий ишга айлантирувчи двигателлар ҳосил қиласади. Масалан, ички ёнув двигателининг цилинтрида газнинг поршенга бўлган босими таъсида ҳаракатлантирувчи куч ҳосил бўлади. Электрик двигателда ротор ўрамидаги ток ва магнитавий майдоннинг ўзаро таъсири натижасида ҳаракатлантирувчи куч моменти  $M_x$  ҳосил бўлади ва ҳоказо.

2. Фойдали қаршилик кучлари. Механизм талаб қилинган, зарур бўлган ишни бажаради. Бу қаршилик кучини енгиш учун машина яратилади. Фойдали қаршилик кучини  $P_\phi$  ҳарфи билан белгилаймиз. Бу куч ҳаракатланиш томони билан ўтмас бурчак ҳосил қиласиб йўналади ва ҳаракатни секинлаштириб, манфий иш бажаради (20-шакл, б). Бу куч технологик қаршилик кучи деб ҳам аталади. Масалан, металлни кесиш, суюқлик аралашмасини қоришиши, донни янчиш учун сарфланган куч фойдали қаршилик кучи бўлади.

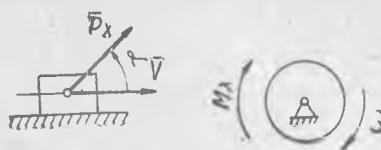
3. Зараарли қаршилик кучлари. Бу кучлар, асосан, ишқаланиш кучи ва муҳит (ҳаво, суюқлик) нинг қаршилик кучлари булиб, улар звеноларнинг бир-бирига нисбатан силжиши натижасида ҳосил бўлади. Ишқаланиш кучи кинематикавий жуфтларда ҳосил бўлиб, у бир звенонинг иккинчи звено-гина нисбатан нисбий тезлигига қарама-қарши йўналади. Ишқаланиш кучининг иши манфий булиб кучнинг йўналиши нуқта тезлигига нисбатан ўтмас бурчак ҳосил қиласди.

4. Оғирлик кучи. Ў доимий қийматга teng бўлиб, доимо пастга (Ернинг оғирлик марказига) томон йўналади. Бу кучнинг бажарган иши, юкнинг йўналишига қараб, манфий ёки мусбат булиши мумкин.

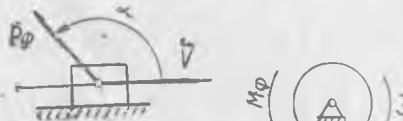
5. Инерция кучи. Ҳаракатдаги моддий нуқта тезланишига қарама-қарши йўналган куч булиб, у моддий нуқта масаси билан тезланишининг кўпайтмаси билан ўлчанади.

6. Реакция кучлари. Бу кучлар кинематикавий жуфтларда ҳосил бўлади ва бир звенонинг иккинчи звено-гина босиш кучини кўрсатади.

а)



б)



20-шакл.

Машинанинг қайси тур технологик процесслик бажарышига қараб, ҳаракатлантирувчи куч ва фойдали қаршилик кучлари турли параметрларнинг (силжиш, тезлик ҳамда вақт) функцияларига боғлиқ бўлади. Ҳар бир двигатель ва иш бажарувчи машинанинг механикавий характеристикаси бўлади. Машина етакчи валининг шу вал бурчагий тезлигига боғлиқлигини кўрсатувчи нисбат **механикавий характеристика** дейилади.

Механизмларни кинетостатикавий ҳисоблашда фойдали қаршилик ва оғирлик кучлари берилади. Қолган кучлар аниқлашади. Реакция ва ҳаракатлантирувчи кучларни аниқлаш механизмларни **кинетостатикавий текшириш** дейилади.

Қўйида номаълум кучларни аниқлаш тартиби билан танишиб чиқилади.

## 2. МЕХАНИЗМ ЗВЕНОЛАРИДАГИ ИНЕРЦИЯ КУЧЛАРИНИ АНИҚЛАШ

Динамика масалаларини ёчишда мувозанат тенгламасини татбиқ этиш зарур бўлганда инерция кучи ҳисобга олиниши керак. Звенодаги айрим моддий нуқталарнинг инерция кучлари ҳажмий кучлар системасини ҳосил қиласди. Элементар инерция кучлари системасини соддалаштириш учун улар нуқтавий массаларнинг барча элементар инерция кучларига мос келадиган тейнг таъсир этувчи куч ва моментга алмаштирилди. Инерция кучини ҳисобга олиб, звеноларга таъсир этувчи ва кинематикавий жуфтлардаги реакция кучларини ҳисоблаш механизмлар кинетостатикасининг асосий масаласидир.

Ҳозирги тезюар машиналарда механизм звеноларидаги инерция кучларини ҳисобга олиш зарур, чунки бу кучларнинг қиймати айрим ҳолларда звеноларнинг оғирлик кучларидан бир неча минг марта катта бўлади.

Кинематикавий жуфтларнинг реакция кучларини аниқлашда кривошиппинг айланиш частотаси узгармас  $\omega_1 = \text{const}$  қилиб олинади. Ишқаланиш кучи ҳисобга олинмайди.

Бундай ҳисоблаш тақрибий ҳисоблаш дейилади. Звено ва унинг элементига таъсир этувчи кучлар йигиндисини билиш звенонинг кундаланг кесими мустаҳкамлигини ҳисоблаш учун керак булибгина қолмасдан, балки кинематикавий жуфтларнинг мустаҳкамлиги, ейилишга чидамлилиги ва мойни сиқиб чиқармаслигини текшириш учун ҳам керак бўлади. Кўп ҳолларда ясси механизмларнинг звенолари симметрия текислигига эга, симметрия текислиги эса ҳаракатланиш текислигига параллел бўлади. Бу эса ҳар бир звенонинг инерция кучини унинг симметрия текислигига жойлашган кучлар системаси деб қарашга имкон беради.

Назарий механикадан маълумки, бундай кучлар системасини умумий ҳолда бир кучга—инерция кучининг бош вектори

$$\vec{P}_u = -m\vec{a}_s \quad (52)$$

га, яъни звено массасининг марказига қўйилган ва

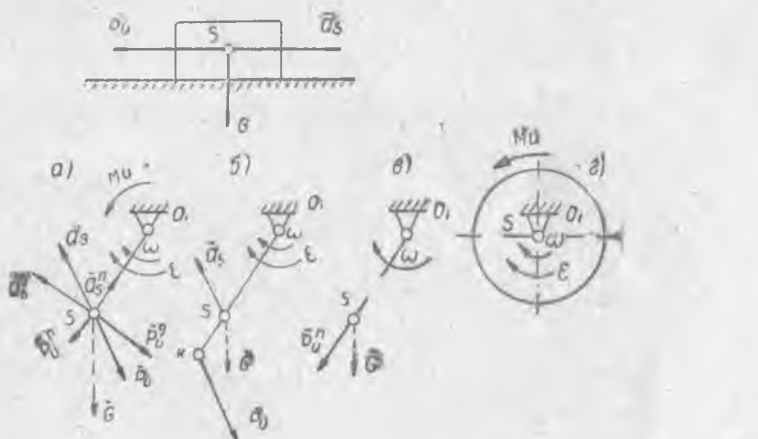
$$M_u = -I_s \cdot \varepsilon \quad (53)$$

инерция кучининг бош моментига тенг бўлган жуфт кучга келтириш мумкин. Бу ердаги манфий ишора инерция кучининг вектори звено массасининг марказига қўйилган бўлиб, оғирлик марказининг тезланиши  $a_s$  га қарама-қарши йўналганилигини ва момент  $M_u$  бурчагий тезланиш  $\varepsilon$  га тескари йўналганилигини билдиради.

Механизм звёноларининг ҳаракатида ҳосил бўлган инерция кучлари звенонинг тури ва улар ҳаракатининг характеристига боғлиқ бўлади.

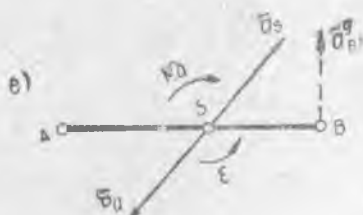
Звеноларининг инерция моменти  $I_s$  турли (аналитикавий, графоаналитикавий ва тажрибавий) усуллар билан аниқланади.

$\partial)$



21-шакл ( $a, b, c, d, e$ ).

Курсавий лойиҳалашда, кўпинча, уларнинг қийматлари берилади. Кўйида турли звеноларнинг ҳаракатидаги инерция кучларини аниқлаш билац танишиб чиқамиз.



21-шакл ( $e$ ).

I. Звено құзғалмас үқ (стойка) атрофида айланма ҳаракат қиласы.

1. Звенолар (коромисло, кулиса) иотекис айланма ҳаракат қиласы (21-шакл, а). Звено  $S$  массасининг оғирлик маркази  $O_1$  айланиш үқида ётмаса бу звеноларда  $P_u = -ma_s$  инерция кучи ва унинг  $M_u = -I_s \cdot \epsilon$  моменти ҳосил бұлади.

Инерция кучи  $P_u$  ни звено массасининг  $S$  марказига құяды. У  $a_s$  тезланишга параллел ва унга қарама-қарши томонға йұналади. Инерция жуфт кучининг моменти  $M_u$  бурчагий тезланиш  $\epsilon$  га тескари йұналади.

Хисоблашни қулайлыштириш учун система кучлари  $P_u$  билан  $M_u$  битта умумий инерция кучи  $P_u = -ma_s$  га алмаштирилади. Бу күч  $S$  нүктадан зарб маркази  $K$  га ўз-ўзига параллел равища күчириледи (21-шакл, б). Бу зарб маркази  $K$  нинг вазияти

$$l_{ok} = l_{os} + \frac{J_S}{mi_{os}} \quad (54)$$

формуладан хисоблаб топилади.

Бу марказ звенодаги барча инерция кучларининг йиғинди-си құйилған нүктадир. Зарб маркази (нүктаси) вазиятини билиш катта ажамиятга ега. Масалан, майдалаш машиналарда инерция кучлари фойдалы иш бажаради.

$K$  пүктан топиш учун  $h$  нинг қийматини

$$h = \frac{M_u}{P_u} \quad (55)$$

формуладан анықлаб,  $P_u$  күчни  $h$  баландликка суралып. Сурилған чизиқнинг звено билан кесишишган нүктаси зарб маркази  $K$  ни беради. Ана шу нүкігінде  $P_u$  күч күчириледи (21-шакл, б). Шунда момент  $M_u$  нинг қиймати хисоблаб чиқарылмайды. У автоматик равища хисобға олинған бұлади.

Звено массасининг  $S$  маркази  $O_1$  айланиш үқида ётса, унда инерция кучининг моменти  $M_u$  ҳосил бұлади (21-шакл, 2). Унинг қиймати  $M_u = -I_s \cdot \epsilon$  бұлади. Инерция кучи  $P_u$  нолға тең ( $P_u = 0$ ) бұлади.

2 Звено құзғалмас үқ атрофида текис айланади ( $\epsilon = 0$ ) (21-шакл, в). Бу звено массасининг  $S$  маркази  $O_1$  айланиш үқида ётмаса, у ҳолда инерция кучи  $P_u$  ҳосил бұлади. Инерция кучининг қиймаги  $P_u = -ma_s$  бўлиб, у масса маркази  $S$  дан  $l_{os}$  радиус бўйлаб ташқарига йұналади.  $\epsilon = 0$  бўлгани учун  $M_u = 0$  бұлади.

Агар звено массасининг  $S$  маркази  $O_1$  айланиш үқида ётса,  $P_u = 0$  ва  $M_u = 0$  бұлади, чунки бу ҳолда,  $a_s = 0$  ва  $\epsilon = 0$ .

II. Звено туғри чизиқ бўйлаб илгарилама-қайтар ҳаракат қиласы (21-шакл, д). Звенодаги барча нүк-

таларниң тезланишлари ўзаро тенг бүлгани учун унинг инерция кучи звенонинг исталган нүктасининг инерция кучига тенг булади:

$$P_u = -ma_s = -ma_A = -ma_B = \dots$$

Бу қуч звено  $S$ , массасининг  $S$  марказига қўйилган ва  $a_s$  тезланишга параллел ва қарама-қарши томонга йўналади.

Звенонинг бурчагий тезланиши  $\epsilon = 0$  бўлгани учун инерция кучининг моменти  $M_u = 0$  булади.

III. Звено мураккаб текис ҳаракат қиласди, бунга шатун мисол бўла олади (21-шакл,  $e$ ). Мураккаб ҳаракат қилиувчи звенога таъсир этувчи барча элементар инерция кучлари битта масса маркази  $S$  га қўйилган  $P_u$  инерция кучига ва инерция жуфт кучининг моменти  $M_u$  га тенгланади. Шатуннинг ҳаракати икки ҳаракатдан:

1) звено массасининг  $S$  марказининг кўчирма-илгарилама ҳаракатидан ва

2) звено массасининг маркази атрофида нисбий айланма ҳаракатидан иборат.

Биринчи ҳаракатда умумий инерция кучи ҳосил булади:

$$P_u = -ma_s, \quad (56)$$

иккинчи ҳаракатда жуфт куч ҳосил бўлиб, унинг моменти қўйидагича топилади:

$$M_u = -I_s \cdot \epsilon, \quad (57)$$

бу ерда  $a_s$  — масса  $S$  марказининг чизирий тезланиши (тезланишлари планини тузиш йули билан аниқланади);

$\epsilon$  — шатуннинг нисбий ҳаракатидаги бурчагий тезла-

ниши (унинг қиймати  $\epsilon = \frac{a_{BA}}{l_{AB}}$  бўлиб, тезланишлар планидан аниқланади);

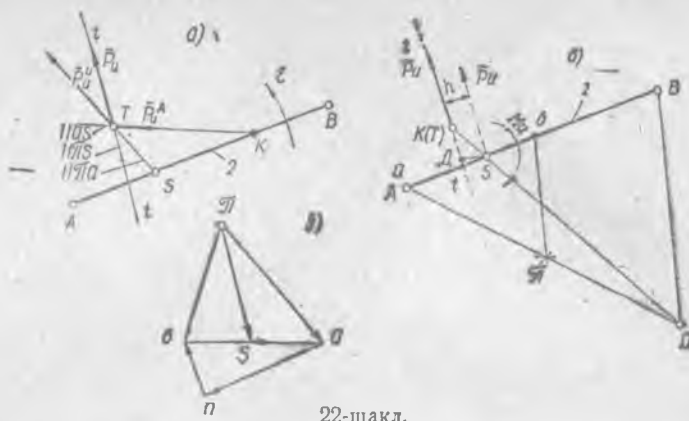
$m$  — звенонинг массаси, кг;

$I_s$  — звено массасининг  $S$  марказига нисбатан инерция моменти, кгм<sup>2</sup>.

Кўпинча, ҳисоблашни осонлаштириш учун  $P_u$  куч билан  $M_u$  момент битта  $P_u$  куч билан алмаштирилади. Бу ҳолда  $P_u$  кучининг звенодаги қўйилиш нүктаси ўзгартирилади. Кучнинг қўйилиш нүкталари бир неча усул билан аниқланиши мумкин.

1. Графикавий усул. а)  $AB$  шатун берилган бўлсин (22-шакл,  $a$ ). Унинг тезланишлар планини тузамиш (22-шакл,  $b$ ). Шатуннинг ҳаракатини мураккаб деб, уни икки ҳаракатга: π қутб атрофида бўладиган нисбий айланма ҳаракатга ва қутб билан бирга бўладиган кўчирма-илгарилама ҳаракатга ажратамиш. У ҳолда, звенонинг умумий инерция кучи  $P_u$  икки инерция кучининг геометрик йиғиндисидан иборат булади:

$$P_u = P_u^a + P_u^A,$$



22-шакл.

Бу ерда  $P_u^u$  — күчирма-илгарилама ҳаракатнинг инерция кучи (унинг қиймати  $P_u^u = -ma_A$  бўлиб, массасининг  $S$  марказига қўйилади);

$P_A^u$  — нисбий айланма ҳаракатнинг инерция кучи (унинг қиймати  $P_A^u = -ma_{SA}$  бўлиб, зарб маркази  $K$  га қўйилади). Зарб марказининг звенодаги жойи қўйидагича топилади:

$$l_{SK} = \frac{l_S}{ml_{AS}} \quad (58)$$

$AB$  звено массасининг  $S$  марказидан тезланишлар планидаги  $a_A$  ни тасвирловчи  $\pi a$  кесмага параллел ватескари йуналишда  $ST$  тўғри чизиқ ўтказамиш. Бу чизиқ инерция кучи  $P_u^u$  нинг ҳаракат чизиги йуналиши бўлади. Звенонинг зарб нуқтаси  $K$  дан пландаги  $a_{SA}$  тезланишнинг  $\pi s$  кесмасига параллел ва қарама-қарши йуналишда  $KT$  тўғри чизиқ ўтказамиш. Бу чизиқ инерция кучи  $P_u^u$  ҳаракат чизигининг йуналиши бўлади. Икки чизиқнинг кесишув нуқтасида  $T$  нуқтани оламиш. Бу  $T$  нуқтадан пландаги  $a_s$  тезланишнинг  $\pi s$  кесмасига параллел ватескари йуналишда умумий инерция кучи  $\bar{P}_u$  нинг йуналишини чизамиш. Бу  $tt$  чизиқ инерция кучи  $\bar{P}_u = -ma_s$  ҳаракат чизигининг йуналиши бўлади.

б) Агар айланиш қугби сифатида  $AB$  шатун массасининг  $S$  маркази қабул қилинса (22-шакл, б), у ҳолда  $AB$  звенонинг ҳаракати икки ҳаракатга: масса маркази  $S$  нинг  $v_s$  тезлиги ва  $a_s$  тезланиши билан бўладиган илгарилама ҳаракат ва  $S$

нуқта атрофида бұладиган айланма ҳаракатта ажратилади.  $AB$  звенонинг илгариlama ҳаракатдати инерция кучи

$$P_u^u = -ma_s = P_u$$

бұлып, массанинг  $S$  марказига құйылади.

Звенонинг масса  $S$  маркази атрофидаги айланма ҳаракатда-  
ги инерция кучи

$$P_u^A = 0$$

бұлади. Лекин унинг инерцион моменті құйидагига тең:

$$M_u = -I_S \cdot \varepsilon.$$

Демек,  $AB$  звенонинг инерция күчлары системаси  $S$  нуқта-  
га құйилған  $\bar{P}_u = \bar{P}_u^u$  күчге ва  $M_u$  моментте келтириледи. Бұ-  
куchlар системасини  $\bar{P}_u = -\bar{ma}_s$  күчте тең бир күчте келти-  
риш мүмкін. Унинг ҳаракат чизиги  $S$  нуқтадан  $I_{SD}$  оралықда  
үтади. Унинг құйымати құйидагы топилади:

$$I_{SD} = \frac{M_u}{P_u} \quad (59)$$

22-шаклда  $\bar{P}_u$  күчнинг йұналиши ва  $h$  оралығы штрих чи-  
зиқлар билан күрсатылған.

2. Оний тезланишлар марказини қуриш усу-  
ли. 22-шакл, б) даги  $AB$  шатуннинг тезланишлар планини чи-  
замиз. Схемада тезланишлар планидаги  $\tau_{ab}$  учбұрчакликка  
үхшаш  $PAB$  учбұрчаклик чизиб, тезланишлар оний маркази  
 $P$  ни схемада аниқлаймыз. Бунинг учун пландаги  $ab$  кесма-  
нинг  $a$  нуқтасини схемадаги  $A$  нуқтага күчириб,  $AB$  звенода  
 $ab$  кесмани белгилаймыз. Схемада белгиланған  $ab$  томонға  
планнинг  $\tau_{ab}$  учбұрчаклигини чизамиз. Сұнгра звенонинг  $B$   
нуқтасидан  $a\pi$  чизиқнинг давомида кесишувчи  $\tau_b$  томонға па-  
раллел қилиб  $B\pi$  чизиқнү үтказамиз. Бу чизиқнинг кесишув  
нуқтаси звенонинг оний тезланиш маркази  $P$  ни беради.

П нуқтани звенонинг  $S$  нуқтаси билан бирлаштириб, унинг  
давомида  $T$  нуқтани аниқлаймыз. Бу нуқта оний тезланиш  
марказидан

$$I_{PT} = I_{PS} + \frac{J_S}{ml_{PS}} \quad (60)$$

масофада ётади. Сұнгра  $T$  нуқтадан тезланишлар планидаги  
 $\tau_S$  кесмага параллел ва тескари йұналишда қилиб инерция кү-  
чи  $\bar{P}_u = -\bar{ma}_s$  нинг йұналишини чизамиз (22-шакл, e).

### 3. МЕХАНИЗМЛАРНИ КИНЕТОСТАТИКАВИЙ ҲИСОБЛАШ

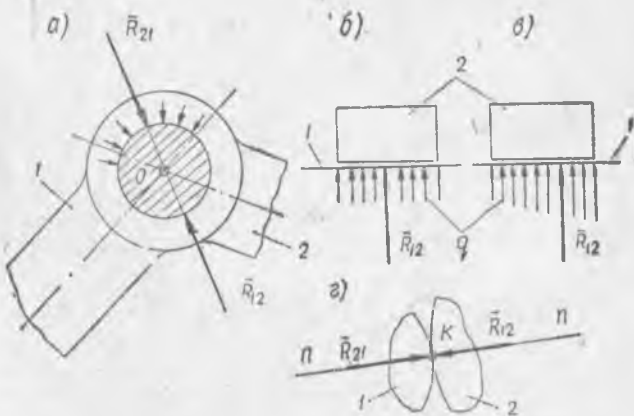
Бирор кинематикавий занжирни кинетостатикавий ҳисоблаш учун у статикавий аниқ масала бўлиши, яъни бу занжир учун тузилган тенгламалар сони ундаги номаълумлар сонига тенг бўлиши керак. Звенога таъсир этувчи кучнинг қиймати, қўйилиш нуқтаси ва йўналиши маълум бўлиши лозим. Кинематикавий жуфтларнинг турига қараб, юқорида айтилганлардан айримлари маълум бўлади. Қолган номаълумларни топиш зарурати туғилади.

Реакция кучи (узаро таъсир кучи) икки жисм (звено) бирбирига таъсир этганда ҳосил бўлиб, у (ишқаланиши ҳисобламаганда) уриниш нуқтасидан ўтган нормал чизиқ бўйича йўналади. Ҳар қайси кинематикавий жуфтни алоҳида кўриб чиқамиз.

1. Айланма кинематикавий жуфт (23-шакл, а) звено 1 звено 2 га (ёки аксинча) таъсир қилганда элементда ҳосил бўлган таъсир кучлари шарнир марказидан ўтади. Демак, шарнирнинг реакция кучи қўйилган нуқта маълум, у доимо шарнир марказидан ўтади. Кучнинг қиймати ва йўналиши номаълум. Уларни аниқлаш талаб қилинади.

2. Илгарилама кинематикавий жуфт (23-шакл, б). Бу кинематикавий жуфтда ҳосил бўлган реакция кучининг йўналиши маълум бўлиб, у звенонинг ҳаракат чизигига тик йўналган. Кучнинг қиймати ва қўйилиш нуқтаси номаълум. Илгарилама кинематикавий жуфтларда реакция кучи қўйилган нуқтанинг қаерда бўлиши катта аҳамиятга эга. Агар реакция кучи ползун ўртасидан ўтса (23-шакл, в), ундаги босим кучлари  $q$  симметрик жойлашади.

Агар  $R$  бир томонга сурилган бўлса (23-шакл, в), ундаги босим кучлари  $q$  нинг эпюраси носимметрик бўлиб, ползун



23-шакл.

Йұналтиргичида ҳаракатланаётганды унинг тиқилиб қолишига сабаб бўлиши мумкин.

3. Олий кинематикавий жуфтлар (23-шакл, 2). Бу кинематикавий жуфтда ҳосил бўлган реакция кучининг қўйилиш (таъсир этиш) нуқтаси ва йўналиши маълум. Куч икки звенонинг уриниш нуқтасидан ўтказилган  $\mu$  нормал бўйича йўналади. Кучнинг қиймати аниқланса, бас.

Энди механизм кинематикавий жуфтларидаги реакция кучларини топишга ўтамиз.

Механизмни кинетостатикавий ҳисоблаш уни кинематикавий ҳисоблашнинг тескари тартибида бажарилади. Бунинг учун:

1. Механизмга таъсир этувчи барча ташқи кучлар аниқланади.

2. Етакчи звено танлаб олинади. Звенонинг ташқи система билан қандай боғланиши, яъни звено қайси манбадан қувват олиб ҳаракатланиши аниқланади.

3. Берилган ўлчамлар асосида механизмнинг кинематикавий схемаси чизилади.

4. Механизмнинг структураси текширилиб, унинг кинематикавий занжири Ассур группаларига ажратилади.

5. Механизмнинг берилган вазияти учун тезликлар плани ва тезланишлар плани тузилади.

6. Барча звеноларнинг инерция кучлари ҳисоблаб топилади-да, улар механизмга қўйилади.

7. Механизмнинг кинематикавий занжиридаги жуфтларнинг реакция кучлари куч плани ёрдамида аниқланади. Ўз ҳисоб этакчи звенодан энг узоқда бўлган группанинг кучларини ҳисоблашдан бошланади.

8. Етакчи звено кинетостатикавий ҳисобланади.

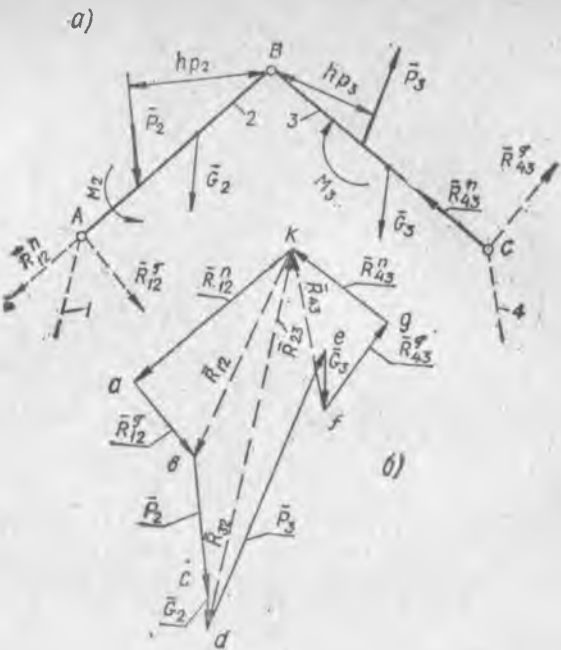
9. Етакчи звенонинг мувозанатловчи кучи (ёки моменти) Жуковский усули билан аниқланади. Икки усулда ҳисобланган  $\bar{P}_\mu$  кучнинг қийматлари таққосланади. Улар сон қийматларининг фарқи 5% дан ошмаслиги керак.

Техникада асосан II класс механизмлари кўп учрайди. Шунинг учун II класс механизмни ташкил қилувчи II класс Ассур группаларининг ҳар хил турларини кинетостатикавий ҳисоблаш усулларини кўриб чиқамиз.

Агар бу ҳисоблаш усули яхши ўзлаштирилса, у ҳолда, бундай группанинг қайси тури механизмнинг қаериға ўрнатилишидан қатъи назар, уни осон ҳисоблаш мумкин.

#### 4. ИККИНЧИ КЛАСС, АССУР ГРУППАЛАРИНИ КИНЕТОСТАТИКАВИЙ ҲИСОБЛАШ

1. II класс 2-тартибли 1-тур Ассур группасининг кинематикавий жуфтларидаги реакция кучларини аниқлаш. Ассур группасини кинетостатикавий ҳисоблашда уни механизмдан ажратиш керак. Группанинг 2



24-шакл.

ва 3 звеноларига  $\bar{P}_1$  ва  $\bar{P}_3$  кучлар (инерция кучи билан биргаликда),  $G_2$  ва  $G_3$  оғирлик кучлари ҳамда  $M_2$  ва  $M_3$  моментлар таъсир қилмоқда дейлил. Пунктир чизиқлар группага уланган 1 ва 4 звеноларни күрсатади (24-шакл, а). Группасынг 1—2, 2—3, 3—4 звенолар бирлаштирилган кинематик жуфтлардаги реакция кучлари аниқлансан.

Ассур группасини 1 ва 4 звенолардан ажратиб, А ва С нүкталарга ихтиёрий йұналишда  $\bar{R}_{12}$  ва  $\bar{R}_{43}$  реакция кучларини құйымыз. Кинематикавий жуфтларнинг реакция кучларини икки рақамдан иборат индексли  $R$  ҳарфи билан белгилаймиз. Масалан,  $\bar{R}_{12}$  белги звено 1 нинг звено 2 га күрсатған реакция кучини билдиради. Маълумки, звено 1 звено 2 га қанча куч билан таъсир әтса, звено 2 ҳам звено 1 га шунча куч билан, аммо тескари йұналишда таъсир қилади:

$$\bar{R}_{12} = -\bar{R}_{21}$$

Кинематикавий жуфтларнинг реакция кучлари қуйидаги тартибда аниқланади:

1) А ва С шарнирларидаги  $\bar{R}_{12}$  ва  $\bar{R}_{43}$  реакция кучларини ташкил этувчиларга ажрагамиз;

$$\bar{R}_{12} = \bar{R}_{12}^n + \bar{R}_{12}^s \quad (61)$$

$$\bar{R}_{43} = \bar{R}_{43}^n + \bar{R}_{43}^s. \quad (62)$$

бу тенгламада  $\bar{R}_{12}^n$  ва  $\bar{R}_{43}^n$  — нормал реакция кучлари бўлиб, улар звено ўқлари бўйлаб йўналган;  $\bar{R}_{12}^s$  ва  $\bar{R}_{43}^s$  — уринма кучлар, улар звеноларга тик йўналган.

2) Уринма ташкил этувчи кучларнинг қийматини аниқлаймиз. Бунинг учун ҳар бир звенони мувозанатда деб, В нуқтага нисбаган моментлар тенгламасини тузамиз.

Звено 2 учун:

$$- R_{12}^s \cdot l_{AB} - P_2 \cdot h_{P_2} - M_2 - G_2 \cdot h_{G_2} = 0; \quad (63)$$

бундан

$$R_{12}^s = - \frac{P_2 \cdot h_{P_2} + G_2 \cdot h_{G_2} + M_2}{l_{AB}}$$

звено 3 учун:

$$- R_{43}^s \cdot l_{BC} - P_3 \cdot h_{P_3} + G_3 \cdot h_{G_3} + M_3 = 0; \quad (64)$$

бундан

$$R_{43}^s = - \frac{G_3 \cdot h_{G_3} + M_3 - P_3 \cdot h_{P_3}}{l_{BC}}.$$

Тенгламалардаги  $h_{P_2}$ ,  $h_{P_3}$ ,  $h_{G_2}$ ,  $h_{G_3}$  елкаларнинг қийматлари чизмадан ўлчанади. Агар ҳисоблаш натижасида уринма реакция кучларнинг ишораси манфий чиқса, унинг йўналишини ўзгартириш керак.

3) Группанинг мувозанат шартини бажариш учун группага таъсир этувчи барча кучларнинг йигиндиси нолга тенг бўлиши керак:

$$\bar{R}_{12}^n + \bar{R}_{12}^s + \bar{P}_2 + \bar{G}_2 + \bar{P}_3 + \bar{G}_3 + \bar{R}_{43}^n + \bar{R}_{43}^s = 0. \quad (65)$$

Юқоридаги тенгламада қиймати ва йўналиши маълум бўлган кучлар остига икки чизиқ, фақат йўналиши маълум бўлган кучлар остига бир чизиқ тортилган. Демак,  $\bar{R}_{12}^n$  ва  $\bar{R}_{43}^n$  кучларнинг фақат йўналиши маълум. Уларнинг қийматини аниқлаш учун кучлар планини чизамиз (24- шакл, б).

Бунинг учун кучларнинг ихтиёрий масштаби  $\mu_p \left( \frac{H}{mm} \right)$  ни танилаб, ҳар бир куч кесмаси узунлигини (кучнинг қийматини  $\mu_p$  масштабга бўлиб) аниқлаймиз. Ихтиёрий нуқтадан кучларнинг ҳар бирини ўзига параллел равишда кўчириб,  $\bar{R}_{12}^s$ ,  $\bar{P}_2$ ,  $\bar{G}_2$ ,  $\bar{P}_3$ ,  $\bar{G}_3$ ,  $\bar{R}_{43}^s$  кучларнинг кесмаларини кетма-кет қушамиз.

$\bar{R}_{12}^s$  векторнинг бошланиш нуқтасидан звено 2 га параллел қилиб,  $\bar{R}_{12}^s$  куч векторининг йўналишини,  $\bar{R}_{43}^s$  векторнинг охиридан эса звено 3 га параллел қилиб,  $\bar{R}_{43}^s$  куч векторининг йў-

налишини ўтказамиз. Ўтказилган бу чизиқларнинг кесишув нуқтаси  $\bar{R}_{12}^n$  ва  $\bar{R}_{13}^n$  кучларнинг  $\mu_p$  масштабдаги кесмасини беради. Векторларнинг йўналиши ёпиқ контур ҳосил қилиши керак.

Сўнгра  $\bar{R}_{12}^n$  векторнинг бошланиш нуқтаси билан  $\bar{R}_{12}^n$  векторнинг учини бирлаштириб, тўла реакция  $\bar{R}_{12}$  нинг кесмасини оламиз. Ўнинг қиймати қўйидагича бўлади:

$$R_{12} = \bar{\kappa} \cdot \mu_p \text{ н.}$$

$\bar{R}_{13}^n$  ва  $\bar{R}_{43}^n$  векторларнинг кесмаларини қўшиб, тўла реакция кучи  $\bar{R}_{43}$  ни оламиз. Унинг қиймати қўйидагича бўлади:

$$R_{43} = \bar{f} \kappa \cdot \mu_p \text{ н.}$$

4) 2—3 кинематик жуфтнинг реакция кучини аниқлаймиз. Бунинг учун группадан звено 3 ни фикран ажратиб ташлаймиз ва звено 2 нинг В нуқтасига звено 3 нинг звено 2 га таъсир этувчи реакция кучи  $\bar{R}_{32}$  ни қўямиз. У ҳолда, звено 2 нинг мувозанат шартини бажарувчи барча кучларнинг йифиндиси нолга тенг бўлиши керак:

$$\bar{R}_{12} + \bar{P}_2 + \bar{G}_2 + \bar{R}_{32} = 0. \quad (66)$$

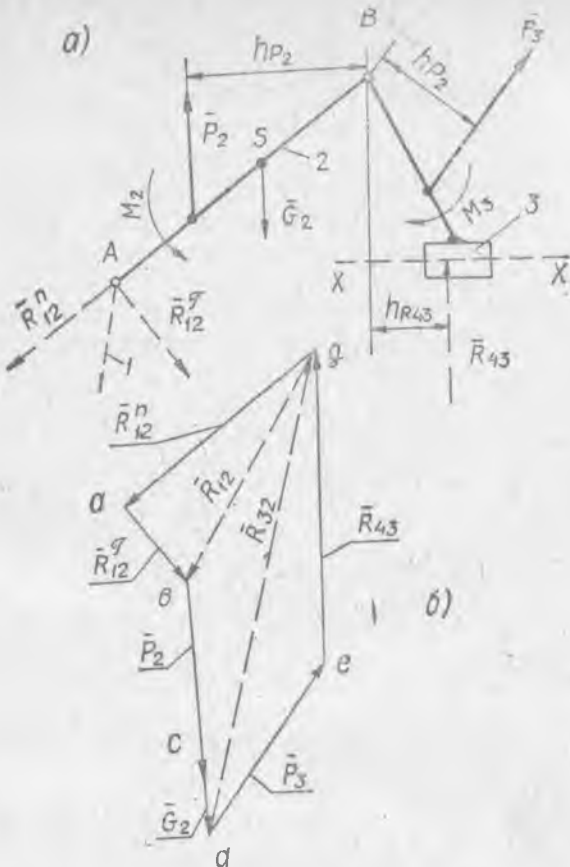
Бу тенглама асосида, кучлар планидаги  $\bar{P}_2$  векторнинг учи билан  $\bar{R}_{12}$  векторнинг бошланиш нуқтасини бирлаштириб, реакция кучи  $\bar{R}_{32}$  ни тасвирловчи кесмани оламиз. Унинг қиймати қўйидагича бўлади:

$$R_{32} = \bar{\kappa} d \cdot \mu_p \text{ н.}$$

$\bar{R}_{32}$  векторнинг йўналишини кучлар йифиндиси нолга тенглигини билдирувчи векторий тенгламадан фойдаланиб, ёпиқ контур чизиш йўли билан аниқлаймиз. Звено 2 нинг звено 3 га таъсир кучи бир-бирига тенг ва тескари томонга йўналган:  $\bar{R}_{23} = -\bar{R}_{32}$ . Шунинг учун  $\bar{R}_{32}$  векторнинг йўналишини ўзгартириш кифоя.

2. II класс 2-тартибли 2-тур группанинг кинематикавий жуфтларидағи реакция кучларини аниқлаш. Группанинг 2 ва 3 звеноларига (инерция кучларини ҳам ўз ичига олган)  $\bar{P}_2$ ,  $\bar{G}_2$  ва  $\bar{P}_3$  кучлар ҳамда  $M_2$  ва  $M_3$  моментлар таъсир қиласи, дейлик (25-шакл, а). Кинематикавий жуфтларнинг реакция кучлари қўйидаги тартибда аниқланади: 1) звено 2 нинг А шарнирига реакция кучи  $\bar{R}_{12}$  ни, яъни  $\bar{R}_{12}^n$  нормал ва  $\bar{R}_{12}^t$  уринма ташкил этувчи кучларни қўямиз.

$\bar{R}_{12}^n$  куч векторининг йўналишини звено 2 га параллел қилиб ва  $\bar{R}_{12}^t$  кучни звенога тик қилиб чизамиз.



25- шакл, ( $\alpha$ ,  $\sigma$ )

Звено 3 нинг  $XX$  йўналишига тик қилиб,  $R_{43}$  реакция кучини қўямиз. Бу кучнинг таъсир этиши нуқтаси номаълум бўлгани учун унинг жойи ихтиёрий олинади.

2) Звено 2 нинг В нуқтасига нисбатан моментлар тенгламасини тузиб, уринма күч  $\bar{R}_{12}$  нинг қийматини аниқлаймиз:

$$-R_{12}^z \cdot l_{AB} + P_2 h_{p_2} - G_2 \cdot h_{G_2} - M_3 = 0; \quad (67)$$

бундан

$$R_{12}^{\pm} = \frac{P_2 \cdot h_{P_2} - G_2 \cdot h_{G_2} - M_2}{i_{AB}}$$

булади. Төңгламадаги  $h_{P_1}$ ,  $h_{G_2}$  елкалар чизмадан ўлчаб олинади.

3) Группага таъсир этувчи кучларнинг йиғиндиси нолга тенг бўлади:

$$\underline{\underline{R}}_{12} + \underline{\underline{R}}_{12} + \underline{\underline{P}}_2 + \underline{\underline{G}}_2 + \underline{\underline{P}}_3 + \underline{\underline{R}}_{43} = 0. \quad (68)$$

Бу тенгламадаги номаълум  $\underline{\underline{R}}_{12}$  ва  $\underline{\underline{R}}_{43}$  кучларнинг қийматлари кучлар плани тузиш йўли билан аниқланади.

Бунинг учун кучларнинг ихтиёрий танлаб олинган масштаби  $\mu_p$  бўйича кучлар кесмаларининг узунликларини аниқлаймиз. Ихтиёрий нуқтадан маълум бўлган  $\underline{\underline{R}}_{12}$ ,  $\underline{\underline{P}}_2$ ,  $\underline{\underline{G}}_2$ ,  $\underline{\underline{P}}_3$  кучларнинг кесмаларини кетма-кет қушамиз (25-шакл, б). Сўнгра  $\underline{\underline{R}}_{12}$  векторнинг бошланиш нуқтасидан звено 2 га параллел чизик,  $\underline{\underline{P}}_3$  векторнинг учидан эса  $XX$  га тик чизик ўтказамиш. Бу чизиқларнинг кесишув нуқтаси  $\underline{\underline{R}}_{12}$  ва  $\underline{\underline{R}}_{43}$  векторларнинг танланган  $\mu_p$  масштабдаги кесмаларини беради. Векторларнинг йўналишини тенглама асосида ёпиқ контур чизиш йўли билан аниқлаймиз. Сўнгра  $\underline{\underline{R}}_{12}$  ва  $\underline{\underline{R}}_{12}$  векторларнинг кесмаларини қўшиб, тўла реакция кучи  $\underline{\underline{R}}_{12}$  нинг кесмасини оламиш. Унинг қиймати қўйидагича бўлади:

$$R_{12} = \underline{\underline{g}}_B \cdot \mu_p \text{ Н.}$$

Реакция кучи  $\underline{\underline{R}}_{43}$  нинг қиймати

$$R_{43} = \underline{\underline{e}}_g \cdot \mu_p \text{ Н}$$

булади.

4) В нуқтанинг реакция кучини аниқлаймиз. Бунинг учун звено 3 ни группадан фикран ажратиб ташлаб, звено 2 нинг В нуқтасига звено 3 нинг звено 2 га булган реакция кучи  $\underline{\underline{R}}_{32}$  ни қўямиз. Сўнгра звено 2 га таъсир этувчи кучларнинг йиғиндисини нолга тенглаймиз:

$$\underline{\underline{R}}_{12} + \underline{\underline{P}}_2 + \underline{\underline{G}}_2 + \underline{\underline{R}}_{32} = 0. \quad (69)$$

Бу тенглама асосида: кучлар планидаги  $\underline{\underline{P}}_2$  кучнинг уни билан  $\underline{\underline{R}}_{12}$  нинг бошланиш нуқтасини бирлаштириб,  $\underline{\underline{R}}_{32}$  вектор кесмасини оламиш. Унинг йўналиши векторий тенгламадан аниқланади, қиймати эса қўйидагича бўлади:

$$R_{32} = \underline{\underline{J}}_g \cdot \mu_p \text{ Н.}$$

5) Реакция кучи  $\underline{\underline{R}}_{43}$  нинг қўйилиш нуқтасини аниқлаймиз. Бунинг учун  $\underline{\underline{R}}_{43}$  кучнинг таъсир чизиги йўналиши билан В нуқтагача бўлган оралиқни аниқлаш кифоя. Звено 3 учун В нуқтага нисбатан моментлар тенгламасини тузамиш. Бунда  $\underline{\underline{R}}_{43}$  реакциянинг ҳақиқий йўналишини ҳисобга олиш керак. Уни кучлар планидан аниқлаймиз. У ҳолда,

$$-\bar{R}_{43} \cdot h_{R_{43}} - \bar{P}_8 \cdot h_{P_8} + M_3 = 0 \quad (70)$$

бұлади, бундан

$$h_{R_{43}} = \frac{-P_8 \cdot h_{P_8} + M_3}{\bar{R}_{43}}$$

келиб чиқади.

3. II класс 2-тартыбыли З-тур Ассур группасынинг кинематикавий жуфтларидаги реакция күчларини аниқлаш. Бу группанинг ташқи иккита кинематикавий жуфти шарнирдан, ички кинематикавий жуфти эса илгарилама ҳаракатланувчи ползундан иборат (26-шакл, a).

Группадаги звено 2 га  $\bar{P}_2$  күч билан  $M_2$  момент, звено 3 га эса  $\bar{P}_3$  күч билан  $M_3$  момент таъсир этади. Шу күчлар ва моментлар таъсиридан кинематикавий жуфтларда ҳосил бўлган реакцияларнинг қийматлари ва йуналишларини, шунингдек, таъсир нуқталарини аниқлаш лозим. Масала қуйидаги тартибда ечилади:

1) A шарнирдаги реакция кучи  $\bar{R}_{43}$  ни нормал  $\bar{R}_{43}^n$  ва уринма  $\bar{R}_{43}^t$  ташкил этувчи икки күчга ажратамиш:

$$\bar{R}_{43} = \bar{R}_{43}^n + \bar{R}_{43}^t. \quad (71)$$

Реакция кучи  $\bar{R}_{43}^n$  ни A ва C шарнирларни туташтирувчи  $AC$  чизиқ бўйлаб,  $\bar{R}_{43}^t$  кучни эса унга тик қилиб йўналтирамиз (26-шакл, a).

2) 2 ва 3 звеноларнинг C нуқтага нисбатан моментлари тенгламасини тузиб, уринма реакция кучи  $\bar{R}_{43}^t$  нинг қийматини аниқлаймиз:

$$R_{43}^t \cdot AC - P_3 \cdot h_{P_3} - P_2 \cdot h_{P_2} - M_3 + M_2 = 0; \quad (72)$$

бундан

$$R_{43}^t = \frac{P_2 \cdot h_{P_2} + P_3 \cdot h_{P_3} + M_3 - M_2}{AC}$$

бўлади.

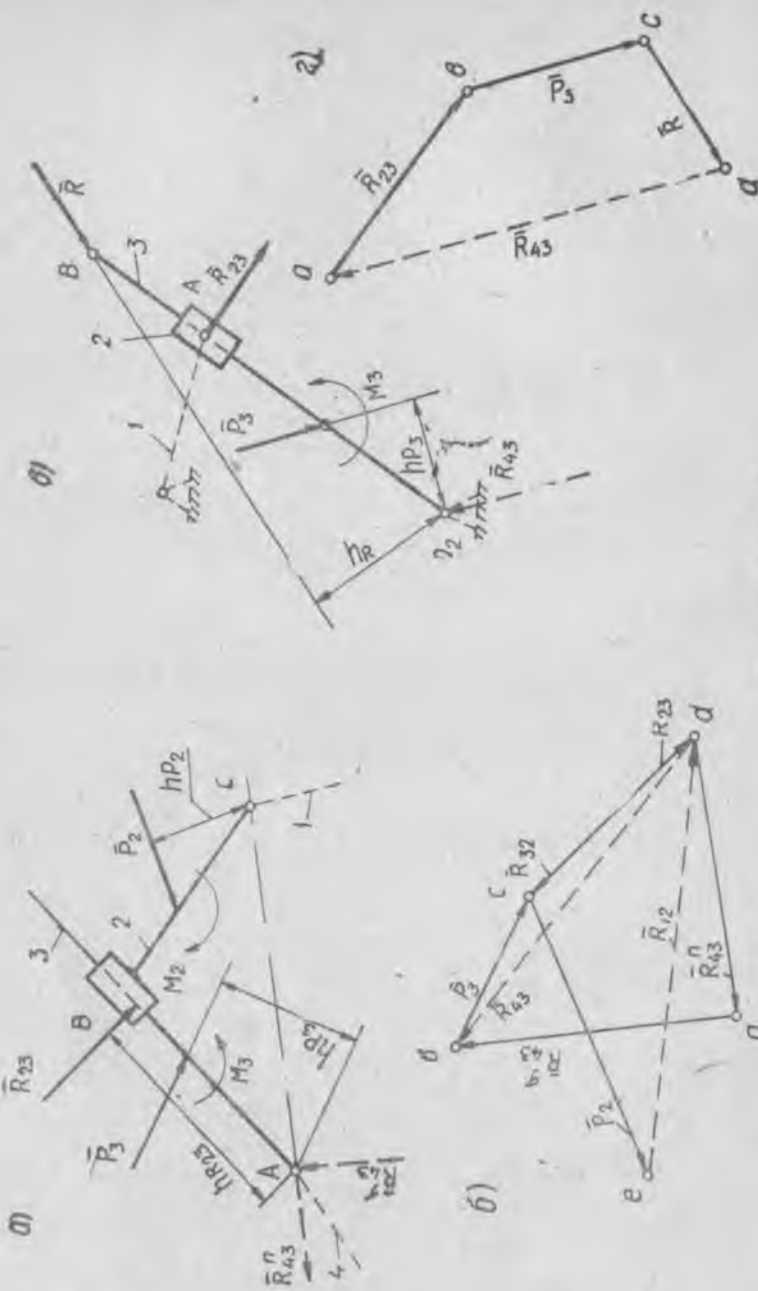
3) Звено 3 га таъсир этувчи күчларнинг векторий тенгламасини тузамиз:

$$\bar{R}_{43}^n + \bar{R}_{43}^t + \bar{P}_8 + \bar{R}_{23} = 0. \quad (3)$$

Бу тенгламада  $\bar{R}_{43}^n$  ва  $\bar{R}_{23}$  реакция күчлари номаълум, уларни күчлар планини тузиш йўли билан аниқлаймиз.

Бунинг учун күчлар масштаби  $\mu_p \left( \frac{H}{MM} \right)$  ни танлаб, маълум  $\bar{R}_{43}^t$ ,  $\bar{P}_8$  күчлар кесмаларининг узунликларини ҳисоблаймиз:

25-макет. ( $\alpha$ ,  $\beta$ ,  $\theta$ ,  $\varphi$ )



$$R_{43}^z = \overline{ab} = \frac{R_{43}^z}{\mu_p} \text{ мм,}$$

$$P_3 = \overline{bc} = \frac{P_3}{\mu_p} \text{ мм.}$$

Кучлар планини тузамиз. Ихтиёрий  $a$  нүктадан  $\overline{R}_{43}^z$  кучнинг йўналишига параллел қилиб,  $\overline{ab}$  кесмани чизамиз. Унинг  $b$  нүктасидан  $\overline{P}_3$  кучнинг йўналиши бўйича  $\overline{bc}$  кесмани қўямиз. Сўнгра  $a$  нүктадан  $\overline{R}_{23}^n$  кучнинг йўналиши бўйича,  $c$  нүктадан эса реакция кучи  $\overline{R}_{23}$  нинг йўналишига параллел чизиқ ўтказамиз. Икки чизиқнинг кесишувидан  $d$  нуқта ҳосил булади. Пландаги  $\overline{cd}$  кесма реакция кучи  $\overline{R}_{23}$  нинг вектор кесмасини беради. Унинг қиймати қўйидагича булади:

$$R_{23} = \overline{cd} \cdot \mu_p \text{ Н.}$$

$\overline{da}$  кесма нормал реакция кучи  $\overline{R}_{43}^n$  ни беради. Звено 3 нинг шарнирдаги реакция кучи  $\overline{R}_{43}$  ни  $d$  ва  $b$  нүкталарни бирлаштириб, ҳосил бўлган  $\overline{db}$  кесмани кучлар масштаби  $\mu_p$  га кўпайтириш йули билан аниқлаймиз:

$$R_{43} = \overline{db} \cdot \mu_p \text{ Н.}$$

4) Звено 3 даги реакция кучи  $\overline{R}_{23}$  нинг қўйишли нуқтасини аниқлаш учун  $A$  нүктага нисбатан моментлар тенгламасини тузамиз:

$$\overline{P}_3 \cdot h_{P_3} - M_3 + \overline{R}_{23} \cdot h_{R_{23}} = 0; \quad (74)$$

бундан

$$h_{R_{23}} = \frac{M_3 - P_3 \cdot h_{P_3}}{\overline{R}_{23}}$$

бўлади.

5) Звено 2 га таъсир этувчи кучларнинг мувозанат тенгламасини тузамиз:

$$\underline{\underline{P}_2} + \underline{\underline{R}_{32}} + \underline{\underline{R}_{12}} = 0. \quad (75)$$

Бундаги  $\overline{P}_2$  ва  $\overline{R}_{32}$  кучлар маълум, реакция  $\overline{R}_{12}$ ни кучлар планини тузиш йули билан аниқлаймиз (26-шакл, б). Бунинг учун звено 3 нинг звено 2 га таъсир кучи  $\overline{R}_{32} = -\overline{R}_{23}$  бўлиб, унинг йўналиши  $\overline{R}_{23}$  кучга параллел, аммо у қарама-қарши томонга йўналган. Шунинг учун пландаги  $\overline{R}_{23}$  кучнинг йўналишини  $d$  нуқтадан  $c$  нүктага ўзгартириб, унга  $\overline{P}_3$  кучнинг йўналиши бўйича

$$\overline{ce} = \frac{P_3}{\mu_p} \text{ ММ}$$

кесмани құшамиз. Сұнгра  $e$  нүктаны  $d$  нүкта билан бирлаштириб, тұла реакция  $\bar{R}_{12}$  нинг  $\bar{ed}$  кесмасини оламиз. Үнинг қиймати қыйидагича бұлади:

$$R_{12} = \bar{ed} \cdot \mu_p \text{ н.}$$

Бу тур группанинг хусусий күринишдеги схемаси 26-шакл, 8 да курсатылған. Бундай группани етакчи звено ва стойкага улаш натижасыда станоксозлик, полиграфия ва машинасозлик-нинг бошқа соқаларыда күп ишлатылған кулисалы механизмдер ҳосил бұлади.

Кулисалы механизмде ползуннинг реакция күчи  $R_{23} A$  нүктадан үтиб, кулисага тик йұналади. Күпинча,  $\bar{P}_2$  кичик бұлғаны учун, ҳисоблашда у назарға олинмайды.

Шунингдек,  $\bar{R}_A^n$  ва  $\bar{R}_A^x = -\bar{R}_{21}$  тенг бұлади.  $\bar{R}_A^z = \bar{R}_2$ , күннинг қиймати группанинг  $O_2$  нүктеге нисбатан моменти тенгламасини тузиш йули билан аниқланади. Сұнгра кулисанынг күчлар күпбұрчаклиги чиэлиб, реакция күчи  $R_{O_2}$  топылады (26-шакл, 2).

Реакция күчи  $R_{23}$  әки  $R_{32}$  нинг қўйилиш нүктаси группанинг бир звеноси учун моментлар тенгламасини тузиш йўли билан аниқланади:

$$-R \cdot h_R + P_3 \cdot h_{P_3} - M_3 + R_{23} \cdot h_{R_{23}} = 0; \quad (76)$$

бундан

$$O_2 A = h_{P_3} = \frac{R \cdot h_R - P_3 \cdot h_{P_3} + M_3}{R_{23}}$$

булади.

### 5. РИЧАГЛИ МЕХАНИЗМНИНГ ЕТАКЧИ ЗВЕНОСИНИИ КИНЕТОСТАТИКАВИЙ ҲИСОБЛАШ

Күп машиналарда етакчи звено (кривошип, кулачок, тишли фидираклар ва бошқалар) айланма ҳаракат қиласы. 27-шакл, a да күрсатылған  $O_1 A$  етакчи звеноға  $\bar{R}_{21} = -\bar{R}_{12}$  реакция күчи,  $A$  нүктада  $O_1 A$  кривошипта тик йұналған  $\bar{P}_M$  мувозанатловчи күч қўйилған. Мувозанатловчи  $\bar{P}_M$  кучнинг қийматини аниқлаш учун кривошипниң  $O_1$  нүктасига нисбатан моментлар тенгламасини тузамиз:

$$\bar{P}_M \cdot l_{O_1 A} - R_{21} \cdot h_{R_{21}} = 0; \quad (77)$$

бундан

$$\bar{P}_M = \frac{R_{21} \cdot h_{R_{21}}}{l_{O_1 A}}$$

булади. Кривошипниң  $O_1$  шарниридаги реакция күчи  $R_{O_1}$  ни

кучлар планини түзиш аули билан аниқлаймиз. Етакчи звено қойидаги кучлар таъсирида мувозанатда булади:

$$\bar{R}_{21} + \bar{P}_M + \bar{R}_{O_1} = 0. \quad (78)$$

Бу тенглама асосида  $\bar{R}_{21}$ ,  $\bar{P}_M$  кучларнинг  $\overline{ab}$  ва  $\overline{bc}$  кесмалари йұналишларини  $\mu_p$  масштаб бүйіча чи-замиз (27-шакл, б). План-даги  $\overline{ca}$  (штрихланган) чизик кривошип  $O_1$  шарнирнинг реакция кучи  $R_{O_1}$  кесмаси булади. Уннинг қийматы қойидаги-ча аниқланади:

$$R_{O_1} = \overline{ca} \cdot \mu_p \text{ н.}$$

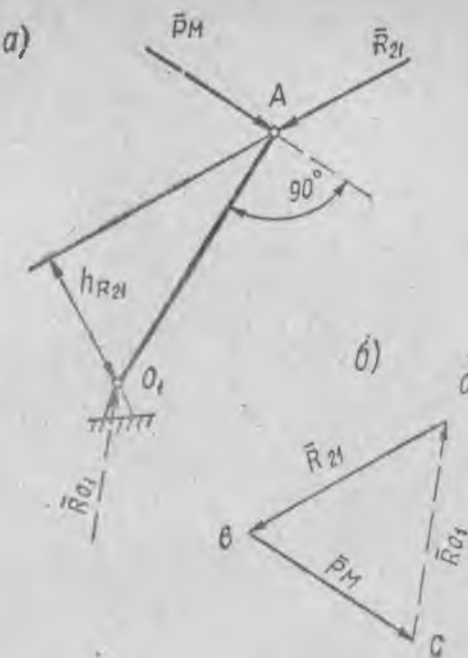
**Н. Е. Жуковский** усу-ли. Құзғалмас нүктаси қүгбда жойлашған ва абсолют қаттың жисем деб қабул қилинган бурилма тезликлар плани Жуков-скийнинг ёрдамчи (бикр) ричаги дейилади.

Бу усул иложи бұлған силжиш (кучиш) принципига асосла-нахи, яғни идеал боғланған механизмға берилған кучлардан ташқари, инерция кучлари ҳам қойилғанда бу күйларнинг ба-жарған элементар ишларининг йиғиндиси нолга тең болади:

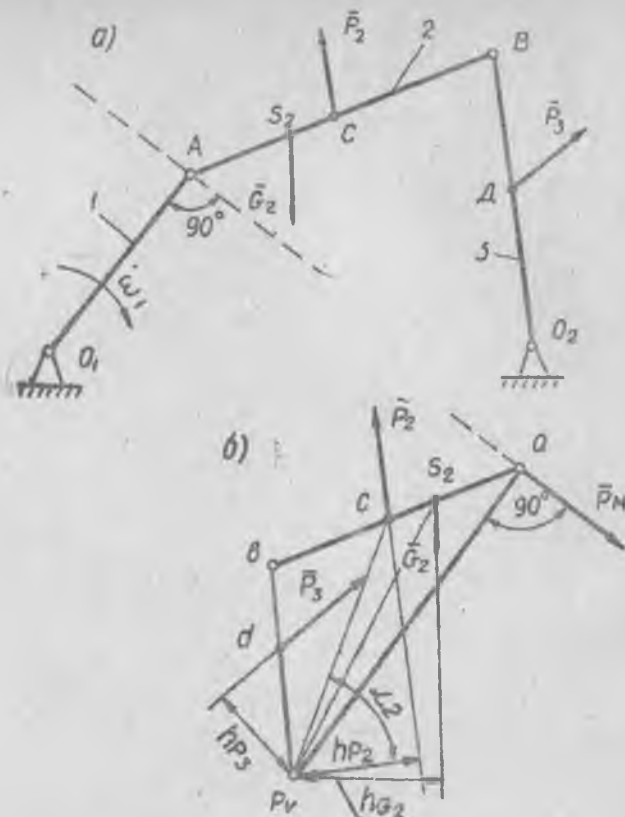
$$\sum_{i=1}^{n-1} P_i a S_i \cos \alpha_i + P_M d S_M \cos \alpha_M = 0 \quad (79)$$

Бу усул оддий ва универсал бұлиб, уннинг ёрдамида: а) кине-матикавий жуфтларнинг кучларини аниқламай, түгридан-түгри механизмининг мувозанатловчи кучини (моментини) аниқлаш; б) берилған кучлар таъсирида механизм ҳарақатини тадқик этишда келтирілған куч ва моментни аниқлаш мүмкін.

Масалани 28-шакл, а да күрсатылған механизм мисолида күриб чиқамиз. Механизмнинг  $S_2$ ,  $C$ ,  $D$  нүкталарига  $\bar{G}_2$ ,  $\bar{P}_2$  ва  $\bar{P}_3$  кучлар таъсир қиласы. Кривошипнинг  $O_1$  валидаги мувозанатловчи момент  $M_M$  топилсін.



27- шакл. (а, б)



28-шакл. (а, б)

Бунинг учун кривошипнинг айланыш йўналишига тескари томонга  $90^\circ$  бурилган бурилма тезлик планини тузамиз (28-шакл, б). Механизм звеноларининг  $S_2$ ,  $C$ ,  $D$  нуқталаридаги кучларни ўз йўналишларига параллел қилиб, тезликлар планидаги  $s_2$ ,  $c$ ,  $d$  нуқталарга кўчирамиз. Агар механизмнинг бирор звеносида бирор момент таъсир этса, у жуфт кучларга ажратилиб, тезликлар планининг мос нуқталарига кўчирилади. Жуковский теоремаси билан танишамиз. Бу теорема қўйидагича таърифланади: Агар эркинлик даражаси бирга тенг бўлган механизмнинг  $S_2$ ,  $C$ ,  $D$ ,  $A$  нуқталарига қўйилган  $\bar{G}_2$ ,  $\bar{P}_2$ ,  $\bar{P}_3$ ,  $\bar{P}_M$  кучлар таъсирида механизм мувозанатда бўлса,  $90^\circ$  га бурилиб тузилган қутб нуқтаси  $P_o$  атрофида айланувчи қаттиқ риҷакка таъсир этувчи  $s_2$ ,  $c$ ,  $d$ ,  $a$  нуқталардаги  $\bar{G}_2$ ,  $\bar{P}_2$ ,  $\bar{P}_3$ ,  $\bar{P}_M$  кучлар таъсирида тезликлар плани ҳам мувозанатда бўлади.

Теоремани исбот қилиш учун  $\bar{P}_2$  кучни айохидан олиб, унинг бажарган элементар ишини топамиз:

$$dA(P_2) = P_2 dS_2 \cos \alpha_2$$

унинг тезликлар планидаги қутб нүктаси  $P_v$  га нисбатан олинган моменти қўйидагича бўлади:

$$M_p(P_2) = P_2 \cdot h_{P_2};$$

бу ерда  $h_{P_2} = P_2$  кучнинг елкаси; у қўйидагича топилади:

$$h_{P_2} = \bar{pc} \cdot \cos \alpha_2 = \frac{v_C}{\mu_v} \cos \alpha_2 = \frac{dS_C \cos \alpha_2}{dt \cdot \mu_v},$$

Демак,  $P_2$  кучнинг моменти:

$$M_p(P_2) = \frac{P_2 dS_C \cdot \cos \alpha_2}{\mu_v dt} = \frac{dA(P_2)}{\mu_v dt},$$

унинг элементар иши:

$$A(P_2) = M_p(P_2) \mu_v dt.$$

Исталган бошқа кучлар бажарган элементар ишларни ҳам худди шунга ўхшаш ёзиш мумкин. Шунинг учун (79) тенгламани қўйидаги кўринишда ёзмиз:

$$\sum_{t=1}^{n-1} M_p(P_t) \mu_v dt + M_p(P_M) \mu_v dt = 0 \quad (80)$$

Қавс ташқарисига  $\mu_v dt$  ни чиқариб, қўйидаги ифодани оламиз:

$$\mu_v dt \left[ \sum_{t=1}^{n-1} M_p(P_t) + M_p(P_M) \right] = 0,$$

$\mu_v dt \neq 0$  бўлгани учун

$$M_p(P_M) + \sum_{t=1}^{n-1} M_p(P_t) = 0$$

ёки

$$\sum P_t h_t = 0 \quad (81)$$

бўлади.

Бу ифода Н. Е. Жуковский аниқлаган ва мумкин булган силжиш принципининг узгартирилган кўринишидир. (81) тенгламадан мувозанатловчи куч моменти

$$M_p(P_M) = - \sum M_p(P_t);$$

келтирилган куч моменти эса

$$M_p(P_k) = \sum M_p(P_t) \quad (82)$$

булади, у  $90^\circ$  га бурилган тезликлар планининг мос нуқтала-  
рига қўйилган барча кучларнинг моментлари йиғиндисига тенг.  
Бундан мувозанатловчи куч  $P_M = \frac{M_p(P_M)}{h_M}$ , келтирилган куч  
 $P_k = -P_M$ , кривошиппнинг валидаги мувозанатловчи момент эса  
 $M_M = P_M \cdot l_{O_A}$  булади.

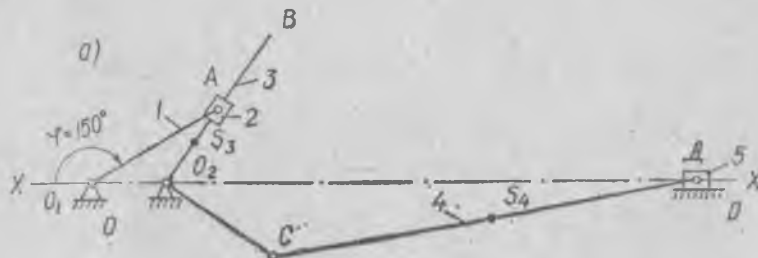
Жуковский усулида мувозанатловчи куч  $P_M$  ни аниқлаш  
тартиби:

- 1) берилган вазият учун  $\mu_l$  (м/мм) масштаб бўйича меха-  
низмнинг кинематиковий схемаси чизилади;
- 2) механизмнинг тезликлар масштаби  $\mu_w$  ( $\frac{\text{м.сек}}{\text{мм}}$ ) бўйича  $90^\circ$   
га бурилган бурилма тезликлар плани тузилади;
- 3) механизмнинг кучлар схемаси тузилади;
- 4) схемадаги кучлар ўз йўналиши бўйича тезликлар пла-  
нининг мос нуқталарига параллел кўчирилади;
- 5) ричагнинг қутб нуқтаси  $P_v$  га нисбатан мувозанат тенг-  
ламаси тузилади;
- 6) кривошиппнинг  $A$  нуқтасига берилган бурчак остида йў-  
налган мувозанатловчи куч  $P_M$  аниқланади;  $P_M$  куч  $h_M$  елкага  
купайтирилиб, мувозанатловчи момент  $M_M$  аниқланади.

#### IV. ТЕКИС РИЧАГЛИ ШАРНИРЛИ МЕХАНИЗМЛАРНИНГ СТРУКТУРАСИ, КИНЕМАТИКАСИ ВА КИНЕТОСТАТИКАСИНИ ТЕКШИРИШ

29-шаклда кўрсатилган механизмнинг қўйидаги геометрик  
параметрлари берилган:  $O_1A = 0,25$  м,  $O_1O_2 = 0,5 \cdot O_1A$ ,  $O_2B =$   
 $= 1,6 \cdot O_1A$ ,  $O_2C = 0,8 \cdot O_1A$ ,  $O_2S_3 = 0,2$  м.

Етакчи звено 1 нинг  $\varphi = 150^\circ$  да туриш вазияти учун механизм  
текширилсин. Етакчи звенонинг айланиш частотаси  $n_1 =$   
 $= 210$  айл/мин бўлиб, соат стрелкаси йўналишида бурилади.



29- шакл.

## 1. МЕХАНИЗМНИНГ СТРУКТУРАСИНИ ТЕКШИРИШ

1. Механизмнинг кинематикавий схемасини берилган вазият учун чизамиз. Бунинг учун механизмнинг узунилик масштабини танлаймиз:

$$\mu_l = \frac{O_1 A}{O_1 A} = \frac{0,25}{50} = 0,005 \frac{\text{м}}{\text{мм}},$$

яъни етакчи ҳақиқий узунилиги  $O_1 A = 0,25$  м бўлган звено 1 ни схемадан 50 мм ли кесмага алмаштириб чизамиз.

Барча қўзғалмас айланма кинематикавий жуфтларнинг марказларини ва илгарилама кинематикавий жуфтлар ҳаракатининг йуналиш чизиқларини белгилаймиз. Сунг етакчи звено 1 нинг  $\varphi = 150^\circ$  га бурилган вазиятини чизиб, унга барча Ассур группаларини бирлаштирамиз. Бунинг учун: а) бошланғич звено 1 билан қўзғалмас стойка 0 нинг уланишидан ҳосил бўлган айланма кинематикавий жуфтнинг маркази  $O_1$ , ни чизмада белгилаймиз;

б) стойка марказидан горизонтал ўққа нисбатан берилган  $150^\circ$  бурчак остида тўғри чизиқ ўтказамиз ва бу чизиқда  $O_1 A = 50$  мм ли кесмани белгилаб, етакчи звенонинг  $A$ , нуқасини оламиз. Сунгра 2—3 ва 4—5 звенолардан тузилган Ассур группаларини улаймиз;

в)  $X-X$  горизонтал ўқ чизигида 3 ва 0 звенолардан тузилган айланма кинематикавий жуфтнинг маркази  $O_2$  ни белгилаймиз.  $O_2$  нуқта  $O_1$  нуқтадан

$$O_1 O_2 = 0,5 \cdot O_1 A = 0,5 \cdot 0,25 = 0,125 \text{ м}$$

оралиқда жойлашган.

Бу оралиқни кинематикавий схемадаги  $x-x$  горизонтал чизиқнинг  $O_1$  нуқасидан

$$\overline{O_1 O_2} = \frac{O_1 O_2}{\mu_l} = \frac{0,125}{0,005} = 25 \text{ мм}$$

кесмага тенг радиус билан чизиб белгилаймиз;

г)  $O_2$  нуқтани  $A$  нуқта билан бирлаштириб, ундан звено 3 чизигини ўтказамиз. Бу чизиқда узунилиги

$$\overline{O_2 B} = \frac{O_2 B}{\mu_l} = \frac{1,6 \cdot O_1 A}{\mu_l} = \frac{1,6 \cdot 0,25}{0,005} = 80 \text{ мм}$$

бўлган кесмани белгилаймиз.

$A_{1,2}$  нуқтада звено (тош) 2 ни звено 1 билан бирлаштириб, айланма кинематикавий жуфтни ҳосил қиласмиз. Звено 2 кулиса 3 бўйлаб силжийди ва у билан бирга айланади;

д) 3 ва 4 звенолардан тузилган айланма кинематикавий жуфтнинг марказини, яъни звено 3 даги  $C$  нуқтанинг вазиятини аниқлаймиз. Бунинг учун  $O_2$  нуқтадан  $O_2 B$  чизиқка нисба-

тан  $BO_2C = 90^\circ$  бурчак остида  $O_2C$  чизигини ўтказамиз ва унда узунлиги

$$\overline{O_2C} = \frac{O_2C}{\mu_l} = \frac{0,8 \cdot O_1A}{\mu_l} = \frac{0,8 \cdot 0,25}{0,005} = 40 \text{ мм}$$

булган кесмани белгилаймиз.

е) 4 ва 5 звеноларнинг бирлашувидан ҳосил булган айланма кинематикавий жуфт маркази  $D$  нуқтанинг схемадаги вазиятини аниқлаймиз.

Берилган шартга кура, 4 звенонинг, яъни  $CD$  кесманинг узулиги қўйидагича булади:

$$\overline{CD} = \frac{CD}{\mu_l} = \frac{2,8 \cdot O_1A}{\mu_l} = \frac{2,8 \cdot 0,25}{0,005} = 140 \text{ мм.}$$

Звено 5  $x-x$  горизонтал чизиги бўйлаб силжийди;  $C$  нуқтадан  $\overline{CD} = 140$  мм ли радиус чизиб айланма кинематикавий жуфтнинг маркази— $D$  нуқтани белгилаймиз. Сунгра 4,5 ва 6,0 звеноларнинг жойланишини чизамиз.

Илгарилама ҳаракатланувчи звено 5—ползунни тўғри тўртбурчаклик билан тасвирлаймиз ва икки  $O_1$  ва  $O_2$  айланма кинематикавий жуфтлар таркибига кирувчи қўзғалмас звено  $O$  нинг ва битта илгарилама кинематикавий жуфт 5 нинг  $xx$  йўналтирувчисини штрихли чизиқ билан белгилаймиз.

2. Механизмнинг қўзғалувчанлик даражасини П. Л. Чебишев формуласи билан ҳисоблаймиз:

$$W = 3n - 2p_5 - p_4, \quad (83)$$

бу ерда  $n$  — қўзғалувчи звенолар сони;

$p_5$  — бешинчи класс кинематикавий жуфтлар сони;

$p_4$  — тўртинчи класс кинематикавий жуфтлар сони.

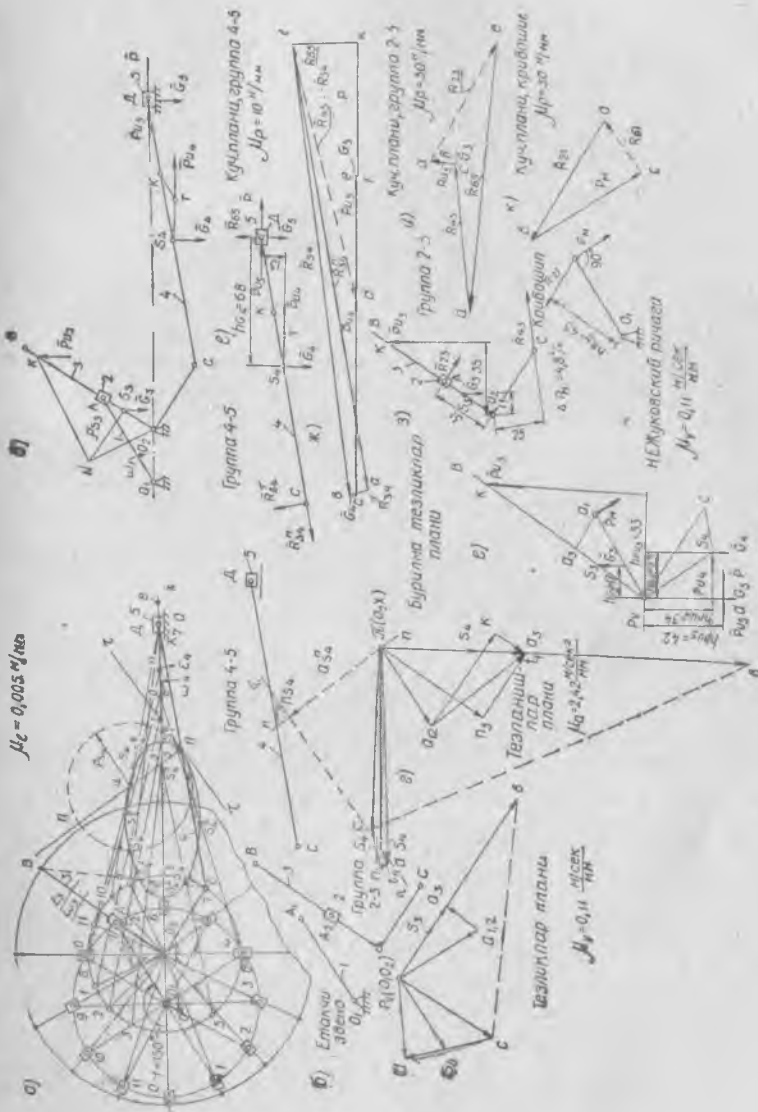
Қўзғалувчи звенолар сонини 1—5 рақамлар билан, қўзғалмас звено устунни эса 0 билан белгилаймиз.

Бу механизимда ҳаммаси бўлиб 5 та қўзғалувчи звено бор; звено 1—кривошип, звено 2—тош, звено 3—кулиса, звено 4—шатун, звено 5—ползун, яъни  $n = 5$ .

V класс кинематикавий жуфтлар сони  $p_5$  ни ҳисоблаймиз. Берилган механизимда  $O_1$ ,  $O_2$ ,  $A$ ,  $C$ ,  $D$  нуқталарда 5 та айланма кинематикавий жуфт—шарнирлар ва йўналтирувчи билан ползун 5 ва кулиса 3 билан тош 2 нинг қўшилмасидан иборат иккига илгарилама кинематикавий жуфт бор, яъни V класс кинематикавий жуфтлар сони  $p_5 = 7$ . Механизм таркибида IV класс кинематикавий жуфтлар йўқ, яъни  $p_4 = 0$ . У ҳолда, механизминг қўзғалувчанлик даражаси

$$W = 3n - 2p_5 - p_4 = 3 \cdot 5 - 2 \cdot 7 - 0 = 1$$

булади. Демак, механизмдаги барча звеноларнинг маълум ҳаракатини олиш учун битта етакчи звено етарли. Бу механизимда етакчи звено сифатида  $O_1A$  кривошип қабул қилинган.



3. Механизмни Ассур группаларига тарқатамиз. Группаларга тарқатиш, асосан, етакчи звенодан энг узоқда бирлашган группаларни ажратишдан бошланади. Механизмдан битта Ассур группаси ажратилғандан сүнг қолган қисмининг құзғалувчанлик даражаси  $W = 1$  бўлиши керак. Механизмда битта етакчи звено қолгунча группаларни ажратишни давом эттирамиз.

Текшириләтган механизмнинг Ассур группаси етакчи звено 1 даи энг узоқда бирлашган звенолар 4 ва 5 ва учта кинематиковий жуфтдан, яъни  $D$  ва  $C$  нуқталарда жойлашган иккита айланма кинематиковий жуфт ҳамда  $x - x$  құзғалмас йўналтирувчи билан қўшилган ползун 5 ли битта илгарилама кинематиковий жуфтдан иборат.

Бу группа, И. И. Артоболевскийнинг таърифига кура, II класс Ассур группаси бўлади. Бу группани механизмдан ажратиб, алоҳида чизамиз (30-шакл, б). Механизмдан 4 ва 5 звенолар группаси ажратилғандан сүнг механизмнинг құзғалувчанлик даражасини аниқлаймиз. У ўзгармаслиги керак. Схемага кура механизмда учта құзғалувчан звено ва туртта кинематиковий жуфт бор, яъни  $n=3$ , кўринадики,  $p_5=4$ ,  $p_4=0$ . Ву ҳолда механизмнинг құзғалувчанлик даражаси:

$$W = 3n - 2p_5 - p_4 = 3 \cdot 3 - 2 \cdot 4 - 0 = 1.$$

Демак, механизмдан Ассур группаси тўғри ажратилған. Энди механизмнинг қолган қисмидан  $A_{1,2}$  ва  $O_2$  шарнирлардаги икки айланма ва тош билан кулисанинг илгарилама кинематиковий жуфтларидан тузилған 2 ва 3 звенолардан иборат иккинчи Ассур группасини ажратамиз.

Бу звенолар 2—3 ни алоҳида чизиб кўрсатамиз. Механизмнинг қолган қисми құзғалувчанлик даражасини ҳисоблаймиз:

$$W = 3n - 2p_5 - p_4 = 3 \cdot 1 - 2 \cdot 1 - 0 = 1,$$

яъни стойка О билан етакчи звено 1 қолди. Механизмни тарқатиш натижасида кетма-кет бир-бирига қушилған иккита II класс группа ва битта бошлангич звенодан иборат механизмни оламиз. Унинг тузилиш формуласи қўйидагича ёзилади:

$$I_{(1)} \rightarrow II_{(2,3)} \rightarrow II_{(4,5)}.$$

Бу ерда рим рақамлари группаларнинг класини, стрелка группаларнинг қўшилиш тартибини, қавс ичидаги индекслар эса звеноларнинг тартиб номерини билдиради.

Механизмнинг класси қўшилған группаларнинг энг катта класси билан аниқланади. Демак, берилған механизмда иккита II класс группа бўлгани учун механизм II класс бўлади, 30-шакл, б да механизмнинг Ассур группаларига тарқатилиши кўрсатилган.

## 2. МЕХАНИЗМНИНГ КИНЕМАТИКАСИНІ ТЕКШИРИШ

1. Механизм нүкталарининг траекториясінниң қизиш. а) Етакчи звенонинг бир марта тұла айланишида 12 вазиятпен чизамиз (30-шакл, а). Бунинг учун  $O_1$  марказдан  $O_1A = 50$  мм радиус билан  $A_1$  нүктаның траекториясін билдирувчи айланы чизамиз. Бу айлананы тенг 12 қисмға буласыз да кривошиппнинг ҳар  $30^\circ$  да бурылған вазиятини оламиз.

б) Кривошиппнинг ҳар бир вазияттнинг туриш планинін чизамиз.

в)  $A, B, C, D$  нүкталарнинг белгиланған вазияттарын бирлаштириб, уларнинг траекторияларын чизамиз.

г)  $CD$  звенонинг  $S_4$  нүктасы вазиятини кесмаларнинг

$$CS_4 = \frac{CD}{2} = \frac{140}{2} = 70 \text{ мм}$$

нисбатидан аниқлада, бу кесма узунлигини  $C$  нүктадан  $CD$  звенода белгилаймыз.

Кривошиппнинг тұла айланишида аниқланған  $S_4^1, S_4^2, S_4^3 \dots$  нүкталарни бирлаштириб,  $S_4$  нүктаның траекториясін оламиз (30-шакл, а).

2. Тезликлар планини тузиш. Механизмнинг 2 ва 3 звеноларидан тузылған биринчи Ассур группасын текширамиз. Ү  $A_2$  нүктада шарнир ёрдамида етакчи звено 1 га ва  $O_2$  нүктада шарнир билан стойкага бирлашған. Тезликлар плани құйидаги тартибда тузылады:

а) Кривошиппнинг бурчагий тезлигини аниқлаймыз:

$$\omega_1 = \frac{\pi n_1}{30} = \frac{3,14 \cdot 210}{30} = 22 \frac{\text{рад}}{\text{сек}}.$$

б) Кривошиппнинг  $A_1$  нүктасы билан звено 2 тошнинг  $A_2$  нүктасы  $A_{1,2}$  нүктада шарнир ёрдамида уланғани учун уларнинг тезликлары тенг болады;

$$v_{A_1} = v_{A_2} = \omega_1 \cdot O_1 A = 22 \cdot 0,25 = 5,5 \text{ м/сек.}$$

в) Тезликлар планининг масштаб  $\mu_v$  коэффициентини аниқлаймыз:

$$\mu_v = \frac{v_{A_1}}{p_{v1} a_1} = \frac{5,5}{50} = 0,11 \frac{\text{м/сек}}{\text{мм}}.$$

Бу коэффициент ҳар бир миллиметр кесмада неча м/сек ҳақиқиit тезлик борлығын курсатады.

г) Листнинг иктиёрий бир жойида тезликлар планининг құтб нүктасы  $P_v$  ни танлаймыз. Құтб нүктасыдан кривошиппнинг йұналиши буйынша кривошипп  $O_1 A$  га тик чизик чизамиз да унда  $P_{av} = 50$  мм кесмани белгилаймыз (30-шакл, в).

д) Кулисанинг  $A_3$  нуқтаси (шу ҳолатда) тошнинг  $A_2$  нуқтасига мос келиб, у стойканинг  $O_2$  шарнири атрофида айланади. Унинг векторий тенгламаси қуйидагича ёзилади:

$$\vec{v}_{A_3} = \vec{v}_{A_2} + \vec{v}_{A_2 A_3},$$

$$\vec{v}_{A_3} = \vec{v}_{O_2} + \vec{v}_{A_2 O_2};$$

Бу ерда  $\vec{v}_{A_3}$  — кулиса  $A_3$  нуқтасининг тезлиги;

$\vec{v}_{A_2 A_3}$  — кулиса  $A_3$  нуқтасининг тошнинг  $A_2$  нуқтасига нисбатан нисбий тезлиги (тезлик вектори  $A_3 O_2$  кулисага параллел йўналади, унинг қиймати эса но маълум бўлади);

$\vec{v}_{O_2}$  —  $O_2$  нуқтанинг чизигий тезлиги (у нолга тенг);

$\vec{v}_{A_2 O_2}$  — кулиса  $A_3$  нуқтасининг  $O_2$  нуқтага нисбатан тезлиги (унинг тезлик вектори  $O_2 A_3$  га тик йўналган, қиймати эса номаълум).

е) Юқоридаги тенгламаларнинг биринчисига биноан, тезликлар планининг  $a_{1,2}$  нуқтасидан кинематиковий схемадаги  $O_2 A_3$  кулисага параллел чизиқ, иккинчисига биноан эса  $P_v$  дан  $O_2 A_3$  га тик чизиқ ўtkазамиз. Икки чизиқнинг кесишув нуқтаси  $a_3$  кулиса  $A_3$  нуқтасининг абсолют чизигий тезлигини беради. У планда  $\overline{P_v a_3}$  вектор куринишида бўлади.

ж)  $A_3$  нуқтанинг тезлик қийматини аниқлаш учун пландаги  $\overline{P_v a_3}$  кесмани мм ҳисобида ўлчаб, уни тезлик масштаби коэффициенти  $\mu_v$  га кўпайтириш керак:

$$v_{A_3} = \overline{P_v a_3} \cdot \mu_v = 45 \cdot 0,11 = 4,95 \text{ м/сек},$$

шунингдек,

$$v_{A_2 A_3} = \overline{a_2 a_3} \cdot \mu_v = 21 \cdot 0,11 = 2,31 \text{ м/сек}.$$

з) Кулиса  $B$  нуқтасининг тезлигини аниқлаш учун кесмалар ўхшашлигидан фойдаланиб, схеманинг звенолар узунлиги ва тезликлар планидаги звеноларга тегишли кесмалар нисбатини ёзамиш:

$$\frac{\overline{O_2 B}}{\overline{P_v a_3}} = \frac{\overline{O_2 A_3}}{\overline{P_v a_3}},$$

бундан тезликлар планида чизиладиган  $P_v \theta$  кесманинг қиймати

$$P_v \theta = P_v a_3 \frac{\overline{O_2 B}}{\overline{O_2 A_3}} = 45 \frac{80}{31} = 116 \text{ мм}$$

эканлигини аниқлаймиз, бу ерда  $\overline{O_2 A_3} = 31$  мм (схемадан олиниади);  $\overline{P_v a_3} = 45$  мм (тезликлар планидан олиниади).

Тезликлар планида  $\overline{P_v a_3}$  векторнинг  $\overline{P_v \theta}$  кесмани чизамиш. У ҳолда,  $B$  нуқтанинг тезлиги

$$v_B = \overline{P_v \theta} \cdot \mu_v = 116 \cdot 0,11 = 12,76 \frac{\text{м}}{\text{сек}}$$

бўлади. Бу ердаги  $\overline{O_2 A_3}$  ва  $\overline{P a_3}$  кесмаларнинг қиймати ўзгарувчан бўлиб, у механизмнинг турли вазиятларида турлича бўлади. Схемадаги  $S_3$  нуқтанинг тезлиги ҳам аниқланади:

$$\overline{P_v S_3} = \overline{P_v a_3} \frac{\overline{O_2 S_3}}{\overline{O_2 A_3}} = 45 \frac{20}{31} = 29 \text{ мм},$$

$$v_{S_3} = \overline{P_v S_3} \cdot \mu_v = 29 \cdot 0,11 = 3,19 \frac{\text{м}}{\text{сек}}.$$

Схемадаги  $C$  нуқтанинг тезлиги схема билан тезликлар планидаги учбурчакликларнинг ўхшашлигидан аниқланади. Тезликлар планида схемадаги учбурчакликка ўхшаш, аммо унга нисбатан  $90^\circ$  га бурилган учбурчаклик чизилади. Бунинг учун тезликлар планида схемадаги  $\Delta CO_2 B$  учбурчакликка ўхшаш  $\Delta co_2 b$  учбурчаклик чизамиш. Пландаги  $P_v$  нуқтадан схемадаги  $O_2 C$  томонга ва  $b$  нуқтадан  $BC$  томонга тик чизиқлар ўтказамиш. Бу чизиқларнинг кесишув нуқтаси пландаги  $c$  нуқтанинг тезлик векторини кўрсатади.

Уни қутб нуқтаси  $P_v$  билан бирлаштириб,  $C$  нуқтанинг абсолют чизигий тезлиги оламиш. Унинг қиймати

$$v_c = \overline{P_v c} \cdot \mu_v$$

булади. Схемадаги  $\Delta CO_2 B$  учбурчаклик ҳарфлари билан планидаги  $\Delta co_2 b$  учбурчаклик ҳарфларицинг жойлашуви бўр-бирига ўхшаш бўлиши керак. Агар схемадаги  $CO_2 B$  учбурчакликнинг соат стрелкаси юрадиган томон бўйича  $C \rightarrow O_2 \rightarrow B$  билан белгиласак, пландаги  $co_2 b$  учбурчакликнинг  $c \rightarrow O_2 \rightarrow b$  ҳарфлари ҳам шундай жойлаши керак.

4—5 звенолардан иборат Ассур групиасининг тезликлар планини тузамиш. Шатун ва ползун  $D$  нуқтада шарнир ёрдамида бирлаштирилган. Унинг векторий тенгламаси қўйидагича ёзилади:

$$\begin{aligned} \vec{v}_D &= \vec{v}_C + \vec{v}_{DC}, \\ \vec{v}_D &= \vec{v}_x + \vec{v}_{Dx}; \end{aligned}$$

бу ерда  $\vec{v}_c - C$  нуқтанинг чизигий тезлиги;

$\vec{v}_x - (x-x)$  йўналтирувчининг тезлиги, у қўзғалмас булгани учун нолга тенг.

Тенгламадаги  $\vec{v}_{DC}$  ва  $\vec{v}_{Dx}$  нисбий чизигий тезликларнинг йўналиши маълум. Уларнинг фақат қийматлари аниқланади.

Юқорида келтирилған тенгламаларнинг биринчисига кура, қутбий тезликлар планининг  $c$  нүктасидан  $CD$  звенога тик чизиқ, иккинчисига кура эса қутб нүктаси  $P_v$  дан  $x-x$  йұналтирувчига параллел чизиқ үтказамыз. Бұу чизиқларнинг кесишув  $d$  нүктаси  $D$  нүктетінің тезлик векторини беради. Пландағи  $\overline{P_v} d$  кесма  $D$  нүктетінің тезлигі бўлиб, унинг қиймати қуйидагича:

$$v_D = \overline{P_v} d \cdot \mu_v = 42 \cdot 0,11 = 4,62 \text{ м/сек.}$$

3.  $S_4$  нүктетінің тезлигини аниқлаш.  $S_4$  нүкта  $C$  ва  $D$  нүкталарни бирлаштирувчи звено 4 нінг үртасыда жойлашған бўлиб, уни тезликлар планидаги кесмалар нисбатидан аниқлаймиз:

$$\frac{\overline{cs}_4}{\overline{cd}} = \frac{\overline{CS}_4}{\overline{CD}};$$

бундан

$$\overline{cs}_4 = \overline{cd} \cdot \frac{\overline{CS}_4}{\overline{CD}} = 48 \frac{70}{140} = 24 \text{ мм.}$$

Тезликлар планида  $\overline{cd}$  кесманинг  $c$  нүктасидан  $\overline{cs}_4 = 24$  мм кесмани чизиб,  $s_4$  нүктаны белгилаймиз. Уни қутб нүктаси  $P_v$  билан туташтириб,  $\overline{P_v s}_4$  векторни оламиз. У ҳолда, нүктетінің чизигий тезлиги

$$v_{S_4} = \overline{P_v s}_4 \cdot \mu_v = 45 \cdot 0,11 = 4,95 \text{ м/сек}$$

булади.

4. Звеноларнинг бурчагий тезликларини аниқлаш. Звено 3 бурчагий тезлигинин қиймати:

$$\omega_3 = \frac{\omega_1 O_2}{O_2 A_3} = \frac{\overline{P_v O_3} \cdot \mu_v}{\overline{O_1 A_3} \cdot \mu_l} = \frac{45 \cdot 0,11}{31 \cdot 0,005} = 31,94 \frac{\text{рад}}{\text{сек}}$$

булиб, унинг йұналишини аниқлаш учун тезликлар планидағы  $\overline{Pa}_3$  векторни механизм схемасидаги  $A_3$  нүктеге күчирамиз. Демак, кулиса соат стрелкаси юрадынан томоңга бурилади. Тош—звено 2 кулиса билан бирга айланғани учун унинг бурчагий тезлигі кулисаның бурчагий тезлигига тенг бўлади, яъни  $\omega_2 = \omega_3$ . Звено 4 нинг бурчагий тезлигинин қиймати

$$\omega_4 = \frac{\omega_{DC}}{CD} = \frac{\overline{cd} \cdot \mu_v}{CD \cdot \mu_l} = \frac{48 \cdot 0,11}{140 \cdot 0,005} = 7,54 \frac{\text{рад}}{\text{сек}}$$

булиб, унинг йұналишини аниқлаш учун тезликлар планидаги  $cd$  векторни механизм схемасидаги  $D$  нүктеге күчирамиз. Схемадан звено 4 нинг соат стрелкаси юрадынан томоннинг тескарисига бурилишини күрамиз. Ползун илгарилама ҳаракагланғани учун унинг бурчагий тезлигига нолга тенг бўлади, яъни

$\omega_3 = 0$ . Механизм звеноларининг айланиш томондларини механизминнинг схемасида курсатамиз (30-шакл, а).

5. Тезланишлар планини тузиш. а) Кривошиппнинг  $A_{1,2}$  нуқтаси тезланишини аниқлаймиз. Етакчи  $O_1A$  звено узгармас бурчагий тезлик билан айланади.  $A_1$  нуқтанинг уринма тезланиши нолга тең, чунки  $\dot{\theta}_1 = \frac{d\theta_1}{dt} = 0$ . Фақат  $A_1$  нуқтанинг нормал тезланиши бўлади. Унинг қиймати қўйидагича топила-ди:

$$a_A = a_{A_1 O_1}^n = \omega_1^2 O_1 A = 22^2 \cdot 0,25 = 121 \text{ м/сек}^2.$$

б) Тезланишлар планининг масштаб коэффициенти  $\mu_a$  ни танлаймиз. Кривошиппдаги  $A_1$  нуқтанинг тезланишини қутбий тезланишлар планида  $\pi a_1 = 50$  мм кесма билан белгилаймиз, яъни тезланишлар плани кривошип масштаби бўйича чизилади. У ҳолда,

$$\mu_a = \frac{a_{A_1}}{\pi a_1} = \frac{121}{50} = 2,42 \frac{\text{м/сек}^2}{\text{мм}}$$

булади.

в) Механизмнинг 2—3 звеноолари группаси учун тезланишлар планини тузамиз.

г) Листдаги  $\pi$  қутб нуқтасини ихтиёрий танлаймиз. Ундан  $O_1A$  кривошиппга параллел қилиб,  $A_1$ , нуқтадан  $O_1$ , нуқтага томон нормал тезланиш вектори йўналишини чизамиз. Бу чизикда  $\pi a_1 = 50$  мм кесмани белгилаймиз (30-шакл, г).

Кулисанинг  $A_3$  нуқтаси тезланишини аниқлаш учун тошнинг  $A_2$ , нуқтасига нисбатан қўйидаги векторий тенгламани ёзамиш:

$$\vec{a}_{A_3} = \vec{a}_{A_2} + a_{A_3 A_2}^\kappa + \vec{a}_{A_3 O_3}^r.$$

$O_3$  нуқтага нисбатан тенглама қўйидагича бўлади:

$$\vec{a}_{A_3} = \vec{a}_{O_3} + \vec{a}_{O_3 O_3}^n + \vec{a}_{A_3 O_3}^r;$$

бу ерда  $\vec{a}_{A_3}$  — кулисанинг звенолар 1 ва 2 даги  $A_{1,2}$  нуқтага мос  $A_3$  нуқтасининг тезланиши;

$\vec{a}_{A_2}$  — тошнинг  $A_2$  нуқтаси тезланиши,  $\vec{a}_{A_2} = \vec{a}_{A_1}$ , чунки звено 2 звено 1 билан  $A_{1,2}$  нуқтада шарнир ёрдамида бирлашган (унинг қиймати ва векторининг йўналиши маълум);

$a_{A_3 A_2}^\kappa$  — кулисанинг  $A_2$  нуқтаси ҳаракатининг тошга нисбатан кориолис тезлациши; у кулисли механизмда ҳосил бўлади, унинг қиймати

$$a_{A_3 A_2}^\kappa = 2\omega_3 \cdot v_{A_3 A_2} = 2 \cdot 31,94 \cdot 2,31 = 147,5 \text{ м/сек}^2$$

бўлиб, йўналиши нисбий тезлик вектори  $v_{A_3 A}$ , ни кулисанинг ҳаракатланиш йўналиши  $\omega_3$  бўйича  $90^\circ$  га буриш йўли билан аниқланади;

$\vec{a}_{A_3 A}$  - кулисадаги  $A_3$  нуқтанинг  $A_2$  нуқтага нисбатан нисбий тезланиши, унинг вектори кулисага параллел йўналади;

$\vec{a}_{O_3}$  - кулисадаги  $O_3$  нуқтанинг тезланиши, у нолга teng;

$\vec{a}_{A_3 O_3}$  - кулисадаги  $A_3$  нуқтанинг  $O_3$  нуқтага нисбатан нормал тезланиши; унинг вектори  $A_3 O_3$  звенога параллел ва  $O_3$  айланиш ўқи томон йўналган, қиймати қўйида-гича:

$$a_{A_3 O_3}^n = \frac{v_{A_3 O_3}^2}{O_3 A_3} = \frac{(\overline{P_v a_3} \cdot \mu_v)^2}{O_3 A_3 \cdot \mu_l} = \frac{(45 \cdot 0,11)^2}{31 \cdot 0,003} = 158 \frac{\text{м}}{\text{сек}^2} \quad (84)$$

$\vec{a}_{A_3 O_3}^r$  - кулисадаги  $A_3$  нуқтанинг уринма тезланиши, унинг вектори  $A_3 O_3$  кулисага тик йўналган.

(84) тенгламанинг тезланишлар планини чизамиз. Бунинг учун қутбий тезланиш планининг  $a_{1,2}^r$  нуқтасидан кулиса  $A_3 O_3$  нинг айланиш томонига тик чизиқ ўтказиб, у чизиқда

$$\overline{a_{1,2}^r} = \frac{a_{A_3 O_3}^r}{\mu_a} = \frac{2 \cdot \overline{P_v a_3} \cdot \overline{a_2 a_3} \cdot \mu_v^2}{O_3 A_3 \cdot \mu_l \cdot \mu_a} = \frac{2 \cdot \overline{P_v a_3} \cdot \overline{a_2 a_3}}{O_3 A_3} \cdot \frac{2 \cdot 45 \cdot 21}{31} = 61 \text{мм} \quad (85)$$

кесмани белгилаймиз (30-шакл, 2). Формуладаги  $\overline{P_v a_3} = 45 \text{мм}$ ,  $\overline{a_2 a_3} = 21 \text{мм}$  кесмаларни тезликлар планидан,  $O_3 A_3 = 31 \text{мм}$  кесмани эса механизм схемасидан улчаб оламиз. Сўнгра  $\vec{a}_{A_3 O_3}^r$  нуқтадан  $O_3 A_3$  звенога параллел чизиқ ўтказиб,  $\vec{a}_{A_3 O_3}^r$  тезланишнинг йўналишини чизамиз.

Шундан кейин (85) тенгламанинг векторларини чизамиз, Вектор  $a_{O_3} = 0$  бўлгани учун у қутб нуқтаси  $\pi$  да ётади.

Нормал  $\vec{a}_{A_3 O_3}^n$  векторнинг қиймати ва йўналиши маълум. У  $A_3 O_3$  звенога параллел ва  $A_3$  нуқтадан  $O_3$  нуқтага томон йўналган, Қутб нуқтаси  $\pi$  дан  $\vec{a}_{A_3 O_3}^r$  тезланиш векторининг йўналишини чизамиз ва бу чизиқда

$$\pi n_1 = \frac{a_{A_3 O_3}^r}{\mu_a} = \frac{v_{A_3 O_3}^2}{O_3 A_3 \cdot \mu_a} = \frac{(\overline{P_v a_3})^2 \mu_v^2}{O_3 A_3 \cdot \mu_l \cdot \mu_a} = \frac{(\overline{P_v a_3})^2}{O_3 A_3} = \frac{45^2}{31} = 65,3 \text{мм}$$

кесмани белгилаймиз.

Пландаги  $n_1$  нуқтадан кулисага тик қилиб,  $\vec{a}_{A_3 O_3}^r$  тезланиш векторини ўтказамиз.  $\vec{a}_{A_3 A_2}^r$  ва  $\vec{a}_{A_3 O_3}^r$  вектор чизиқларининг кешиув нуқтаси  $a_3$  нуқтани беради. Бу нуқтани қутб нуқтаси

π билан туташтириб,  $\overline{\pi a_3}$  кесмани оламиз, бу кесма  $A_3$  нүқтанинг чизигий тезланишини беради. Унинг қиймати

$$a_{A_3} = \overline{\pi a_3} \cdot \mu_a = 77 \cdot 2,42 = 186,4 \text{ м/сек}^2$$

бўлади.

Уринма тезланиш

$$a_{A_1 O_1} = \overline{n_1 a_3} \cdot \mu_a = 40 \cdot 2,42 = 96,8 \text{ м/сек}^2$$

нисбий тезланиш эса

$$a_{A_1 A_2} = \overline{k a_3} \cdot \mu_a = 20 \cdot 2,42 = 48,4 \text{ м/сек}^2$$

Зўлади.

Кулисадаги  $B$  нүқтанинг тезланиши кесмалар нисбати ёрдамида аниқланади:

$$\frac{\overline{o_2 b}}{\overline{o_2 a_3}} = \frac{\overline{O_2 B}}{\overline{O_2 A_3}};$$

бундан

$$\overline{o_2 b} = \overline{o_2 a_3} \cdot \frac{\overline{O_2 B}}{\overline{O_2 A_3}} = 77 \frac{80}{31} = 198,7 \text{ мм.}$$

бўлади.

Тезланишлар планидаги қутб нүқтаси π дан  $\overline{\pi a_3}$  кесманинг давомида  $\overline{\pi b} = \overline{o_2 b} = 199$  мм кесмани олиб,  $b$  нүқтани белгилаймиз. Бу нүқта тезланишининг қиймати

$$a_B = \overline{\pi b} \cdot \mu_a = 199 \cdot 2,42 = 481,6 \text{ м/сек}^2$$

булади.

Кўлиса массасининг маркази  $S_3$  нинг тезланишини кесмалар нисбатидан фойдаланиб аниқлаймиз:

$$\overline{o_2 s_3} = \overline{o_2 a_3} \cdot \frac{\overline{O_2 S_3}}{\overline{O_2 A_3}} = 77 \frac{20}{31} = 50 \text{ мм}$$

Планда қутб нүқтаси π дан  $\overline{\pi s_3} = \overline{o_2 s_3} = 50$  мм кесмани белгилаймиз. Қутб билан  $s_3$  нүқтани бирлаштириб,  $S_3$  нүқтанинг тезланиш вектори бўлган  $\overline{\pi s_3}$  кесмани оламиз. Унинг қиймати

$$a_{S_3} = \overline{\pi s_3} \cdot \mu_a = 50 \cdot 2,42 = 121 \text{ м/сек}^2.$$

бўлади.

Кулисадаги  $C$  нүқтанинг тезланишини аниқлаш учун учбурчакликларнинг ўхшашлиги қоидасидан фойдаланамиз. Бўнинг учун тезланишлар планида механизм схемасидаги учбурчак-

ликка үхашац учбурсаклик чизамиз. Бунда пландаги шакл ҳарфларининг жойлашув тартиби механизмдаги шакл ҳарфларининг жойлашув тартиби мос булиши керак. Агар механизмдаги учбурсакликкнинг  $B \rightarrow O_2 \rightarrow C$  ҳарфларини соат стрелкаси юрадиган томонга қараң белгиласак, пландаги учбурсаклик ҳарфлари ҳам  $b \rightarrow O_2 \rightarrow c$  тартибда жойлашуви керак. Бунинг учун кесмаларининг қийматини ҳисоблаймиз:

$$\overline{O_2C} = \overline{O_2B} \frac{\overline{O_2C}}{\overline{O_2B}} = 199 \frac{40}{80} = 99,5 \text{ мм},$$

$$\overline{cb} = \overline{O_2B} \frac{\overline{CB}}{\overline{O_2B}} = 199 \frac{89}{80} = 224 \text{ мм.}$$

$$\overline{O_2c} = \overline{O_2B} \frac{\overline{O_2c}}{\overline{O_2B}} = 199 \frac{40}{80} = 99,5 \text{ мм},$$

$$\overline{cb} = \overline{O_2B} \frac{\overline{CB}}{\overline{O_2B}} = 199 \frac{89}{80} = 224 \text{ мм.}$$

Тезланишлар планида  $\overline{O_2B}$  кесманинг томонида схемадаги  $\triangle BO_2C$  учбурсакликка үхашац  $\triangle bo_2c$  учбурсаклик чизамиз. Бунинг учун тезланишлар планида  $\overline{O_2B}$  чизикнинг үнг томонида  $O_2$  нүктадан  $\overline{O_2c} = 99,5$  мм радиус билан  $b$  нүктадан эса  $\overline{bc} = 224$  мм радиус билан ёйлар чизиб, уларнинг кесишиш нүктаси  $c$  пи аниқлаймиз. Уни  $\pi$  қутб билан бирлаштириб,  $C$  нүктенинг  $a_c$  тезланиш векторини тасвириловчи  $\overline{pc}$  кесмани оламиз. Унинг қиймати қуйидагича булади:

$$a_c = \pi c \cdot \mu_a = 99,5 \cdot 2,42 = 240,8 \text{ м/сек}^2.$$

Механизмнинг 4-5 звенолар группасининг тезланишларини аниқлаймиз. Шатундаги  $D$  нүктанинг тезланишини аниқлаш учун қуйидаги векторий тенгламани ёзамиз:

$$\overline{a}_D = \overline{a}_C + \overline{a}_{DC}^n + \overline{a}_{DC}^z, \quad (86)$$

$$\overline{a}_D = \overline{a}_x + \overline{a}_{Dx}^n + \overline{a}_{Dx}^z. \quad (87)$$

Бу тенгламадаги  $a_c$  тезланиш маълум (юқорида аниқланган).  $x-x$  йўналтирувчи қўзғалмас бўлгани учун  $\overline{a}_{Dx}^n$  ва  $\overline{a}_x$  тезланишларининг қиймати нолга тенг.  $D$  нүктанинг  $C$  нүктага нисбатан нормал тезланиши

$$\overline{a}_{DC}^n = \frac{\overline{v}_{DC}^2}{CD} = \frac{(CD \cdot \mu_v)^2}{CD \cdot \mu_v} = \frac{(48 \cdot 0,11)^2}{140 \cdot 0,005} = 39,8 \text{ м/сек}^2$$

булади, унинг вектори  $CD$  звенога параллел бўлиб,  $D$  нүктадан  $C$  нүктага томон йўналган. Юқоридаги тенгламада  $\overline{a}_{DC}^z - D$

нуқтанинг  $C$  нуқтага нисбатан уринма тезланиши (унинг вектори  $CD$  звенога тик йұналған);

$a'_{Dx} - D$  нуқтанинг  $x - x$  йұналтирувчига нисбатан нисбий тезланиши (унинг вектори  $x - x$  буйыча йұналған).

(86) векторий тенгламани куриб чиқамиз. Тезланишлар планининг  $c$  нуқтасидан  $CD$  звенога, параллел чизиқ үтказамиз ва бу чизиқда

$$\overline{cn_2} = \frac{a''_{DC}}{\mu_a} = \frac{39,8}{2,42} = 16,45 \text{ мм}$$

кесмани белгилаймиз. Сүнгра  $n_4$  нуқтадан  $CD$  звенога тик чизиқ ва  $\pi$  нуқтадан  $x - x$  йұналтирувчига параллел чизиқ—тезланиш вектори  $a'_{Dx}$  ни чизамиз. Бу векторларниң кесишувидан  $d$  нуқта ҳосил бұлади. Пландағи  $n_4$  нуқтани  $d$  нуқта билан бирлаштырувчи  $\overline{n_4d}$  кесма  $\overline{a'_{DC}}$  уринма тезланишни  $\overline{ad}$  кесма эса  $a'_{Dx}$  нисбий тезланишини беради.  $\overline{\pi a} = \overline{xd}$  вектор  $D$  нуқтанинг тұла тезланиши бұлади. Уларнинг қыйматлари:

$$a_D = \pi d \cdot \mu_a = 116 \cdot 2,42 = 280,7 \text{ м/сек}^2,$$

$$a'_{DC} = \overline{n_2d} \cdot \mu_a = 4,5 \cdot 2,42 = 10,9 \text{ м/сек}^2.$$

6)  $S_4$  нуқтанинг тезланишини аниқлаш. Шатуннинг  $S_4$  нуқтаси  $CD$  звенонинг уртасида жойлашган. Тезланишлар планида ҳам у  $cd$  кесманинг уртасида жойлашуви керак. Уни кесмалар нисбатидан аниқлаймиз:

$$\overline{cs_4} = \overline{ca} \frac{\overline{CS_4}}{\overline{CD}} = 16 \frac{70}{140} = 8 \text{ мм.}$$

Пландағи  $c$  нуқтадан үтказилған  $cd$  кесмада  $\overline{cs_4} = 8$  мм кесмани белгилаймиз. Уни қутб нуқтаси  $\pi$  билан туташтириб,  $S_4$  нуқтанинг  $a_{S_4}$  тезланишини тасвирловчы  $\pi s_4$  векторни оламиз (30-шакл, 2). Унинг қыймати;

$$a_{S_4} = \pi s_4 \cdot \mu_a = 108 \cdot 2,42 = 261,4 \text{ м/сек}^2.$$

7) Механизм звеноларининг бурчагий тезланишларини аниқлаш. Кулісаннинг бурчагий тезланиши қўйидаги формуладан аниқланади:

$$\varepsilon_b = \frac{a_{A_3O_3}}{O_2A_3} = \frac{\overline{n_1a_3} \cdot \mu_a}{\overline{O_2A_3} \cdot \mu_l} = \frac{40 \cdot 2,42}{31 \cdot 0,005} = 624,5 \frac{\text{рад}}{\text{сек}^2}.$$

Бу тезланишнинг йұналишини аниқлаш учун пландағи  $\overline{n_1a_3}$  векторни схемадаги  $A_3$  нуқтага күчирәмиз. Схемадан кўринардики,  $\varepsilon_b$  соат стрелкаси юрадиган томонға йұналған (30-шакл,

*a*). Тош звено 3 билан бирга айлангани учун уларнинг бурчагий тезланишлари  $\epsilon_2 = \epsilon_3$  бўлади. Шатуннинг бурчагий тезланиши қўйидагича аниқланади:

$$\epsilon_4 = \frac{a_{DC}^n}{CD} = \frac{n_4 d \cdot \mu_a}{CD \cdot \mu_l} = \frac{4,5 \cdot 2,42}{140 \cdot 0,005} = 15,56 \frac{\text{рад}}{\text{сек}^2}.$$

Бу тезланишнинг йўналишини аниқлаш учун пландаги  $n_4 d$  векторни механизм схемасидаги  $CD$  звенонинг  $D$  нуқтасига кўчирамиз. Схемадан кўринадики,  $CD$  звено соат стрелкаси юрадиган томонга айланади.

Ползун илгарилама ҳаракатлангани учун унинг бурчагий тезланиши  $\epsilon_5 = 0$  бўлади.

8) Эгрилик радиусини аниқлаш. Механизмнинг берилган вазиятида  $S_4$  нуқта траекториясининг эгрилик радиуси қўйидаги формуладан аниқланади:

$$r_{S_4} = \frac{v_{S_4}^2}{a_{S_4}^n} = \frac{(p_v s_4 \cdot \mu_v)^2}{\pi n_{S_4} \cdot \mu_a} = \frac{(45 \cdot 0,11)^2}{61 \cdot 2,42} = 0,166 \text{ м.}$$

Шатундаги  $S_4$  нуқта траекториясининг эгрилик радиуси билан айлана чизамиз. Бунинг учун айлананинг эгрилик марказини аниқлаймиз.

Маълумки, эгрилик маркази  $L$  нормал тезланиш  $a_{S_4}^n$  нинг  $n-p$  чизигида ётади. Бу нормал тезланиш векторининг йўналишини тезланишлар планидан аниқлаймиз.

Тезланишлар планидаги  $s_4$  нуқтадан тезликлар планидаги  $p_v s_4$  кесмага параллел қилиб,  $\tau - \tau$  чизиқни утказамиз. Бу чизиқда уринма тезланишнинг йўналиши бўлади. Қутб нуқтасидан  $\tau - \tau$  чизиққа тик  $n-p$  чизиқ ўтказамиз. Унда  $S_4$  нуқта нормал тезланишининг  $\pi n_{S_4}$  кесмасини оламиз. Бу нормал тезланишнинг қиймати:

$$a_{S_4}^n = \pi n_{S_4} \cdot \mu_a = 61 \cdot 2,42 = 147,6 \text{ м/сек.}$$

бўлади. Шундан кейин механизм схемасидаги  $S_4$  нуқтадан  $\pi n_{S_4}$  кесмага параллел чизиқ ўтказамиз ва схемада  $\mu_l$  масштабда  $S_4 L = p_{S_4}$  эгрилик радиусининг маркази  $L$  нуқтани белгилаймиз. Эгрилик радиусининг қиймати:

$$p_{S_4} = S_4 L = \frac{p_{S_4}}{\mu_l} = \frac{0,166}{0,005} = 33,2 \text{ мм.}$$

Сўнгра  $L$  нуқтадан  $L S_4$  радиус билан айлана чизамиз (30-шакл, а га қаранг).

### 3. МЕХАНИЗМНИ КИНЕТОСТАТИКАВИЙ ҲИСОБЛАШ

Механизмни кинетостатикавий ҳисоблашнинг асосий вазифаси қўйидагилардан иборат:

1) Механизм звеноларига таъсир этувчи кучларни аниқлаш;

2) Кинематикавий жуфтларда ҳосил бўлган реакция кучларини ва етакчи звенодаги мувозанатловчи кучни аниқлаш.

Инерция кучи назарда тутилиб олиб бориладиган ҳисоблаш кинетостатикавий ҳисоблаш дейилади. Бу кучларни ҳисоблаш механизм звеноларининг мустаҳкамлигини, ейилишга чидамлилигини ошириш, механизмининг барча кинематикавий жуфтларидағи ишқаланувчи юзаларда сарф бўладиган қувватларни аниқлаш учун керак бўлади.

Механизмга таъсир этувчи ташқи куч ползун тезлигининг йўналишига қарама-қарши йўналган. Фойдали қаршилик кучи  $P = 700$  н берилган. Механизмга таъсир қилувчи кучларни ҳисоблашда инерция кучларини ва барча звеноларнинг массаларини ҳисобга оламиз.

Механизмни кинетостатикавий ҳисоблаш, асосан, етакчи звенога энг охирида бирлашган Ассур группасини ҳисоблашдан бошланади. Сўнгра унга кетма-кет бирлашган бошқа группалар ҳисобланади ва энг охири етакчи звенонинг узи ҳисобланади.

Етакчи звенони мувозанатловчи  $P_m$  куч аниқланади. Даламбер принципига кўра, берилган ташқи кучлар ва ҳосил бўлган инерция кучлари таъсирида механизмни мувозанатда деб қараб, ҳисоблашни қўйидаги тартибда бажарализ.

#### A. Механизм звеноларининг инерция кучларини аниқлаш

а) Ричагли звеноларнинг массалари қиймати қўйидаги формуладан топилади:

$$m = ql \text{ кг},$$

бу ерда  $q$  — ричагнинг узунлиги бўйича массаси (звено узунлигининг ҳар 1 метри массаси қийматини 5 кг/м га тенг деб оламиз);

$l$  — звенонинг узунлиги, м;

Кривошиппнинг массаси ва оғирлиги қўйидагича:

$$m_1 = q \cdot O_1 A = 5 \cdot 0,25 = 1,25 \text{ кг},$$

$$G_1 = m_1 \cdot g = 1,25 \cdot 9,81 = 12,3 \text{ н.}$$

Кулисанинг икки томонидаги стерженлар  $90^\circ$  бурчак остида бикр маҳкамланган бўлиб, унинг массаси  $BO_2$  ва  $CO_2$  томонларнинг узунликлари йиғиндисидан иборат:

$$m_3 = q (BO_2 + CO_2) = 5 (0,4 + 0,2) = 3 \text{ кг},$$

$$G_3 = m_3 \cdot g = 3 \cdot 9,81 = 29,4 \text{ н.}$$

Шатуннинг массаси ва оғирлиги:

$$m_4 = q \cdot CD = 5 \cdot 0,7 = 3,5 \text{ кг},$$
$$G_4 = m_4 \cdot g = 3,5 \cdot 9,81 = 34,3 \text{ н.}$$

Ползуннинг массаси ва оғирлиги:

$$m_5 = 2 \cdot m_1 = 2 \cdot 1,25 = 2,5 \text{ кг},$$
$$G_5 = m_5 \cdot g = 2,5 \cdot 9,81 = 24,5 \text{ н.}$$

б) Звенолар массасининг марказига нисбатан уларнинг инерция моментини аниқлаймиз. Кулиса массасининг маркази  $O_2B$  звенонинг  $O_2S_3 = 0,2 \text{ м}$  қисмида ётади, унинг инерция моменти қиймати берилган:

$$I_{S_3} = 0,08 \text{ кг} \cdot \text{м}^2.$$

Шатун массасининг марказига нисбатан инерция моменти қуйидаги формуладан ҳисоблаб топилади:

$$I_{S_4} = 0,1 \cdot m_4 \cdot l^2 = 0,1 \cdot m_4 \cdot CD^2 = 0,1 \cdot 3,5 \cdot 0,7^2 = 0,175 \text{ кг} \cdot \text{м}^2.$$

в) Механизм звеноларида ҳосил бўлган инерция кучлари ни ҳисоблаймиз.

Кулисанинг инерция кучи:

$$P_{u_3} = m_3 \cdot a_{S_3} = 3 \cdot 121 = 363 \text{ н.}$$

Бу инерция кучи  $S_3$  нуқтага қўйилган бўлиб, у  $a_{S_3}$  тезланишнинг йўналишига қарама-қарши томонга, яъни пастдан юқорига йўналган.

Шатуннинг инерция кучи:

$$P_{u_4} = m_4 \cdot a_{S_4} = 3,5 \cdot 261,4 = 915 \text{ н.}$$

Бу  $P_{u_4}$  куч  $S_4$  нуқтага қўйилган бўлиб,  $a_{S_4}$  тезланишнинг йўналишига қарама-қарши томонга, яъни чапдан ўнгга йўналган.

Ползуннинг инерция кучи:

$$P_{u_5} = m_5 \cdot a_D = 2,5 \cdot 280,7 = 702 \text{ н.}$$

Бу  $P_{u_5}$  куч ползуннинг  $D$  нуқтасига қўйилган бўлиб, тезланишнинг йўналишига қарама-қарши томонга, яъни чапдан ўнгга йўналган.

г) Звеноларининг инерция кучлари моментларини ҳисоблаймиз.

Кулисанинг инерция кучи моменти:

$$M_{u_3} = I_{S_3} \cdot \epsilon_3 = 0,08 \cdot 624,5 = 50 \text{ нм.}$$

у звенонинг бурчагий тезланиши  $\epsilon_3$  нинг айланишига қарама-қарши — соат стрелкаси юрадиган томоннинг тескарисига йўналган.

Шатуннинг инерция кучи моменти:

$$M_{u_4} = I_{S_4} \cdot \epsilon_4 = 0,175 \cdot 15,56 = 2,7 \text{ нм.}$$

У шатуннинг  $\epsilon_4$ , бурчагиň тезланишининг айланиш томонига қарма-қарши — соат стрелкаси юрадиган томонга йуналган.

Ползуннинг инерция кучи моменти нолга teng, чунки у илгарилама ҳаракатланади, унинг бурчагий тезланиши  $\epsilon_5 = 0$  бўлади.

### Б. Механизм звеноларининг умумий инерция кучлари қўйилган нуқтани аниқлаш

а) Ҳисоблашни соддалаштириш учун звено массасининг маркази  $S_3$  га қўйилган  $P_{u_3}$ , инерция кучини ва унинг  $M_{u_3}$  моментини битта инерция кучига алмаштирамиз. У ҳолда куч қўйилган нуқтанинг координатаси узгаради. Бу куч массасининг маркази  $S_3$  дан зэрб нуқтаси  $K$  га кўчирилади ( $30\text{-шакл}, \delta$ ). Буининг учун  $O_2B$  кулиса массасининг маркази  $S_3$  дан тик чизиқ чизамиз. Бу тик чизиқда инерция радиуси  $r_3$  га teng  $\overline{S_3N}$  кесмани белгилаймиз. Унинг қиймати қўйидаги формуладан аниқланади:

$$r_3 = \sqrt{\frac{I_{S_3}}{m_3}} = \sqrt{\frac{0,08}{3,0}} = 0,162 \text{ м.}$$

Узунликкаби танлаб олинган масшаби  $\mu_1$ , ёрдамида  $\overline{S_3N}$  кесманинг узунлигини аниқлаймиз:

$$\overline{S_3N} = \frac{r_3}{\mu_1} = \frac{0,162}{0,005} = 32,4 \text{ мм.}$$

Сўнгра  $N$  нуқтани кулиса маркази  $O_2$  билан бирлаштирамиз ва уни кулиса билан учрашгунча давом эттирамиз. Бу чизиқнинг кулиса билан кесишув нуқтаси  $K$  зарб нуқтаси бўлади. Бу нуқтада звенонинг  $S_3$  нуқтасидаги  $P_{u_3}$  кучни ўзига параллэл қилиб кўчирамиз. У ҳолда инерция кучининг звенога таъсир этувчи моменти  $M_{u_3}$  йўқолиб, кулисага  $K$  нуқтада битта  $P_{u_3}$  куч таъсир қиласди.

б) Шатуннинг инерция кучи  $P_{u_4}$  ва моменти  $M_{u_4}$  нинг қўйилиш нуқтасини аниқлаймиз

Шатун мураккаб гекис-параллел ҳаракат қиласди. Шатуннинг ҳаракатини икки ҳаракатга: илгарилама ва  $C$  нуқтага нисбатан айланма ҳаракатларга ажратамиз. У ҳолда, шатуннинг инерция кучи  $P'_{u_4}$  икки кучнинг:  $P'_{u_4} = m_4 \cdot a_c$  ва  $P''_{u_4} = m_4 \cdot a_{SC}$  кучларнинг геометрик йиғиндишига teng бўлади:

$$P_{u_4} = P'_{u_4} + P''_{u_4}.$$

Бундаги инерция кучи  $P'_{u_4}$  шагун массасининг маркази  $S_4$  га қўйилган булиб,  $a_c$  тезланиш векторининг йуналишига қарама-

қарши ва унга параллел йұналған. Инерция кучи  $P'_{u_4}$  зарб нүктаси  $K$  га құйилған булиб,  $a_{sc}$  тезланиш векторига параллел ва унга қарама-қарши томонға йұналған.

Звенодаги  $K$  нүктаның координатаси  $\overline{S_4 K}$  кесмани аниқлаш аули билан топилади:

$$S_4 K = \frac{l_{S_4}}{m_4 \cdot CS_4} = \frac{0,175}{3,5 \cdot 0,35} = 0,142 \text{ м.}$$

Бу кесманинг қиймати масштаб коэффициенти  $\mu_e$  бүйича ҳисобланади:

$$\overline{S_4 K} = \frac{S_4 K}{\mu_e} = \frac{0,142}{0,005} = 28,6 \text{ мм.}$$

Шатуннинг  $CS_4$  чизиги давомида  $\overline{S_4 K} = 28,6 \text{ мм}$  оралықда  $K$  нүктаны белгилаймиз (30 шакл,  $d$ ). Шатуннинг  $K$  нүктасидан унинг құтбий тезланишлар планидаги  $a_{sc}$  тезланиш векторининг  $CS_4$  чизигиге параллел чизик үтказамиз. Бу чизик инерция кучи  $P'_{u_4}$  нинг таъсир чизиги булади. Шагуннинг  $S_4$  нүктасидан тезланишлар планидаги  $a_c$  тезланишиннегі  $\pi_c$  векторига параллел чизик үтказамиз. Бу чизик инерция кучи  $P'_{u_4}$  нинг таъсир чизиги булади. Үтказилған иккі чизиқнинг кесишиүү нүктаси шатуннинг умумлаштирилған инерция кучи  $P_{u_4}$  нинг құйилиш нүктаси  $T$  ни беради.  $T$  нүктага тезланишлар планидаги  $a_s$  тезланиш векторига  $\pi S_4$  ни параллел ва унга қарама-қарши йұналтириб, инерция кучи  $P_{u_4}$  ни чизамиз. Бу кучнинг қиймати юқорида аниқланған.

## В. Кинематикалык жуфтлардаги реакция кучларини аниқлаш

4—5 звенолар группасини ҳисоблаш. Маълум  $G_4$ ,  $P_{u_4}$ ,  $G_5$ ,  $P_{u_5}$ ,  $P$  кучларни 4 ва 5 звеноларга құяды. Булардан ташқары яна қандай кучлар таъсир қилишини аниқлайды.

Кулиса билан  $x - x$  йұналтирувчидан 4—5 звеноларни ажратыб оламиз. Ажратылған  $O$  ва  $C$  нүкталарнинг кинематикалык жуфтларының йұналтирувчининг ползунга бұлған реакция кучи  $R_{45}$  билан кулисаның шагунга бұлған реакция кучи  $R_{54}$  ни құяды. Бундан реакция кучи  $R_{45}$  нинг йұналиши маълум, у  $x - x$  пұйылтырувчига тик йұналған булиб, шарнир нүктаси  $D$  дан үтады (30-шакл,  $e$ ). Унинг қиймати номаълум.

$\bar{R}_{34}$  кучнинг йўналиши ҳам, қиймати ҳам номаълум, уни аниқлаш талаб қилинади. Бу  $\bar{R}_{34}$  кучни икки кучга:  $\bar{R}_{34}^t$  уринма ва  $\bar{R}_{34}^n$  нормал кучларга ажратамиз Уринма  $\bar{R}_{34}^t$  кучни  $CD$  звено-га тик, нормал  $\bar{R}_{34}^n$  кучни эса звенога параллел йўналтирамиз. Бундан ташқари, ползуннинг шарнирида 4 ва 5 звеноларнинг реакция кучлари  $\bar{R}_{45} = -\bar{R}_{54}$  пайдо бўлади. Бу реакция кучлари қийидаги тартибда ҳисоблаб топилади:

а) шатуннинг кучлар таъсиридаги мувозанатини текшириб,  $\bar{R}_{34}^t$  уринма кучнинг қийматини аниқлаймиз Бунинг учун звено 4 нинг  $D$  нуқтасига нисбатан барча кучлар ва моментларнинг таъсиридаги мувозанат шарти тенгламасини тузамиз ( $\sum M_D(P) = 0$  бўлиши керак). У ҳолда

$$\bar{R}_{34}^t \cdot CD - G_4 h_{G_4} - P_{u_4} \cdot h_{P_{u_4}} = 0$$

булади.

Кучлар елкасини  $h$  ҳарфи билан белгилаймиз, елка қайси кучники эканлигини индексга қўйиладиган ҳарф билан кўрсатамиз, масалан,  $h_{G_4}$  — оғирлик кучи  $G_4$  нинг елкаси;  $h_{P_{u_4}}$  инерция кучи  $P_{u_4}$  нинг елкаси ва ҳоказо. Елкаларнинг қийматларини түғридан-тўғри чизмадан ўлчаб оламиз:

$$h_{G_4} = 68 \text{ мм}, \quad h_{P_{u_4}} = 13 \text{ мм}.$$

Агар  $\bar{R}_{34}^t$  куч ҳисоблаганда ишораси манфий чиқса, бу куч векторининг йўналишини қарама-қарши томонга ўзgartирамиз. Тенгламани  $\bar{R}_{34}^t$  кучга нисбатан ечамиз:

$$\bar{R}_{34}^t = \frac{G_4 \cdot h_{G_4} + P_{u_4} \cdot h_{P_{u_4}}}{CD} = \frac{34,3 \cdot 68 + 915 \cdot 13}{140} = 101,6 \text{ Н};$$

б) группанинг кучлар таъсирида мувозанатда бўлишини аниқлаймиз Группага таъсир этувчи кучларнинг геометрик йиғиндиси нолга тенг бўлса, бу группа мувозанатда бўлади:

$$\bar{R}_{34}^t + \bar{P}_{u_4} + \bar{G}_4 + \bar{P}_{u_5} + \bar{G}_5 + \bar{P} + \bar{R}_{05} + \bar{R}_{34}^n = 0. \quad (88)$$

Бу тенгламадаги  $\bar{R}_{34}^n$  ва  $\bar{R}_{05}$  кучлар таъсир чизиқларининг йўналишлари маълум, яъни  $\bar{R}_{34}^n$  кучнинг вектори звено 4 га параллел,  $\bar{R}_{05}$  кучники эса  $x - x$  йўналтирувчига тик йўналган. Қолган кучларнинг қиймати ва йўналиши маълум.  $\bar{R}_{34}^t$ ,  $\bar{R}_{05}$  кучлар векторларининг қийматлари кучлар плани тузиш йўли билан аниқланади.

Бунинг учун кучлар масштабини  $\mu_p = 10 \text{ Н/мм}$  деб қабул қиласиз. Юқоридаги тенгламага кура барча кучларнинг век-

торларини үз йұналиши буйича қоюшиб чиқамиз, яғни группа-  
та таъсир этувчи күчларнинг күч күпбұрчаклигini чизамиз  
(30-шакл, жс).

Листнинг иктиерий бир жойида  $a$  нүктаны танлаб оламиз.  
Ү  $\bar{R}_{34}^t$  векторнинг бошланиш нүктаси бўлади. Бу нүктадан  $\bar{R}_{34}^t$   
векторга параллел чизиқ чизамиз ва унда  $\bar{R}_{34}^t$  кучнинг  $\mu_p$  масш-  
табдаги кесмаси

$$\bar{ab} = \frac{\bar{R}_{34}^t}{\mu_p} = \frac{101,6}{10} = 10,16 \text{ мм}$$

ни белгилаймиз. Шунингдек,  $G_4$  күч векторининг кесмаси

$$\bar{bc} = \frac{G_4}{\mu_p} = \frac{34,3}{10} = 3,43 \text{ мм}$$

ни  $b$  нүктадан  $G_4$  күчга параллел қилиб ўтказилган  $\bar{bc}$  чизиқда  
белгилаймиз.

Маълум бўлган күчларни ана шу усулда кетма-кет қоюшиб  
чиқамиз:

$$\bar{cd} = \frac{P_{u_1}}{\mu_p} = \frac{9,15}{10} = 91,5 \text{ мм}, \quad \bar{de} = \frac{P_{u_6}}{\mu_p} = \frac{702}{10} = 70,2 \text{ мм},$$

$$\bar{ef} = \frac{G_5}{\mu_p} = \frac{24,5}{10} = 2,45 \text{ мм}, \quad \bar{jk} = \frac{P}{\mu_p} = \frac{700}{10} = 70 \text{ мм}.$$

Сунгра  $\bar{R}_{34}^t$  векторнинг бошланиш  $a$  нүктасидан шатунга па-  
раллел қилиб, нормал күч вектори  $\bar{R}_{34}^n$  ни чизамиз ва  $\kappa$  нүк-  
тадан  $x - x$  йұналтирувчига тик чизиқ ўтказамиз. Ўтказилган  
бу чизиқларнинг кесишув  $l$  нүктаси реакция күчлари  $\bar{R}_{34}^r$  ва  
 $\bar{R}_{05}$  ни белгиловчи  $\bar{Ta}$  ва  $\bar{k}l$  кесмаларни беради. Бундан  $\bar{R}_{34}^n$  ва  
 $\bar{R}_{34}^t$  векторларни геометрик қоюшиб ( $\bar{R}_{34} = \bar{R}_{34}^n + \bar{R}_{34}^t$ ), шатун-  
нинг С шарниридаги тұла реакция күчининг қиймаги ва йу-  
налишини аниқлаймиз.

Бунинг учун  $l$  нүктаны  $\vartheta$  нүкта билан бирлаштириб, тұла  
реакция күчи  $\bar{R}_{34}$  нинг векторини оламиз.

Күчлар планидаги  $\bar{lb} = 236$  мм кесмани үлчаб, күч масшта-  
би  $\mu_p$  га күпайтирамиз-да,  $R_{34}$  кучнинг қийматини аниқлаймиз!

$$R_{34} = \bar{lb} \cdot \mu_p = 236 \cdot 10 = 2360 \text{ Н.}$$

Ползундаги реакция күчи  $\bar{R}_{05}$  нинг қиймати құйидагиша топи-  
лади:

$$R_{05} = \kappa l \cdot \mu_p = 35 \cdot 10 = 350 \text{ Н.}$$

в) шатуннинг  $D$  шарниридаги реакция кучини аниқлаймиз. Бунинг учун группадан звено 5 ни олиб ташлаб,  $D$  нуқтага шатуннинг ползунга таъсир этувчи реакция кучи  $\bar{R}_{54}$  ни қўя-  
миз. У ҳолда, шатун  $\bar{R}_{34}$ ,  $\bar{P}_{u_4}$ ,  $\bar{G}_4$ ,  $\bar{R}_{54}$  кучлар таъсирида була-  
ди. Бу звено мувозанатда бўлиши учун унга таъсир этувчи  
кучларнинг геометрик йифиндиси нолга тенг бўлиши, яъни

$$\bar{R}_{34} + \bar{G}_4 + \bar{P}_{u_4} + \bar{R}_{54} = 0 \quad (89)$$

бўлиши керак. Бундаги номаълум  $\bar{R}_{54}$  кучни аниқлаш учун  $\bar{P}_{u_4}$   
куч векторининг охири  $d$  нуқта билан  $\bar{R}_{34}$  куч векторининг  
бошланиш  $l$  нуқтасини бирлаштириб,  $\bar{dl}$  кесмани оламиз (30-  
шакл, з).

Кучлар планида  $\bar{dl}$  кесма пункттир чизиқ билан курсатил-  
ган. Унинг ҳақиқий қиймати куч масштаби  $\mu_p$  га купайтириш  
йўли билан аниқланади:

$$R_{54} = d\bar{l} \cdot \mu_p = 146 \cdot 10 = 1460 \text{ н.}$$

Реакция кучи  $\bar{R}_{45}$  ни аниқлаш учун ползуннинг мувозанат  
шартини ёзамиз:

$$\bar{R}_{05} + \bar{P}_{u_5} + \bar{G}_5 + \bar{P} + \bar{R}_{45} = 0, \quad (90)$$

яъни барча кучларнинг геометрик йифиндисини нолга тенг-  
лашиборади. Бунинг учун  $l$  ва  $d$  нуқталарни бирлаштириш  
етарли. Чизмадан кўриниб турибдики,  $\bar{R}_{45}$  кучнинг қиймати  $\bar{R}_{54}$   
кучга тенг ва унга қарама-қарши йўналган.

Механизмнинг 2—3 звенолари группасига таъ-  
сир этувчи кучларни ҳисоблаш. Механизмнинг 2 ва 3  
звеноларидан иборат Ассур группаси (30-шакл, з) қуйидаги  
кучлар таъсирида бўлади: кулисанинг  $C$  нуқтасида шатуннинг  
реакция кучи  $\bar{R}_{34}$  га тенг ва унга қарама-қарши йўналган реак-  
ция кучи  $\bar{R}_{43}$ . Бу кучнинг қиймати юқорида аниқланган. Ку-  
лисанинг  $O_2$  шарнирида стойканинг реакция кучи  $\bar{R}_{03}$  бор. Бу  
кучни  $O_2B$  звенога тик йўналган  $\bar{R}_{03}$  уринма ва звено бўйлаб  
йўналган  $\bar{R}_{03}$  нормал икки кучга ажратамиз. Кулиса массаси-  
нинг  $S_3$  марказида  $G_3$  ва  $K$  нуқталарда инерция кучи  $P_{u_3}$ ,  $A_3$   
нуқтада эса тошнинг кулисага бўлган реакция кучи  $\bar{R}_{23}$  таъ-  
сир этади. Бу кучлар қуйидаги тартибда ҳисобланади. Тошни  
кулисадан ажратиб, унинг реакция куч вектори  $\bar{R}_{23}$  ни  $A_3$  нуқ-  
тага қўямиз. Бу кучнинг таъсир чизиги  $O_2A_3$  звенога тик йў-  
налади, қиймати эса  $O_2$  нуқтага нисбатан моментлари тенгла-  
масидан аниқланади:

$$R_{23} = \frac{R_{43} \cdot h_{R_{43}} + G_3 \cdot h_{G_3} + P_{u_3} \cdot h_{P_{u_3}}}{O_3 A_3} =$$

$$= \frac{2360 \cdot 25 - 29,4 \cdot 11 + 363 \cdot 35}{31} = 2303 \text{ н.}$$

Чизмадан қўйидаги кесмалар ўлчанади:

$$\overline{O_2 A_3} = 31 \text{ мм}, \quad h_{R_{43}} = 25 \text{ мм},$$

$$h_{G_3} = 11 \text{ мм}, \quad h_{P_{u_3}} = 35 \text{ мм.}$$

Сўнгра  $\bar{R}_{03}$  куч векторининг йўналиши ва унинг қиймати кулисага таъсир этувчи барча кучлар тенгламасини тузиш ва кучлар планини чизиш йўли билан аниқланади:

$$\bar{R}_{43} + \bar{G}_3 + \bar{P}_{u_3} + \bar{R}_{23} + \bar{R}_{03} = 0. \quad (91)$$

Кучлар плани масштабини  $\mu_p = 30 \text{ н/мм}$  деб қабул қиласиз. Барча кучларнинг танланган масштабдаги кесмалари узунликларини ҳисоблаймиз:

$$\bar{R}_{43} = \frac{R_{43}}{\mu_p} = \frac{2360}{30} = 78,5 \text{ мм,}$$

$$\bar{G}_3 = \frac{G_3}{\mu_p} = \frac{29,4}{30} = 1 \text{ мм,}$$

$$\bar{P}_{u_3} = \frac{P_{u_3}}{\mu_p} = \frac{363}{30} = 12 \text{ мм,}$$

$$\bar{R}_{23} = \frac{R_{23}}{\mu_p} = \frac{2303}{30} = 76,7 \text{ мм.}$$

Юқоридаги векторий тенгламага биноан,  $\bar{R}_{43}$ ,  $\bar{G}_3$ ,  $\bar{P}_{u_3}$ ,  $\bar{R}_{23}$  векторларни геометрик қўшиби чиқамиз. Сўнгра  $\bar{R}_{23}$  векторининг охири бўлган  $e$  нуқтани  $\bar{R}_{43}$  векторнинг боши бўлган  $a$  нуқта билан туташтириб, тўла реакция кучи  $\bar{R}_{03}$  нинг  $ea$  вектор кесмасини оламиз (30-шакл, и). Бу кучнинг қиймати

$$R_{03} = ea \cdot \mu_p = 145 \cdot 30 = 4350 \text{ н}$$

бўлади.

Шундан кейин кулисадан тошга таъсир этувчи  $\bar{R}_{32}$  кучни текширамиз. Тошга фақат  $\bar{R}_{12}$  ва  $\bar{R}_{32}$  кучлар таъсир этади. У ҳолда  $\bar{R}_{12} + \bar{R}_{32} = 0$  бўлади, бундан  $\bar{R}_{12} = -\bar{R}_{32}$ , иккинчи томондан  $\bar{R}_{32} = -\bar{R}_{23}$  бўлгани учун  $\bar{R}_{12} = \bar{R}_{23}$  бўлади, яъни  $\bar{R}_{12}$  ва  $\bar{R}_{23}$  кучларнинг қиймати ҳам, йўналиши ҳам бир хил.

## Г. Етакчи звено кучларини ҳисоблаш

Кривошипга  $A_1$  нүктада звено 2 нинг реакция кучи  $\bar{R}_{21}$  таъсир этади. Бу куч қиймати жиҳатидан  $\bar{R}_{12}$  кучга тенг бўлиб, қарама-қарши томонга йўналган. Кривошипнинг  $O_1$  нүктасида стойканинг кривошипга  $\bar{R}_{01}$  реакция кучи таъсир этади. Унинг қиймати ҳам, йўналиши ҳам номаълум, уни исталган томонга йўналтирамиз.

Кривошипнинг  $A_1$  нүктасига кривошипга тик йўналган мувозанатловчи  $P_m$  куч қўйилган (30-шакл,  $k$ ).

а) кривошипнинг мувозанатловчи  $P_m$  кучини аниқлаш учун барча кучларнинг  $O_1$  нүктаға нисбатан моментлари тенгламасини ёзамиз:

$$P_m \cdot O_1 A - R_{21} \cdot h_{R_{21}} = 0, \quad (92)$$

бундан

$$P_m = \frac{R_{21} \cdot h_{R_{21}}}{O_1 A} = \frac{2303 \cdot 45}{50} = 2072,7 \text{ н}$$

булади. Тенгламадаги  $h_{R_{21}}$  елканинг қиймати (45 мм) чизмадан ўлчанади;

б) кривошипнинг реакция кучини шу кривошипга таъсир этувчи кучлар тенгламасини тузиш йўли билан аниқлаймиз:

$$\bar{R}_{21} + \bar{P}_m + \bar{R}_{01} = 0. \quad (93)$$

Куч масштаби  $\mu_p = 30 \text{ н}/\text{мм}$  ни танлаб, кучлар планини чизамиз. Бунинг учун  $a$  нүктадан  $\bar{R}_{21}$  кучга параллел чизиқ ўтказиб, унда

$$\bar{ab} = \frac{R_{21}}{\mu_p} = \frac{2303}{30} = 76,7 \text{ мм}$$

кесмани белгилаймиз (30-шакл,  $k$ ). Унга  $b$  нүктадан  $P_m$  кучга параллел қилиб,  $\bar{bc} = \frac{2072,7}{30} = 69 \text{ мм}$  кесмани қўшамиз. Сўнгра  $c$  нүктаини  $a$  нүкта билан бирлаштириб, реакция кучи  $\bar{R}_{01}$  нинг  $ca$  вектори йўналишини оламиз. Унинг қиймати

$$R_{01} = ca \cdot \mu_p = 33 \cdot 30 = 990 \text{ н}$$

булади.

## Д. Мувозанатловчи $P_m$ кучни Н. Е. Жуковский усули билан аниқлаш

1) Кривошипнинг айланиш ( $\omega_1$ ) йўналишига қарама-қарши йўналишида  $90^\circ$  га бурилган бурилма тезликлар планини тузвамиз (30-шакл,  $l$ ).

2) Механизм звеноларига таъсир этувчи барча кучларни ва моментларни ўлларига параллел қилиб, схемадан тезликлар планидаги  $\dot{G}$  нүктасида таъсир қилади. Масалан,  $P$  куч механизмнинг  $D$  нүктасида таъсир қилади. Уни схемадан тезликлар планидаги  $d$  нүктага ўзига параллел йуналишда күчира миз. Қолган кучлар ва моментлар ҳам шу тартибда күчирлади.

3) Тезликлар планидаги кучларнинг қутб нүктаси  $P_v$  га нисбатан моментлари тенгламасини тузамиз:

$$P_m \cdot pva_1 + G_3 \cdot h_{G_3} - P_{u_3} \cdot h_{P_{u_3}} + G_4 \cdot h_{G_4} - P_{u_4} \cdot h_{P_{u_4}} - P_{u_5} \cdot h_{P_{u_5}} - P \cdot h_P = 0.$$

Чизмадан кучларнинг елкалари қийматларини улчаб, мувозанатловчи  $P_m$  кучнинг қийматини ҳисоблаймиз:

$$P_m = \frac{P_{u_3} \cdot h_{P_{u_3}} + P \cdot h_P + P_{u_4} \cdot h_{P_{u_4}} + P_{u_5} \cdot h_{P_{u_5}} - G_4 \cdot h_{G_4} - G_3 \cdot h_{G_3}}{\frac{P_v a_1}{50}} = \\ = \frac{702 \cdot 42 + 700 \cdot 40 + 915 \cdot 34 + 363 \cdot 53 - 34,3 \cdot 23 - 29,4 \cdot 17}{50} = 2130 \text{ н.}$$

Икки усулда аниқланган  $P_m$  кучнинг фарқи

$$\Delta P_m = \frac{P_m^* - P_m^n}{P_m^*} \cdot 100\% = \frac{2130 - 2072}{2130} \cdot 100 = 2,72\%$$

ни ташкил этади. Демак, мувозанатловчи  $P_m$  куч етарли даражада аниқ ҳисобланган.

## V. МАШИНАНИНГ БЕРИЛГАН КУЧ ТАЪСИРИДАГИ ҲАРАКАТИНИ ТЕКШИРИШ

Машиналар динамикасининг асосий масалаларидан бири звеноларнинг массаларини ҳисобга олиб, уларга қўйилган куч таъсирида машина агрегатининг ҳаракатини текширишдан иборат. Бунда машина ҳаракатининг режимлари төкширилади. Юқорида эркинлик даражаси бирга тенг булган механизм ҳаракатини текширганимизда, асосий вал ўзгармас бурчагий тезлик билан айланади, деб қабул қилинган эди. Аслида бундай ҳаракат кам учрайди. Технологик процессининг характеристи ҳар хил булади. Шунга қараб, уни бажариш учун талаб қилинган фойдали қаршилик кучлари қуввати ўзгарувчан булади. Шунинг учун асосий валнинг бурчагий тезлиги ўзгарувчан булади. Бу валнинг бурчагий тезлигининг ўзгариш қонунини механизмга қўйилган барча кучлар системаси маълум булганда аниқлаш мумкин.

Демак, механизмга таъсир этувчи барча кучлар берилган деб, бу кучлар таъсирида механизмнинг ҳаракат қонунини аниқлаймиз.

## 1. КЕЛТИРИЛГАН КУЧ ВА МАССА

Механизм түрли күч ва жуфт күчлар таъсиридаги мураккаб звенолар системасидан иборат бўлади. Бу системани берилган ташқи күчлар ва массалар таъсиридаги ҳаракат қонунини аниқлаш жуда мураккаб масаладир, чунки бунда ўзгарувчи коэффициентли дифференциал тенгламаларни бир неча марта интеграллаш керак бўлади. Эркинлик даражаси бирга тенг бўлган механизм ҳаракатининг тенгламасини соддалаштириш учун механизмга таъсир этувчи күч ва массаларни бир звенога (ёки бир нуқтага) келтириш усулини татбиқ этиб, шу звенонинг ҳаракат қонунини текшириш етарли бўлади.

Механизмнинг қолган звенолари ва нуқталарининг ҳаракат қонунлари кинематикавий текшириш усуслари билан аниқланади. Шунинг учун машина агрегати асосий валининг бурчагий тезлиги аниқланади-да, динамикавий масалалар — механизм звеноларига таъсир этувчи күч ва моментлар, шунингдек, уларнинг масса ёки инерция моментлари бир нуқта ёки бир звенога келтирилиб, шу асосий вал текширилади.

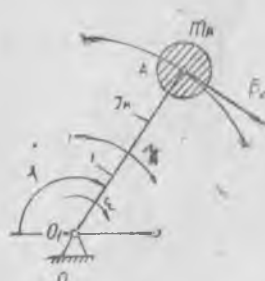
Механизмнинг турли звеноларидаги күч ва моментларни битта күч ёки моментга алмаштирасак, бу күч ёки момент *келтирилган күч ёки момент* деб аталади. Звенонинг бу күч қўйилган нуқтаси *келтирилган нуқта*, звено эса *келтирилган звено* дейилади. Агар механизм звеноларига таъсир этувчи барча күч ва моментлар, шунингдек, звеноларнинг массалари ва уларнинг инерция моментлари  $O_1A$  звенога келтирилса, шартли механизмга эквивалент бўлган айланувчи  $O_1A$  звенонинг динамикаси текширилади.

Бу звено механизм звеноларига таъсир этувчи ҳақиқий күч ва моментларга алмаштирилган, ўзгарувчи келтирилган инерция моменти  $I_k$  га ва келтирилган момент  $M_k$  эга бўлади. Келгирилган звено билан алмаштирилган  $O_1A$  звенонинг ҳаракат қонуни бир хил бўлади.

Келтирилган күч ёки келтирилган моментнинг элементар иши ёки қуввати ( $N_k$ ) текширилаётган механизмнинг звеноларига қўйилган күч ва моментларнинг ( $\sum N_i$ ) элементар иши ёки қувватига тенг бўлади, яъни:

$$N_k = \sum_{i=1}^k N_i. \quad (94)$$

Агар келтирилган  $P_k$  күч  $A$  нуқтага қўйилган (31-шакл) ва шу нуқтанинг траектория чизигига уринма тарзда йўналган бўлса, у ҳолда (94) тенглик мана бундай ёзилади:



31-шакл.

$$P_k v_A = \sum_{i=1}^{i=k} P_i v_i \cdot \cos \alpha_i + \sum_{i=1}^{i=k} M_i \omega_i, \quad (95)$$

бу ерда  $v_A$  — келтирилган  $A$  нүктанинг тезлиги;

$P_i$  ва  $M_i$  — звенога қўйилган куч ва момент;

$v_i = P_i$  куч қўйилган нүктанинг тезлиги;

$\omega_i = i$  звенонинг бурчагий тезлиги;

$\alpha_i = P_i$  куч билан  $v_i$  тезлик вектори орасидаги бурчак.

Агар келтирилган  $P_k$  куч ўрнига келтирилган  $M_k$  моментни аниқлашу талаб қилинса, (90) тенглик қўйидагича ёзилади:

$$M_k \omega = \sum_{i=1}^{i=k} P_i v_i \cos \alpha_i + \sum_{i=1}^{i=k} M_i \omega_i \quad (96)$$

бу ерда  $\omega$  — келтирилган звенонинг бурчагий тезлиги.

(95) ва (96) тенгламалардан келтирилган куч ва момент аниқланади:

$$P_k = \sum_{i=1}^{i=k} \frac{P_i v_i \cos \alpha_i}{v_A} + \sum_{i=1}^{i=k} \frac{M_i \omega_i}{v_A}; \quad (97)$$

$$M_k = \sum_{i=1}^{i=k} \frac{P_i v_i \cos \alpha_i}{\omega} + \sum_{i=1}^{i=k} \frac{M_i \omega_i}{\omega}. \quad (98)$$

Маълумки, машина ҳаракатининг асосий тенгламасига фаят қўйилган кучларнинг иши кирмасдан, балки звеноларнинг кинетикавий энергияси ҳам киради. Кинетикавий энергия системанинг массасига ра унинг тақсимланишига боғлиқ. Келтирилган  $m_k$  масса  $A$  нүктага қўйилган шартли масса бўлиб (31-шакл), бу масса билан  $A$  нүкта тезлиги  $v_A$  нинг квадрати ярмига кўпайтмаси шу нүкта билан ҳарактерланиб, механизминг кўриб чиқилаётган ҳар бир вазиятининг кинетикавий энергияси  $T$  га тенг бўлган кинетикавий энергия  $T_k$  га эга бўлади, яъни:

$$T = \sum T_i. \quad (99)$$

Механизмнинг кинетикавий энергияси упинг барча звеноларининг кинетикавий энергиялари йиғиндисига тенг:

$$T = \sum T_i = \sum_{i=1}^{i=n} \left[ \frac{I s_i \omega_i^2}{2} + \frac{m_i v_{s_i}^2}{2} \right], \quad (100)$$

бу ерда  $n$  — механизминг қўзғалувчи звенолари сони.

Келтирилган нүктанинг кинетикавий энергияси қўйидагича бўлади:

$$T_k = \frac{m_k \cdot v_A^2}{2}. \quad (101)$$

Келтирилган звенонинг кинетикавий энергияси

$$T_s = \frac{I_k \cdot \omega^2}{2} \quad (102)$$

булади; бу ерда  $I_k$  — звенонинг айланиш ўқига мос ўққа нисбатан келтирилган инерция моменти (32-шакл).

Механизм билан келтирилган  $m_k$  массали ёки келтирилган  $I_k$  инерция моментли звенолар системасининг динамикавий эквивалентлиги шартига кўра,

$$T_k = T, \quad T_s = T$$

булади.

$T_k$ ,  $T$  ва  $T_s$  ларни ўз ўрнига қўйиб, тенгламани соддалаштирасак, қўйидаги тенгламалар ҳосил булади:

$$m_k = \sum_{i=1}^{1-n} \left[ I_{S_i} \left( \frac{\omega_1}{v_A} \right)^2 + m_i \left( \frac{v_{S_i}}{v_A} \right)^2 \right], \quad (103)$$

$$I_k = \sum_{i=1}^{1-n} \left[ I_{S_i} \left( \frac{\omega_1}{\omega} \right)^2 + m_i \left( \frac{v_{S_i}}{\omega} \right)^2 \right]. \quad (104)$$

(103) ва (104) тенгламалардан кўринадики, келтирилган масса ёки келтирилган инерция моменти механизмнинг ҳаракат ќонунига боғлиқ бўлмасдан, келтирилган звенонинг ҳолатига боғлиқ, яъни улар ўзгарувчи қийматга эга бўлиб, умумлаштирилган координаталар бурчаги  $\varphi$  га қараб ўзгаради.

Фақат хусусий ҳолда, механизмнинг узатиш нисбати ўзгармаса (тишли ғилдиракли механизмда, фрикцион узатмаларда, шарнирли параллелограмм механизмларда ва ҳоказоларда), улар доимий булади.

1-мисол. 32-шаклда икки поғонали тишли узатма тасвирланган. Унинг  $O_1$ ,  $O_2$ ,  $O_3$  валларига  $M_1 = 50$  нм,  $M_2 = 30$  нм,  $M_3 = 40$  нм моментлар таъсир этади. Тишли ғилдиракларнинг айланиш ўқларига нисбатан инерция моментлари  $I_{O_1} = 0,5$  кгм<sup>2</sup>,  $I_{O_2} = I_{O_3} = 2,4$  кгм<sup>2</sup>, уларнинг тишлари сони  $z_1 = 16$ ,  $z_2 = 32$ ,  $z_3 = 17$ ,  $z_4 = 34$  берилган.

Қўйидагилар талаб қилинади:

1) моментларнинг  $I$  валга келтирилиш моменти  $M_k$  ни аниқлаш;

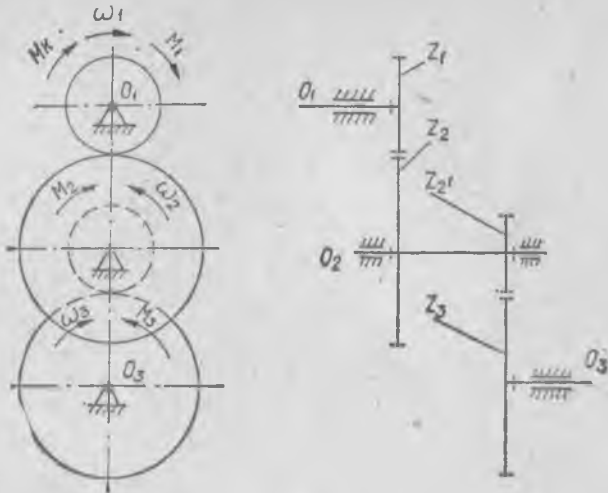
2) механизмнинг  $I$  валга келтирилиш инерция моменти  $I_k$  ни аниқлаш;

3)  $I$  валнинг бурчагий тезланишини аниқлаш.

Ечиш: 1)  $I$  валга келтириш моментини аниқлаш учун берилган барча моментларнинг қуввати йиғиндисини келтирилган валнинг қувватига тенглаймиз:

$$N_k = \sum N_i = N_1 + N_2 + N_3,$$

$$M_k \omega_1 = M_1 \omega_1 + M_2 \omega_2 + M_3 \omega_3,$$



32-шакл.

бундан

$$M_k = M_1 + M_2 \frac{\omega_2}{\omega_1} + M_3 \frac{\omega_3}{\omega_1}$$

келиб чиқади. Шарт бүйича ғилдиракнинг тишлари сони берилган, яъни:

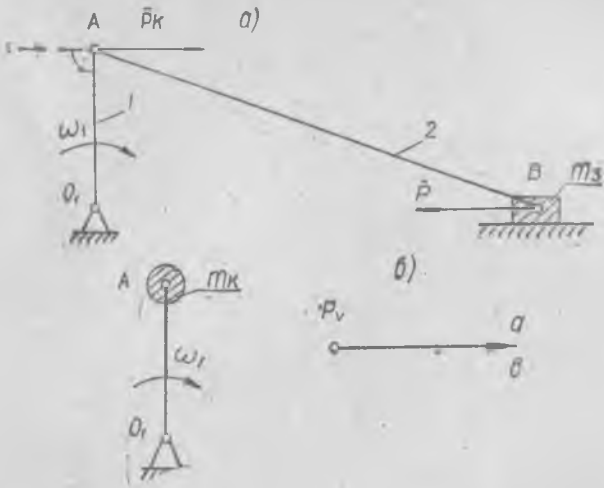
$$\begin{aligned}\frac{\omega_2}{\omega_1} &= U_{21} = -\frac{z_1}{z_2}, \\ \frac{\omega_3}{\omega_1} &= U_{31} = U_{32} \cdot U_{21} = -\frac{z_{2'}}{z_3} \left( -\frac{z_1}{z_2} \right).\end{aligned}$$

Ҳарфлар ўрнига қийматларини қўйиб,  $M_k$  ни аниқлаймиз:

$$M_k = M_1 - M_2 \frac{z_1}{z_2} - M_3 \left( \frac{z_{2'} \cdot z_1}{z_3 \cdot z_2} \right) = 50 - 30 \frac{16}{32} - 40 \frac{17 \cdot 16}{34 \cdot 32} = 25 \text{ нм};$$

2) механизмнинг I валга келтирилган инерция моменти  $I_k$  ни аниқлаймиз. Бунинг учун келтирилиш звеносининг кинетикавий энергиясини барча звеноларнинг кинетикавий энергияси йигиндисига тенглаймиз:

$$\begin{aligned}T_k &= \sum T_i = T_1 + T_2 + T_3, \\ \frac{I_k \omega_1^2}{2} &= \frac{I_{O_1} \cdot \omega_1^2}{2} + \frac{I_{O_2} \cdot \omega_2^2}{2} + \frac{I_{O_3} \cdot \omega_3^2}{2}, \\ I_k &= I_{O_1} + I_{O_2} \left( \frac{\omega_2}{\omega_1} \right)^2 + I_{O_3} \left( \frac{\omega_3}{\omega_1} \right)^2, \\ I_k &= I_{O_1} + I_{O_2} \left( \frac{z_1}{z_2} \right)^2 + I_{O_3} \left( \frac{z_{2'} \cdot z_1}{z_3 \cdot z_2} \right)^2 = 0,5 + 2,4 \left( \frac{16}{32} \right)^2 + 2,4 \left( \frac{17 \cdot 16}{34 \cdot 32} \right)^2 = \\ &= 1,25 \text{ кгм}^2.\end{aligned}$$



33-шакл (а, б).

Узатманинг узатиш сони доимий бўлгани учун звено 1 га келтирилган инерция моменти  $I_k$  ўзгармас бўлади;

3) звено 1 нинг бурчагий тезланишини аниқлаймиз:

$$\omega = \frac{M_k}{I_k} = \frac{25}{1,25} = 20 \frac{\text{рад}}{\text{сек}^2}.$$

**2-мисол.** Кривошип ползунли механизм (33-шакл) ползунининг массаси  $m_3 = 10$  кг бўлиб, унга кўйилган  $P = 1000$  Н куч таъсирида ва кривошиппининг  $\varphi = 90^\circ$  туриш ҳолатида унинг А нуқтага келтирилиши кучни  $P_k$  ни ва массаси  $m_k$  ни аниқланг.

Ечиш: 1) механизмнинг A шарниридаги келтирилган куч  $P_k$ ни аниқлаймиз. Бунинг учун келтирилган куч  $P_k$ ни аниқлашнинг умумий формуласини ёзамиш:

$$P_k = \frac{\sum_{i=1}^{l-n} N_i}{v_A},$$

бу ерда  $v_A$  — келтирилиш A нуқтасининг тезлиги;

$\sum_{i=1}^{l-n} N_i$  — келтириувчи кучлар қувватларининг йиғиндиси.

Шартга кўра, ползуннинг массаси  $m_3$  берилган, у ҳолда фақат ползуннинг қуввати олинади:

$$P_k = \frac{P \cdot v_B}{v_A} = P \left( \frac{\bar{p} \bar{b}}{\bar{p} \bar{a}} \right),$$

$v_A$  ва  $v_B$  тезликларнинг қийматини шу вазият учун тезликлар планини чизиш йўли билан аниқлаймиз Шаклдан кўринадик,  $v_B = v_A$ . Шунинг учун  $P_k = P = 1000$  н.

2) Келтирилган масса  $m_k$  қўйидагича аниқланади:

$$m_k = \frac{\sum_{i=1}^n T_i}{\frac{v_A^2}{2}} = \frac{m_3 \frac{v_B^2}{2}}{\frac{v_A^2}{2}} = m_3 = 10 \text{ кг},$$

бу ерда  $\sum_{i=1}^n T_i$  — келтирилувчи массалар кинетикавий энергияларининг йиғиндиси.

Механизмда бир звено — ползуннинг массаси берилгани учун фақат унинг кинетикавий энергияси олинади. Агар бошқа звеноларнинг ҳам куч ва массалари берилса, у ҳолда, уларнинг ҳам қуввати ва кинетикавий энергияси ҳисобланади.

## VI. ТИШЛИ МЕХАНИЗМЛАР ЛОЙИҲАЛАШ

### 1. ТИШЛИ МЕХАНИЗМНИНГ ТЕХНИКАДА ИШЛАТИЛИШИ ВА УЛАРНИНГ ТУРЛари

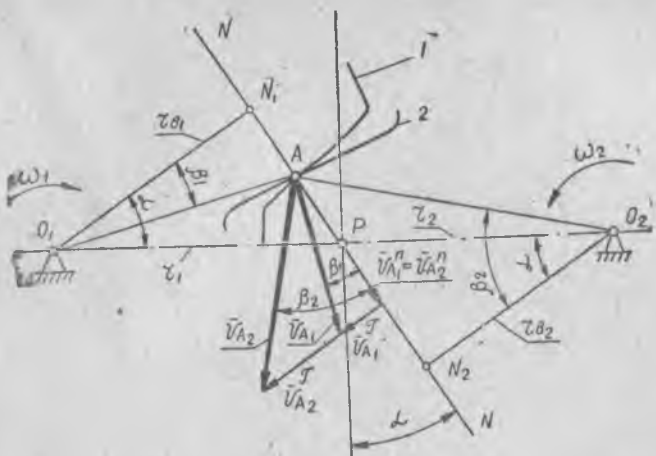
Тишли механизмлар машина ва приборларда кенг кўламда ишлатилади. Редукторларда тишли узатмаларнинг турли хиллари ишлатилади. Улар ёрдамида етакланувчи звенотга зарур айланма ҳаракат бериш мумкин. Тишли механизмлар жуда кичик қувватдан тортиб, бир неча ўнг минг кВт гача қувватларни узатиши мумкин. Улар автомобиль ва тракторларда, қишлоқ хўжалик ва қурилиш машиналарида, металл кесиш станокларида, ўлчаш приборлари ва ҳисоблаш машиналарида кўп ишлатилади. Тишли узатмалар валларнинг узаро жойланишига қараб, цилиндрик, конусавий, винтавий, червякли ва рейкали турларга бўлинади. Бу узатмалар ёрдамида параллел, кесишувчи ва айқашувчи валларга айланма ҳаракат узатилади. Узатмалар вазифасига қараб, куч, ҳисоб ва тезлик узатувчи турларга бўлинади. Тишли узатманинг асосий характеристикаси етакчи вал билан етакланувчи валнинг айланиш бурчагий тезликлари  $\omega_1$  ва  $\omega_2$  нинг нисбатини аниқловчи узатиш нисбати

$$U_{12} = \frac{\omega_1}{\omega_2} \quad (105)$$

ёки етакланувчи  $Z_2$  фиддиракнинг тишлари сонини етакчи фиддирак  $Z_1$  нинг тишлари сонига нисбатини белгиловчи узатиш сони

$$U_{12} = \frac{Z_2}{Z_1} \quad (106)$$

дан иборат.



34-шакл.

Тишли узатмалардан күпларининг узатиш нисбати ёки сони ўзгармас бўлиши керак.

Тишли узатмаларда ҳаракат тишлилар ёрдамида узатилади. Узатиш нисбати ўзгармас бўлиши тишининг профилига боғлиқ.  $U = \text{const}$  бўлиши учун тиши профили чизигини тўғри танлаш керак. Бу чизик тишли илашманинг асосий теоремаси ёрдамида аниқланади.

## 2. ТИШЛИ ИЛАШМАНИНГ АСОСИЙ ТЕОРЕМАСИ

Икки фидирлар тишиларининг профиллари  $A$  нуқтада уриниб (34-шакл),  $O_1$  ва  $O_2$  ўқлар атрофида  $\omega_1$  ва  $\omega_2$  бурчагий тезликлар билан айланади.

Шаклдаги  $O_1O_2$  чизик — икки фидирлар марказларининг оралиги. 1 ва 2 фидирлар профилларининг уриниш нуқтаси  $A(A_1, A_2)$  дан умумий нормал  $NN$  чизик ўтказамиз. Икки зевено профиллари бир-бирига  $A$  нуқтада доимо уриниб туриши керак. Бунинг учун ҳар бир фидирлар уриниш нуқтасининг  $v_{A_1}$  ва  $v_{A_2}$  тезликларини умумий нормал чизиқдаги нормал  $v_{A_1}^n$  ва  $v_{A_2}^n$  тезликларининг проекциялари ўзаро тёнг бўлиши керак:

$$v_{A_1}^n = v_{A_2}^n.$$

Акс ҳолда нуқталар ажралиши ёки бир звенонинг профили иккинчи звенонинг профилига кириб кетиши мумкин.  $v_{A_1}$

ва  $v_{A_1}$  тезликларнинг уринма  $\bar{v}_{A_1}$  ва  $\bar{v}_{A_2}$  ташкил этувчилари бир-бирига тенг бўлмайди. Бунинг натижасида профиллар орасида сирпаниш ҳосил бўлади.  $O_1$  ва  $O_2$  марказлардан  $NN$  га туширилган тик кесмаларнинг қийматлари:

$$O_1 N_1 = O_1 A \cdot \cos \beta_1$$

$$O_2 N_2 = O_2 A \cdot \cos \beta_2$$

84- шаклдан кўринадики, ташкил этувчи нормал тезликлар бир-бирига тенг:

$$v_{A_1} \cdot \cos \beta_1 = v_{A_2} \cdot \cos \beta_2.$$

Иккинчи томондан  $v_{A_1} = O_1 A \cdot \omega_1$  ва  $v_{A_2} = O_2 A \cdot \omega_2$ .  
У ҳолда,

$$O_1 A \cdot \cos \beta_1 \cdot \omega_1 = O_2 A \cdot \cos \beta_2 \cdot \omega_2$$

ёки

$$O_1 N_1 \cdot \omega_1 = O_2 N_2 \cdot \omega_2$$

$$r_1 \cdot \cos \alpha \cdot \omega_1 = r_2 \cdot \cos \alpha \cdot \omega_2$$

$$\frac{\omega_1}{\omega_2} = \frac{r_2}{r_1} \quad (107)$$

бўлади. Бу тенглама асосида шундай хулоса чиқариш мумкин: тишларнинг уриниш нуқталаридан ўтказилган умумий нормал филдираклар марказлари оралигини уларнинг бурчагий тезликлари нисбатига тескари нисбатда бўлади. Демак, узатиш нисбати

$$U_{12} = \frac{\omega_1}{\omega_2} = \frac{r_2}{r_1} = \text{const}$$

булиши учун профилнинг танланган чизиги қўйидаги шартни қондириши керак: профилларнинг уриниш нуқталаридан ўтказилган умумий нормал доимо бир нуқтадан ўтиб, марказлар оралигини узгармас

$$\frac{r_2}{r_1} = \text{const}$$

нисбатда булиши керак. Ана шу ифода илашманинг асосий теоремасидир. Бу нуқта  $P$  ҳарфи билан белгиланади ва *илашма қутби* деб аталади.  $P$  нуқта филдиракнинг нисбий ҳаракатидаги оний айланиш маркази бўлади. Бу шартни қондирувчи барча чизиқлардан цилиндрик филдираклар тишларининг профилларини ясаш учун фойдаланиш мумкин. Амалда эвольвентавий илашмалар кўп ишлатилгани учун филдираклар тишларининг профиллари эволвента эгри чизиги бўйича ясалади.

### 3. ЭВОЛЬВЕНТА ВА УНИНГ ХОССАЛАРИ

Тўғри чизиқнинг исталган нуқтаси айланा атрофида сирпанмасдан думалашидан эвольвента ҳосил бўлади. Бу айланা эволютивий ёки асосий айлана деб аталади. Унинг радиуси  $r_e$

ҳарфи билан белгиланади (35-шакл).  $NN$  түгри чизик  $r_\theta$  айланада сирпанмасдан думалагани учун  $\overline{N_1B}$  кесма айлананинг  $AN_1$  ёйига тенг бўлади:

$$\overline{N_1B} = \overline{AN_1},$$

бу ерда  $N_1B = \rho$  — эвольвентадаги  $B$  нуқтанинг эгрилик радиуси.

35 - шаклдан кўринадики-

$$r_\theta \cdot \operatorname{tg} \alpha = r_\theta (\alpha + \nu)$$

бундан

$$\nu = \operatorname{tg} \alpha - \alpha = \operatorname{inv} \alpha \quad (108)$$

бўлади; бу ерда  $\alpha$  — нуқтанинг эвольвентадаги вазиятини билдирувчи бурчак;

$\nu$  — эвольвента функцияси, бошқача қилиб айтганда, инволюта бурчаги.

Инволюта  $\operatorname{inv} \alpha$  бурчаги  $\alpha$  нинг қийматига қараб, махсус жадвалдан олинади. Эвольвентанинг исталган нуқтасининг  $\rho$  радиус-вектори қўйидаги нисбатдан аниқланади:

$$\rho = \frac{r_\theta}{\cos \alpha} \quad (109)$$

(103) ва (104) формулалар эвольвентанинг қутбий координаталар системасидаги тенгламалариридир.

Тишли илашма лойиҳалашда эвольвентанинг қўйидаги асосий хоссаларидан фойдаланилади:

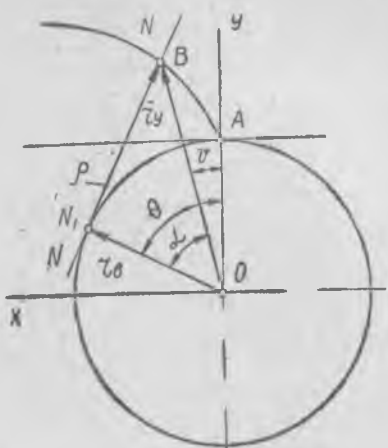
1. Эвольвентадаги исталган нуқтанинг нормал чизиги асосий айлананинг уринмаси бўлади. Бу хосса эвольвентанинг чизилишидан келиб чиқади, яъни  $NN$  нормал асосий айлананинг уринмаси бўлади.

2. Эвольвентадаги исталган нуқтанинг эгрилик радиуси шу нуқгадан асосий айланага ўтказилган уринма узунлигига тенг.

3. Эвольвента доимо асосий айланадан бошланиб, унинг ташқарисида ётади.

4. Эвольвентанинг шакли фақат асосий айлананинг радиусига боғлиқ.

Асосий айлананинг радиуси чексизга тенг ( $r_\theta = \infty$ ) бўлганда, эвольвента түгри чизикка айланади.



35-шакл.

#### 4. ЭВОЛЬВЕНТАВИЙ ИЛАШМАНИНГ АСОСИЙ ПАРАМЕТРЛАРИ

Тишли нормал ғилдиракнинг асосий параметрлари 36·шаклда ҳарфлар билан кўрсатилган:  $r_a$  — тишлар чиқиғи бўйлаб утадиган айланана радиуси;  $r_f$  — тишлар ботиги бўйлаб утадиган айланана радиуси;  $r$  — бўлиш айланаси радиуси;  $r_b$  — асосий айланана радиуси;  $r_w$  — бошланғич айланана радиуси;  $r_a'$  — тиш каллагининг баландлиги;  $h_f$  — тиш оёғининг баландлиги;  $S$  — тишнинг қалинлиги;  $e$  — икки тиш оралиғи;  $P$  — тиш қадами;  $\rho$  — тиш профили билан тиш ботиги айланасини бирлаштирувчи ёйнинг радиуси;  $h$  — тишнинг баландлиги.

Кўшни икки тишнинг бир хил нуқталари орасидаги айланана бўйлаб үлчанган масофа *илашманинг қадами* дейилади. Нормал ғилдиракларнинг асосий параметрларидан бири бўлиш айланасидир. Бўлиш айланаси узунлиги тиш қадами  $P$  билан ғилдирак тишлари сони  $z$  кўпайтмасига тенг:

$$Pz = 2\pi r \quad r = \frac{Pz}{2\pi}$$

Тиш қадами  $P$  нинг  $\pi$  га нисбати *илашманинг модули* дейилади ва  $m$  ҳарфи билан белгиланади:

$$m = \frac{P}{\pi}. \quad (110)$$

Модулнинг қиймати тишли ғилдиракнинг асосий параметридир. Модуль ва тишлар сони ёрдамида ғилдиракнинг бошқа үлчамлари ҳисобланади. Модулнинг үлчов бирлиги мм булиб, ГОСТ—9563—60 буйича маҳсус жадвалдан (1-жадвал) танлаб олинади.

1-жадвал  
ГОСТ — 9563 — 60 бўйича стандарт модуль, мм

Қатор		Қатор		Қатор		Қатор	
1	2	1	2	1	2	1	2
0,05	0,055	0,4	0,35	2,5	2,75	20	18
0,06	0,07	0,5	0,45	3	3,5	25	22
0,08	0,09	0,6	0,55	4	4,5	32	28
0,1	0,11	0,8	0,7	5	5,5	40	36
0,12	0,14	1,0	0,9	6	7	50	45
0,15	0,18	1,25	1,125	8	9	60	55
0,20	0,22	1,5	1,375	10	11	80	70
0,25	0,28	2,0	1,75	12	14	100	90
0,30			2,25	16			

Илашманинг мустаҳкамлиги ва чидамлилиги жиҳатидан ҳисоблаб топилган модули стандарт қийматига мослаб олинади. Тишнинг булиш айланаси бўйича ўлчанган қалинлиги

$$s = \frac{\pi m}{2},$$

икки тиш оралиғи эса

$$e = \frac{\pi m}{2}$$

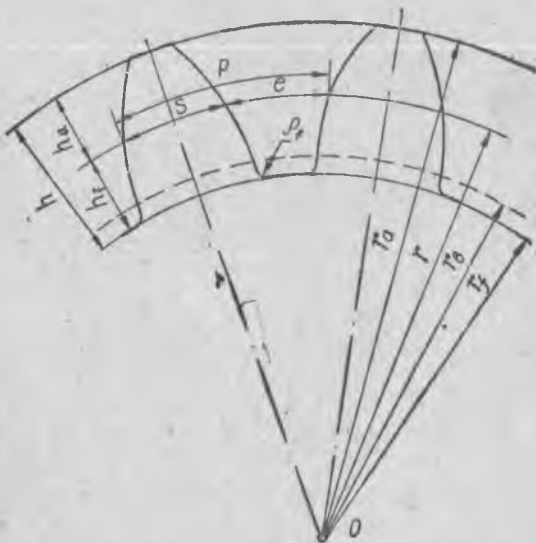
булади. Нормал илашмада тишнинг қалинлиги  $s$  икки тиш оралиғи  $e$  га тенг булади. Бунинг натижасида нормал узатманинг булиш айланалари бир-бираига нисбатан сирпанмай думалайди. Бир-бираига нисбатан сирпанмай думаловчи айланалар бошлангич айланалар деб аталади. Шундай қилиб, нормал узатмада булиш айланалари бошлангич айланага тўғри келади.

36-шакл асосида қўйидаги ифодаларни ёзамиз:

$$h_a = h_a^* \cdot m;$$

$$h_f = (h_a^* + c_o) m;$$

$$h = h_a + h_f = (2h_a^* + c_o) m,$$



36-шакл.

бу ерда  $h_a^*$  — тиш каллагининг баландлик коэффициенти (тишли нормал фидирлар учун  $h_a^* = 1,0$  булади, баландлиги қисқартирилган тишлар учун эса  $h_a^* = 0,8$  қилиб олинади);

$c_o$  — радиал зазор коэффициенти ( $c_o = 0,2 \dots 0,3$  қилиб олинади; тишли нормал фидирлар учун  $c_o = 0,25$  булади).

Тишли нормал фидиракнинг қолган үлчамлари  $m$  ёрдамида ҳисоблаб топилади.

Булиш айланаси ва бошлангич айланы радиуслари:

$$r = r_w = \frac{mz}{2}. \quad (111)$$

Фидиракнинг тишлари чизиги айланасининг радиуси:

$$r_a = \frac{m}{2} (r + 2). \quad (112)$$

Фидиракнинг тишлар ботиқлиги айланасининг радиуси:

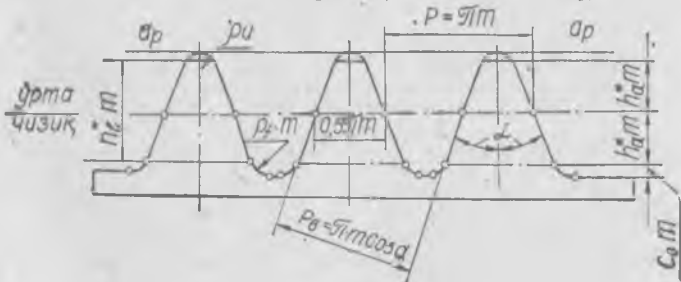
$$r_f = \frac{m}{2} (r - 2,5). \quad (113)$$

Рейка ёрдамида фидирлар заготовкасига тишлар қирқиши. Совет Иттифоқида тишлар қирқиши учун, асосан, ГОСТ 13755 — 68 га кўра 37-шаклда контури курсатилган кесувчи асбоб — рейка қабул қилинган. Рейка тишининг қалинлиги икки тиш оралиғига тенг қисмдан ўтган ягона тўғри чизик рейканинг модули ёки ўрта чизиги деб аталади. Бу чизикда рейканинг тиш қалинлиги

$$s = \theta = \frac{\pi m}{2}$$

бўлади. Рейканинг модуль чизигига параллел қилиб ўтказилган ҳар қандай тўғри чизикда үлчанганди қадами узаро тенг бўлади.

Гост 13755-68 өйбича рейка-асбоб контури



37-шакл.

Рейка тиши каллагининг баландлиги  $h^* \cdot m$  оралиқта тенг булади. Рейка тишининг баландлигини че-гараловын  $a_p a_p$  чизиқ тиши профилига қуидаги

$$\rho_0 = \frac{c_0 m}{1 - \sin \alpha_0}$$

формуладан ҳисоблаб топилган радиус билан бирлаштирилади. Рейканинг шының қисми тишининг оёқ қисмими қирқади. Юқоридағи формулада  $\alpha_0$  — рейканинг профил бурчаги ( $\alpha_0 = 20^\circ$  қилиб олинади).

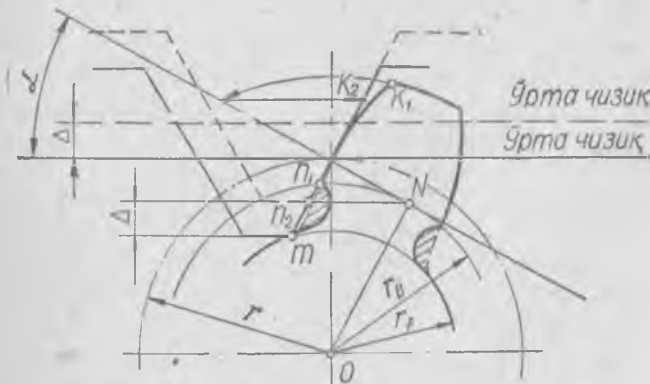
Тишли нормал ғилдирактар қирқиши. Ғилдиракка тиши қирқиши пайтида рейканинг ўрга чизиги заготовканинг бүлиш айланасида сирпанмасдан думаласа, ҳосил бўлгац тишли ғилдирак тишли нормал (нолавий) ғилдирак булади. Бу ғилдирак тиши каллагининг баландлиги  $h_a = m$ , оёғининг баландлиги эса  $h_f = 1,25 \cdot m$  булади. Шунингдек,  $s = e = \frac{\pi m}{2}$  бўлади.

Тишлари сони кам бўлган ғилдираклар шу усулда қирқилса, тишининг оёқ қисми қирқилиши мумкин. Бунинг натижасида тишининг асоси ингичка тортади-да, унинг мустаҳкамлиги пасайиб, синиши мумкин. Кичик диаметрли ғилдиракнинг тиши асоси қирқимаслиги учун минимал тишлар сони  $z_{\min}$  қуидаги формуладан аниқланади:

$$z_{\min} = \frac{4h_a}{(2 - u_{21}) \sin^2 \alpha_0}. \quad (114)$$

Рейка тишли ғилдирак билан илашганда  $u_{21} = 0$  бўлади. Демак, рейка билан илашувчи тишли ғилдирак тишларининг минимал сони қуидаги формуладан топилади:

$$z_{\min} = \frac{2 \cdot h_a}{\sin^2 \alpha_0}.$$



38-шакл.

$\alpha_0 = 20^\circ$ ,  $h_a^* = 1,0$  булганда  $z_{\min} = 17$  булади. Демак, тишнинг асоси қирқимаслиги учун тишли филдирек тишларининг минимал сони 17 дан кам бўлмаслиги керак. Агар тишлилар сони 17 дан кам бўлса, рейкани суриб, тиш асоси қирқимайдиган тишли филдирек ясаш мумкин.

Тишли филдирек заготовкасига тишлар қирқиш процессини кўриб чиқамиз (38-шакл).

Филдирек тишининг эволъвента қисми  $n_1 k_1$ , асосий айланада  $r_b$  дан бошланади. Тишининг бу қисми рейка тишининг  $n_2 k_2$  профил қисми билан қирқилади. Рейка тишининг асосий айланада жойлашган  $n_2 m$  қисми филдирек тиши фёқ қисмининг профилини қирқади. Бу профил  $n_1 k_1$  эволъвентининг давоми бўлмайди. Натижада тишининг оёғи қирқилади (38-шаклдаги штрихланган қисм). Шунинг учун рейка тиши каллагининг чизиги назарий илашиш чизигининг чегарасидан ( $N$  нуқтадан) ўтмаслиги керак.

Шундагина тишининг асоси қирқимаслиги мумкин. Бунинг учун рейкани филдирек марказидан  $\Delta = x \cdot m$  оралиққа суриб, тиш қирқилади; бу ерда  $x$  — коррекция (силжиш) коэффициенти;  $h_a^* = 1,0$  ва  $\alpha_0 = 20^\circ$  булганда қўйидаги формуладан аниқланади:

$$x = \frac{17 - z}{17}. \quad (116)$$

Рейкани суриб қирқилган тишли филдиреклар коррекцияланган (шакли ўзгартирилган) тишли филдиреклар дейилади.

### 5. ФИЛДИРАК ТИШЛАРИНИ КОРРЕКЦИЯЛАШ

Филдирек тишининг стандарт ўлчамларини кесувчи асбобни — рейкани силжитиб қирқиш тишли илашманни коррекциялаш деб аталади. Тишли илашмалар қўйидаги мақсадларда:

1) узатманинг габарит ўлчамларини кичрайтириш; 2) қопланиш коэффициентини ошириш; 3) солиширма сирпаниш коэффициентини камайтириш; 4) тиш асосининг қирқимаслигини таъминлаш мақсадида коррекцияланади.

Коррекциялаш усули тишлиларни кам бўлган шестерялар тишини ҳосил қилишда қўлланилади.

### 6. КОРРЕКЦИЯЛАШ УСУЛЛАРИ

Тишлилар бир неча усувлар ёрдамида коррекцияланади. Күпинча, рейкани филдирекларининг радиуси бўйича суриш усулидан фойдаланилади.

Кесувчи асбоб рейка филдирек марказига нисбатан  $\Delta = x m$  оралиққа сурилади. Рейкани суриш қўймати  $\Delta$  коррекция коэффициенти  $x$  га боғлиқ. Тишлилар сони ва модули бир хил бўлган филдиреклар коррекцияланганда тишлилар қалинлиги бўлиш айланаси бўйича фарқ қилиши мумкин.

Бўлиш айланаси бўйича тишининг қалинлигига қараб, филдиреклар уч турга булинади:

1. Нолавий филдирак, бунда тишининг булиш айланаси бўйича қалинлиги  $s$  икки тиш оралиғи  $e$  га teng бўлади (39-шакл,  $a$ ):

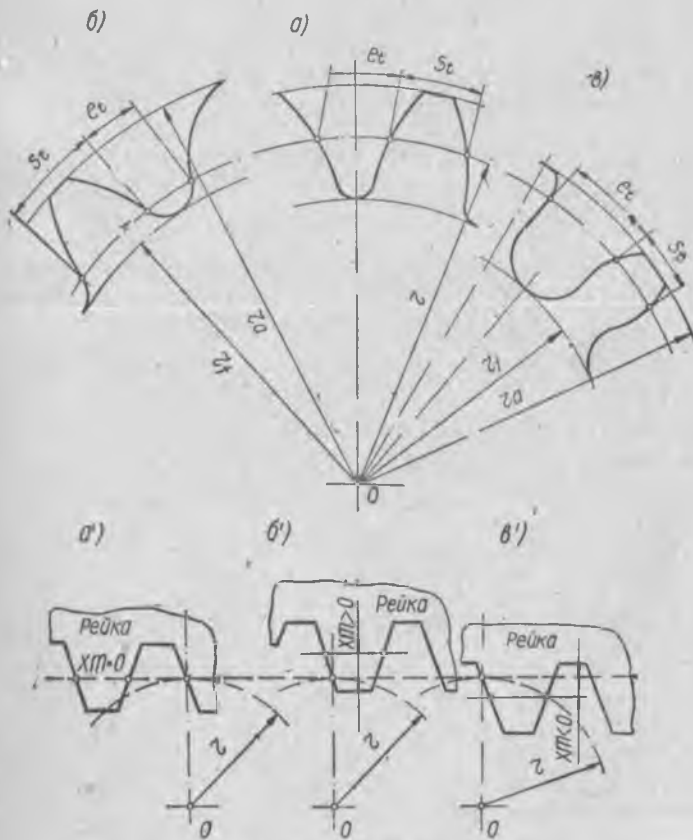
$$s = e = \frac{\pi m}{2}.$$

Бунда тиш профили рейка суримай ясалади, яъни рейканинг ўрта модул чизиги булиш айланасига уринма бўлади (39-шакл,  $a'$ ).

2. Мусбат филдирак, бу филдирак тишининг булиш айланаси бўйича қалинлиги

$$s > \frac{\pi m}{2}$$

бўлади, у икки тиш оралиғидан  $s_t > e_t$  (39-шакл,  $b$ ). Бунда тиш профили рейкани филдирак марказидан суриш билан ясалади (39-шакл,  $b'$ ).



39-шакл. ( $a$ ,  $b$ ,  $c$ )

3. Манфий ғилдирак, бунда тишининг булиш айланаси бўйича қалинлиги  $s < \frac{\pi m}{2}$ , яъни  $s < e$  булиб (39-шакл, в), тиши профили рейкани ғилдирак маркази томон суриш билан ясалади (39-шакл, в'). Коррекция коэффициентлари илашманинг курсаткичларига (тиш профилининг қирқилиши, қопланиш коэффициенти ва бошқаларга) катта таъсир қилади. Коррекция  $x_1$  ва  $x_2$  коэффициентларини танлашда мавжуд механизминг ишлаш шароитини ҳисобга олиш керак.

Агар узатма ёпиқ, мой тўлдирилган қутида ишласа, коэффициентларни проф. В. И. Кудрявцев системаси ёрдамида аниқлаш керак.

Бу системада ғилдиракларнинг ўзаро таъсир этувчи тишлиари ён юзларининг контакт мустаҳкамлиги бўйича коррекция коэффициентлари танланади.

Бу система ёрдамида илашманинг сифатий курсаткичларини — тишлилар қирқилиши, қопланиш коэффициентларининг қанчалик етарли эканлиги, солиширма сирпаниш коэффициентлари ва бошқаларни ҳисобга олиш мумкин. Шунинг учун бу система ёрдамида лойиҳаланган тишлиларни қўшимча текширишга ҳожат қолмайди.

Бунинг учун проф. В. Н. Кудрявцев жадвал тузган. Узатма ғилдиракларининг тишлилари сони  $z_1$  ва  $z_2$  га қараб, коррекция коэффициентлари  $x_1$  ва  $x_2$  танланади.

Тўғри тишли цилиндрик ғилдиракларни бурчак бўйича коррекциялашда В. Н. Кудрявцев номограммаси ёрдамида коррекция коэффициентларини аниқлаш. Берилган:  $a_w$  — марказлар оралиги;  $m$  — рейка модули;  $z_1$  ва  $z_2$  — шестерня ва ғилдирак тишлилари сони;  $k = \frac{x_1}{x_2}$  — шестерня ва ғилдирак коррекция коэффициентларининг нисбати; тишининг профили — эволвента; кесувчи асбобнинг контур бурчаги  $\alpha = 20^\circ$ .

Марказлар оралигининг ўзгариш коэффициенти қийматини аниқлаймиз:

$$a = \frac{a_w - 0.5 \cdot m z_c}{m} \quad (117)$$

бу ерда  $z_c$  — шестерня ва ғилдирак тишлилари сонларининг йигиндиси.

2) Коррекциянинг йигинди коэффициентини аниқлаймиз:

$$x_c = a + \psi, \quad (118)$$

бу ерда  $\psi$  — рейкани қайта силжитиш қиймати. Буни В. Н. Кудрявцев номограммасидан аниқлаймиз (40-шакл). Мисол:  $a_w = 53\text{мм}$ ,  $z_c = 50$ ,  $m = 2\text{мм}$  бўлганда,

$$a = \frac{a_w - 0.5 \cdot m \cdot z_c}{m} = \frac{53 - 0.5 \cdot 2 \cdot 50}{2} = 1,5$$

бўлади. Кўйидаги қийматни аниқлаймиз:

$$\frac{100 \cdot a}{z_c} = \frac{1000 \cdot 1,5}{50} = 30$$

Бу сонни (30 ни) номограммадан топиб, шунга тегишили  $\frac{1000 \cdot \psi}{z_c} = 5,7$  ни топамиз. Бундан:

$$\psi = \frac{5,7 \cdot z_c}{1000} = \frac{5,7 \cdot 50}{1000} = 0,275.$$

3) Сунгра шестеря ва ғилдиракларнинг коррекция коэффициентларини аниқлаймиз:

$$x_0 = x_1 + x_2 = (kx_2 + x_2) = x_2(k+1),$$

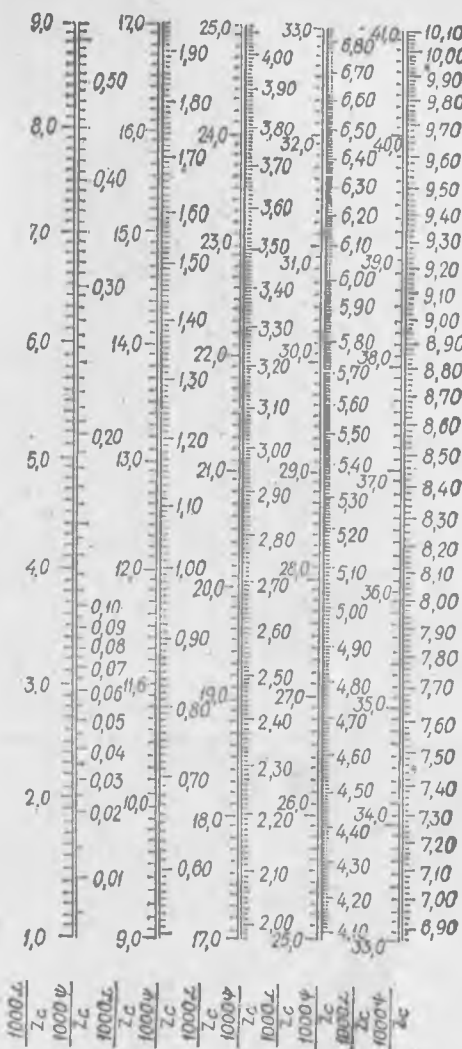
$$x_2 = \frac{x_c}{k+1} = \frac{a+\psi}{k+1},$$

$$x_1 = x_c - x_2.$$

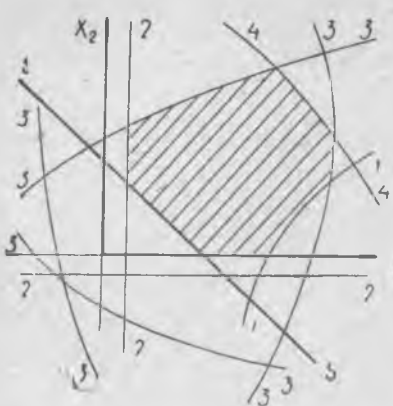
Очиқ узатмалар учун коррекция коэффициентларини ЦКБР (Марказий редукторсозлик конструкторлик бюроси) системаси асосида танлаш керак. Бу системада иккни ғилдирак тишлари нинг солиширима сирпаниш коэффициентлари ўзаро тенг деб қабул қилинади. Бунинг учун маҳсус жадвалдан иккни ғилдирак тишлари сони  $z_1$  ва  $z_2$  га қараб,  $x_1$  ва  $x_c = x_1 + x_2$  коэффициентлари ва илашиш бурчаги  $\alpha_w$  берилади. Бу системада  $\alpha'$  нинг қиймати формула билан аниқланмасдан, балки тайёр жадвалдан олинади, масалан,  $z_1 = 15$ ,

$$z_2 = 60, \alpha = 20^\circ.$$

ЦКБР жадвалидан фойдаланиб, силжиш коэффициентларини қийматларини аниқлаймиз:  $x_1 = -x_2 = 0,423$ . Демак,  $x_1 =$



40-шакл.



41-шакл.

лар сони турлича бўлган ғилдираклар учун қамраш контури тузгандар (41-шакл). Шаклдаги чизмалар қўйидагиларни белгилайди:

- а) (1 — 1) — тишлар учларининг ўткирланиш чегараларини;
- б) (2 — 2) — тишлар ости қисмларининг қирқилишини ҳисобга олади;
- в) (3 — 3) — тишларнинг тиқилиб қолмаслигини ҳисобга олади;
- г) (4 — 4) — қопланиш коэффициентини ҳисобга олади.

Бу усул билан чизилган контур  $x_1$  ва  $x_2$  коэффициентларни танлаш зонасини кўрсатади. Кўпинча, чегараланиш шарти қўйиб, керакли ечимни зонадан олиш мумкин.

Масалан,  $x_1$  нинг қиймати маълум бўлганда  $x_1$  ва  $x_2$  коэффициентларни  $s - s$  чизигидан топиш мумкин.  $x_1$  ва  $x_2$  мусбат қийматларининг ортиши билан солиштарма сирпаниш камаяди.

Тишли илашмалар узатмада нолавий ва коррекцияланган тишли ғилдиракларнинг ишлатилишига қараб уч хил бўлади.

1) Нормал (нолавий) илашма. Бунда узатманинг иккала ғилдирагининг тишлари рейканни сурмай қирқилган бўлади, яъни:

$$x_1 = x_2 = 0.$$

2) Тенг сурилган (компенсацияланган) илашма. Бунда тишнинг баландлиги бўйича коррекцияланган ғилдираклар ишлатилади. Узатманинг коэффициент қийматлари

$$x_1 + x_2 = 0,$$

$$x_1 = -x_2$$

бўлади. Бунда кичик ғилдирак тишининг профили рейканни

$= 0,423$ ,  $x_2 = -0,423$  бўлади. Чунингдек, коррекция коэффициентларни номограмма ва блокировкаланган контурулар ёрдамида аниқлаш мумкин.

Кейинги пайтларда  $x_1$  ва коэффициентларни аниқлаш учун маҳсус тузилган блокировкалаш контуридан фойдаланилмоқда.

Текис координаталар системасининг абсциссалар ўқига  $x_1$  нинг, ординаталар ўқига эса  $x_2$  нинг қийматлари қўйилади. Бу системани Громан М. Б. таклиф этган бўлиб, Т. П. ва И. А. Болотовскийлар ҳамда В. Э. Смирнов тиш-

мусбат силжитиш йули билан, катта ғилдирак тишининг профили эса манфий силжитиш йули билан ясалади. Рейканинг абсолют силжиш қийматлари ўзаро тенг бўлади.

3) Тенг суримаган илашма. Ўзатмада тиш бурчаги бўйича коррекцияланган ғилдираклар ишлатилади. Бунда икки ғилдирак тишиларининг коррекция коэффициентлари нолга тенг бўлмайди:

$$x_1 + x_2 \neq 0.$$

Бунда қўйидаги варианatlар бўлиши мумкин:

а) мусбат илашмали узатма. Бунда  $x_1 + x_2 > 0$  бўлиб, икки ғилдиракнинг коррекция коэффициентлари йифиндиси доимо мусбат бўлади:

$$x_1 > 0, x_2 = 0$$

$$x_1 > 0, x_2 > 0$$

$$x_1 > 0, x_2 < 0, \quad \text{лекин } |x_1| > |x_2|$$

б) манфий илашмали узатма. Бунда  $x_1 + x_2 < 0$  бўлиб, икки ғилдиракнинг коррекция коэффициентлари йифиндиси манфий бўлади.

Коррекцияланган илашмаларда:

а) асосий айлананинг ва бўлиш айланасининг радиуслари нормал илашманинг радиусидек бўлади;

б) тишининг бўлиш айланаси бўйича қалинлиги ва икки тиш оралигининг қиймати рейканинг силжиш коэффициентига қараб ўзгаради.

Рейкани мусбат силжитиб, тиш қирқилганда тишининг бўлиш айланаси қалинлиги ошади. Тиш каллагининг баландлиги катталашиб, оёғининг баландлиги кичрайади. Бунинг натижасида тишининг эгилишга мустаҳкамлиги ошади. Тиш қалинлигининг айланаси бўйича тишининг учи ўтиклиши қолиши мумкин. Шунинг учун тиш каллагининг эни

$$s_a \geq (0,3 \dots 0,4) \cdot m$$

дан камайиб кетмаслик шартини бажарувчи коррекция коэффициенти

$$x > x_{\max}$$

ни олиш тавсия этилади. Мусбат коррекцияланган ғилдирак оёғининг радиуси рейканинг абсолют силжиш қиймати

$$\Delta = x \cdot m$$

қадар ошади. Манфий коррекцияланган ғилдиракда бунинг акси бўлади.

2- жадвал

Түғри тишли цилиндрик илашманинг асосий ўлчамларини  
хисоблаш формулалари

Хисобланувчи параметр	Бейнеси	Илашманинг түри		
		нолавий $x_c = 0$ , $x_1 = x_2 = 0$ , $a - \psi = 0$	төңг сурилган $x_c = 0$ , $x_1 + x_2 = 0$ , $x_1 = -x_2$ , $a = \psi = 0$	төңг сурilmagan $x_c = 0$ , $x_1 + x_2 \neq 0$ , $a = 0$ , $\psi > 0$
Тишининг бўлиш айланаси бўйича қадами	$p$	$p = \pi m$	$p = \pi m$	$p = \pi m$
Булиш айланасининг радиуси	$r_1$ $r_2$	$r_1 = 0,5 \cdot mz_1$ $r_2 = 0,5 mz_2$	$r_1 = 0,5 \cdot mz_1$ $r_2 = 0,5 mz_2$	$r_1 = 0,5mz_1$ $r_2 = 0,5 mz_2$
Асосий айланасининг радиуси	$r_{B_1}$ $r_{B_2}$	$r_{B_1} = r_1 \cdot \cos\alpha$ $r_{B_2} = r_2 \cdot \cos\alpha$	$r_{B_1} = r_1 \cdot \cos\alpha$ $r_{B_2} = r_2 \cdot \cos\alpha$	$r_{B_1} = r_1 \cdot \cos\alpha$ $r_{B_2} = r_2 \cdot \cos\alpha$
Тишининг бўлиш айланаси бўйича қалинлиги	$s_1$ $s_2$	$s_1 = 0,5 p$ $s_2 = 0,5 \bar{p}$	$s_1 = 0,5 \cdot p + 2x_1 m \cdot \operatorname{tg}\alpha$ $s_2 = 0,5 \cdot \bar{p} + 2x_2 m \cdot \operatorname{tg}\alpha$	$s_1 = 0,5p + 2x_1 m \cdot \operatorname{tg}\alpha$ $s_2 = 0,5\bar{p} + 2x_2 m \cdot \operatorname{tg}\alpha$
Тиш оёғи айланасининг радиуси	$r_{f1}$ $r_{f2}$	$r_{f1} = r_1 - m \times (h_a^* + c_o)$ $r_{f2} = r_2 - m \times (h_a^* + c_o)$	$r_{f1} = r_1 - m \times (h_a^* + c_o - x_1)$ $r_{f2} = r_2 - m \times (h_a^* + c_o - x_2)$	$r_{f1} = r_1 - m \times (h_a^* + c_o - x_1)$ $r_{f2} = r_2 - m \times (h_a^* + c_o - x_2)$
Фидираклар марказлари оралиғи	$a_{W_1}$ $a_{W_2}$	$a_{W_1} = 0,5mz_c$ $a_{W_2} = 0,5mz_c$	$a_{W_1} = 0,5 \cdot mz_c$ $a_{W_2} = 0,5 mz_c$	$a_{W_1} = m \left( \frac{z_c}{2} + a \right)$ $a_{W_2} = m \left( \frac{z_c}{2} + a \right)$
Бошлангич айланасининг радиуси	$r_{W_1}$ $r_{W_2}$	$r_{W_1} = r_1$ $r_{W_2} = r_2$	$r_{W_1} = r_1$ $r_{W_2} = r_1$	$r_{W_1} = r_1 \left( 1 + \frac{2a}{z_c} \right)$ $r_{W_2} = r_2 \left( 1 + \frac{2a}{z_c} \right)$
Тишининг ба- ландлиги	$h_1$ $h_2$	$h_1 = m(2h_a^* + c_o)$ $h_2 = m(2h_a^* + c_o)$	$h_1 = m(2h_a^* + c_o)$ $h_2 = m(2h_a^* + c_o)$	$h_1 = m(2h_a^* + c_o)$ $h_2 = m(2h_a^* + c_o)$
Тиш калла- ти айланасин- нинг радиуси	$r_{a_1}$ $r_{a_2}$	$r_{a_1} = r_{f1} + h_1$ $r_{a_2} = r_{f2} + h_2$	$r_{a_1} = r_{f1} + h_1$ $r_{a_2} = r_{f2} + h_2$	$r_{a_1} = r_{f1} + h_1$ $r_{a_2} = r_{f2} + h_2$

Әслатма. Индексдаги 1 рақами тишиллари сони кам бўлган  $z_1$  фидиракка ва 2 рақами тишиллари сони кўп бўлган  $z_2$  фидиракка тегиш ли.

## 7. ТҮФРИ ТИШЛИ ТАШҚИ ИЛАШМАЛИ УЗАТМА ЛОЙИХАЛАШ ТАРТИБИ

Берилган  $m$ ,  $z_1$ ,  $z_2$  параметрлар ва илашманинг тури (нола-вий, тенг сурилган ва тенг сурилмаганлиги) га қараб, тишли узатмалар қўйидаги тартибда лойиҳаланади:

1) юқоридаги усуллардан фойдаланилиб, тишининг коррекция коэффициенти аниқланади;

2) 2-жадвалда берилган формулалар ёрдамида илашманинг барча ўлчамлари ҳисобланади;

3) тишли илашманинг профили чизилади.

Тишли илашманинг профилини чизиш учун:

а) тишли фидиракларининг  $O_1$  ва  $O_2$  марказлари белгиланиб, улар тўғри чизиқ билан бирлаштирилади; чизманинг  $U_{45}$  масштаби машинасозлик чизмачилигидан танлаб олинади;

б) фидиракнинг марказидан асосий ва бошлангич айланалар чизилади;

в) қутб нуқтасидан асосий айланага уринма ўтказилади;

г) уринма асосий айлана бўйлаб думалатилиб, тиши профилини ҳосил қилувчи эволъвента чизилади;

д) ҳар бир фидиракда уттадан тиши чизилади;

4) ҳақиқий илашма чизиги, тиши профилининг иш қисми, илашиш ёйи чизилади;

5) қопланиш коэффициенти аналитик ва графоаналитик усулларда ҳисоблаб топилади.

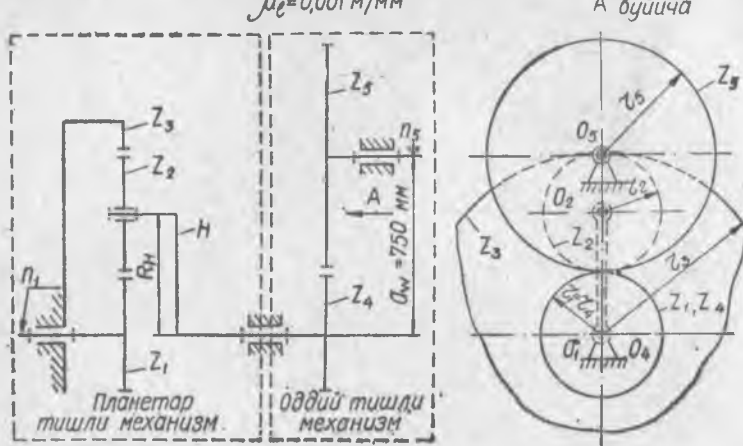
## 8. ТИШЛИ РЕДУКТОР ЛОЙИХАЛАШ ВА УНИ ТЕКШИРИШ

**Мисол.** Редуктор кицематикавий текширилсин ва қўйидаги маълумотлар асосида, ташқи илашмали нормал тишли икки фидиракнинг эволъвентавий профили лойиҳалансин; а) планетар механизм фидираклари тишларининг сони  $z_1 = 20$ ,  $z_2 = 21$ ,  $z_3 = 62$ ; тишли оддий узатманинг узатиш сони  $U_{45} = 2$ ; оддий узатманинг 4 ва 5 фидиракларининг марказлари оралиғи  $a_w = -0,150$  м; тишли фидиракнинг модули  $m = 5$  мм; етакланувчи фидиракнинг айланышлар сони  $n_b = 122 \frac{\text{айл}}{\text{мин}}$ . Редукторнинг схемаси 42-шаклда кўрсатилган.

**Ҳисоблаш тартиби.** Схемаси берилган редуктор (42-шакл) 2 поғонали планетар ва оддий узатмадан иборат. Планетар узатма тишли фидираклар  $z_1$ ,  $z_2$ ,  $z_3$  ва Н водилодан, оддий узатма эса 4 ва 5 фидираклардан иборат. Етакчи звено  $z_1$  марказий бўлиб, соат стрелкаси юрадиган томонга айланади. Бу фидирак айланганда унинг тишлари сателлит  $z_2$  нинг тишлирига таъсир этади. Иккинчи томондан фидирак  $z_2$  нинг тишлири қўзғалмас марказий фидирак  $z_3$  тишлири билан илашган. Марказий фидирак  $z_1$  атрофида сателлит думалаб, води-

Редукторнине схемаси

$M_e = 0,001 \text{ м/мм}$



42-шакл.

ло  $H$  ни айлантиради. Водило айланниб, 4 ва 5 ғилдиракларга ҳаракат узатади.

Тишили планетар механизмнинг узатиш сони қўйидаги формуладан аниқланади:

$$U_{1H}^3 = 1 - U_{13}^H = 1 + \frac{z_3}{z_1} = 1 + \frac{62}{20} = 4,1.$$

бу ерда  $U_{1H}^3$  — планетар механизмларнинг марказий ғилдираги  $z_3$  қўзғалмас бўлган пайтда ғилдирак  $z_1$  дан водило  $H$  га ҳаракат узатиш сони;  
 $U_{13}^H$  — водило  $H$  қўзғалмас бўлганда ғилдирак  $z_1$  дан ғилдирак  $z_3$  га ҳаракат узатиш сони.

Редукторнинг умумий узатиш сони планетар ва оддий узатмалар узатиш сонларининг кўпайтмасига тенг:

$$U_p = U_{pl} \cdot U_{od} = U_{1H}^3 \cdot U_{45} = 4,1 \cdot 2 = 8,2.$$

Электрик двигатель валининг айланниш сони қўйидагича лади:

$$n_1 = U_p \cdot n_5 = 8,2 \cdot 122 = 1000 \frac{\text{мин}}{\text{мин}}.$$

Оддий узатма ғилдиракларининг тишлиари сонини аниқлаймиз:

$$z_4 = \frac{2 \cdot a_W}{m(1 + U_{45})} = \frac{2 \cdot 150}{5(1+2)} = 20,$$

$$z_5 = U_{45} \cdot z_4 = 2 \cdot 20 = 40.$$

Редуктор схемасини икки күринишда (проекцияда) чизамиз (42·шакл). Бунинг учун тишли фидирлакларнинг бўлиш айланаси ҳамда водило радиусларини аниқлаймиз.

$z_1$  фидирлакнинг бўлиш айланаси радиуси:

$$r_1 = \frac{m z_1}{2} = \frac{5 \cdot 20}{2} = 50 \text{ мм},$$

$z_2$  фидирлакнинг бўлиш айланаси радиуси:

$$r_2 = \frac{m z_2}{2} = \frac{5 \cdot 21}{2} = 52,5 \text{ мм},$$

$z_3$  фидирлакнинг бўлиш айланаси радиуси:

$$r_3 = \frac{m z_3}{2} = \frac{5 \cdot 62}{2} = 155 \text{ мм.}$$

водило Н нинг радиуси:

$$R_H = r_1 + r_2 = 50 + 52,5 = 102,5 \text{ мм}$$

$z_4$  фидирлакнинг бўлиш айланаси радиуси:

$$r_4 = \frac{m z_4}{2} = \frac{5 \cdot 20}{2} = 50 \text{ мм.}$$

$z_5$  фидирлакнинг бўлиш айланаси радиуси:

$$r_5 = \frac{m z_5}{2} = \frac{5 \cdot 40}{2} = 100 \text{ мм.}$$

Редуктор схемасининг узунлик масштаби коэффициенти  $\mu_1$  ни танлаймиз:

$$\mu_1 = \frac{r_1}{r_4} = \frac{0,05}{50} = 0,001 \frac{\text{м}}{\text{мм}}.$$

Оддий узатма 4 ва 5 фидирлакларининг асосий геометрик параметрларини ҳисоблаймиз.

Асосий айланаларнинг радиуслари:

$$r_{B_4} = r_4 \cdot \cos \alpha = 50 \cdot \cos 20^\circ = 47 \text{ мм},$$

$$r_{B_5} = r_5 \cdot \cos \alpha = 100 \cdot \cos 20^\circ = 94 \text{ мм.}$$

Фидирлак тишларининг баландлиги:

$$h_4 = h_5 = 2,25 \cdot m = 2,25 \cdot 5 = 11,25 \text{ мм.}$$

Тиш каллаги баландлиги:

$$h_{a_4} = h_{a_5} = h^* \cdot m = 1 \cdot 5 = 5 \text{ мм.}$$

Тиш оёғи баландлиги:

$$h_{f_4} = h_{f_5} = 1,25 \cdot m = 1,25 \cdot 5 = 6,25 \text{ мм.}$$

Илашманинг бошланғич айлана ёйи бүйича қадами:

$$p = \pi \cdot m = 3,14 \cdot 5 = 15,7 \text{ мм.}$$

Тишининг бошланғич айлана ёйи бүйича қалинлиги:

$$s_4 = s_5 = 0,5 \cdot p = 0,5 \cdot 15,7 = 7,85 \text{ мм.}$$

Икки тишининг бошланғич айлана ёйи бүйича оралығи:

$$e_4 = e_5 = 0,5 \cdot p = 15,7 \cdot 0,5 = 7,85 \text{ мм.}$$

Фидирек тишиларининг чиқиқлари айланаси радиуслари:

$$r_{a4} = r_4 + h_{a4} = 50 + 5 = 55 \text{ мм,}$$

$$r_{a5} = r_5 + h_{a5} = 100 + 5 = 105 \text{ мм.}$$

Фидиреклар тишиларининг ботиқлиги айланасининг радиуслари:

$$r_{f4} = r_4 - h_{f4} = 50 - 6,25 = 43,75 \text{ мм,}$$

$$r_{f5} = r_5 - h_{f5} = 100 - 6,25 = 93,75 \text{ мм.}$$

Галтеплининг юмалоқланиш радиуси:

$$\rho_f = 0,3 \cdot m = 0,3 \cdot 5 = 1,5 \text{ мм.}$$

## 9. ТАШҚИ ИЛАШМАЛИ ЭВОЛЬВЕНТА ПРОФИЛЛИ ФИДИРАК ТИШИНИ ЯСАШ

1. Чизманинг узунлик масштаби  $\mu_e$  ни танлаймиз. Бунда тишининг чизмадаги баландлиги  $h > 50$  мм булиши керак:

$$\mu_e = \frac{h}{h} = \frac{0,01125}{56,25} = 0,0002 \frac{\text{м}}{\text{мм}},$$

бу масштаб 5:1 га түғри келади. Бунда чизманинг барча үлчамлари масштаб бүйича 5 марта катталаштирилади.

2. Фидирекларнинг  $O_4$  ва  $O_5$  марказлары оралыгини (43-шакл) топамиз:

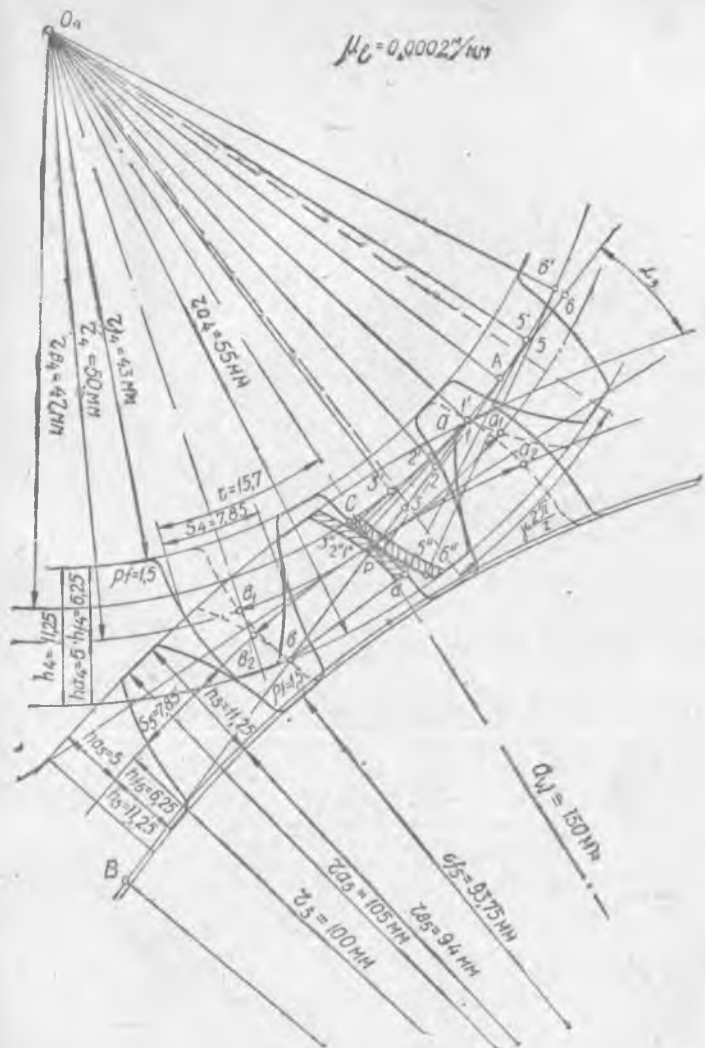
$$\bar{a}_w = \frac{a_w}{\mu_e} = \frac{0,150}{0,0002} = 750 \text{ мм.}$$

3.  $O_4$  ва  $O_5$  марказлар түғри чизик билан туташтирилади, бу марказлардан

$$\bar{r}_4 = \frac{r_4}{\mu_e} = \frac{0,050}{0,0002} = 250 \text{ мм,}$$

$$\bar{r}_5 = \frac{r_5}{\mu_e} = \frac{0,150}{0,0002} = 750 \text{ мм}$$

радиуслар билан булиш айланалари чизилади.



43-шакл.

4. Икки айлананинг уриниш нуқтаси  $P$  дан (илашиш қутбидан) бўлиш айланаларига уринма  $\tau - \tau$  чизиқ ўtkазилади. У  $O_1$  ва  $O_2$  марказларни тугаштирувчи чизиқка тик бўлади.

5.  $O_4$  ва  $O_5$  марказлардан

$$\bar{r}_{\sigma_4} = \frac{r_{\sigma_4}}{\mu_l} = \frac{0,047}{0,0002} = 235 \text{ MM},$$

$$\bar{r}_{e_5} = \frac{r_{e_5}}{\mu_e} = \frac{0,094}{0,0002} = 270 \text{ мм}$$

радиуслар билан асосий айланалар чизилади.

6. Кутб нүктаси  $P$  дан  $\tau - \tau$  уринмага  $\alpha = 20^\circ$  бурчак остида асосий айланаларга умумий бўлган уринма чизиги  $N - N$  ўтказилади. Бу уринма чизик асосий айланалар  $r_{e_4}$  ва  $r_{e_5}$  да уриниш нүкталири  $A$  ва  $B$  ни беради. Бунда  $\overline{AB}$  кесма назарий илашиш чизиги бўлади.

7. Фидиракнинг  $O_4$  марказидан

$$\bar{r}_{e_4} = \frac{r_{e_4}}{\mu_e} = \frac{0,055}{0,0002} = 275 \text{ мм}$$

радиус билан фидирак тишлигининг чиқиқлари айланаси,

$$\bar{r}_{f_4} = \frac{r_{f_4}}{\mu_e} = \frac{0,04375}{0,0002} = 218,75 \text{ мм}$$

радиуси билан эса фидирак тишлигининг ботиқлари айланаси чизилади.

8. Илашиш чизиги  $N - N$  ни икки фидиракнинг асосий айланаларида думалатиб, қутб нүктаси  $P$  дан утувчи эволъвента профили чизилади.

Тиш профили чизишнинг графикавий ва графоаналитик усулларини кўриб чиқамиз.

## 10.ТИШНИНГ ПРОФИЛИНИ ГРАФИКАВИЙ УСУЛДА ЧИЗИШ

1. Чизмадаги  $\overline{AP}$  кесмани тенг қисмларга бўламиз. Масалан,  $AP$  кесмани тўртта тенг қисмга булиб,  $\overline{P3}$ ,  $\overline{32}$ ,  $\overline{21}$ ,  $\overline{1A}$  кесмаларни оламиз. Илашиш чизигининг давомида  $\overline{A5}$ ,  $\overline{56}$  тенг кесмаларни ҳам белгилаймиз.

2.  $A$  нүктадан бошлаб, асосий айланада бу кесмаларга тенг  $\overline{A1} = \overline{A1'}$ ,  $\overline{A2} = \overline{A2'}$ ,  $\overline{A3} = \overline{A3'}$  шунингдек,  $\overline{A5} = \overline{A5'}$  ва  $\overline{A6} = \overline{A6'}$  ёйларни белгилаймиз.

3. Белгиланган  $1'$ ,  $2'$ ,  $3'$ ,  $4'$ ,  $5'$ ,  $6'$  нүкталири фидиракнинг маркази  $O_4$  билан туташтирамиз. Бу нүкталардан радиус чизиқларига тик, яъни асосий айланага уринма чизиқлар ўтказамиз.

4. Эволъвентанинг эволъвентадан ўтказилган нормал чизиқнинг узунлиги асосий айланаси „ёйининг узунлигига тенг“ деган хоссасига асосланиб, эволъвента эгри чизигини чизамиз. Бунинг учун биринчи уринма чизиқда битта  $1'' - 1'''$  кесма, иккинчи уринма чизиқнинг 2 нүктасидан  $2'' - 2'''$  кесма, учипчи уринманинг 3 нүктасидан учта  $3'' - 3'''$  кесма белгилаймиз ва ўказо.

5. Белгиланган 1", 2", 3", 4", 5", 6" нүқталарни кетма-кет (силлиқ чизиқ билан) туташтириб, эвольвента чизигини ҳосил қиласиз. Иккинчи фидирек тишининг профилини ҳам худди шу тарзда чизамиз. Чизиш пайтида тиши ботиқлиги айланасининг радиуси  $r_f$  асосий айлана радиуси  $r_b$  га teng, ундан катта ёки кичик булиши мумкин. Бу ҳол фидирек тишларининг сонига боғлиқ. Агар  $r_f > r_b$  бўлса, тиши ботиқлигининг айланаси эвольвента билан кесишади. Агар  $r_f < r_b$  бўлса, тиши ботиқлигининг айланаси эвольвента билан кесишмайди.

Тиши ботиқлиги айланасининг катта-кичиклигидан қатъи назар, тиши профилининг эвольвента қисми билан тиши ботиқлиги айланасини бирлаштирувчи қисмда бурилиш радиуси булиши керак. Агар  $r_f > r_b$  бўлса, тиши асосий айланасини эвольвента билан  $r_f = 0,3 \cdot m$  га teng галтеда радиуси билан туташтирамиз.

Агар  $r_f < r_b$  бўлса, тиши профилининг эвольвента бўлмаган қисмини радиал тўғри чизиқ воситасида фидирек маркази билан бирлаштириб, ҳосил бўлган чизиқни тиши ботиқлиги айланаси билан

$$r_f = 0,3 \cdot m = 0,3 \cdot 5 = 1,5 \text{ мм}$$

радиус айлана ёйи ёрдамида туташгирамиз.

Агар радиусларнинг  $r_b - r_f$  айримаси  $0,2 \cdot m$  дан кичик бўлса, радиал тўғри чизиқлар ўтказилмайди ва тиши ботиқлиги айланаси билан эвольвента профили  $0,3 \cdot m$  радиусли ёй воситасида туташтирилади.

6. Бошланғич айлана ёйи бўйича тишининг қалинлиги

$$\bar{s} = \frac{s}{\mu_e} = \frac{0,00785}{0,0002} = 39,75 \text{ мм}$$

ни белгилаймиз ва уни teng икки қисмга бўламиз. Уни фидирек маркази  $O_4$  билан туташтириб, тишининг симметрия ўқини ҳосил қиласиз. Симметрик проекциялаш усулида тишининг иккинчи эвольвента профилини чизамиз.

7. Тишининг бошланғич айлана ёйи бўйича қадами

$$\bar{p} = \frac{P}{\mu_e} = \frac{0,0157}{0,0002} = 78,5 \text{ мм}$$

га teng оралиқда қўшни тишларнинг симметрия ўқларини белгилаймиз ва тишининг профиларини чизамиз.

8. Иккинчи фидирек тишининг профилини ҳам чизамиз. Ҳар бир фидирекнинг учтадан тиши чизилади.

## 11. ТИШНИНГ ПРОФИЛИНИ ГРАФОАНАЛИТИКАВИЙ УСУЛДА ЧИЗИШ

Маълумки, эвольвентадаги исталган нүқтанинг радиус-вектори қуйидагича аниқланади:

$$r_y = \frac{r_b}{\cos \alpha_y}$$

Унинг асосий айланы  $r_b$  даги эволъвентанинг бошланғыч радиус билан  $r_y$  радиус-векторнинг ҳосил қилган бурчаги  $v_y = \dot{r}_y = \dot{\alpha}_y r_b = \text{inv} \alpha_y = \text{tg} \alpha_y = \alpha_y$  га тенг болади.

Тишинг эволвента қисмси  $r_a$  радиус векторидан  $r_f$ , радиус-сигача бүлган оралиқда танланади. Эволвента чизиги доим асосий айлана  $r_b$  радиусидан бошлаб чизилади.

Профилини чизиши тартиби. 1. Ихтиёрий чизиқ ўтказиб, шу чизиқда филдиракнинг  $O_4$  марказини белгилаймиз (44-шакл).

2.  $O_4$  нүктадан узунлик масштаби  $\mu_e$  бўйича асосий айланнинг радиуси  $r_{b4}$  ни аниқлаймиз:

$$\frac{r_{b_4}}{r_{b_4}} = \frac{r_{b_4}}{\mu_1} = \frac{r_4 \cdot \cos x}{\mu_1} = \frac{0,05 \cdot \cos 20^\circ}{0,0002} = 235 \text{ MM.}$$

3. Тишининг чиқиғи ва ботиқлиги айланалари радиусларини аниқлаймиз:

$$\bar{r}_{a_4} = \frac{r_{a_4}}{\mu_{a_4}} = \frac{0,5 \cdot m(z_4 + 2)}{\mu_{a_4}} = \frac{0,5 \cdot 0,005(20+2)}{0,0002} = 275 \text{ MM,}$$

$$\bar{r}_{f_4} = \frac{r_{f_4}}{\mu_o} = \frac{0,5 m(z_4 - 2,5)}{\mu_o} = \frac{0,5 \cdot 0,005(20 - 2,5)}{0,0002} = 218,75 \text{ mm.}$$

4. Фидиракнинг маркази  $O_4$  дан

$$\bar{r}_4 = \frac{r_4}{\mu_e} = \frac{0,050}{0,0002} = 250 \text{ MM}$$

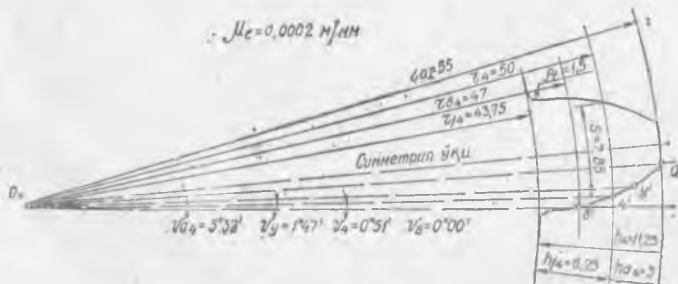
радиус билан булиш айланасини чизамиз.

5. Күйидаги формула ёрдамида  $\sigma_a$  бурчакнинг қиматини аниқлаймиз:

$$\alpha_a = \arccos \frac{r_b}{r_a} = \arccos \frac{47}{55} = 31^\circ 18'$$

ва инвалюта функциялари жадвалидан (3-жадвал)  $v_a$  бурчак-нинг қийматини оламиз:

$$v_a = \ln v \alpha_s = 0.0616 \text{ рад ёки } v_a = 3^\circ 32'.$$



44-шакл.

6. Асосий айланада ихтиёрий нүктани танлаб, бу айлана радиусидан  $v_a$  бурчак остида чизиқ ўтказамиз. Филдиракининг маркази  $O_4$  дан, бу бурчак остида айлана ёйи  $r_a$  билан кесишгунча тўғри чизиқ ўтказамиз. Тиш каллагида эвольвента профилининг  $a'$  нүктасини оламиз.

7.  $\alpha_4$  ва  $\alpha_y$  бурчакларни ҳам ҳисоблаб топамиш:

$$\alpha_4 = \arccos \frac{r_b}{r_4} = \arccos \frac{47}{50} = 20^\circ,$$

$$\alpha_y = \arccos \frac{r_b}{r_y} = \arccos \frac{47}{52} = 25^\circ 20'.$$

2-жадвалдан уларнинг қийматларини топамиш:

$$v_4 = \ln v \alpha_4 = \ln v 20^\circ = 0,01494 \text{ рад ёки } v_a = 0^\circ 51',$$

$$v_y = \ln v \alpha_y = \ln v 25^\circ 20' = 0,03126 \text{ рад ёки } v_y = 1^\circ 48'.$$

Аниқланган  $v_4$ ,  $v_y$  бурчаклар остида радиуслар чизиб, эвольвентанинг 4' ва  $y'$  нүкталарини белгилаймиз.

8. Белгиланган нүкталарни бирлаштириб, тиш профилини чизамиш.

9. Сўнгра тишининг  $\mu_e$  масштабдаги қалинлиги

$$\bar{s} = \frac{s}{\mu_e} = \frac{0,00785}{0,0002} = 39,25 \text{ мм}$$

ни  $r_4$  радиус билан чизилган бўлиш айланаси ёйида белгилаймиз. Тишининг шу кесма ўртасидан ўтган симметрия уқи чизигини  $O_4$  марказ билан туташтирамиз. Бу ўқ чизигининг чап томонига тишининг иккинчи ён профилини чизамиш.

10. Сўнгра эвольвента чизиги билан тиш ботиқлиги айланасини

$$\bar{p}_f = \frac{\vartheta_f}{\mu_e} = \frac{0,0015}{0,0002} = 7,5 \text{ мм}$$

радиус билан юмaloқланиш ёйини чизамиш.

11. Тишининг шаклини калькага ёки картонга кучирамиз, картонга кучирилган нусхадан шаблон қирқиб оламиз. Уларни тишининг графикавий усулда чизилган профили устига қўйиб, филдирак тишининг профили икки усулда қандай аниқлик билан чизилганлигини текширамиз.

Илашмада бўлган тишлар профилларининг илашиш чизиги актив (ҳақиқий) қисмини чизмада кўрсатамиз. Илашманинг  $a\vartheta$  ҳақиқий илашиш чизиги  $r_{a4}$  ва  $r_{a5}$  радиусларда чизилган айланаларнинг  $N-N$  илашиш чизиги билан кесишган  $a$  ва  $\vartheta$  нүкталар оралиғи бўлади. Сўнгра  $a, \vartheta$ , илашиш ёйини чизмада кўрсатамиз. Бунинг учун  $a$  ва  $\vartheta$  нүкталардан филдирак 4 тишининг ўнг томондаги профилини пунктир чизиқ билан белгилаймиз. Профилнинг бу чизиқлари бўлиш айланаси билан  $a_1$

## 3- жадвал

Инволюта функциясининг қийматлари

$\alpha^\circ$	0	10'	20'	30'	40'	50'
20	0,0149	0,0152	0,0156	0,0160	0,0165	0,0169
21	0,0173	0,0177	0,0182	0,0186	0,0191	0,0195
22	0,0200	0,0205	0,0210	0,0215	0,0220	0,0225
23	0,0230	0,0235	0,0241	0,0246	0,0252	0,0257
24	0,0263	0,0269	0,0275	0,0281	0,0287	0,0293
25	0,0299	0,0306	0,0312	0,0319	0,0325	0,0332
26	0,0339	0,0346	0,0353	0,0360	0,0367	0,0375
27	0,0382	0,0390	0,0398	0,0406	0,0413	0,0422
28	0,0430	0,0438	0,0446	0,0455	0,0461	0,0472
29	0,0481	0,0490	0,0499	0,0509	0,0518	0,0527
30	0,0537	0,0547	0,0557	0,0567	0,0577	0,0587
31	0,0588	0,0608	0,0619	0,0630	0,0641	0,0652
32	0,0663	0,0675	0,0696	0,0698	0,0710	0,0722
33	0,0734	0,0746	0,0759	0,0772	0,0784	0,0797
34	0,0810	0,0824	0,0837	0,0851	0,0865	0,0879
35	0,0893	0,0907	0,0922	0,0937	0,0951	0,0966
36	0,098	0,099	0,101	0,102	0,104	0,106
37	0,107	0,109	0,111	0,112	0,114	0,116
38	0,118	0,119	0,121	0,124	0,125	0,127
39	0,129	0,131	0,132	0,134	0,136	0,138
40	0,140	0,143	0,145	0,147	0,149	0,151

3- жадвалдан фойдаланиш тартибига мисол келтирамиз: Инволюта функцияси  $24^{\circ}30'$  булса, унинг радиан қийматини топиш учун  $24^\circ$  дан горизонтал,  $30'$  дан эса вертикаль чизиқлар ўтказамиз; бу чизиқларнинг кесишув жойидаги сон инволюта бурчагининг радиан ҳисобидаги қиймат, яъни  $\text{Inv } \alpha = 0,0281$  рад бўлади.

ва  $\theta_1$  нуқталарда кесишиди. Бўлиш айланасидаги  $a_1\theta_1$  ёй чизиғи филдирак 4 нинг илашиш ёйи бўлади. Шунингдек, филдирак 5 тишининг ўнг профилини  $a$  ва  $\theta$  нуқталардан ўтказиб, бўлиш айланасида илашиш ёйи  $a_2\theta_2$  ни оламиз.

Тишининг актив (илашиш) профили чегараларини аниқлаймиз. Филдиракнинг  $O_4$  марказидан  $O_4a$  радиус билан илашиш чизигининг  $a$  нуқтасидан ўтиб, тиш профили билан кесишигунча ёй ўтказамиз. Кесишув нуқтасини с ҳарфи билан белгилаймиз. Шунингдек,  $O_5$  марказдан  $O_5\theta$  радиус билан  $\theta$  нуқтадан ўтиб, тиш профили билан кесишувчи ёй чизамиз. Кесишув нуқтасини  $d$  ҳарфи билан белгилаймиз. Чизмада иккименма чизиқлар билан чизилган  $se$  ва  $df$  ёйлар тиш профиларининг актив қисмларини кўрсатади.

Илашманинг қопланиш коэффициентини аниқлаши. Илашманинг қопланиш коэффициенти графоаналитик усулда қуйидаги формуладан аниқланади:

$$\epsilon = \frac{\bar{ab}}{p \cdot \cos \alpha} = \frac{\bar{ab} \cdot \mu_e}{\pi m \cos \alpha} = \frac{120 \cdot 0,0002}{3,14 \cdot 0,005 \cdot \cos 20^\circ} = 1,625$$

формуладаги  $\bar{ab}$  кесманинг қийматини чизмадан мм ҳисобида ўлчаб оламиз (43-шакл).

Илашманинг қопланиш коэффициенти аналитик усулда қуйидагича аниқланади:

$$\begin{aligned} \epsilon &= \frac{\sqrt{r_{a_4}^2 - r_{b_4}^2} + \sqrt{r_{a_5}^2 - r_{b_5}^2} - a_W \sin \alpha}{\pi m \cos \alpha} = \\ &= \frac{\sqrt{55^2 - 47^2} + \sqrt{105^2 - 94^2} - 150 \cdot \sin 20^\circ}{3,14 \cdot 5 \cdot \cos 20^\circ} = 1,639. \end{aligned}$$

Еннинг иккала усулда аниқланган қийматлари фарқи 3% дан ошмаслиги керак. Биздаги мисолда эса 0,85% ни ташкил өтади

## VII. ТИШЛИ УЗАТМАЛАРНИНГ КИНЕМАТИКАВИЙ АНАЛИЗИ

Тишли узатмалар оддий ва мураккаб бўлади. Оддий узатма ташқи илашмали (45-шакл, а) ёки ички илашмали (45 шакл, б) икки фиддиракдан иборат бўлади.

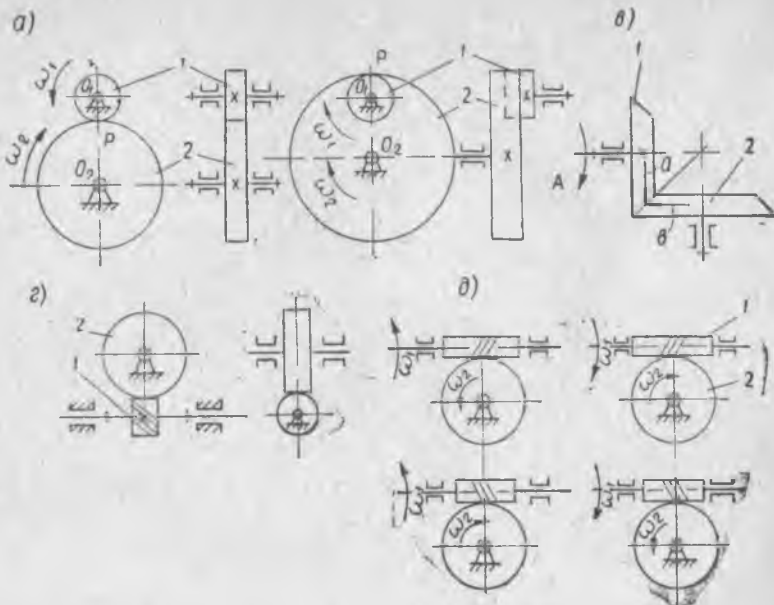
Уларнинг узатиш сонини аниқлашда етакчи ва етакланувчи фиддиракларнинг айланиш йўналишини ҳисобга олиш керак. У ҳолда, узатиш сони қуйидаги формуладан ҳисоблаб топилади:

$$U_{12} = \pm \frac{z_2}{z_1}. \quad (119)$$

Юқоридаги формулада манфий ишора ташқи илашмали узатма учун қабул қилинади. Бу ишора фиддиракларнинг бир-бира га нисбатан қарама-қарши йўналишида айланишини кўрсатади. Конусавий тишли узатманинг (45-шакл, в) узатиш сони цилиндрик узатманикидек аниқланади:

$$U_{12} = \frac{n_1}{n_2} = \frac{z_2}{z_1} = \frac{\sin \delta_2}{\sin \delta_1}. \quad (120)$$

Агар 1 ва 2 фиддиракларнинг ўқлари орасидаги бурчак  $\delta_1 + \delta_2 = -90^\circ$  бўлса, узатиш сони  $U_{12} = \operatorname{ctg} \delta_1 = \operatorname{tg} \delta_2$  формула билан аниқланади (бу ерда  $2\delta_1$  ва  $2\delta_2$  — фиддираклар жонус учларининг бурчаклари). Айланиш йўналиши стрелка қоидаси билан аниқланади (45-шакл, в), яъни стрелка A ни звено 1 бўйлаб



45-шакл.

*a* ҳолатга күчирәмиз ва *b* стрелка учини *a* га қаратыб чизамиз ва унинг айланыш томонини аниқлаймиз.

Винтавий узатманинг (45-шакл, *c*) узатиш сони:

$$U_{12} = \frac{\omega_1}{\omega_2} = \frac{z_2}{z_1} = \frac{r_2}{r_1} \operatorname{tg} \delta \quad (121)$$

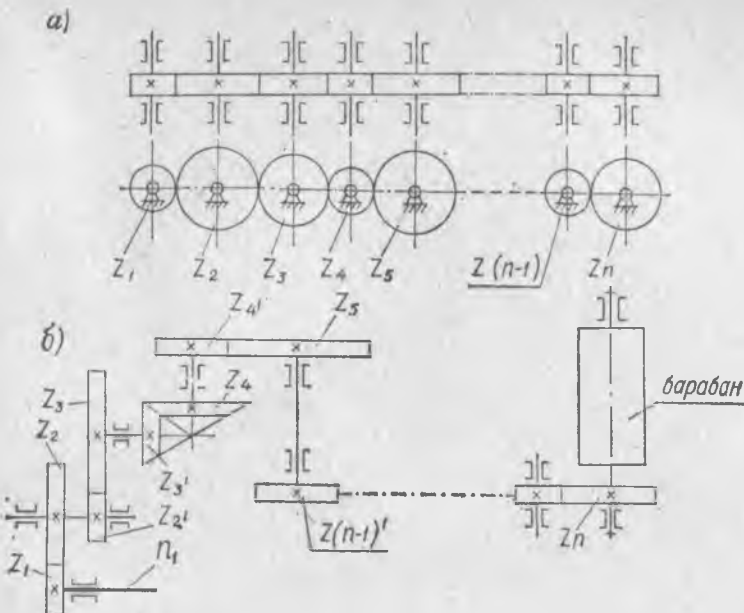
бу ерда  $\delta$  — тишининг қиялик бурчаги.

Червякли узатманинг (45-шакл, *d*) узатиш сони тишли ғилдирак тишилари сони  $z_2$  нинг червякнинг киirimлар сони  $z_1$  га нисбатига тенг бўлади:

$$U_{12} = \frac{z_2}{z_1} = \frac{r_2}{r_1} \operatorname{tg} \delta_1. \quad (122)$$

Червякнинг айланиш йўналиши ва киirimлар чизигининг қиялик бурчаги тишли ғилдиракнинг айланиш йўналишини белгилайди (45-шакл, *d*).

Мураккаб узатма бир неча жуфт тишли ғилдираклардан иборат бўлади. Улар қаторли ва поғонали бўлиши мумкин. Бир текисликда жойлашган қаторли узатмалар, асосан, охирги ғилдиракнинг айланиш йўналишини ўзгартириш ёки етакчи валдан узоқда жойлашган валга ҳаракат узатиш учун хизмат қилади. Қаторли узатмада ғилдираклар бир текисликда



46-шакл (а, б).

кетма-кет жойлашади ва ҳар бир ғилдирак ўз ўқи атрофига айланади (46-шакл, а).

Қаторли узатманинг умумий узатиш сони

$$U_{1n} = (-1)^P \cdot U_{12} \cdot U_{23} \cdot U_{34} \cdots U_{(n-1)n} = (-1)^P \frac{z_n}{z_1} \quad (123)$$

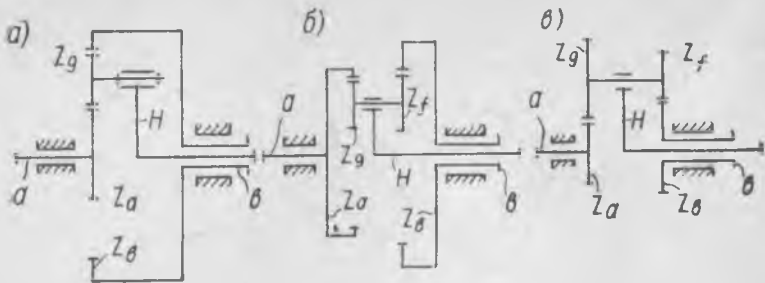
формула билан, яъни охирги ғилдирак тишилари сони  $z_n$  нинг етакчи ғилдирак тишилар сони  $z_1$  га нисбати билан аниқланади (бу формулада  $P$  — ташқи илашмалар сони).

Погонали узатмаларда ҳар бир валга икки ва ундан ортиқ ғилдирак ўрнатилган бўлади (46-шакл, б). Уларнинг узатиш сони кетма-кет қўшилган узатмалар поғоналаридан ҳар бирининг узатиш сонлари кўпайтмасига тенг:

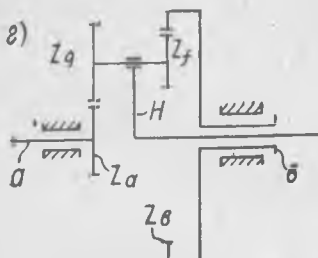
$$\begin{aligned} U_{1n} &= (-1)^P U_{1'2} \cdot U_{2'3} \cdot U_{3'4} \cdots U_{(n-1)'n} = \\ &= (-1)^P \frac{z_2 \cdot z_3 \cdot z_4 \cdots z_n}{z_{1'} \cdot z_{2'} \cdot z_{3'} \cdots z_{(n-1)'}}. \end{aligned} \quad (124)$$

## 1. ДИФФЕРЕНЦИАЛ ТИШЛИ МЕХАНИЗМЛАРНИНГ КИНЕМАТИКАВИЙ АНАЛИЗИ

Таркибида ўқлари қўзғалувчан ва эркинлик даражаси икки ва ундан ортиқ бўлган тишли механизмлар дифференциал механизм ёки, қисқача, дифференциал деб аталади. Улар само-



47-шакл (а, б, в).



47-шакл (г).

реклар  $z_a$  ва  $z_b$  дан иборат.

Үқлари қўзғалувчан бўлган тишли фидиреклар  $z_g$  ( $z_g - z_f$ ) сателлиг дейилади. Улар ўз ўқи атрофида ва водило  $H$  билан бирга айланиб, мураккаб ҳаракат қиласди.

$O_H$  ўқи атрофида айланиб, сателлит ўқини айлантирувчи система водило дейилади. У  $H$  ҳарфи билан белгиланади.

Водилонинг айланиш ўқи доимо марказий фидиреклар ўқига мос келади. Атрофида сателлитлар думаловчи тишли фидиреклар  $z_a$  ва  $z_b$  марказий фидиреклар бўлади. Улар ташки (47-шакл, а, в, г) ва ички (47-шакл, б) илашмали булали.

Уларнинг қўзғалувчанлик даражаси қўйидаги формула ёрдамида ҳисоблаб топилади:

$$W = n - P. \quad (125)$$

бу ерда  $n$  — қўзғалувчи звенолар сони;

$P$  — тишли илашмалар (олий кинематикавий жуфтлар) сони.

**Мисол.** 47-шакл, а да кўрсатилган дифференциал механизмнинг қўзғалувчанлик даражасини аниқланг.

Е чи ш. 47-шакл, а да берилган дифференциалнинг барча фидиреклари айланади. Унинг қўзғалувчи звенолари сони тўртта ( $n = 4$ ), бу лар  $z_a$  фидирек,  $z_g$  сателлит,  $H$  водило ва

лёт, вертолёт, автомобиль, ҳисоблаш машиналари ва турли ишҳамда транспорт машиналари редукторларининг узатмаларида етакчи фидирекларнинг айланма ҳаракагларини қўшиш ва тақсимлаш учун ишлатилади. 47-шакл, а, б, в, г да оддий дифференциалларнинг кинематикавий схемаси кўрсатилган. Улар водило  $H$ , сателлиглар  $z_g$  (ёки  $z_g - z_f$ ), марказий фидиреклар  $z_a$  ва  $z_b$  дан иборат.

Үқлари қўзғалувчан бўлган тишли фидиреклар  $z_g$  ( $z_g - z_f$ ) сателлиг дейилади. Улар ўз ўқи атрофида ва водило  $H$  билан бирга айланиб, мураккаб ҳаракат қиласди.

$O_H$  ўқи атрофида айланиб, сателлит ўқини айлантирувчи система водило дейилади. У  $H$  ҳарфи билан белгиланади.

Водилонинг айланиш ўқи доимо марказий фидиреклар ўқига мос келади. Атрофида сателлитлар думаловчи тишли фидиреклар  $z_a$  ва  $z_b$  марказий фидиреклар бўлади. Улар ташки (47-шакл, а, в, г) ва ички (47-шакл, б) илашмали булали.

Уларнинг қўзғалувчанлик даражаси қўйидаги формула ёрдамида ҳисоблаб топилади:

$$W = n - P. \quad (125)$$

бу ерда  $n$  — қўзғалувчи звенолар сони;

$P$  — тишли илашмалар (олий кинематикавий жуфтлар) сони.

**Мисол.** 47-шакл, а да кўрсатилган дифференциал механизмнинг қўзғалувчанлик даражасини аниқланг.

Е чи ш. 47-шакл, а да берилган дифференциалнинг барча фидиреклари айланади. Унинг қўзғалувчи звенолари сони тўртта ( $n = 4$ ), бу лар  $z_a$  фидирек,  $z_g$  сателлит,  $H$  водило ва

$z_b$  ғилдирак. Илашмалар сони иккита ( $P_{\text{ил}} = 2$ ):  $z_a$  ғилдирак билан  $z_g$  сателлиг ва  $z_g$  сателлит билан  $z_b$  ғилдирак. Етакчи звенолар сонини қуйидаги формула ёрдамида топамиз:

$$W = n - P_{\text{ил}} = 4 - 2 = 2.$$

Демак, иккита етакчи звено олиниши керак.

1. Узатиш нисбатини аниқлаш. Дифференциалнинг узатиш нисбатини аниқлашда „водилон тұхтатиши“ методи (Виллис методи) дан фойдаланамиз. Механизмга водилонинг тезлигига тенг ва тескари йұналишда құшимчя ( $-\omega_H$ ) ҳаракат берамиз. Бунда водило „құзғалмас“ звенога айланади ва қолган звеноларнинг нисбий ҳаракати үзгартмайды. У ҳолда звеноларнинг құзғалмас системага иисбатан бурчагий тезликтері қуйидагича узгаратылады:

$$\omega_a - \omega_H, \quad \omega_b - \omega_H \quad \text{ва} \quad \omega_H - \omega_H = 0.$$

Водило  $H$  құзғалмас бұлганда  $\omega_a - \omega_H$  ва  $\omega_b - \omega_H$  тезликлернинг үзаро боғланиши оддий узатманинг абсолют тезликларининг боғланишидек бўлади, яъни:

$$\frac{\omega_a - \omega_H}{\omega_b - \omega_H} = U_{ab}^H, \quad (126)$$

бу ерда  $U_{ab}^H$  — водило  $H$  құзғалмас бұлганда  $a$  звенонинг  $b$  звенога ҳаракат узатиш нисбати.

Агар сателлитнинг узатиш нисбатини аниқлаш керак бўлса, 47-шакл,  $a$  да кўрсатилган узатма учун барча звеноларга ( $-\omega_H$ ) тезлик берамиз, у ҳолда,

$$\frac{\omega_a - \omega_H}{\omega_g - \omega_H} = U_{ag}^H = -\frac{z_g}{z_a}, \quad (127)$$

бўлади. Маълумки, 47-шакл узатмаларида тўртта асосий звено —  $a$ ,  $b$ ,  $\partial$  ва  $H$  звенолар құзғалувчан. Иккита етакчи звенонинг берилган бурчагий тезликлари ва нисбий узатиш нисбатлари ёрдамида етакланувчи звенонинг бурчагий тезлигини аниқлаш талаб қилинади

Дифференциал механизмда учинчи звено құзғалмас бўлганда бир валдан иккинчи валга ҳаракат узатиш сони олтида бўлади:

$$U_{ab}^H, \quad U_{ba}^H, \quad U_{bH}^a, \quad U_{ab}^a, \quad U_{bH}^b, \quad U_{Ha}^b.$$

Улар ғилдираклар тишлари сонларининг нисбати ёрдамида аниқланади. Етакланувчи звенонинг бурчагий тезлиги қуйидаги тенгламалар ёрдамида ҳисоблаб топилади.

1)  $a$  ва  $b$  валлар етакчи бўлганда етакланувчи водило  $H$  нинг бурчагий тезлиги қуйидаги формуладан аниқланади:

$$\omega_H = U_{H\epsilon}^* \cdot \omega_\epsilon + U_{Hb}^a \cdot \omega_b; \quad (128)$$

2)  $\omega$  вал ҳамда водило  $H$  етакчи бўлганда етакланувчи  $a$  валинг бурчагий тезлиги қўйидаги формуладан топилади:

$$\omega_a = U_{ab}^H \cdot \omega_b + U_{aH}^b \cdot \omega_H, \quad (129)$$

бу ерда  $U_{Ha}^b$  —  $b$  звено қўзғалмас бўлганда водило  $H$  дан  $a$  звенога ҳаракат узатиш сони;

$U_{Ho}^a$  —  $a$  звено қўзғалмас бўлганда водило  $H$  дан  $b$  звенога ҳаракат узатиш сони;

$U_{ba}^a$  —  $a$  звено қўзғалмас бўлганда  $b$  звенодан  $H$  водилога ҳаракат узатиш сони;

$U_{ba}^H$  —  $H$  водило қўзғалмас бўлганда  $b$  звенодан  $a$  звенога ҳаракат узатиш сони;

$U_{ab}^H$  —  $H$  водило қўзғалмас бўлганда  $a$  звенодан  $b$  звенога ҳаракат узатиш сони;

$U_{aH}^b$  —  $b$  звено қўзғалмас бўлганда  $a$  звенодан  $H$  водилога ҳаракат узатиш сони.

4-жадвалда турли планетар механизмларнинг узатиш сонини ҳисоблаш формулалари келтирилган.

**Мисол.** 47-шакл,  $\omega$  да кўрсатилган дифференциал учун қўйидагилар берилган:  $z_a = 56$ ,  $z_g = 62$ ,  $z_f = 58$ ,  $z_b = 60$ ,

$$\omega_H = 5 \frac{\text{рад}}{\text{сек}}, \quad \omega_g = -10 \frac{\text{рад}}{\text{сек}}$$

Ана шу маълумотлар асосида  $z_a$  ғилдиракнинг бурчагий тезлиги ни аниқланг.

Ечиш.  $\omega_a$  нинг қийматини ҳисоблашда (125) формуладан фойдаланамиш:

$$\omega_a = U_{ab}^H \cdot \omega_b + U_{aH}^b \cdot \omega_H.$$

Бу формулага кирган узатиш сонларини ҳисоблаймиз:

$$U_{ab}^H = \frac{z_g \cdot z_b}{z_a \cdot z_f} = \frac{62 \cdot 60}{56 \cdot 58} = 1,144$$

$$U_{aH}^b = 1 - U_{ab}^H = 1 - 1,144 = -0,144,$$

бундан

$$\omega_a = 1,144(-10) + (-0,144) \cdot 5 = -12,16 \frac{\text{рад}}{\text{сек}}$$

бўлади. Агар  $\omega_b = 10 \frac{\text{рад}}{\text{сек}}$  бўлса,

$$\omega_a = 1,144 \cdot 10 + (-0,144) \cdot 5 = 10,72 \frac{\text{рад}}{\text{сек}}$$

бўлади.

Тартиб нөмөр	Планетар механизмарниң түрі	$U_{Ha}^b$	$U_{Hb}^a$	$U_{bH}^a$	$U_{ba}^H$	$U_{ab}^H$
1	Ташқы ва ичкі илаптамалы бир кәтті реалектор (47-шакт, а)	$\frac{1}{1 + \frac{z_b}{z_a}}$	$\frac{1}{1 + \frac{z_a}{z_b}}$	$1 + \frac{z_a}{z_b}$	$1 + \frac{z_b}{z_a}$	$-\frac{z_b}{z_a}$
2	Ишкі ташқы ёки иккі ичкі илаптамалы көтөрли реалектор (47-шакт, б)	$\frac{1}{1 - \frac{z_g \cdot z_h}{z_a \cdot z_f}}$	$\frac{1}{1 - \frac{z_a \cdot z_f}{z_g \cdot z_b}}$	$1 - \frac{z_a \cdot z_f}{z_g \cdot z_b}$	$1 - \frac{z_g \cdot z_b}{z_a \cdot z_f}$	$\frac{z_a \cdot z_f}{z_g \cdot z_b}$
3	Бінта ташқы ва бінта ичкі илаптамалы иккі көтөрли реалектор (47-шакт, 2)	$\frac{1}{1 + \frac{z_g \cdot z_b}{z_a \cdot z_f}}$	$\frac{1}{1 + \frac{z_a \cdot z_f}{z_g \cdot z_b}}$	$1 + \frac{z_a \cdot z_f}{z_g \cdot z_b}$	$1 + \frac{z_g \cdot z_b}{z_a \cdot z_f}$	$-\frac{z_g \cdot z_b}{z_a \cdot z_f}$

## 2. ПЛАНЕТАР ТИШЛИ МЕХАНИЗМЛАРНИНГ КИНЕМАТИКАВИЙ АНАЛИЗИ

Планетар тишли механизмлар оддий ва ёпиқ контурли бўлади. Улар металл кесиши станокларида, юк кўтариш, транспорт ва иш машиналарида, реверс механизмларда ва турли машиналарнинг редукторларида кенг қўлланилади.

1. Оддий планетар механизмлар. Агар дифференциалнинг исталган марказий  $z_a$  ёки  $z_b$  фидирагини маҳкамласак, эркинлик даражаси бирга тенг бўлган оддий планетар механизм ҳосил бўлади (48-шакл, а, б, в, г):

$$W = n - P_{\text{нл}} = 3 - 2 = 1.$$

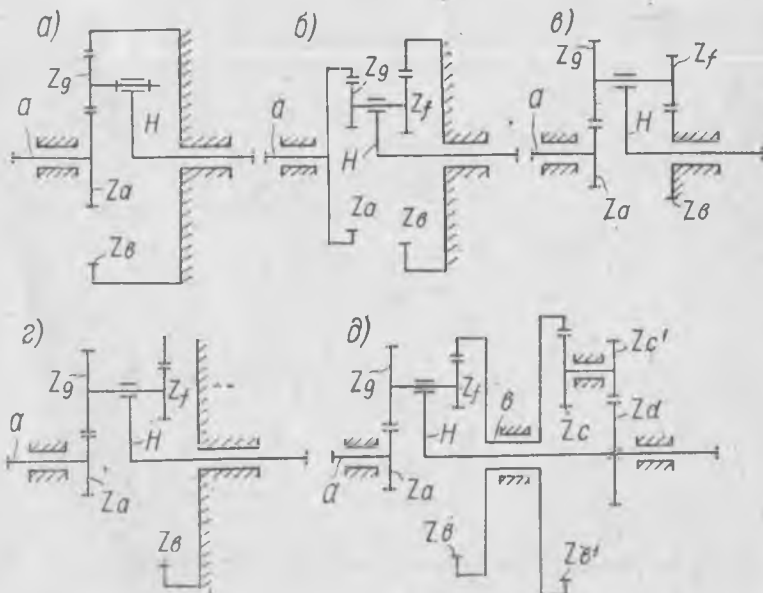
Етакчи  $z_a$  ёки  $z_b$  фидиракдан  $H$  водилога ҳаракат узатилганда унинг узатиш нисбати қўйидаги формуладан аниқланади:

$$U_{aH}^b = \frac{\omega_a}{\omega_b} = 1 - U_{ab}^H, \quad (130)$$

$$U_{bH}^a = \frac{\omega_b}{\omega_a} = 1 - U_{ba}^H, \quad (131)$$

бу ерда  $U_{ab}^H$  — водило қўзгалмас бўлганда етакчи  $a$  валдан  $b$  звенога ҳаракаг үзагиши сони;

$U_{ba}^H$  — водило қўзгалмас бўлганда етакчи  $b$  валдан  $a$  звенога ҳаракат узатиш сони.



48-шакл.

$H$  водилодан  $z_a$  ғилдиракка ҳаракатнинг узатилиш сони қўйидагича аниқланади:

$$U_{Ha}^b = \frac{1}{U_{aH}^b} = \frac{1}{1 - U_{ab}^H}. \quad (132)$$

2. Ёпиқ контурли планетар механизмлар. Дифференциал механизмнинг исталган икки звеноси (марказий  $z_a$  ёки  $z_b$  ғилдираклар ёки  $H$  водило билан икки марказий  $z_a$  ёки  $z_b$  ғилдираклар ва ҳоказо) қўшимча икки звено ёрдамида қўшилса, эркинлик даражаси бирга тенг бўлган қузгалмас звеноисиз ёпиқ контурли планетар механизм ҳосил бўлади. Масалан, 48-шакл,  $\partial$  да кўрсатилган механизмнинг эркинлик даражаси

$$W = n - P_{\text{ил}} = 5 - 4 = 1$$

бўлади. Ёпиқ планетар механизмлар бир неча контурли бўлиши мумкин. 48-шакл,  $\partial$  да кўрсатилган механизм битта контурдан:  $z_a, z_g - z_j, z_b$  ва  $H$  водило, дифференциал ва  $z_b, z_c - z_{c'}, z_d$  оддий тишли узатмали қўшимча занжирдан иборат.

Ёпиқ контурли дифференциал механизмларнинг узатиш нисбати қўйидагича ҳисоблаб топилади:

1) механизм алоҳида дифференциал ва ёпиқ занжирларга ажратилади;

2) ажратилган ҳар қайси механизм учун алоҳида кинематиковий боғланиш тенгламаси тузилади;

3) тенглама соддалаштирилиб, ёпиқ дифференциалнинг узатиш нисбати ҳисоблаб топилади.

**Мисол.** 48-шакл,  $\partial$  да кўрсатилган ёпиқ дифференциалнинг узатиш сони  $U_{ad}$  аниқлансин.

Ечиш. Механизмнинг  $z_b$  ғилдираги ва  $H$  водилоси қўшимча тишли узатма  $z_{b'}, z_{c-c'}, z_d$  ёрдамида бириктирилган бўлиб,  $a$  валдан  $O_H$  валга ҳаракат узатиша иккита (дифференциал ва оддий узатма) механизм қатнашади.

Дифференциалнинг кинематиковий боғланиши қўйидаги формуладан аниқланади:

$$U_{ab}^H = \frac{\omega_a - \omega_H}{\omega_b - \omega_H}, \quad (133)$$

(133) формулани  $\omega_H$  га бўлиб, қўйидаги тенгламани ҳосил қиласмиш:

$$U_{ab}^H = \frac{\frac{\omega_a}{\omega_H} - 1}{\frac{\omega_b}{\omega_H} - 1} = \frac{U_{aH} - 1}{U_{bH} - 1}. \quad (134)$$

Схемадан кўринадики,  $\omega_b = \omega_{b'}$ , ва  $\omega_d = \omega_H$ , чунки  $z_b$  билан  $z_{b'}$  ва  $z_d$  билан  $H$  узаро бириктирилган. Иккинчи томондан ёпиқ занжир учун

$$U_{b'd} = \frac{\omega_{b'}}{\omega_d} = \frac{\omega_b}{\omega_H}$$

Бўлади, бундан  $\omega_{b'} = \omega_d \cdot U_{b'd}$  ни ҳосил қиласиз. Аниқланган қийматларни (134) тенгламага қўйиб, қуидагини оламиз:

$$U_{ab}^H = \frac{U_{ad} - 1}{U_{b'd} - 1},$$

бундан

$$U_{ad} = 1 + U_{ab}^H (U_{b'd} - 1) \quad (135)$$

келиб чиқади. Механизмнинг узатиш сонини қуидаги формула ёрдамида аниқлаймиз:

$$U_{ab}^H = - \frac{z_g \cdot z_b}{z_a \cdot z_f} \text{ ва } U_{b'd} = - \frac{z_c \cdot z_d}{z_b \cdot z_c}. \quad (136)$$

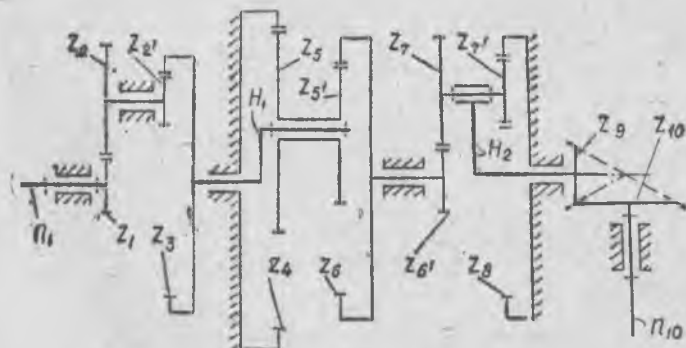
Сўнгра (135) тенгламага аниқланган қийматларни қўйиб, ёпиқ планетар механизмларнинг узатиш сонларини ҳисоблаш формуласини ҳосил қиласиз:

$$U_{ad} = 1 + \frac{z_g \cdot z_b}{z_a \cdot z_f} \left( \frac{z_c \cdot z_d}{z_b \cdot z_c} + 1 \right), \quad (137)$$

3. Комбинацияланган редукторлар. Агар редуктор таркибида оддий, планетар ёки дифференциал узатмалар бўлса, бундай редуктор комбинацияланган редуктор дейилади.

Унинг тўла узатиш сонини аниқлаш учун ҳар бир поғонани алоҳида ажратиб, уларнинг узатиш сонлари алоҳида-алоҳида ҳисобланади ва айрим узатмалар сони бир-бирига кўпайтирилади.

Мисол. 49-шаклда курсатилган редукторнинг узатиш сонини ҳисобланг. Редуктор учта ( $1-2$ ), ( $2'-3$ ) ва ( $9-10$ ) оддий узатма ва иккита планетар механизмдан иборат.



49-шакл.

Ечиш.  $z_1$  ғилдиракдан  $z_{10}$  етакланувчи ғилдиракка ҳаралат узатиш сони қуйидагича ҳисоблаб топилади.

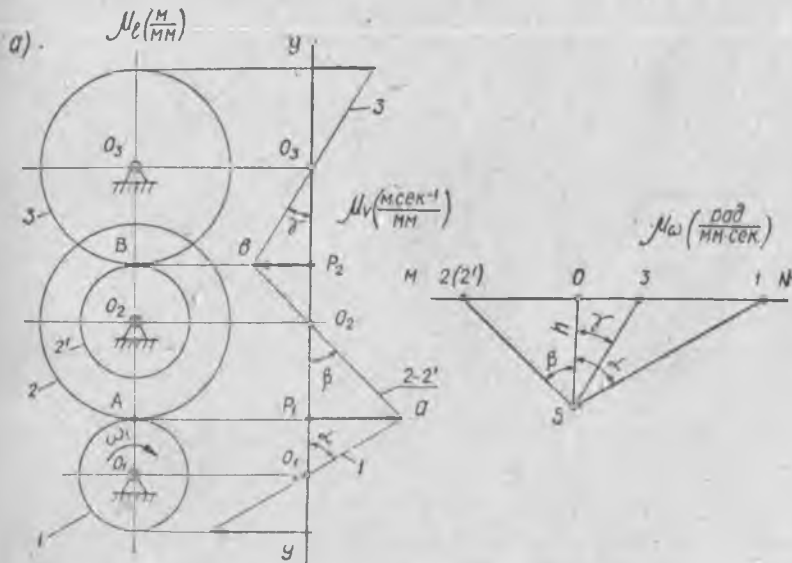
$$U_{1-10} = U_{12} \cdot U_{2'3} \cdot U_{H_1 H_2}^4 \cdot U_{6'H_3} \cdot U_{9-10} = \\ = -\frac{z_2 + z_3}{z_1 \cdot z_2'} \frac{1}{1 - \frac{z_{5'} \cdot z_4}{z_6 \cdot z_5}} \left(1 + \frac{z_7 \cdot z_8}{z_{6'} \cdot z_6}\right) \frac{z_{10}}{z_9}. \quad (138)$$

### 3. ТИШЛИ МЕХАНИЗМЛАРНИҢ ТЕЗЛИКЛАРИНИ ГРАФИКАВИЙ ҮСУЛ БИЛАН АНИҚЛАШ

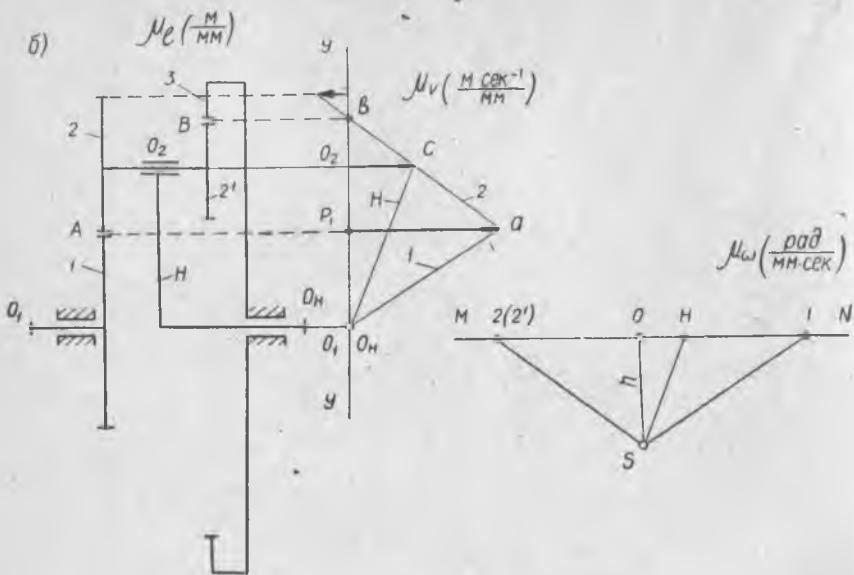
Звено (ғилдирак, водило ва бошқалар) бирор құзғалмас үк атрофига айланганда унинг исталған нүктасининг чизигі тезлиги звено радиусига пропорционал равишида үзгәради. Звено тезлик векторларининг учлари  $O_1$  нүктадаң үтүвчи  $O_1a$  түғри чизіңде ётади (50-шакл, a). Бу түғри чизің тезлик тасвири дейилади. Демек, масалани ечиш учун звенонинг иккі нүктасининг тезлик векторлари маълум бўлиши керак. Бу векторларниң учларини туташтириб, звенонинг тезлик тасвирини чизиш мумкин.

Турли звеноларнинг тезлик тасвирини шу тарзда кетма-кет чизиб, механизмнің барча звеноларнинг тезлик тасвирини ҳосил қилиш мумкин.

Энди, тишли айрим механизмларнинг тезликларини кўриб чиқамиз.



50-шакл (a).



50-шакл (б).

1. Тишли оддий механизм (50-шакл, а). Схемада тишли икки поғонали узатма берилган. Узатманинг ғилдираги 1 даги А нуқтанинг тезлиги

$$v_A = \omega_1 \cdot O_1 A \frac{\text{м}}{\text{сек}}$$

бұлади. Узатма схемасининг ёнидан у-у тик чизиқ үтказиб, бу чизиққа узатманинг  $O_1, P_1, O_2, P_2, O_3$  нуқталарини күчірамыз. Тезлик масштаби

$$\mu_v = \frac{v_A}{p_1 a} \frac{\text{м/сек}}{\text{мм}}$$

ни танлаб,  $P_1$  нуқтадан ғилдиракдаги А нуқтанинг чизигий тезлигининг векторини тасвирловчи  $\vec{p}_1 \vec{a}$  кесмәни горизонтал чизиқда белгилаймыз.  $O_1$  нуқта билан  $a$  нуқтани туташтириб чизигий тезликкінинг ғилдирак 1 нинг радиуси бүйіча үзгариш қонунини ҳосил қиласымыз. Ғилдирак 2 нинг ғилдирак 1 га уришил нуқтаси тезлиги  $\vec{v}_{A_1}$  тезлик  $v_{A_1}$  га тенг бұлади. Шунға күра ғилдирак 2 нинг маркази  $O_2$  ни  $a$  нуқта билан туташтириб, ғилдирак 2 нинг тезлик тасвирини оламыз. 2—2' ғилдирактар битта звено бұлғаны учун  $aO_2$  чизиқни горизонтал  $P_2 b$

чизиқ билан учрашгунча давом эттирамиз. Үларнинг кесишуви нуқтаси  $\theta$  да ғилдирак  $2'$  нинг  $B$  нуқтаси тезлик вектори  $v_B$  нинг кесмаси  $P_2 v$  ни оламиз. Шу нуқтада ғилдирак  $3$  нинг тезлиги  $v_B$  га тенг бўлади. Демак,  $\theta$  нуқтани  $O_3$  нуқта билан бирластириб, ғилдирак  $3$  нинг тезлик тасвирини ҳосил қилалими.

Ғилдирак  $2$  нинг бурчагий тезлиги  $\omega_2$  ни  $A$  нуқтанинг тезлиги  $v_{A_1}$  ни бўлиш айланаси радиусига тақсим қилиш йўли билан аниқлаймиз:

$$\omega_2 = \frac{v_{A_1}}{r_2} = \frac{\overline{P_1 A_1} \cdot \mu_v}{\overline{r_2} \cdot \mu_e} = \operatorname{tg} \beta \frac{\mu_v}{\mu_e}, \quad (139)$$

бу ерда  $\mu_i$  — механизм схемасининг масштаби;

$r_i$  — схемадаги  $\overline{O_2 P_1}$  радиуснинг узунлиги.

$2$  ва  $2'$  ғилдираклар битта звено бўлгани учун  $\omega_2' = \omega_2$ . Шунингдек,

$$\omega_3 = \operatorname{tg} \gamma \frac{\mu_v}{\mu_e} \quad (140)$$

бўлади. Бурчагий тезликларни чизмада кўрсатиш учун  $MN$  горизонтал чизиқ ўтказамиз. Ихтиёрий  $O$  нуқтадан  $MN$  га тик тушириб, ихтиёрий  $h$  оралиқда  $S$  нуқтани белгилаймиз. Сўнгра  $S$  нуқтадан  $OS$  чизиқка нисбатан  $\alpha, \beta, \gamma$  бурчаклар осидида  $\overline{SI}, \overline{S2}$  ва  $\overline{S3}$  нурлар чизамиз. У ҳолда

$$\begin{aligned} \frac{\overline{OI}}{\overline{OS}} &= \operatorname{tg} \alpha, \quad \frac{\overline{O2}}{\overline{OS}} = \operatorname{tg} \beta \text{ ва } \frac{\overline{O3}}{\overline{OS}} \operatorname{tg} \gamma, \\ \omega_1 &= \frac{\overline{OI}}{\overline{OS}} \mu_e, \quad \omega_2 = \frac{\overline{O2}}{\overline{OS}} \mu_v \text{ ва } \omega_3 = \frac{\overline{O3}}{\overline{OS}} \mu_v \end{aligned}$$

бўлади. Шундай қилиб,  $\overline{OI}, \overline{O2}, \overline{O3}$  кесмалар  $\mu_\omega = \frac{\mu_v}{\overline{OS} \cdot \mu_e}$  масштабда ғилдиракларнинг бурчагий тезликларини беради. Кесмаларнинг  $O$  нуқтага нисбатан жойлашуви ғилдиракнинг айланиш ўйналишини кўрсатади. Шаклдан кўринадики,  $1$  ва  $3$  ғилдираклар бир томонга,  $2$  ва  $2'$  ғилдираклар эса уларга нисбатан тескари томонга айланади.

Узатиш нисбатлари қўйидагича аниқланади:

$$U_{12} = \frac{\omega_1}{\omega_2} = - \frac{\overline{OI}}{\overline{O2}},$$

$$U_{23} = \frac{\omega_2}{\omega_3} = - \frac{\overline{O2}}{\overline{O3}},$$

$$U_{13} = \frac{\omega_1}{\omega_3} = \frac{\overline{OI}}{\overline{O3}}.$$

2. Тишли планетар механизм (50-шакл, б). Берилган фидирек 1 даги  $A$  нуқтанинг тезлик вектори  $v_A$  ни иктиёрий танланган  $r_A$  кесма билан чизамиз.  $a$  нуқтани  $O_1$  нуқта билан бирлаштириб, фидирек 1 нинг тезлик тасвири  $O_1a$  ни ҳосил қиласиз. Фидирек қўзғалмас бўлгани учун ундаги  $B$  нуқтанинг тезлиги нолга тенг бўлади. У ҳолда, фидирек 2' даги  $B$  нуқтанинг тезлиги ҳам нолга тенг бўлади. Фидирек 2' фидирек 2 билан битта звенони — сателлитни ҳосил қиласди. Фидирек 2 даги  $A$  нуқтанинг тезлиги фидирек 1 нинг тезлиги  $v_A$ , га тенг бўлади. Шунинг учун  $a$  нуқтани  $b$  билан тугаштириб, сателлитнинг тезлик тасвирини оламиз. Сателлитнинг  $O_2$  ўқига  $H$  водило улангани учун водилонинг тезлиги  $\bar{O}_2c$  кесма билан кўрсатилади.  $c$  нуқтани водилонинг  $O_H$  маркази билан туташтириб, водилонинг чизифий тезлик қонунининг ўзгариш чизмасини оламиз. Бурчагий тезликларнинг ўзгаришини аниқлаш учун нуқтадан  $O_1a$ ,  $O_Hc$ ,  $ab$  чизиқларга параллел нурлар ўтказиб,  $MN$  чизиқда 1,  $H$ , 2(2') нуқталарни белгилаймиз.

Механизмнинг узатиш нисбати

$$U_{1H} = \frac{\overline{OI}}{\overline{OH}}$$

бўлади.

### VIII. КУЛАЧОКЛИ МЕХАНИЗМ ЛОЙИҲАЛАШ

Кулачокли механизмлар етакланувчи звенони (туртгични) бир вазиятдан иккинчи вазиятга силжитиш ёки буриш учун хизмат қиласди. Улар универсал бўлиб, тургичнинг олдиндан белгилangan ҳаракат қонунини бажара олади.

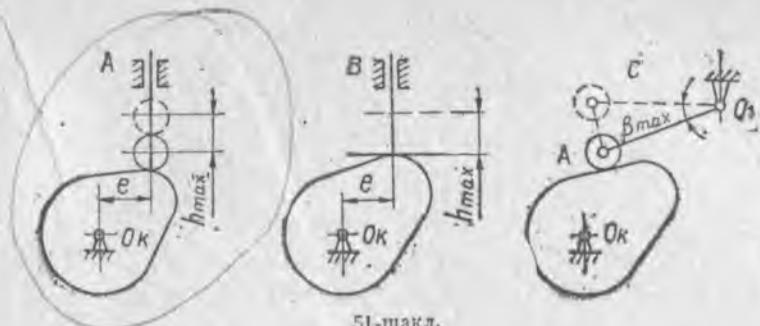
Улар техниканинг кўпгина тармоқларида: метал кесиш станокларида, автоматларда, ўлашиб ва ҳисоблаш приборларида, буф машиналарида ва ички ёнувдвигателларида кенг кўламда ишлатилади.

Кулачокли механизм лойиҳалашдан кўзда тутилган асосий мақсад етакланувчи звенонинг исталган, олдиндан берилган ҳаракат қонуни бажарувчи кулачок профилини ясаш, фойдали иш коэффициенти юқори ва габарити кичик механизм олишдан иборат.

Лойиҳалаш топшириғида қўйидаги уч тип кулачокли механизм схемаси тавсия этилади (51-шакл).

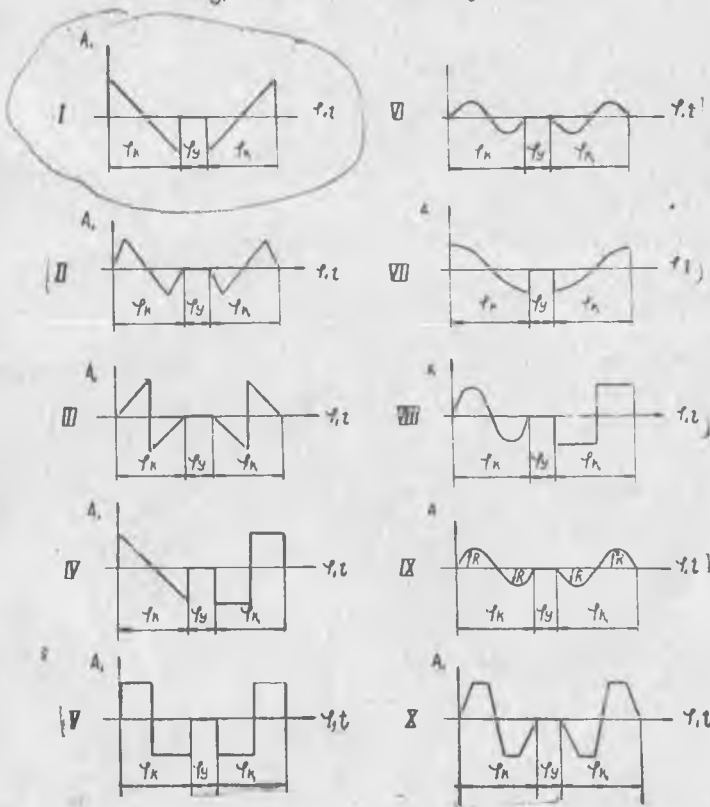
А схема — тўғри чизиқ бўйлаб илгарилама-қайтар ҳаракат қилувчи роликли турткичи бўлган кулачокли механизм.

В схема — тўғри чизиқ бўйлаб илгарилама-қайтар ҳаракат қилувчи текис тарелкали туртгичи бўлган кулачокли механизм.



51-шакл.

### Гүрткүчтүнгө хабарлам көйгүнү



52-шакл.

С схема — тебранма (бурилма) ҳаракатланувчи, роликли, коромислоли туртгичи бўлган кулачокли механизм.

Кулачокли механизм лойиҳалаш учун қўйидаги параметрлар маълум бўлиши керак.

1. Туртгичнинг ҳаракат қонуни (52-шакл):

$$\frac{d^2S}{d\varphi^2} = \frac{d^2S}{d\varphi^2} (\varphi) \quad \text{ёки} \quad \frac{d^2\beta}{d\varphi^2} = \frac{d^2\beta}{d\varphi^2} (\varphi).$$

Биз туртгичнинг ҳаракат қонуни тўғри бурчакли диаграмма бўйича ўзгаради деб қабул қиласиз.

2. Кулачокнинг бурилиш бурчаклари: туртгичнинг кутарилиш бурчаги  $\varphi_k = 60^\circ$ , туртгичнинг узоқлашган вазиятда туриш бурчаги  $\varphi_y = 20^\circ$ , туртгичнинг қайтиш бурчаги  $\varphi_k = 60^\circ$ , туртгичнинг яқинлашган вазиятда туриш бурчаги  $\varphi_y = 220^\circ$ .

3. Кулачокнинг айланишлар сони  $n_k = 100$  айл/мин.

4. Туртгичнинг максимал силжиши  $h_{\max} = 0,035$  м.

5. Эксцентриситет қиймати  $e = 0,015$  м.

6. Босим бурчаги  $\alpha = 30^\circ$ .

7. А схема берилган механизм, яъни тўғри чизиқ бўйлаб илгарилама-қайтар ҳаракат қилувчи роликли турткичи бўлган кулачокли механизм лойиҳалаш талаб қилинади (51-шакл, А).

### ЛОЙИҲАЛАШ ТАРТИБИ

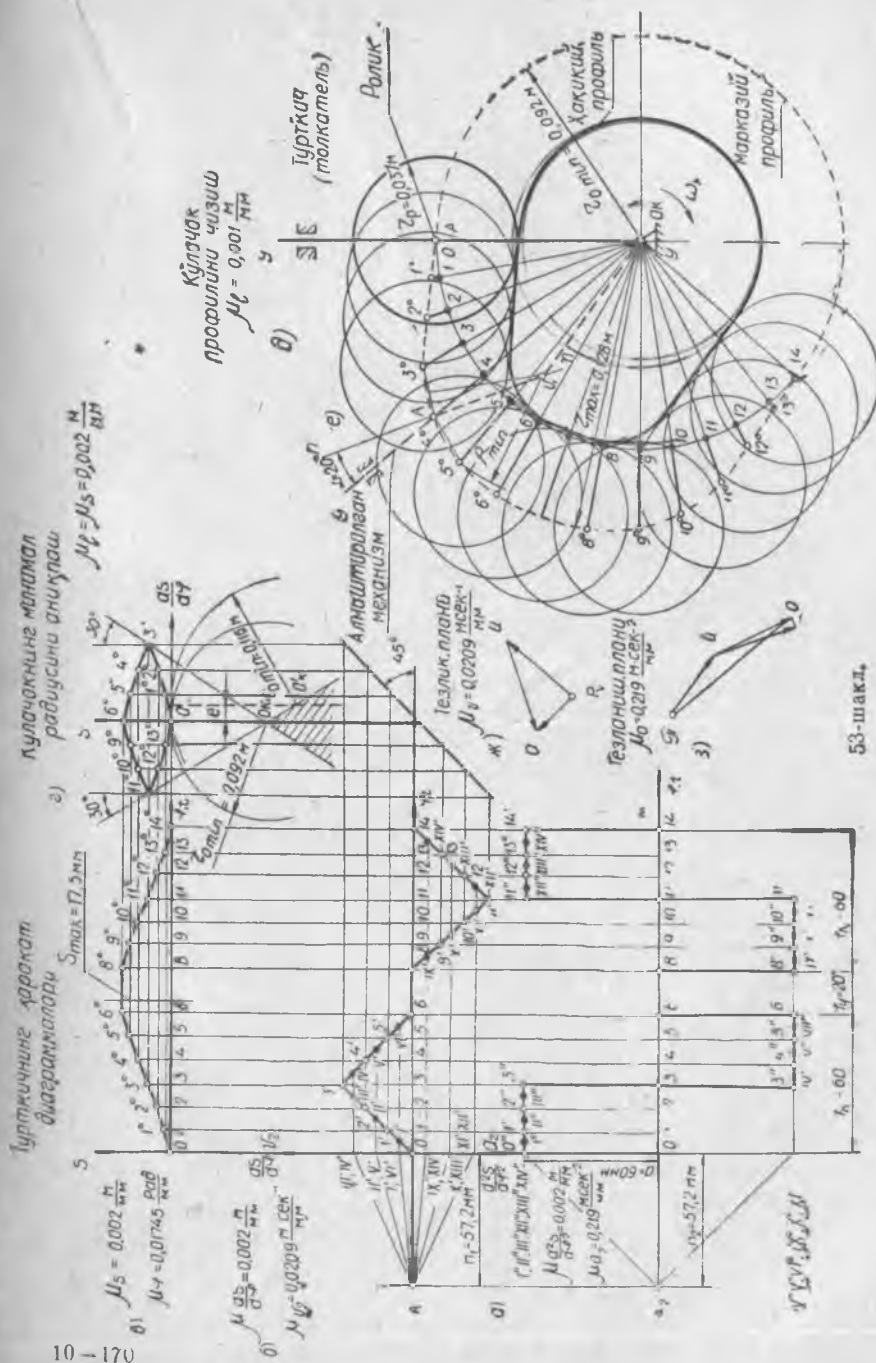
Берилган турткич ҳаракат қонунининг диаграммаси чизилади. Бунинг учун  $\frac{d^2S}{d\varphi^2} = \frac{dS}{d\varphi^2} (\varphi)$  координаталар системасини олиб, абсциссалар ўқини чизамиз ва унга  $\overline{OM} = 140$  мм кесмани белгилаймиз (53-шакл, а).

Абсциссалар ўқининг  $\varphi$  бурчак масштабини қўйидаги фор-муладан аниқлаймиз:

$$\mu_\varphi = \frac{\frac{\varphi_p^0}{OM}}{OM} = \frac{\frac{\pi}{180^\circ} (\varphi_k^0 + \varphi_y^0 + \varphi_k)}{OM} = \frac{3,14 (60^\circ + 20^\circ + 60^\circ)}{180^\circ \cdot 140} = 0,001745 \frac{\text{рад}}{\text{мм}},$$

бу ерда  $\varphi_p^0$  — кулачокнинг бурилиш бурчаги.

Ординаталар ўқига турткичнинг ихтиёрий  $\mu_{d^2\varphi}$  масштабда берилган ҳаракат қонуни диаграммасини чизамиз, бунда кулачокнинг бурилиш бурчаги  $\varphi_k$  қисмидаги ордината баландлигини ихтиёрий  $a = 60$  мм кесма билан белгилаймиз.  $\varphi_k = 60^\circ$  ли абсциссалар ўқини тенг икки қисмга бўлиб, бу ўқининг юкори ва остки қисмida тўғри тўрт бурчакли бир хил шакллар чизамиз. (53-шакл, а) бунда турткичнинг кўтарилиш вазиятига тааллуқли диаграмма ҳосил бўлади.



Сүнгра абсциссалар ўқининг давомида масштабда  $\varphi_y^0 = 20^\circ$  нинг кесма узунлигини белгилаймиз.

Берилган шартга кўра  $\varphi_k = \varphi$  бўлгани учун  $\varphi_k = 60^\circ$  кесмани  $\varphi_k$  бурчакка симметрик қилиб, тенг ва ўхшааш тўғри тўртбурчаклик шаклларни чизамиз.

Графикавий интеграллаш усууларининг биридан фойдаланиб, чизилган  $\frac{d^2S}{d\varphi^2} = \frac{d^2S}{d\varphi^2}(\varphi)$  диаграммани интеграллаймиз. Ватар ўтказиш усулини татбиқ этиб,  $\frac{d^2S}{d\varphi^2} = \frac{d^2S}{d\varphi^2}(\varphi)$  графикни бир марта интеграллаймиз-да,  $\frac{dS}{d\varphi} = \frac{dS}{d\varphi}(\varphi)$  нинг диаграммаси ҳосил қиласиз.

Бунинг учун абсциссалар ўқидаги  $\varphi_k = 60^\circ$  кесмани  $10^\circ = 10$  мм деб олиб, бир-бирига тенг олтига кесмага бўламиз. Булинган кесмаларнинг абсциссалар ўқидаги  $0, 1, 2, 3, \dots$  нуқталаридан вертикал чизиқлар ўтказамиз-да, берилган графикда булиш нуқталари  $0'', 1'', 2'', 3'', \dots$  ни ҳосил қиласиз.  $\frac{d^2S}{d\varphi^2} = \frac{d^2S}{d\varphi^2}(\varphi)$  графикининг юқори қисмида  $\frac{dS}{d\varphi} = \frac{dS}{d\varphi}(\varphi)$  графикни янги координаталар системасини чизамиз.  $\frac{d^2S}{d\varphi^2} = \frac{d^2S}{d\varphi^2}(\varphi)$  диаграммасидаги вертикал чизиқларни юқори томонга давом эттириб, оғ абсциссалар ўқини  $0-1, 1-2, 2-3, \dots$  тенг кесмаларга бўламиз (53-шакл, б)  $\frac{d^2S}{d\varphi^2} = \frac{d^2S}{d\varphi^2}(\varphi)$  ва  $\frac{dS}{d\varphi} = \frac{dS}{d\varphi}(\varphi)$  диаграммаларининг ордината ўқларини бир хил ва тенг масштабда чизиш учун  $\frac{d^2S}{d\varphi^2} = \frac{d^2S}{d\varphi^2}(\varphi)$  диаграммасининг чап томонидаги қутб оралиғи қўйидагича бўлиши керак:

$$H_2 = \frac{1}{\mu\varphi} = \frac{1}{\pi/180^\circ} = 57,2 \text{ мм.}$$

Абсциссалар ўқининг чап томонида  $\overline{OA}_2 = H_2 = 57,2$  мм кесмани чизиб,  $A_2$  нуқтани белгилаймиз.

Шундан кейин  $0''-1'', 1''-2'', 2''-3'', \dots$  ва ҳоказо чизиқларининг ҳар бири ўртасидаги  $I'', II'', III'', \dots$  нуқталарни  $\frac{d^2S}{d\varphi^2}$  ординатадар ўқига кўчирамиз.

Ординаталар ўқидаги  $I'', II'', III'', \dots$  нуқталарни  $A_2$  қутб билан туташтириб,  $A_2-I'', A_2-II'', A_2-III'', \dots$  нурларни ўтказамиз. Сўнгра  $\frac{dS}{d\varphi} = \frac{dS}{d\varphi}(\varphi)$  диаграммасининг О нуқтасидан  $A_2-1''$  нурга параллел қилиб  $0-1$  қисмнинг биринчи вертикал чизиги билан учрашгунча чизиқ ўтказиб,  $I'$  нуқтани белги-

(53-шакл, б).

$\frac{dS}{d\varphi}$  ординатадаги вертикаль чизиқнинг  $I'$  нүктасидан  $A_2 - II'$ , нур чизигига параллел чизик ўтказиб, иккинчи вертикаль чизиқда  $2'$  нүктани оламиз. Диаграмманиң қолган қисмлари ҳам худди шу тарзда чизилади. Белгиланган  $0', 1', 2', 3', \dots$  нүкталарни бирлаштириб графикавий интегралланган  $\frac{dS}{d\varphi} = \frac{ds}{d\varphi} (\varphi)$  диаграммасини ҳосил қиласиз.

Шуниндек,  $\frac{dS}{d\varphi} = \frac{ds}{d\varphi} (\varphi)$  диаграммани яна бир марта графикавий интеграллаб,  $S = S(\varphi)$  силжиш диаграммасини чизамиз (53-шакл, в). Шунда  $S$  ва  $\frac{dS}{d\varphi}$  ордината масштаблари тенг булиши учун  $H_1 = \overline{OA_1} = 57,2 \text{ мм}$  қилиб олиш керак.

Сўнгра  $S = S(\varphi)$  ва  $\frac{dS}{d\varphi} = \frac{ds}{d\varphi} (\varphi)$  диаграммалари ордината ўқларининг масштаб коэффициентлари  $\mu_S$ ,  $\mu_{\frac{dS}{d\varphi}}$ ,  $\mu_{\frac{ds}{d\varphi}}$  ни ҳисоблаб топамиз.

## 2. ДИАГРАММА МАСШТАБЛАРИНИ АНИҚЛАШ

Турткич силжиш диаграммаси ордината ўқининг масштаби қўйидаги формуладан аниқланади:

$$\mu_S = \frac{h_{\max}}{S_{\max}} = \frac{0,035}{17,5} = 0,002 \frac{\text{м}}{\text{мм}},$$

бу ерда  $S_{\max}$  — силжиш диаграммаси ординатасининг максимал қиймати, мм.

Тезлик аналогининг ордината масштаби:

$$\mu_{\frac{dS}{d\varphi}} = \frac{\mu_S}{H_1 \cdot \mu_\varphi} = \frac{\mu_S}{\frac{1}{\mu_\varphi} \cdot \mu_\varphi} = \mu_S = 0,002 \frac{\text{м}}{\text{мм}}.$$

Тезланиш аналогининг ордината масштаби:

$$\mu_{\frac{ds}{d\varphi}} = \frac{\mu_{ds}}{\frac{d\varphi}{d\varphi}} = \frac{\mu_{ds}}{\frac{1}{\mu_\varphi} \cdot \mu_\varphi} = \mu_{ds} = \mu_S = 0,002 \frac{\text{м}}{\text{мм}}.$$

Шундан кейин ординаталар ўқининг чизигий тезлиги ва уринма тезланиши масштаби  $\mu_g$  ни аниқлаймиз. Назарий механика курсидан маълумки, йўлнинг бурилиш бурчаги бўйича биринчи ҳосиласи чизигий тезлик ординатасига пропорционал бўлади, яъни:

$$v_2 = \frac{ds}{dt} = \frac{ds \cdot d\varphi}{dt \cdot d\varphi} = \omega \kappa \frac{ds}{d\varphi},$$

бундан

$$\frac{ds}{d\varphi} = \frac{v_2}{\omega_k}$$

келиб чиқади. Демак, чизигий тезликнинг ордината масштаби

$$\mu_{a_s} = \omega_k \cdot \mu_{\frac{ds}{d\varphi}} = 10,46 \cdot 0,002 = 0,209 \frac{\text{м/сек}}{\text{мм}}$$

булади, бу ерда  $\omega_k = \frac{\pi n_k}{30} = \frac{3,14 \cdot 100}{30} = 10,46 \frac{\text{рад}}{\text{сек}}$  — кулачокнинг бурчагий тезлиги.

Чизигий тезланишнинг ордината масштаби қўйидагича аниқланади.

$$\mu_a = \omega_k^2 \cdot \mu_{\frac{ds}{d\varphi}} = 10,46^2 \cdot 0,002 = 0,219 \frac{\text{м/сек}^2}{\text{мм}}.$$

### 3. КУЛАЧОКНИНГ МИНИМАЛ РАДИУСИНИ АНИҚЛАШ

Графикавий усулда  $S = S(\varphi)$  ва  $\frac{ds}{d\varphi} = \frac{ds}{d\varphi}(\varphi)$  ларнинг диаграммаларида ўзгарувчи  $\varphi$  бурчакни йўқотиб,  $S = S\left(\frac{ds}{d\varphi}\right)$  диаграммасини чизамиз (53-шакл, 2). Бунинг учун  $S = S\left(\frac{ds}{d\varphi}\right)$  нинг тўғри бурчакли координаталар системасини чизиб, унинг ординаталар ўқига турткичнинг салжилиши  $S$  ни ва абсциссалар ўқига тезлик аналоги  $\frac{ds}{d\varphi}$  ни қўйиб. Бунда  $\frac{ds}{d\varphi} = \frac{ds}{d\varphi}(\varphi)$  диаграммасининг қутбий оралиги  $H$  даги 2 исоблашда тезлик масштаби  $\mu_{\frac{ds}{d\varphi}}$  ни салжиш масштаби  $\mu_{\frac{ds}{d\varphi}}$ га тенг қилиб олиш керак.

Салжиш  $S = S(\varphi)$  диаграммасидаги  $\overline{1-1}$ ,  $\overline{2-2}$ ,  $\overline{3-3}$ , ... абсцисса бўлинмаларига тегишли  $S$  ордината қийматларини горизонтал чизиқлар билан  $S = S\left(\frac{ds}{d\varphi}\right)$  диаграммасига кўчирамиз. Шу бўлинмаларга тегишли тезлик аналоги бўлган  $\frac{ds}{d\varphi} = \frac{ds}{d\varphi}(\varphi)$  нинг диаграммасидан  $1-1'$ ,  $2-2'$ ,  $3-3'$  ... ординаталарини ёрдамчи чизма воситасида  $45^\circ$  га буриб (53-шакл, 2), янги диаграмманинг  $\frac{ds}{d\varphi}$  абсциссалари ўқига кўчирамиз. Белгиланган  $1^\circ$ ,  $2^\circ$ ,  $3^\circ$ , ... нуқталар силлиқ чизиқ билан бирлаширилади. Ҳосил бўлган эгри чизиқнинг чап ва ўнг томонларига берилган босим бурчаги  $\alpha = 30^\circ$  бўйича уриммалар ўтказамиш.

Графикнинг  $OS$  ординаталар ўқининг лавомида кесишув нуқтаси  $O_k$  ни аниқлаймиз. Бу уринма чизиқлар билан чегараланган юза (штрихланган қисм) кулачокнинг айланиш марказини геометрик ўринларни билдиради. Кулачокнинг айланиш маркази  $O_k$  ни оламиз.  $O_k$  нуқтани  $S = S\left(\frac{ds}{a\varphi}\right)$  диаграммасининг координаталар боши 0 билан бирлаштириб, аксиал кулачокнинг минимал радиусини кўрсатувчи кесмани оламиз. У ҳолда,  $r_{omln} = \overline{O_k O} \cdot \mu_s = 46 \cdot 0,002 = 0,092$  м бўлади. Агар турткичнинг силжиш чизиги йўналиши кулачокнинг айланиш маркази  $O_k$  дан  $e$  оралиқда ўтса, кулачокнинг минимал радиуси қўйидагича аниқланади. Эксцентриситет  $e$  нинг  $\mu_e$  масштабдаги қиймати қўйидагича аниқланади:

$$\bar{e} = \frac{e}{\mu_s} = \frac{0,015}{0,002} = 7,5 \text{ мм.}$$

Бу кесмани кулачокнинг айланиши бўйича  $OS$  тўғри чизиқнинг ўнг томонида пунктир тўғри чизик билан белгилаймиз. Уни уринма чизик билан кесишгунча давом этириб, дезаксиал кулачокнинг маркази  $O'_k$  ни аниқлаймиз. Кулачокнинг минимал радиуси

$$r'_{min} = \overline{O'_k O} \cdot \mu_s = 58 \cdot 0,002 = 0,116 \text{ м}$$

булади.

#### 4. ИЛГАРИЛАМА-ҚАЙТАР ҲАРАКАТЛАНУВЧИ РОЛИКЛИ ТУРТКИЧИ БЎЛГАН МАРКАЗИЙ КУЛАЧОКЛИ МЕХАНИЗМ ЛОЙИХАЛАШ

Агар  $e = 0$  бўлса, марказий (аксиал) кулачок профили чизилади. Механизмни „қайтариш“ усулини татбиқ этиб, кулачок профилини чизамиз.

1. Чизмада иҳтиёрий нуқтада кулачокнинг айланиш маркази  $O_k$  ни танлаймиз.

2. Узунлик масштаби  $\mu_l = 0,001 \text{ м}/\text{мм}$  бўйича кулачок радиусини ҳисоблаймиз:

$$\bar{r}_{omln} = \frac{r_{omln}}{\mu_e} = \frac{0,092}{0,001} = 92 \text{ мм.}$$

Бу радиус билан айлана чизамиз (53-шакл,  $\vartheta$ ). Бу ерда кулачок профилининг узунилк масштаби  $\mu_l$  силжиш графигининг масштаби  $\mu_s$  га teng эмас. Шунинг учун пропорционаллик коэффициенти  $K$  ҳисобга олиниади:

$$\mu_l = K \cdot \mu_s = \frac{1}{2} \cdot 0,002 = 0,001 \frac{\text{м}}{\text{мм}}.$$

Пропорционаллик коэффициенти  $K \leq 1$  бўлиши мумкин.

3. Кулачокнинг маркази  $O_k$  дан вертикал у — у чизиқ ўтказамиз. Кулачок марказига роликнинг яқин туриш пайтида турткичнинг вазиятини белгилаймиз. Шунда роликнинг маркази  $A$  кулачокнинг назарий минимал радиуси  $r_{\text{omin}}$  билан ўтказилган айланасида ётади. Бу вазият турткичнинг кутарилиш пайти булади.

4. Кулачокнинг айланниш томонига тескари йұналишда бошланғич радиус  $O_k A$  дан кетма-кет  $\varphi_k = 60^\circ$ ,  $\varphi_y = 20^\circ$ ,  $\varphi_x = 60^\circ$  бурчакларини белгилаймиз. Бу бурчакларнинг ҳар бирини силжиш  $S = S(\varphi)$  диаграммасининг бўлинмаларига мос равища худди ўшанча қисмга бўламиз. Бизнинг мисолимизда  $\varphi_k$  ва  $\varphi_x$  бурчакларнинг ҳар бири б қисмга бўлинган.

5. Бўлинган қисмларни  $r_{\text{omin}}$  радиусли айланана билан кесишув нуқталари  $1, 2, 3$  ва ҳоказодан радиал  $O_k 1, O_k 2, O_k 3, \dots$  нурлар ўтказамиз.

6. Кулачокнинг  $r_{\text{omin}}$  радиус билан чизилган айланасидан ўтган нур чизиқларнинг давомида турткичнинг  $S = S(\varphi)$  диаграммасидаги силжиш қийматлари  $1 - 1^\circ, 2 - 2^\circ, 3 - 3^\circ, \dots$  ни белгилаймиз.

7. Белгиланган  $1^\circ, 2^\circ, 3^\circ, 4^\circ, \dots$  нуқталарни силлиқ чизиқ билан бирлаштириб, кулачокнинг профилини чизамиз. Кулачокнинг  $\varphi_y = 20^\circ$  ва  $\varphi_x = 220^\circ$  бурчакларида  $O_k$  марказдан  $r_{\text{max}} = 128$  мм ва  $r_{\text{omin}} = 92$  мм радиуслар билан айланана ёйлари чизилади.

## 5. МАРКАЗИЙ БЎЛМАГАН РОЛИКЛИ КУЛАЧОКЛИ МЕХАНИЗМ ЛОЙИҲАЛАШ

Кулачок лойиҳалаш тартиби қуйидагича.

1. Кулачокнинг айланниш маркази  $O_k$  нуқтадан  $\mu_l = \mu_s = 0,002 \frac{\text{м}}{\text{мм}}$  масштабда

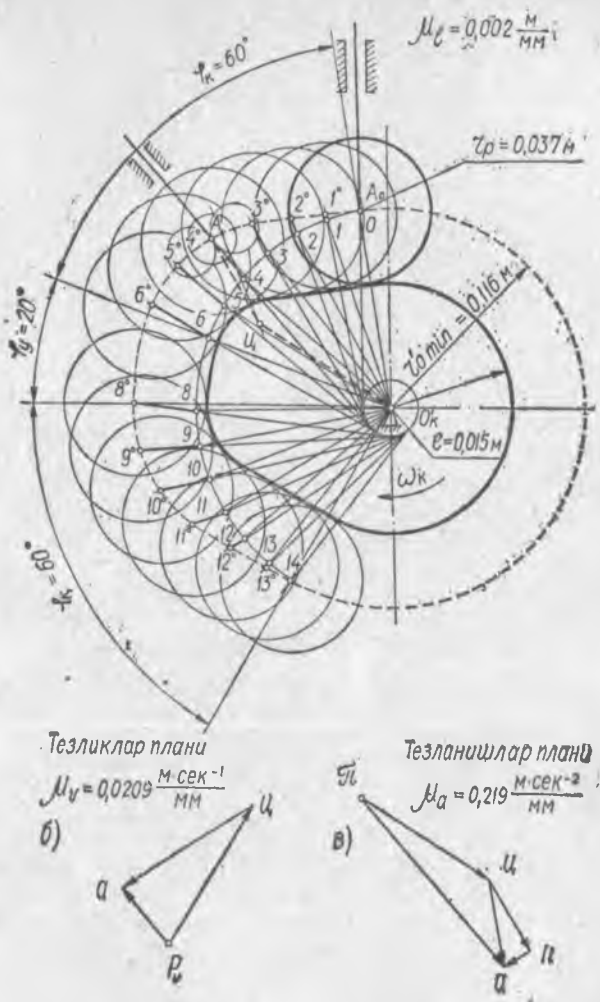
$$r_{\text{omin}} = \frac{r_{\text{omin}}}{\mu_l} = \frac{0,116}{0,002} = 58 \text{ мм.}$$

$$\bar{e} = \frac{e}{\mu_l} = \frac{0,015}{0,002} = 7,5 \text{ мм}$$

радиуслар билан айланалар чизамиз (54-шакл, а).

2. Турткичнинг ҳаракат йұналиши буйича ё радиус билан чизилган айланага уринмалар ўтказамиз. Ўқазилган бу уринмалар билан  $r_{\text{omin}}$  радиусли айлананинг кесишув нуқтаси  $A_0$  турткичнинг кутарила бошлаш вазияти булади.

3.  $A_0$  нуқтани кулачок маркази  $O_k$  билан туташтирамиз ва  $O_k A_0$  чизиқдан кулачокнинг айланниш томонига қарама-қарши



54-шакл (а, б, с).

Йұналишда  $\varphi_k = 60^\circ$ ,  $\varphi_y = 20^\circ$  ва  $\varphi_x = 60^\circ$  бурчакларни белгилаймиз.

4. Бу  $\varphi_k$ ,  $\varphi_y$ ,  $\varphi_x$  бурчакларни  $S = S(\varphi)$  диаграммасида бүлинганса қисмларга мос қисмларға булып,  $r'_{0\min}$  радиуслы айланада 1, 2, 3, ... нүкталарни белгилаймиз.

5. Белгиланған 1, 2, 3, ... нүкталардан  $\rho$  радиуслы айланада уринмалар үтказамиз. Бу уринмаларға  $r'_{0\max}$  радиуслы айла-

на лавомида силжиши  $S = S(\varphi)$  диаграммасидаги  $11^\circ$ ,  $22^\circ$ ,  $33^\circ$ , ... кесмаларни күчирәмиз.

6. Белгиланган  $1^\circ$ ,  $2^\circ$ ,  $3^\circ$ ... нүкталарни силлиқ чизиқ билан бирлаштириб, кулачокнинг марказий (назарий) профилини ҳосил қиласиз.

7. Кулачокнинг бурилиш бурчаклари  $\varphi_y = 20^\circ$  ва  $\varphi_x = 220^\circ$  учун

$$\bar{r}'_{\max} = \frac{r_{\max}}{\mu_e} = \frac{0,153}{0,002} = 76,5 \text{ мм.}$$

$$\bar{r}'_{\min} = \frac{r'_{\min}}{\mu_l} = \frac{0,116}{0,002} = 58 \text{ мм}$$

радиуслар билан ёйлар чизилади.

## 6. ТУРТКИЧ РОЛИГИНИНГ РАДИУСИНИ АНИҚЛАШ

Кулачок профилининг ейилишини ва олий кинематикавий жуфтнинг ишқаланишини камайтириш учун етакланувчи звеноға ролик үрнатилади.

Роликнинг ўлчамлари кулачок ясашда, унинг профил чи-зиқларининг үзаро кесишмаслик шарти ва бошқа шартларга биноан  $r_p \leq (0,7 \dots 0,8) r_{\min}$  ва  $r_p \leq (0,4 \dots 0,5) r_{\max}$  қилиб олинади (бу ерда  $r_{\min}$  – кулачок марказий профилининг минимал эгрилик радиуси). Бу икки ифода ёрдамида роликнинг радиусини ҳисоблаб топамиз. Унинг кичик қиймати қабул қилинади. Кулачок профилининг минимал эгрилик радиусини аниқлаш учун кулачок марказий профилининг эгрилик радиуси энг кичик бўлган қисми танланади. Шу қисм минимал радиусининг маркази топилади.

Бунинг учун эгрилик радиуси қидирилаётган профил нүктаси профилнинг шу нүктага яқин ўнг ва чап нүкталари билан туташтириб, ёйнинг ватари ўтказилади. Сўнгра ватарлар ўтрасидан тик чизиқлар ўтказилиб, уларнинг кесишув нүктаси белгиланади (53-шакл, д). Ана шу нүкта эгрилик радиусининг маркази бўлади.

Аксиял кулачокли механизмлар роликларининг радиусини қўйидагича ҳисоблаб топилади:

$$r_p = 0,8 \cdot r_{\min} \cdot \mu_l = 0,8 \cdot 50 \cdot 0,001 = 0,040 \text{ м,}$$

$$r_p = 0,4 \cdot r_{\max} = 0,4 \cdot 0,092 = 0,037 \text{ м}$$

ҳисоблаб топилган бу радиусларнинг энг кичиги, яъни  $r_p = 0,037 \text{ м}$  қабул қилинади.

## 7. ҲАҚИҚИЙ КУЛАЧОК ПРОФИЛИНИ ЧИЗИШ

Кулачокнинг марказий профили буйича роликнинг марказини аниқлаб,

$$\bar{r}_p = \frac{r_p}{\mu_l} = \frac{0,037}{0,001} = 37 \text{ мм}$$

радиусли бир неча айланы чизилади ва бу айланаларнинг чекка нуқталари туташтирилиб, кулачокнинг ҳақиқий профили ҳосил қилинади.

## 8. АЛМАШТИРИЛГАН МЕХАНИЗМ ЧИЗИШ ВА ТУРТКИЧНИНГ ТЕЗЛИК ВА ТЕЗЛАНИШИНИ АНИҚЛАШ

Олий кинематикавий жуфтли механизмларни кинематикавий анализ қилишда ҳисоблаш усулини соддалаштириш мақсадида, кўпинча, уләрнинг оний вазияти шартли механизмга алмаштирилади.

Кулачок профилида турткичнинг вазиятига қараб, алмаштирилган механизмнинг узунлик ўлчамлари ўзгаради.

Бунинг учун кулачокли механизмнинг берилган вазияти учун унинг олий кинематикавий жуфти қуи кинематикавий жуфтга алмаштирилиб, фақат қуи кинематикавий жуфтли ричагли механизм чизилади.

Олий кинематикавий жуфт қуи кинематикавий жуфтга алмаштирилганда янги механизмнинг қўзғалувчанлик даражаси ўзгармаслиги керак.

Бунда олий кинематикавий жуфт иккита айланма ёки айланма ва илгарилама қуи кинематикавий жуфтли битта шартли звенога алмаштирилади.

Алмаштириш тартиби қуйидагича бўлади.

Звеноларнинг олий кинематикавий жуфтларининг уриниш нуқтасидан уларнинг профилига нормал чизиқлар ўтказилади. Бу чизиқларда ҳар бир звено эгрилик радиусининг маркази топилади. Профилнинг эгрилик радиуси марказига айланма кинематикавий жуфт (шарнир) жойлаштирилади. Агар эгрилик радиусининг маркази чексизликда ётса, яъни звено профили тўғри чизиқ бўлса, у ҳолда, профилнинг уриниш нуқтасига илгарилама кинематикавий жуфт ўрнатилади. Сунгра аниқланган кинематикавий жуфтлар чизиқ билан бирлаштирилиб, қўшимча звено олинади-да, у олдинги звенолар билан бирлаштирилади.

Алмаштирилган механизм кулачокли механизмнинг чизмасида штрих чизиқлар билан кўрсатилган (53 ва 54-шаклларда *e*, *a*).

Кулачок ва роликдан иборат механизмнинг олий кинематикавий жуфтини унга эквивалент бўлган қуи кинематикавий жуфтли механизм билан алмаштирамиз. Кулачок профилларининг уриниш нуқталарининг эгрилик марказларини аниқлаймиз. Роликнинг профили айланга бўлгани учун унинг эгрилик маркази айланиш ўки *A* да жойлашган бўлади. Кулачокнинг профили эгри чизиқ бўлгани учун унинг уриниш нуқталари-

нинг эгрилик марказларини аниқлаймиз. Роликнинг профилийлана бўлгани учун, унинг эгрилик маркази айланиш ўқида ётади. Кулачокнинг профили эгри чизиқ бўлгани учун унинг уриниш нуқтаси  $A_4$  дан профилга нормал  $n - n$  чизиқ ўтказамиз ва унда эгрилик маркази  $\bar{C}$  нуқтани белгилаймиз.  $A_4$  ва  $\bar{C}$  нуқталарни штрих тўғри чизиқ билан бирлаштириб, янги қўшимча звенони ҳосил қиласиз.

Алмаштирилган механизм кривошип-ползунли механизмдир.

Алмаштирилган механизм учун тезликлар планини чизамиш (53-шакл, жс). Кулачокдаги  $\bar{C}$  нуқтанинг тезлиги қўйидагича бўлади:

$$v_u = O_k \bar{C} \cdot \omega_k = \overline{O_k \bar{C}} \cdot \mu_l \cdot \omega_k = 74 \cdot 0,001 \cdot 10,46 = 0,774 \frac{\text{м}}{\text{сек}},$$

бу ерда  $\overline{O_k \bar{C}}$  — схемадаги  $O_k$  ва  $\bar{C}$  нуқталар оралифи, мм.

Кулачокдаги  $\bar{C}$  нуқтанинг  $v_u$  тезлик вектори радиус  $O_k \bar{C}$  га тик ва кулачокнинг айланиш томонига йўналган. Уни чизиш учун тезлик масштабини  $\mu_v$  ни тезлик  $\frac{ds}{d\varphi} = \frac{ds}{d\varphi} (\varphi)$  диаграммасининг (53-шакл, б) масштаб  $\mu_v$ , га тенг қилиб оламиз:

$$\mu_v = \mu_{v_2} = 0,0209 \frac{\text{м/сек}}{\text{мм}}.$$

У ҳолда,  $A$  нуқта тезлиги векторининг кесма узунлиги

$$\overline{p\bar{C}} = \frac{v_u}{\mu_v} = \frac{0,774}{0,0209} = 37 \text{ мм}$$

бўлади.

Турткичнинг  $A$  нуқтаси тезлигини аниқлаш учун унинг векторий тенгламасини тузамиз:

$$\vec{v}_A = \vec{v}_{\bar{C}} + \vec{v}_{A\bar{C}},$$

$$\vec{v}_A = \vec{v}_y + \vec{v}_{Ay},$$

бу ерда

$$v_{A\bar{C}} \perp A\bar{C}, v_y = 0, v_{Ay} \parallel y - y$$

бўлади. Тезликларнинг қутбий планини чизиб, турткичнинг  $A$  нуқтаси тезлигини аниқлаймиз (53-шакл, жс):

$$v_A = \overline{P_v a} \cdot \mu_v = 21 \cdot 0,0209 = 0,44 \frac{\text{м}}{\text{сек}}$$

**Тезлик**  $\frac{ds}{d\varphi} = \frac{ds}{d\varphi} (\varphi)$  диаграммасидан турткичнинг шу вазиятда-ги тезлигини аниқлаймиз:

$$v_A^o = 44' \mu_v = 20 \cdot 0,0209 = 0,42 \frac{\text{м}}{\text{сек}}$$

Тезликлар фарқини ҳисоблаб топамиз:

$$\Delta v = \frac{v_A - v_A^0}{v_A} \cdot 100\% = \frac{0.44 - 0.42}{0.44} \cdot 100\% = 4,55\%$$

## 9. АЛМАШТИРИЛГАН МЕХАНИЗМНИНГ ТЕЗЛАНИШЛАРИНИ АНИҚЛАШ

Кулачок ўзгармас тезлик  $\omega_k = \text{const}$  билан айлангани учун, унинг бурчагий тезланиши  $\epsilon$  ҳам, уринма чизирий тезланиши  $a^\tau$  ҳам нолга тенг. У ҳолда кулачокдаги  $C$  нүктанинг тезланиши қўйидагича бўлади:

$$a_{\text{ц}} = a_{\text{цо}_k}^n = O_k C \cdot \omega_k^2 = \overline{O_k} C \cdot \mu_l \cdot \omega_k^2 = 74 \cdot 0,001 \cdot 10,46^2 = 8,1 \frac{\text{м}}{\text{сек}^2}.$$

Тезланишлар планини чизиш учун тезланиш масштаби  $\mu_a$  тезланишлар  $\frac{d^2 s}{d\varphi^2} = \frac{d^2 s}{d\varphi^2} (\varphi)$  диаграммасининг масштаби  $\mu_a$ , га тенг қилиб оламиз:

$$\mu_a = \mu_{a_k} = 0,219 \frac{\text{м}}{\text{мм} \cdot \text{сек}^2}.$$

Кулачокдаги  $C$  нүктанинг тезланиш вектори кесмасининг узунлигини аниқлаймиз:

$$\overline{\pi} = \frac{a_{\text{ц}}}{\mu_a} = \frac{8,1}{0,219} = 37 \text{ мм.}$$

Тезланишлар плани чизиш учун тезланишларнинг вектори  $\overline{\pi}$  тенгламасини тузамиз:

$$\overrightarrow{a}_a = \overrightarrow{a}_{\text{ц}} + \overrightarrow{a}_{\text{цц}}^n + \overrightarrow{a}_{\text{цц}}^\tau, \quad (141)$$

$$\overrightarrow{a}_A = \overrightarrow{a}_y + \overrightarrow{a}_{Ay}^n + \overrightarrow{a}_{Ay}^\tau. \quad (142)$$

Йўналтиргич қузғалмас бўлгани учун  $a_y = 0$ ,  $a_{Ay}^\tau = 0$  бўлади.

(141) тенгламадаги нормал тезланиш

$$\overline{a}_{\text{цц}}^n = \frac{v_{\text{цц}}^2}{C A} = \frac{(\overline{\pi} \cdot \mu_v)^2}{C A \mu_l} = \frac{(39 \cdot 0,0209)^2}{52 \cdot 0,001} = 12,78 \frac{\text{м}}{\text{сек}^2}$$

Булиб, унинг вектори  $A$  нүктадан  $C$  нүктаға томон,  $CA$  звеноға параллел йўналган.  $a_{\text{цц}}^n$  тезланишнинг масштаб  $\mu_a$  даги кесмаси узунлиги қўйидагича бўлади:

$$\overline{a} = \frac{a_{\text{цц}}}{\mu_a} = \frac{(\overline{\pi} \cdot \mu_v)^2}{C A \cdot \mu_l \mu_a} = \frac{(\overline{\pi} a)^2}{C A} = \frac{39^2}{52} = 29,3 \text{ мм}$$

$a_{\text{цц}} \perp CA$  ва  $a_{Ay}^\tau \parallel Y - Y$  бўлади.

Тезланишлар планини чизиб (53-шакл, з), турткичнинг  $A$  нуқтаси тезланиши қийматини аниқлаймиз

$$a_A = \overline{a} \cdot \mu_a = 61 \cdot 0,219 = 13,36 \frac{\text{м}}{\text{сек}^2}$$

Турткичнинг туриш вазияти  $4 - 4^\circ$  учун  $\frac{d^2s}{d\varphi^2} = \frac{d^2s}{d\varphi^2} (\varphi)$  диаграммасидаги тезланиши

$$a_A^\vartheta = \overline{4 - 4''} \cdot \mu_{a_\vartheta} = 60 \cdot 0,219 = 13,14 \frac{\text{м}}{\text{сек}^2}$$

бўлади.

Турткичнинг тезланишлари фарқи қўйидагicha бўлади:

$$\Delta a = \frac{a_A - a_A^\vartheta}{a_A} \cdot 100\% = \frac{13,36 - 13,14}{13,36} \cdot 100\% = 1,6\%.$$

Демак, турткичнинг тезлик ва тезланишлари қийматини икки усул билан аниқлаганимизда уларнинг қийматлари бир-биридан катта фарқ қилмади, яъни 5% дан ошмади.

Турткичнинг шу туриш вазиятида босим бурчагини графиковий усулда аниқлаймиз. Кулачок профилига ўтказилган  $n - n$  нормал билан турткичнинг ролик марказининг абсолют чизигий тезлиги йўналиши орасидаги бурчак босим бурчаги бўлади. Роликнинг маркази  $A$  нуқтадан унинг профилига  $n - n$  нормал ўтказамиз.

Турткичнинг ҳаракат чизиги билан  $n - n$  нормал орасидаги бурчакни ўлчаймиз. Бизнинг мисолимизда,  $\alpha = 20^\circ$  (53-шакл, е) марказий бўлмаган кулачокли механизм турткичининг тезлиги ва тезланиши ҳам худди шу тарзда аниқланади (54-шакл, б, в).

## 10. ИЛГАРИЛАМА-ҚАЙТАР ҲАРАКАТЛАНУВЧИ ГАРЕЛКАЛИ ТУРТКИЧИ БЎЛГАН КУЛАЧОКЛИ МЕХАНИЗМ ЛОЙИХАЛАШ

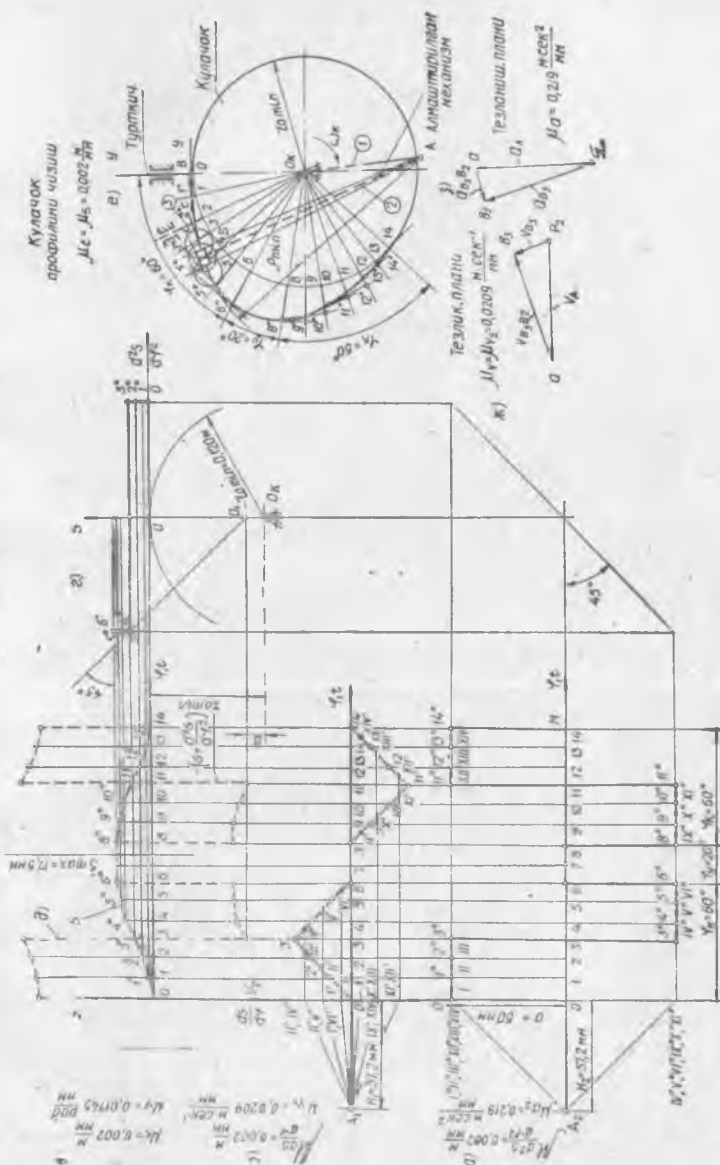
Турткичнинг ҳаракат қонунини (схема—А) ва бошқа параметрларни юқоридаги 55-шаклда келтирилган механизмнинг қийматларини қабул қиласиз. Диаграмма чизиш ва унинг масштабларини аниқлаш худди олдинги мисолдагидек бўлади (55-шакл, а, б, в).

## 11. КУЛАЧОК ПРОФИЛИНИНГ МИНИМАЛ РАДИУСИНИ АНИҚЛАШ

Тарелкали турткичи бўлган механизмда кулачокнинг барча бурилиш бурчакларида босим бурчаги  $\alpha$  бир хил бўлиб, нолга тенгдир. Турткичнинг кулачок профили бўйлаб бир текис ҳаракатланиши учун кулачокнинг бутун профили қабариқ деб қабул қилинади. Кулачокнинг қабариқли шартини проф. Я. Л. Геронимус таклиф этган эди.

Tymkovich et al.

ՀԱՅՈՒԹՅՈՒՆԻ ՏԻՄՈԽԱՆ



55-Шаху.

Биринчи усул проф. Я. Л. Геронимус усули. Маълум  $S = S(\varphi)$  ва  $\frac{d^2S}{d\varphi^2} = \frac{d^2S}{d\varphi^2}(\varphi)$  диаграммаларнинг  $\varphi$  бурчагини графикавий усулда йўқотиб,  $S = S\left(\frac{d^2S}{d\varphi^2}\right)$  диаграммасини чизамиз. Бунинг учун  $S = S(\varphi)$  ва  $\frac{d^2S}{d\varphi^2} = \frac{d^2S}{d\varphi^2}(\varphi)$  диаграммалари бир хил масштабда чизилган, яъни  $\mu_s = \mu_{\frac{d^2S}{d\varphi^2}} = 0,002 \frac{\text{м}}{\text{мм}}$  булиши керак. Бу шартни бажариш учун қутб оралигини

$$H_2 = H_1 = \frac{180^\circ \cdot \overline{OM}}{\pi \cdot \varphi_p^o} = \frac{180^\circ \cdot 140}{3,14 \cdot 140^\circ} = 57,2 \text{ мм}$$

қилиб оламиз. Юқоридаги мисолда

$$S = S(\varphi), \frac{ds}{d\varphi} = \frac{ds}{d\varphi}(\varphi) \text{ ва } \frac{d^2S}{d\varphi^2} = \frac{d^2S}{d\varphi^2}(\varphi)$$

диаграммалари бир хил

$$\mu_s = \mu_{\frac{ds}{d\varphi}} = \mu_{\frac{d^2S}{d\varphi^2}}$$

масштабда чизилган. Уларнинг қутб оралиқлари  $H_2 = H_1 = 57,2 \text{ мм}$ .

Тўғри бурчакли координаталар системасини чизиб, унинг ординаталар ўқи  $OS$  га турткичнинг  $S = S(\varphi)$  диаграммасидағи силжишларни, абсцисса ўқига эса  $\frac{d^2S}{d\varphi^2} = \frac{d^2S}{d\varphi^2}(\varphi)$  диаграмма- сидан ҳар бир силжиш графикига мос бўлган тезланиш аналоглари  $\frac{d^2S}{d\varphi^2}$  нинг қийматларини қўямиз (55- шакл, 2). Белгиланган  $0^\circ, 1^\circ, 2^\circ, 3^\circ, \dots$  нуқталарни чизиқ билан бирлаштириб,  $S = S\left(\frac{d^2S}{d\varphi^2}\right)$  диаграммасини ҳосил қиласиз. Сўнгра диаграмманинг чап томонидаги графикнинг манфий қисмига  $45^\circ$  бурчак остида ординаталар ўқи  $OS$  нинг давомидаги вертикал чизиқ билан кесишгунча уринма ўтказамиз. Унинг кесишув нуқтаси  $O_1$  ни оламиз (55- шакл, 2). Бу чизиқдаги  $\overline{OO}_1$  кесма  $\mu_s$  масштабда кулачокнинг минимал радиуси бўлади.

Кулачок профилининг барча участкаларида эгрилик радиуси мусбат, яъни  $r > 0$  булиши учун кулачокнинг минимал радиуси аниқланган радиусдан  $10 \dots 20\%$  узун қилиб олинади. Демак, кулачокнинг айланиш маркази  $O_k$  ни  $\overline{OO}_1$  кесманинг давомида  $a = 10 \dots 20\%$  ошириб оламиз. У ҳолда, кулачокнинг минимал радиуси

$$r_{min} = OO_k = 1,2 \cdot \overline{OO}_1 \cdot \mu_s = 1,2 \cdot 50 \cdot 0,002 = 0,120 \text{ м}$$

бўлади.

**Иккинчи усул.** Худди шундай натижанин  $S = S(\varphi)$  ва  $\frac{d^2S}{d\varphi^2} = \frac{d^2S}{d\varphi^2} (\varphi)$  диаграммаларини графикавий усулда қүшиш йўли билан ҳам олиш мумкин, яъни силжиш  $(S + \frac{d^2S}{d\varphi^2})$  графикининг ордината қийматларига тезланиш аналогларининг ордината баландликлари геометрик қўшилади. Бу графикнинг чизишлиши (55-шакл, 8) штрих чизиқлар билан кўрсатилган.

$S = S(\varphi)$  ва  $\frac{d^2S}{d\varphi^2} = \frac{d^2S}{d\varphi^2} (\varphi)$  диаграммалари ординаталарининг масштаблари teng

$$\mu_s = \mu_{\frac{d^2S}{d\varphi^2}} = 0,002 \frac{\text{м}}{\text{мм}}$$

Бўлгандагина қўшиш керак. Сўнгра графикнинг мағфий қисми—абсциссалар ўқининг остки қисми олинади. Абсциссалар ўқидан графикнинг учигача бўлган оралиқ кулачокнинг минимал радиусини кўрсатади.

Юқорида ҳисобланганидек,  $r_{0 \min}$  (кулачокнинг минимал радиуси) нинг қиймати  $\overline{OO_1}$  кесмадан  $a = 10 - 20\%$  ошириб олинади. У ҳолда

$$r_{0 \min} OO_k = 1,2 \cdot \overline{OO_1} \cdot \mu_s = 1,2 \cdot 50 \cdot 0,002 = 0,120 \text{ м}$$

бўлади.

## 12. КУЛАЧОКНИНГ ПРОФИЛИНИ ЧИЗИШ

Кулачокнинг айланиш марказини ихтиёрий  $O_k$  нуқтада белгилаймиз (55-шакл, e). Бу нуқтадан  $\mu_t = \mu_s = 0,002 \text{ м}/\text{мм}$  масштабда  $r_{0 \min} = \frac{r_{0 \min}}{\mu_t} = \frac{0,120}{0,002} = 60 \text{ мм}$  радиусли айланада чизамиз.

Турткичнинг кўтарила бошлаш вазиятини аниқлаймиз. Сўнгра  $O_k$  нуқтадан вертикал чизиқ ўтказиб, бу чизиқдан кулачокнинг айланишига қарама-қарши томонга  $\psi_k = 60^\circ$ ,  $\varphi_y = 20^\circ$ ,  $\varphi_x = 60^\circ$  бурчакларни кетма-кет қўямиз. Бу бурчакларни  $S = S(\varphi)$  диаграммасига мослаб, teng қисмларга бўламишда, кулачок айланасида  $0, 1, 2, 3, \dots$  нуқталарни оламиз. Кулачокнинг айланиш маркази  $O_k$  билан  $r_{0 \min}$  радиусли айланадаги  $0, 1, 2, 3, \dots$  нуқталардан  $O_{k1}, O_{k2}, O_{k3}, \dots$  радиал чизиқлар ўтказамиз. Бу чизиқларнинг давомида  $r_{0 \min}$  радиусли айланадан силжиш  $S = S(\varphi)$  диаграммасидаги  $11 - 11^\circ$ ,  $22 - 22^\circ$ ,  $33 - 33^\circ$ ,  $\dots$  кесмаларни чизамиз. Бу чизиқларда белгиланган  $1^\circ, 2^\circ, 3^\circ, \dots$  нуқталардан радиал чизиқларга нисбаган тарелканинг туби контури, яъни тик чизиқлар ўтказамиз.

Сүнгра тарелканинг контур чизиқларининг чекка қисмларини, яъни кулачок марказига яқин бўлган нуқталарини бирлаштириб, кулачок профилини ҳосил қиласиз.

### 13. АЛМАШТИРИЛГАН МЕХАНИЗМНИ ЧИЗИШ ВА ТУРТКИЧНИНГ ТЕЗЛИК ВА ТЕЗЛАНИШИНИ АНИҚЛАШ

Кулачок профилининг 2-вазият нуқтаси учун олий кинематикавий жуфтни қуий кинематикавий жуфтга айлантириб, алмаштирилган механизм чизамиз. Бунда 55-шакл, *e* да штрих чизиқлар билан кўрсатилган ричагли механизм ҳосил бўлади. Алмаштирилган ричагли бу механизм учун тезлик ва тезланишлар планини чизамиз. Тезликлар планини  $\mu_v = \mu_{v_0} = 0,0209 \frac{\text{м}}{\text{мм}}$  масштабда чизамиз. Кутб нуқтаси  $p_v$  ни танлаб, ундан *A* нуқтанинг

$$v_A = O_k A \cdot \omega = \overline{O_k A} \cdot \mu_e \cdot \omega_k = 62 \cdot 0,002 \cdot 10,46 = 1,3 \frac{\text{м}}{\text{сек}}$$

тезлик векторини чизамиз. Бу вектор кулачокнинг айланishi томони бўйича  $O_k A$  радиусга тик бўлиб, узунлиги қўйидагича:

$$pa = \frac{v_A}{\mu_v} = \frac{1,3}{0,0209} = 62,2 \text{ мм.}$$

Алмаштирилган механизмнинг схемасидан кўринадики, *AB* қўшимча звено механизм ишлаган пайтда турткичнинг *CB* чизигига параллел равишда силжигани учун уларнинг тезлик ва тезланишлари ҳам бир-бирига teng бўлади.

Демак, илгарилама ҳаракатланувчи звенонинг барча нуқтлари параллел равишда силжигани учун уларнинг тезлик ва тезланишлари ҳам бир-бирига teng бўлади.

Турткичнинг *B<sub>1</sub>* кулачокдаги *B<sub>2</sub>* нуқтага мос келган нуқтасининг тезлигини қўйидаги тенгламадан аниқлаймиз.

$$\vec{v}_{B_2} = \vec{v}_{B_1} + \vec{v}_{B_1 B_2},$$

$$\vec{v}_{B_2} = \vec{v}_y + \vec{v}_{B_1 y},$$

бу ерда  $v_y$  — турткичнинг абсолют чизигий тезлиги вектори, у  $y-y$  чизиқка параллел йўналади;

$\vec{v}_{B_1 B_2}$  — турткич тарелкасининг нисбий тезлиги вектори, у *CB* томонга параллел йўналади.

Тезликлар планини чизамиз (55-шакл, *ж*).

Турткичнинг тезлиги қўйидагича аниқланади:

$$v_{B_2} = p \bar{b}_3 \cdot \mu_v = 19 \cdot 0,0209 = 0,397 \frac{\text{м}}{\text{сек}}$$

Тезлик аналоги  $\frac{ds}{d\varphi} = \frac{ds}{d\varphi} (\varphi)$  диаграммаси (55-шакл, *б*) да турт-

кичнинг шу вазиятдаги тезлиги  $v_{B_3}^0 = 0,417 \frac{\text{м}}{\text{сек}}$  бўлади. Икки усулда аниқланган тезликларнинг фарқи:

$$\Delta v = \frac{v_{B_3}^0 - v_{B_2}^0}{v_{B_2}^0} \cdot 100\% = \frac{0,417 - 0,397}{0,417} \cdot 100\% = 4,8\%.$$

Тезланишлар планини чизамиз. Бунинг учун тезланиш масштаби  $\mu_a$  ни тезланиш масштаби  $\mu_{a_1} = 0,219 \frac{\text{м сек}}{\text{мм}}$  га тенглаб, кулачокдаги  $A_1$ , нуқтанинг тезланиш вектори  $\bar{\pi}a_1$  узунлигини ҳисоблаймиз.

$$a_{A_1} = O_k A \cdot \omega_k^2 = \bar{\pi}O_k A \cdot \mu_l \cdot \omega_k^2 = 62 \cdot 0,002 \cdot 10,46^2 = 13,6 \frac{\text{м}}{\text{сек}^2}$$

$$\bar{\pi}a_1 = \frac{a_{A_1}}{\mu_a} = \frac{13,6}{0,219} = 62 \text{ мм.}$$

Турткичнинг  $B_3$  нуқтаси тезланишини қўйидаги тенгламадан аниқлаъмиз:

$$\bar{a}_{B_3} = \bar{a}_{B_2} + \bar{a}_{B_2 B_3},$$

бу ерда  $\bar{a}_{B_2} - B_3$  нуқтанинг абсолют чизифий тезланиши, унинг вектори у-у йўналтирувчига параллел йўналади;

$\bar{a}_{B_2 B_3}$  — нисбий тезланиш вектори, у  $CB$  га параллел йўналади.

Тезланишлар планини чизиб, (55-шакл, з) турткичнинг тезланиши қийматини аниқлаймиз:

$$a_{B_3} = \bar{\pi}b_3 \cdot \mu_a = 61 \cdot 0,219 = 13,36 \frac{\text{м}}{\text{сек}^2}.$$

Тезланиш аналоги  $\frac{a^2 s}{d\varphi^2} = \frac{d^2 s}{d\varphi^2}$  ( $\varphi$ ) диаграммасидан турткичнинг шу вазияти учун тезланиш қийматини аниқлаймиз:

$$a_{B_2} = 22'' \cdot \mu_{a_2} = 60 \cdot 0,219 = 13,14 \frac{\text{м}}{\text{сек}^2}.$$

Икки усулда аниқланган тезланишларнинг фарқи:

$$\Delta a = \frac{a_{B_3} - a_{B_2}^0}{a_{B_2}^0} \cdot 100\% = \frac{13,36 - 13,14}{13,36} \cdot 100\% = 165\%.$$

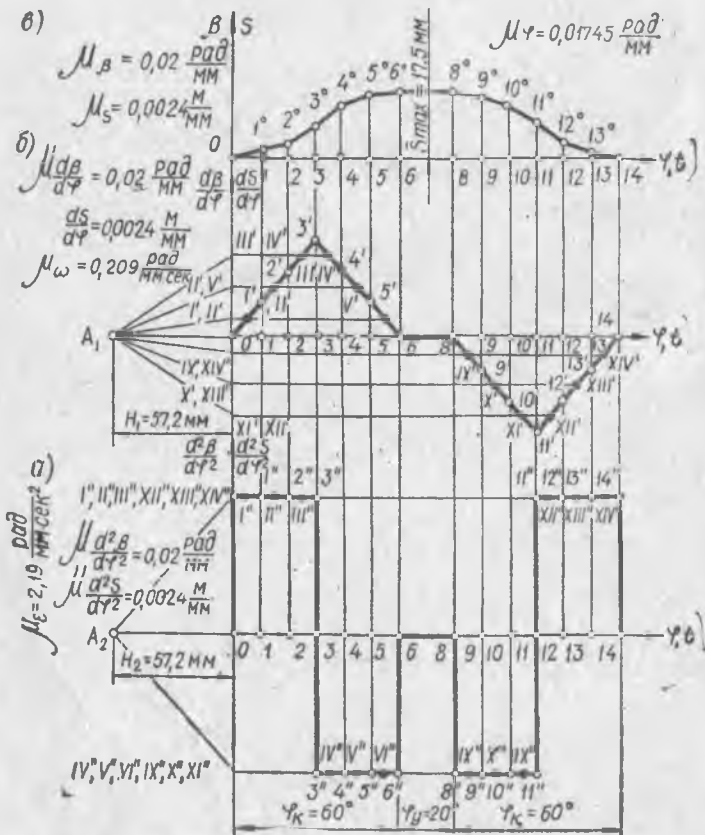
#### 14. РОЛИКЛИ КОРОМИСЛОЛИ ТУРТКИЧИ ТЕБРАНУВЧИ БЎЛГАН КУЛАЧОКЛИ МЕХАНИЗМ ЛОЙИХАЛАШ

Турткич ва кулачокнинг  $A$  схемада берилган ҳаракат қонуни ва асосий параметрларини қабул қиласиз. Қўшимча равишда қўйидаги параметрлар берилган: коромислонинг узунлиги  $l_{O_A} = 120 \text{ мм}$ , коромислонинг тебраниш бурчаги  $\beta_{\max} = 20^\circ$ , босим бурчаги  $\alpha = 45^\circ$ .

Хисоблаш юқорида күрсатылған тартибда бажарилади. Дастьлаб, тезланиш аналоги  $\frac{d^2\beta}{d\varphi^2} = \frac{d^2\beta}{d\gamma^2}$  ( $\varphi$ ) графигини чизамиз. Уни икки марта интеграллаб,  $\frac{d\beta}{d\varphi} = \frac{d\beta}{d\gamma}$  ( $\varphi$ ) ва  $\beta = \beta(\varphi)$  графиктарни чизамиз (56-шакл, а, б, в). Силжиш  $\beta = \beta(\varphi)$  графиги чизиб, турткичнинг ординаталар ўқи масштаби  $\mu_\beta$  ни ҳисоблаймиз:

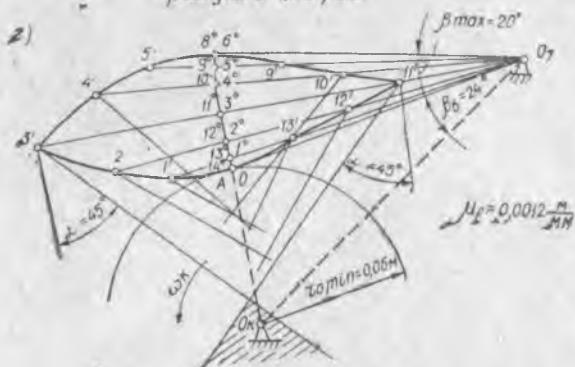
$$\mu_\beta = \frac{\beta_{\max}}{S_{\max}} = \frac{\frac{\pi}{180^\circ} \cdot \beta_{\max}^\circ}{\frac{S}{\max}} = \frac{3,14 \cdot 20^\circ}{180^\circ \cdot 17,5} = 0,02 \frac{\text{рад}}{\text{мм}},$$

### Турткичнинг ҳаракатланиш диаграммалари



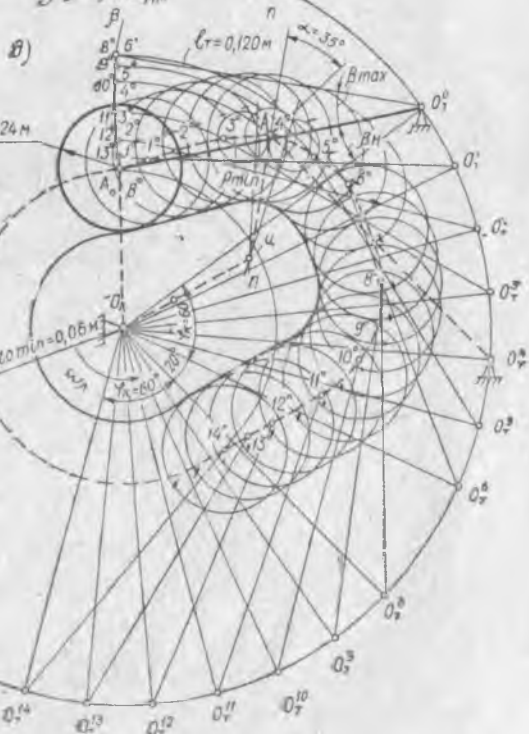
56-шакл (а, б, в).

Күнненең минимал  
радиусини анықташ



Күлакочын  
профилини чизиш

$$M_E = 0,0012 \frac{m}{mm}$$



56-шакл.

бу ерда  $S_{\max} - \beta = \beta(\varphi)$  диаграммасининг максимал ординатаси, мм.

Коромисло роликнинг марказидаги ёй бўйлаб силжиш масштаби қуидагича бўлади:

$$\mu_s = \mu_\beta \cdot l_{O_A} = 0,02 \cdot 0,120 = 0,0024 \frac{\text{м}}{\text{мм}}.$$

Чизмада графикларнинг ордината масштаблари тенг  $\mu_{\frac{d^2\beta}{d\varphi^2}} = \mu_{\frac{d\beta}{d\varphi}} = \mu_{(\beta)}$  бўлгани учун коромислонинг бурчагий тезлиги масштаби қуидагича бўлади:

$$\mu_w = \mu_{\frac{d\beta}{d\varphi}} \cdot w_k = 0,02 \cdot 10,46 = 0,209 \frac{\text{рад}}{\text{мм} \cdot \text{сек}}.$$

Коромислонинг бурчагий тезланиши масштаби:

$$\mu_s = \mu_{\frac{d\beta}{d\varphi}} \cdot w_k^2 = 0,02 \cdot 10,46^2 = 2,19 \frac{\text{рад}}{\text{мм} \cdot \text{сек}^2}.$$

Кулачокнинг минимал радиуси қуидагича аниқланади. Ихтиёрий олинган  $O_t$  нуқтадан (56-шакл, г)

$$\mu_l = K \cdot \mu_s = \frac{1}{2} 0,0024 = 0,0012 \frac{\text{м}}{\text{мм}}$$

масштабда коромислонинг узунлиги  $l_{O_t A}$  ни қуидаги кесма билан чизамиш:

$$\overline{O_t A} = \frac{l_{O_t A}}{\mu_s} = \frac{0,120}{0,0012} = 100 \text{ мм.}$$

$A_0$  нуқтани коромислонинг маркази  $a_t$  билан бирлаштириб, тебраниш бурчаги  $\beta_{\max} = 20^\circ$  ни белгилаймиз. Сунгра  $A_0$  нуқтадан  $\beta_0 - \beta$  ёйни коромислонинг силжиш  $\beta = \beta(\varphi)$  графигига маслаб,  $\mu_e$  масштабда

$$\overline{01^\circ} = \frac{s_{O_1}}{\mu_e} = \frac{2 \cdot s_{O_1}}{\mu_e} = \frac{2 \cdot s_{O_1}}{\frac{s_{O_1}}{11^\circ}} = 2 \cdot 11^\circ = 2 \cdot 1,5 = 3 \text{ мм,}$$

$$\overline{02^\circ} = 2(\overline{22^\circ}) = 2 \cdot 4,5 = 9 \text{ мм,}$$

$$\overline{03^\circ} = 2(\overline{33^\circ}) = 2 \cdot 9 = 18 \text{ мм.}$$

интервалларга бўламиш. Белгиланган 0, 1, 2, 3, ... нуқталар кулачокнинг бурилиш бурчагига нисбатан коромислонинг  $\beta - \beta$  бурчаги бўйича силжиш ординаталари бўлади.

0, 1°, 2°, 3°, ... нуқталарни коромислонинг маркази  $O_t$  билан туташтириб, ундан радиал нурлар ўtkазамиш ва бу нурларда қуидаги масштабда кесмалар чизамиш:

$$\mu_l = \frac{1}{2} \mu_{\frac{d\beta}{d\varphi}} = \frac{1}{2} 0,0024 = 0,0012 \frac{\text{м}}{\text{мм}}.$$

Роликнинг марказидаги ёйдан (коромислонинг маркази  $O_t$  дан чизилган нурнинг чап томонига) қўйидаги кесмаларни қўямиз:

$$(I^{\circ} I') = 2[\overline{I^{\circ} I'}] = 2 \cdot 10,5 = 21 \text{ мм},$$

$$(2^{\circ} 2') = 2[\overline{2^{\circ} 2'}] = 2 \cdot 20 = 40 \text{ мм},$$

$$(3^{\circ} 3') = 2[\overline{3^{\circ} 3'}] = 2 \cdot 30 = 60 \text{ мм},$$

· · · · · · · · · · · ·

Коромислонинг кулачок марказидан узоқлашиш вазиятлари учун ўнг томонга коромислонинг маркази  $O_t$  томонига қўйидаги кесмаларни қўямиз:

$$(\overline{9^{\circ} 9'}) = 2[\overline{9^{\circ} 9'}] = 2 \cdot 10,5 = 21 \text{ мм},$$

$$(\overline{10^{\circ} - 10'}) = 2[\overline{10^{\circ} - 10'}] = 2 \cdot 20 = 40 \text{ мм},$$

· · · · · · · · · · · ·

бу ерда  $[I^{\circ} I']$ ,  $[\overline{2^{\circ} 2'}]$ ,  $\dots$ ,  $[\overline{13^{\circ} - 13'}]$  кесмалар —  $\frac{d\beta}{d\varphi} = \frac{ds}{d\varphi}$  (3) диаграммасининг ординаталари.

Ҳар бир нурдаги кесмаларнинг чекка нуқталарида шу кесмаларга  $45^{\circ}$  бурчак остида тўғри чизиқлар ўтказамиз. Ўтказилган жуфт чизиқлар турли нуқталарда кесишади. Булардан  $A_0$  нуқтадан энг узоқдаги кесишув нуқтаси кулачок маркази деб қабул қилинади.

Күпинча,  $\frac{ds_k}{d\varphi}$  ва  $\frac{ds_k}{d\varphi}$  графикларининг энг катта кесмаларига  $45^{\circ}$  бурчак остида чизиқ ўтказилиб, уларнинг кесишув нуқтасида кулачокнинг айланиш маркази бўлмиш  $O_k$  нуқта белгиланади.

Бу икки чизиқ билан чегараланган юза ( $56$ -шакл, 2 да штрихланган қисм) кулачок марказларининг геометрик юзасини беради. Бу юзанинг исталган нуқтасида кулачокнинг  $O_k$  маркази олинади,  $O_k$  нуқта кулачокнинг айланиш маркази сифатида танланган.

$\overline{O_k A}$  кесма кулачокнинг  $\mu_l$  масштабдаги кулачокнинг радиуси  $r_{o \min}$  ни билдиради. У ҳолда, кулачок марказий профилининг минимал радиуси

$$r_{o \min} = \overline{O_k A} \cdot \mu_l = 50 \cdot 0,0012 = 0,060 \text{ м}$$

булади. Турткич билан кулачокнинг марказлари оралиғи қуидагида аниқланади:

$$O_k O_t = \overline{O_k O_t} \cdot \mu_l = 120 \cdot 0,0012 = 0,144 \text{ м.}$$

## 15. КУЛАЧОК ПРОФИЛИНИ ЧИЗИШ

### 1. Кулачокнинг марказидан

$$\bar{r}_{o \text{ min}} = \frac{r_{o \text{ min}}}{\mu_t} = \frac{0,06}{0,0012} = 50 \text{ мм},$$

$$\overline{O_k O_t} = \frac{O_k O_t}{\mu_t} = \frac{0,144}{0,0012} = 120 \text{ мм}$$

радиуслар билан айланана чизамиш (56-шакл, д).

2.  $O_k O_t$  айлананинг устида коромислонинг айланиш маркази  $O_t$  ни танлаб,  $\mu_t$  масштабда

$$\overline{O_t A_o} = \frac{l_{O_t A}}{\mu_t} = \frac{0,120}{0,0012} = 100 \text{ мм}$$

радиус билан ёй чизамиш-да,  $r_{o \text{ min}}$  радиусли айланада унинг кесишиш  $A_o$  нуқтасини белгилаймиз. Бу нуқта коромислонинг кутарилиши бошлангич вазияти бўлади (56-шакл, д.)

3.  $O_k O_t$  радиус чизигидан кулачокнинг айланиш томонига қарама-қарши йўналишда

$$\varphi_k = 60^\circ, \varphi_y = 20^\circ, \varphi_x = 60^\circ,$$

бурчакларни белгилаймиз.

4. Бу  $\varphi_k$  ва  $\varphi_x$  бурчакларни  $\beta = \beta(\varphi)$  ёки  $s = s(\varphi)$  диаграммаларига мослаб, тенг қисмларга бўламиз.  $O_k O_t$  айланада  $O_1^1, O_2^1, O_3^1$  нуқталарни белгилаймиз. Бу нуқталар коромислонинг „қайтарма“ ҳаракатдаги айланиш марказларини кўрсатади.

5.  $O_t$  марказидан  $\overline{O_t A}$  радиус билан  $\beta = \beta(\varphi)$  ёй чизамиш ва бу ёйда коромислонинг  $\beta = \beta(\varphi)$  диаграммасидан олинган бурчагий силжишлари ёйлари  $01, 02, 03, \dots$  ни белгилаймиз.

6. Кулачокнинг  $O_k$  марказидан  $O_k 1^\circ, O_k 2^\circ, O_k 3^\circ, \dots$  радиусли ёйлар чизамиш ва  $O_k O_t$  айланадаги  $O_1^1, O_2^1, O_3^1, \dots$  нуқталардан коромислонинг  $O_t A$  радиуси билан ўтказилган ёйнинг кесишув  $1^\circ, 2^\circ, 3^\circ, \dots$  нуқталарини аниқлаймиз.

7. Белгиланган  $1^\circ, 2^\circ, 3^\circ, \dots$  нуқталарни бирлаштириб, кулачокнинг марказий профилини чизамиш.

Ролик радиуси  $A$  схема мисолида аниқланганидек топилади. Кулачокнинг амалий профили ҳам юқорида кўрсатилгандек чизилади.

## 16. АЛМАШТИРИЛГАН МЕХАНИЗМ ЧИЗИШ ВА КОРОМИСЛО РОЛИГИ МАРКАЗИННИГ ТЕЗЛИК ҲАМДА ТЕЗЛАНИШЛАРИНИ АНИҚЛАШ

Коромислонинг бурилиш бурчаги  $\varphi_k$  даги 4-вазият учун кулачок профилидаги олий кинематиковий журт қўйи кинематиковий жуфтга алмаштирилиб, штрих чизиқлар билан чизилади.

Ган түрт шарнирли алмаштирилган ричагли механизмни чизамиз. Ролик ва кулачокнинг олий кинематикавий жуфтининг эгрилик радиуси маркази  $A$  ва  $\bar{L}$  нуқталарда жойлашган  $A$  нуқтадаги олий кинематикавий жуфтни икки шарнирли  $AL$  звено билан алмаштирамиз (56-шакл,  $\partial$ ).

Коромислонинг  $A$  нуқтаси тезлигини қўйидаги векторий тенгламадан аниқланади:

$$\begin{aligned}\vec{v}_A &= \vec{v}_{\bar{L}} + \vec{v}_{A\bar{L}} \\ \vec{v}_A &= \vec{v}_{O_T} + \vec{v}_{AO_T}\end{aligned}$$

бу ерда  $v_{\bar{L}}$  — кулачокнинг  $\bar{L}$  нуқтаси тезлиги: бу тезлик қўйидагича аниқланади:

$$v_{\bar{L}} = O_k \bar{L} \cdot \omega_k = \bar{O}_k \bar{L} \cdot \mu_e \cdot \omega_e = 52 \cdot 0,0012 \cdot 10,46 = 0,653 \frac{\text{м}}{\text{сек}}.$$

$O_T$  нуқтанинг тезлиги нолга тенг, чунки  $O_T$  нуқта қўзғолмас.  $\vec{v}_{A\bar{L}}$  ва  $\vec{v}_{AO_T}$  нисбий тезликларининг йўналиши маълум, яъни  $\vec{v}_{A\bar{L}}$  қўшимча звенонинг  $AL$  чизигига,  $v_{AO_T}$  эса коромислогатик йўналган (56-шакл,  $e$ ).

Тезликлар планининг масштабини  $\frac{d\varphi}{d\varphi} = \frac{d\varphi}{d\varphi}(\varphi)$  диаграммаси-нинг масштаби  $\mu_e = 0,025 \frac{\text{м/сек}}{\text{мм}}$  га тенглаб оламиз

$\bar{L}$  нуқта тезлигининг  $\bar{p}_v$  кесмаси узунлигини аниқлаймиз:

$$\bar{p}_v = \frac{v_{\bar{L}}}{\mu_e} = \frac{0,653}{0,025} = 26 \text{ мм.}$$

Кутб нуқтаси  $p_v$  дан  $\bar{p}_v$  векторнинг йўналишини  $O_k \bar{L}$  томонга тик қилиб чизамиз (56-шакл,  $e$ ). Сўнгра тезликлар пидаги  $\bar{L}$  ва  $p_v$  нуқталардан  $\vec{v}_{A\bar{L}}$  ва  $\vec{v}_{AO_T}$  нисбий тезликларнинг  $\bar{p}_v$  ва  $\bar{p}_A$  векторлари йўналишини чизиб, коромислодаги  $A$  нуқтанинг абсолют тезлик векторини оламиз. Унинг қиймати

$$v_A = \bar{p}_v \cdot \mu_e = 20 \cdot 0,025 = 0,5 \frac{\text{м}}{\text{сек}}$$

бўлади.

$A$  нуқтанинг тезланиши қўйидаги векторий генгламадан аниқланади:

$$\begin{aligned}\vec{a}_A &= \vec{a}_{\bar{L}} + \vec{a}_{A\bar{L}}^n + \vec{a}_{A\bar{L}}^z \\ \vec{a}_A &= \vec{a}_{O_T} + \vec{a}_{AO_T}^n + \vec{a}_{AO_T}^z\end{aligned}$$

Тенгламадаги тезланишларнинг қийматларини аниқлаймиз:

$$a_u = O_k \bar{U} \cdot \omega_k^2 = \overline{O_k U} \cdot \mu_l \cdot \omega_k^2 = 46 \cdot 0,0012 \cdot 10,46^2 = 6,04 \frac{\text{м}}{\text{сек}^2}$$

$$a_{A\Gamma}^n = \frac{v_{au}^2}{A\Gamma} = \frac{(au \cdot \mu_v)^2}{A\Gamma \cdot \mu_l} = \frac{(27 \cdot 0,025)^2}{38 \cdot 0,0012} = 10 \frac{\text{м}}{\text{сек}^2}$$

$$a_{AO_t}^n = \frac{v_{AO_t}^2}{O_t A} = \frac{(\bar{p}_v a \cdot \mu_v)^2}{O_t A \cdot \mu_l} = \frac{(21 \cdot 0,025)^2}{100 \cdot 0,0012} = 2,3 \frac{\text{м}}{\text{сек}^2}$$

$a_{O_t} = 0$ , чунки  $O_t$  қүзғалмас. Тезланишлар планининг масштаби  $\mu_a = 0,263 \frac{\text{м/сек}^2}{\text{мм}}$  ни  $\frac{d\varphi}{d\varphi^2} = \frac{d\varphi^2}{d\varphi^2} (\varphi)$  диаграммасининг масштабига тенглаб олиб, тезланишлар планини чизамиз (56-шакл, жс).

Қутб нүктаси  $\pi$  дан  $A\bar{U}$  га параллел қилиб,  $\bar{U}$  нүктанинг тезланишини кесма узунилиги

$$\pi\bar{u} = \frac{au}{\mu_a} = \frac{6,04}{0,263} = 23 \text{ мм}$$

билин чизамиз ва  $\bar{U}$  нүктадан  $A\bar{U}$  звенога параллел қилиб,  $A$  нүктадан  $\bar{U}$  нүктага йўналган чизик ўтказамиз. Бу чизиқда  $\bar{a}_{A\Gamma}^n$  нормал тезланишнинг векторини кесма

$$\bar{u}\bar{n} = \frac{a_{A\Gamma}^n}{\mu_a} = \frac{10}{0,263} = 38 \text{ мм}$$

билин чизамиз.  $A\bar{U}$  га перпендикуляр йўналишида  $n$  нүктадан  $\bar{a}_{AO_t}^n$  тезланишнинг йўналишини чизамиз ва қутб нүктаси  $\pi$  да ётган  $O_t$  нүктадан  $O_t A$  звенога параллел қилиб,  $\bar{a}_{AO_t}^n$  нормал тезланишнинг векторини ўтказамиз. Бу чизиқда

$$\bar{u}\bar{n}_t = \frac{a_{AO_t}^n}{\mu_a} = \frac{2,3}{0,263} = 8,7 \text{ мм}$$

кесмани белгилаймиз.  $n_t$  нүктадан  $A O_t$  тик қилиб,  $a$  нүкта билан кесишгунча  $\bar{a}_{AO_t}^n$  тезланишнинг векторини чизамиз. Коромислонинг  $A$  нүктаси тезланишини қўйидаги формуладан аниқлаймиз:

$$a_A = \pi a \cdot \mu_a = 60 \cdot 0,263 = 15,8 \frac{\text{м}}{\text{сек}^2}$$

Коромисло  $A$  нүктасининг икки усулда аниқланган тезлик ва тезланишлари қийматларининг фарқи аниқланади.

Коромислонинг шу вазиятидаги босим бурчаги  $\alpha$  ни аниқлаш учун роликнинг маркази  $A$  дан коромислога тик чизик ўтказамиз ва кулачокнинг марказий профилига  $n - n$  нормал чизик

чизамиз. Коромисло ролигининг маркази абсолют тезлик векторининг йўналиши билан  $n-n$  нормал чизиқ орасидаги  $\alpha$  бурчак шу вазият учун кулачокнинг босим бурчаги булади. Бизнинг мисолимизда  $\alpha=35^\circ$  (56-шакл,  $\delta$ ).

## 17. КУЛАЧОКЛИ МЕХАНИЗМ ПРУЖИНАСИНГ ХАРАКТЕРИСТИКАСИНИ АНИҚЛАШ

Кулачокли механизмнинг олий кинематикавий жуфтида роликли (ёки тарелкали) турткичнинг кулачок профилига доимо тегиб туриши (ажралмас боғланиши) куч ёрдамида таъминланади. Кўпинча, бу куч сифатида бир оз сиқилган пружина ишлатилади. Кулачокнинг айланишида турткичнинг кўтарилиш вазиятида кулачок турткичга таъсир этиб, уни кўтади. Турткичнинг қайтиш вазиятида пружина кучи турткичга таъсир этиб, уни кулачок профилига босади-да, ажралмаслигига ёрдам беради. Кулачокли механизмга қўшимча эластик звено (пружина) қўшилиши натижасида унинг кинематикавий жуфтларида қўшимча босим кучлари ошиб, ишқаланиш ва ейилиш купаяди ва механизмнинг конструкцияси мураккаблашади. Шунинг учун механизмнинг кинематикавий жуфтларидағи реакция кучларини аниқлашдан олдин кулачок профили билан турткичнинг ажралмаслигини таъминловчи пружина кучининг характеристикасини танлаш керак.

Пружина характеристикасини графикавий усул билан танлашда винтавий цилиндрик пружинанинг бикрлик коэффициенти  $c_1$  ни  $\operatorname{tg} \alpha$  (57-шакл,  $\delta$ ) орқали аниқлаш анча қулай.

Тик чизиқ буйлаб ҳаракатланувчи турткичнинг пружинасини танлашда унга таъсир этувчи барча кучларни ҳисобга олиш керак.

Кулачокли механизмнинг нормал ишлаши учун пружина танлашда турткичга таъсир этувчи барча кучларнинг йигиидисини белгиловчи ва турткичнинг силжишига боғлиқ бўлган  $P = P(S)$  куч графигини чизиб, унга пружинанинг графикавий характеристикасини мослаш керак.

$P = P(S)$  графигини чизиш усуllibari жуда кўп бўлиб, уларни танлаш механизмнинг ишлаш шароитига боғлиқ.

Пружина характеристикасини аниқлаш усулини кўриб чиқамиз. 57-шакл,  $a$  ва  $b$  да турткич (звено 2) ва унга таъсир этувчи кучлар кўрсатилган.

Кулачокли механизмнинг ишлашида унинг илгарилама-қайтар ҳаракат қилувчи турткичига қўйидаги кучлар таъсир эта-ди: 1) фойдали қаршилик кучи —  $P_{\Phi}$ ; 2) оғирлик кучи —  $G_T$ ; 3) инерция кучи —  $P_i$ ; 4) пружина кучи —  $P_{pr}$ ; 5) ўйналтирувчининг турткичга бўлган нормал  $N_1$  ва  $N_2$  лари; 6) турткичнинг таянчларида ҳосил бўлган ишқаланиш  $F_1 = f \cdot N_1$  ва  $F_2 = f \cdot N_2$  кучлари; 7) кулачокнинг турткичга бўлган реакция кучи  $R$ .

Турткичи роликли булган кулачокли механизмда  $\alpha$  босим бурчаги остида роликни кулачок юзасига тик таъсир этувчи нормал реакция кучи  $R_{12}$  булади. Күпинча, турткичга таъсир этувчи асосий куч инерция кучи  $P_u$  булиб, у турткичнинг берилган ҳаракат қонуни билан аниқланади. У ҳолда пружина кучининг характеристикасини аниқлаш учун турткичнинг кутарилиш ва қайтиш вазияларида турткичнинг инерция кучи  $P_u = P_u(S)$  графигини чизиш етарли бўлади. Турткичнинг нотекис ҳаракатланиши (силжиши) натижасида инерция кучи  $P_u$  ҳосил бўлади.

Турткичнинг инерция кучи  $P_u$  тезланиш  $a_T$  га пропорционал узгаради:

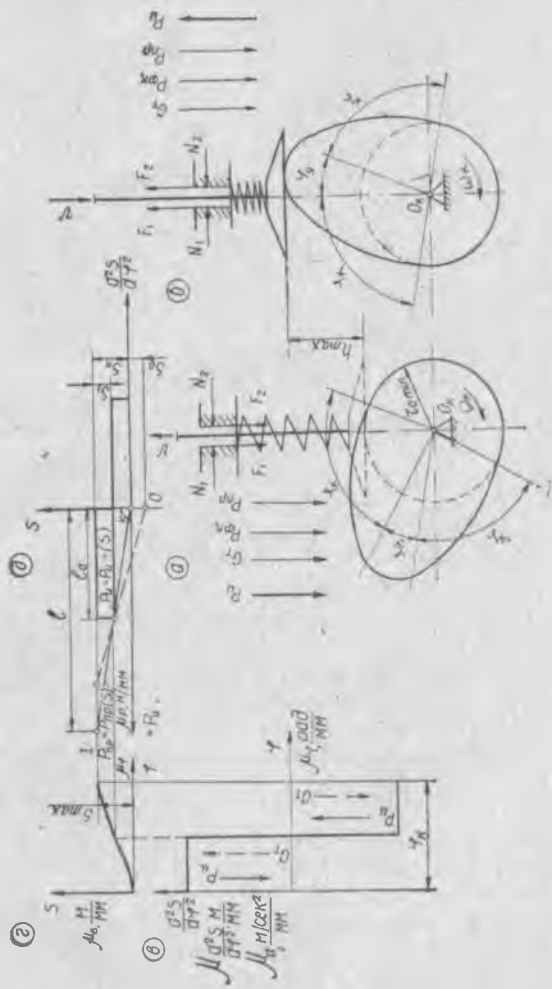
$$P_u = -m_T a_T = -m_T \omega_k^2 \frac{d^2 s}{d\varphi^2} = -m_T \cdot \omega_k^2 l_a \cdot \mu \frac{d\varphi}{ds} \quad (143)$$

бу ерда  $\bar{l}_a$  — тезланиш аналогининг кесмаси, мм (57-шакл,  $\partial$ ). Бу куч тезланишининг йўналишига тескари йўналган. Демак, масалани ечиш учун илгарилама-қайтар ҳаракатланувчи турткичнинг  $m_T$  массаси, унинг кутарилиш ва қайтиш вазиятларининг силжиш функцияси  $S = S(\varphi)$  нинг ўзгариш қонуни, унинг тезланиш аналоги  $\frac{d^2 s}{d\varphi^2} = \frac{d^2 s}{d\varphi^2}(\varphi)$  нинг графиги ва кулачокнинг бурчагий тезлиги  $\omega_k$  маълум булиши керак. Бунинг учун  $\frac{d^2 s}{d\varphi^2} = \frac{d^2 s}{d\varphi^2}(\varphi)$  графиги фазасининг абсолют қиймати жиҳатидан катта булган манфий тезланиш аналоги ташлаб олинади.

(143) формуладаги  $m_T$  ва  $\omega_k$  параметрлар ўзгармас булганда турткичнинг инерция кучи тезланиш аналогига  $\frac{d^2 s}{d\varphi^2}$  қараб узгаради. Инерция кучининг вектори тезланиш графигининг шакли ва турткичнинг йўналишига қараб, кулачок марказига томон йўналиши (57-шакл,  $a$ ) ёки тескари томонга йўналиши (57-шакл,  $b$ ) мумкин. Турткичнинг инерция кучи кулачок марказидан йўналган бўлса, турткич кулачокдан ажралиши мумкин.

Тез айланувчи кулачокли механизмларда инерция кучининг қиймати катта булади. Куч векторининг йўналишига қараб, турткич кулачок профилидан ажралиб қолиши мумкин. Бу ҳодисанинг олдини олиш ва доимо турткич кулачок профилига тегиб туриши учун кулачокли механизмларга турткични кулачокка сиқиб турувчи пружиналар урнатилади. Пружинанинг эластиклик кучи  $P_{pr}$  кулачокнинг барча бурилиш вазиятидаги турткичнинг инерция кучи  $P_u$  дан катта ( $P_{pr} > P_u$ ) бўлиши керак, аks ҳолда турткич кулачокдан ажралиб қолиб, механизминг нормал ишлаши бузилади.

БТ-шакл (α, δ, γ, z)



Пружинанинг эластик кучи құйыдаги формуладан топилади:

$$P_{\text{пр}} = c_1 (S + S_0), \quad (144)$$

бу ерда  $S_0$  — пружинанинг бошланғич сиқилиши (деформацияси); у турткічни кулачокка доим тегиб туришини таъминлайди  $S_0 = (0,2 \dots 0,5) h_{\max}$ ;

$S$  — пружинанинг турткіч силжишига бояғып бұлған деформацияси (сиқилиши);

$c_1$  — пружинанинг бикрлик коэффициенти, бу коэффициент пружинанинг деформацияланышында қараб, пружина күчи  $P_{\text{пр}}$  нинг ўзгаришини күрсатади.

Инерция күчи  $P_i$  нинг ўзгариш графиги  $P_i = P_i(S)$  ни  $S = S\left(\frac{d^2S}{d\varphi^2}\right)$  координаталар системасыда чизилади. Бунинг учун  $\frac{d^2S}{d\varphi^2} = \frac{d^2S}{d\varphi^2}(\varphi)$  ва  $S = S(\varphi)$  графикаларыннинг ўзгарувчи параметри  $\varphi$  ни графикавий усулда йүқотиб,  $S = S\left(\frac{d^2S}{d\varphi^2}\right)$  графикини чизалмиз (57-шакл,  $\partial$ ).

Турткічининг исталған вазиятдаги инерция кучининг қийматини  $S = S\left(\frac{d^2S}{d\varphi^2}\right)$  диаграммасидан олишимиз мүмкін.

Турткічининг инерция күчи  $P_i = P_i(s)$  нинг ўзгариш графиги тезләниш аналог графикидан фақат масштаби ва ишораси жиҳатидан фарқ қиласы.  $S = S\left(\frac{d^2S}{d\varphi^2}\right)$  графикини инерция күчи  $P_i = P_i(s)$  нинг графикиги деб қабул қиласы. Бунинг учун  $\frac{d^2S}{d\varphi^2}$  абсциссалар үқининг чап томонида  $P_i$  кучини белгиләймиз (57-шакл,  $\partial$ ). Кучнинг масштаби  $\mu_p = m_1 \cdot \omega_k^2 \cdot \frac{\frac{d^2S}{d\varphi^2}}{d\varphi^2}$  формуладан ҳисоблаб топилади.

Чизилган  $P_i = P_i(s)$  графикининг координаталар боши  $O$  дан инерция күчи графикининг мусбат қисмiga  $0 - I$  уринма ўтказамиз. Турткічини кулачок профилидан ажратувчи, яғни кулачок марказидан йұналған күч инерция кучининг мусбат йұналиши деб аталади.

Бу  $0 - I$  уринма чизиқ  $s_k$  ордината чизигининг охирдан чизилған абсциссаға горизонтал қилиб чизилған чизиқнинг  $I$  кесмасини белгилайди.  $I$  кесма күч масштабида пружинанинг максимал күчи  $P_{\text{пр}, \max}$  нинг кесмасини билдиради.

Ү ҳолда, пружинанинг кераклы максимал эластиклик күчи құйыдагы аниқланади:

$$P_{\text{пр}, \max} = \bar{l} \cdot \mu_p \cdot n. \quad (145)$$

Пружинанинг бикрлик коэффициенти

$$C_1 = \frac{P_{\text{пр. max}}}{S_k} \cdot \frac{n}{mm} \quad (146)$$

бўлади. Демак, пружинанинг  $P_{\text{пр}} = P_{\text{пр}}(s)$  кучи графиги тўғри чизиқ бўлиб,  $\frac{d^2s}{d\varphi^2}$  абсцисса ўқига нисбатан

$$\alpha = \arctg \frac{c_1 \mu_s}{\mu_p} \quad (147)$$

бурчак остида йўналган.  $P_{\text{пр}} > P_n$  шарт бажарилиши учун кулачокнинг барча бурилиш бурчакларида  $P_{\text{пр}} = P_{\text{пр}}(S)$  тўғри чизиқ  $P_n = P_n(S)$  графигидан катта бўлиши керак.

Булар турткичнинг кўтарилиш ва қайтиш вазиятлари учун ҳисобланаб, энг катта қиймат қабул қилинади.

Айрим ҳолларда, турткич кулачокдан доимо ажралмаслиги учун пружина олдиндан  $S_0$  қийматга тенг деформация билан сиқиб қўйилади.

У ҳолда пружинанинг бикрлик коэффициенти қўйидаги формуладан аниқланади (57-шакл,  $\delta$ ):

$$c_1 = \frac{P_{\text{u max}}}{S_k - S_1 + S_0} = \frac{m_T \cdot a_{\text{max}}}{S_k - S_1 + S_0} \quad (148)$$

бу ерда  $S_1$  — турткич  $S_k$  графигининг охири билан унинг  $a_{\text{max}}$  қийматни нуқтагача бўлган оралиғи.

Демак, пружинани дастлабки  $S_0$  қийматгача сиқиш натижасида унинг  $c_1$  қийматини камайтириш мумкин.  $c_1$  нинг қийматини турткичнинг ҳаракат қонунига қараб ўзгартириш мумкин.

Агар коромисло турткичли кулачокли механизм учун пружина характеристикасини танлаш зарур бўлса,  $S = S(\varphi)$  графиги ўрнига  $\beta = \beta(\varphi)$  графиги,  $\frac{d^2s}{d\varphi^2} = \frac{d^2s}{d\varphi^2}(\varphi)$  графиги ўрнига  $\frac{d^2\beta}{d\varphi^2} = \frac{d^2\beta}{d\varphi^2}(\varphi)$  графиги, масса  $m_T$  ўрнига инерция моменти  $I^2$ ,  $h_{\text{max}}$  ўрнига  $z_{\text{max}}$ ,  $P_{\text{пр. max}}$  ўрнига эса  $M_{\text{пр. max}}$  олинади. Ҳисоблаш юқорида кўрсатилган тартибда бажарилади.

Мисол 57-шакл,  $a$  да кўрсатилган тарелкали турткичи бўлган кулачокли механизм пружинасининг қўйида берилган параметрларга мос характеристикасини танлаш талаб қилинади: 1) турткичнинг ҳаракат қонуни (55-шакл,  $a$ ) да тўғри туртбурчаклик шаклидаги  $\frac{d^2s}{d\varphi^2} = \frac{d^2s}{d\varphi^2}(\varphi)$  графиги; 2) турткичнинг максимал кўтарилиши  $h_{\text{max}} = 0,035$  м; 3) турткичнинг кўтарилиш вазиятида кулачокнинг бурилиш бурчаги  $\varphi_k = 60^\circ$ ; 4) кулачокнинг бурчагий тезлиги  $\omega_k = 10,46 \frac{\text{рад}}{\text{сек}}$ ; 5) турткичнинг масаси  $m_T = 0,2$  кг.

Ечиши: 1) графикавий усул ёрдамида турткичнинг кутарилиш вазиятидаги  $\frac{d^2S}{d\varphi^2} = \frac{d^2s}{d\varphi^2}$  ( $\varphi$ ) диаграммаси икки марта интеграллаб, унинг  $S = S(\varphi)$  силжиш диаграммасини чизамиз (55-шакл, а, б, в) да интегралланган диаграммалар кўрсатилган;

2)  $S = S(\varphi)$  графиги (57-шакл, г) билан  $\frac{d^2s}{d\varphi^2} = \frac{d^2S}{d\varphi^2}$  ( $\varphi$ ) графикидан (57-шакл, в) ўзгарувчи  $\varphi$  параметри графикавий усулда йўқотиб,  $S = S\left(\frac{d^2s}{d\varphi^2}\right)$  графигини чизамиз (57-шакл, д);

3)  $S = S\left(\frac{d^2s}{d\varphi^2}\right)$  графикининг  $\frac{d^2s}{d\varphi^2}$  абсцисса ўқининг чап томонида  $P_{ii}$  кучини белгилаб,  $P_{ii} = P_{ii}(S)$  графикини ҳосил қиласиз. У ҳолда,  $P_{ii}$  кучининг масштаби

$$\mu_p = m_t \cdot \omega_k^2 \cdot \mu_{\frac{d^2s}{d\varphi^2}} = 0,2 \cdot 10,46^2 \cdot 0,002 = 0,0438 \frac{\text{Н}}{\text{мм}}$$

бўлади;

4) турткичнинг кулачок профилидан ажратишга сабаб бўлувчи инерция кучи  $P_{ii}$  нинг максимал қийматини аниқлаймиз:

$$P_{ii\max} = l_a \cdot \mu_p = 60 \cdot 0,438 = 2,63 \text{ Н};$$

5) пружинанинг керакли максимал кучи;

$$P_{pr\max} = \bar{l} \cdot \mu_p = 126 \cdot 0,0438 = 5,52 \text{ Н};$$

6) пружинанинг бикрлик коэффициенти;

$$c_1 = \frac{P_{pr\max}}{S_k} = \frac{\bar{l} \cdot \mu_p}{\bar{S} \cdot \mu_s} = \frac{126 \cdot 0,0438}{17,5 \cdot 0,002} = 0,158 \frac{\text{Н}}{\text{мм}};$$

7) агар пружина олдиндан

$$S_0 = 0,3 \cdot h_{\max} = 0,3 \cdot 0,035 = 0,0105 \text{ м}$$

га сиқиб қўйилса, пружинанинг бикрлик коэффициенти қиймати қўйидагича бўлади

$$c_2 = \frac{P_{ii\max}}{S_0 + S_k - S_1} = \frac{2,65}{10,5 + 35 - 17,5} = 0,094 \frac{\text{Н}}{\text{мм}}.$$

### КУРСАВИЙ ЛОЙИХА ТОПШИРИҚЛАРИ

Лойиҳа З лист ва ҳисоблаш-түшунтириш хатидан иборат бўлиб, уни ўқитувчи беради. Кечки ва сиртқи бўлимларниң студентлари эса ўзларининг зачет дафтарлари шифрига мос келганини оладилар. Студент шифрнинг охирига рақамига кўра топшириқнинг рим рақами билан ёзилган турини ва охириги-

дан олдингі рақамында күра эса топшириккіннің вариантыннан. лаб. олади. Масалан, шифр 1731765 булса, студенттің лойи-хаси V тур, 6-вариант бұлади.

Курсавий лойиҳа құйидаги тартибда бажарылыш керак.  
I лист — ричаглы механизмларни структуралық, кинемати-  
калық да кинетостатикалық текшириш.

II лист — тишилі редуктор лойиҳалаш да унның кинематикалық  
текшириш.

III лист — кулачоклы механизмлар лойиҳалаш.

Хар бир листтің ұсисблаш-тушунтириш хаты құйидаги  
тартибда бажарылыш керак: 1) сарлавча; 2) курсавий лойи-  
хасыннан бажарылыш зарур бұлған асосий масалалари; 3) кириш  
сузи, лойиҳалашдан күзланған мақсад да унның халқ хұжали-  
гидаги ақамияти; 4) асосий параметрларнің ұсиси да өзимес-  
ларнің өзимесліктеріннен; 5) ұсиса да фойдаланылған ад-  
дайт рұйхати.

Лойиҳа өзеви стандарт  $203 \times 288$  форматты оқ қофознан  
бір бетиге сиёх билан өзилади. Бетлар номерлапиб, беттіңшіг  
чап томондан 3—4 см жоғ қолдирилади: бұл жоға ұсисблаш  
натижалари өзилади. Өзевда механизмнің схемасы, ұсисблаш  
шартлары да берилген параметрлер күрсатылади. Ұсисблаш  
формулалардан фойдаланишда, аввал, формула өзилади да  
формуладаги ұрғыларнің сондықтап қойылады; умумий  
ұсисблаш натижасы да ұсисбланған параметрларнан үлчов бир-  
лиги өзилади.

Лойиҳаның графикалық қисмы 24-форматты листта бажа-  
рилған, схема өзимеслары қаламда өзилади. Өзимеслар асосий  
өзимеслардың йүгөн, ёрдамчы өзимеслардың өзимеслардың  
берилген параметрлер күрсатылади. Барча өзимесларнің сондықтап қойылады;  
шартлардан берилген параметрлер күрсатылади. Шу талабларға риоя қилинмайды.

Курсавий лойиҳаның өңешшілдегі ишни бажарылышда фойдаланыл-  
ған назарий материалдар суралады да, бағолы зачет қойылады.

Китобда берилген топшириқтар шартлы бўлиб, унның ҳаж-  
мини ўзгартириш мумкин.

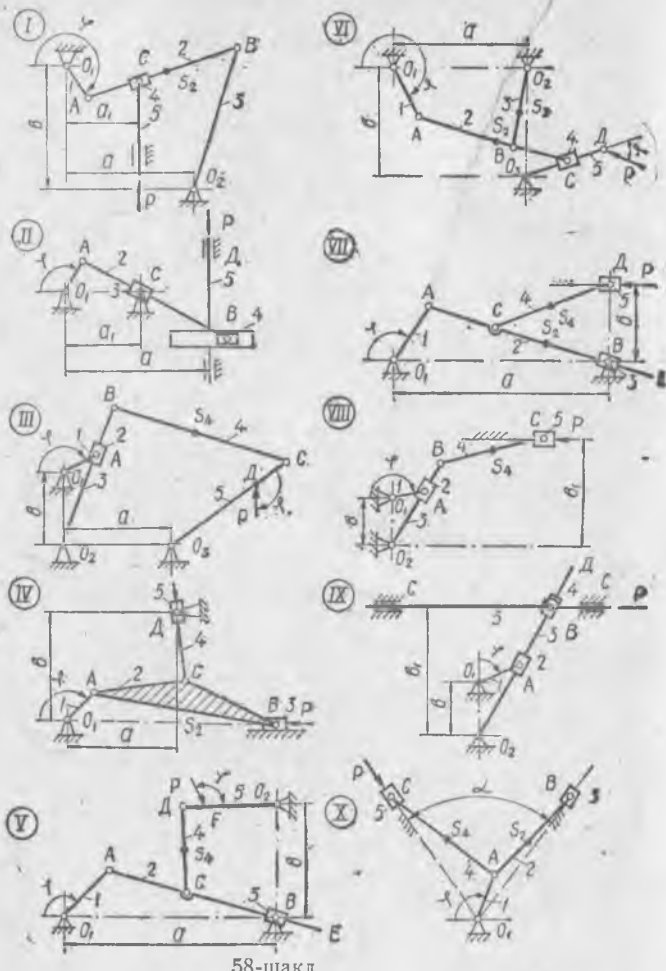
## I ЛИСТ

### РИЧАГ-ШАРНИРЛІ МЕХАНИЗМНІҢ СТРУКТУРАСЫ, КИНЕМАТИКАСЫ ДА КИНЕТОСТАТИКАСЫНЫҢ ТЕКШИРИШ

Берилган: звеноларнің узунлигиги, етакчи звенонинг бури-  
лиш бурчаги  $\phi$  да унның айланиш частотаси  $n_1$ , мин $^{-1}$ . Меха-  
низмнің схемасы да үлчамлары 58-шакл да бўлганда кел-  
тирилган. Хар қайси звенонинг оғирлик маркази унның түлиқ  
узунлигининг ўртасида жойлашган.

Талаб қилинади: I. Механизмнің структурасыннан тек-  
шириш: 1) етакчи звенонинг берилган бурилиш бурчаги  $\phi$  бў-

**Риңағылыш механизмдер**



58-шакл.

Лічіма механизмнінг схемасини чизиш; 2) механизмнінг құзғалувчанлық дарражасини ҳисоблаш; 3) механизмни Ассур группаларига ажратиб, уннінг классини анықлаш ва механизмнінг түзилиш формуласини ёзиш.

**МЕХАНИЗМНИ КИНЕМАТИКАВИЙ ТЕКШИРИШ**

1. Механизмнінг 12 вазиятда туриш плани чизилиб, уннінг барча нүкталариппінг траекториясы чизилади.

2. Тезликлар плани чизилиб, уннінг барча нүкталарининг чизиғиң тезлигі ҳисобланади. Етакчи звеноңнінг мазкур в-

Схематич ный тире	Звеноларниң үзүүлиги	Биргэлийн жагтадыр	Варианттар									
			0	1	2	3	4	5	6	7	8	9
I	$a = 3,5 \cdot O_1 A$	$O_1 A, \text{м}$	0,06	0,08	0,09	0,06	0,08	0,08	0,09	0,09	0,06	0,07
	$b = 3 \cdot O_1 A$	$\varphi, \text{град}$	0	30	60	90	120	150	210	240	270	300
	$a_1 = 2 \cdot O_1 A$	$n_1 \frac{\text{айл}}{\text{мин}}$	20	40	60	80	100	90	70	50	30	110
	$AB = 4 \cdot O_1 A$	$P, \text{Н}$	24,0	36,0	28,0	24,0	18,0	22,0	24,0	16,0	12,0	14,0
II	$a = 4 \cdot O_1 A$	$O_1 A, \text{м}$	0,10	0,09	0,05	0,11	0,04	0,06	0,08	0,08	0,07	0,09
	$a_1 = 2 \cdot O_1 A$	$\varphi, \text{град}$	330	300	270	240	210	150	120	90	60	30
	$AB = 4,5 \cdot O_1 A$	$n_1 \frac{\text{айл}}{\text{мин}}$	120	130	140	150	160	170	180	190	200	210
		$P, \text{Н}$	48,0	42,0	40,0	34,0	28,0	26,0	18,0	32,0	34,0	30,0
III	$a = 3 \cdot O_1 A$	$O_1 A, \text{м}$	0,09	0,06	0,12	0,11	0,08	0,09	0,08	0,10	0,06	0,08
	$b = 2 \cdot O_1 A$	, град	30	60	90	120	150	180	210	240	270	300
	$O_2 B = 4 \cdot O_1 A$	$n_1 \frac{\text{айл}}{\text{мин}}$	40	50	60	70	80	90	100	110	120	130
	$BC = 5 \cdot O_1 A$	$P, \text{Н}$	48,0	42,0	40,0	34,0	28,0	26,0	18,0	32,0	34,0	30,0
IV	$O_3 C = 4 \cdot O_1 A$	$\varphi, \text{град}$	120	100	90	80	70	60	50	40	90	80
	$a = 3 \cdot O_1 A$	$O_1 A, \text{м}$	0,06	0,09	0,05	0,06	0,07	0,08	0,05	0,07	0,09	0,08
	$b = 3,5 \cdot O_1 A$	$\varphi, \text{град}$	330	300	270	240	210	180	150	120	90	60
	$AB = 5 \cdot O_1 A$	$n_1 \frac{\text{айл}}{\text{мин}}$	50	70	90	110	130	140	160	170	180	20
V	$CE = 3 \cdot O_1 A$	$P_1, \text{Н}$	40,0	70,0	60,0	30,0	50,0	35,0	65,0	85,0	90,0	75,0
	$AC = BC$	$O_1 A, \text{м}$	0,08	0,03	0,04	0,05	0,06	0,08	0,10	0,12	0,07	0,09
	$BC = 2,6 \cdot O_1 A$	$\varphi, \text{град}$	300	270	240	210	180	150	120	90	60	30
	$DF = O_1 A$	$n_1 \frac{\text{айл}}{\text{мин}}$	100	120	140	160	180	200	150	130	110	170
	$DC = 3 \cdot O_1 A$	$P, \text{Н}$	120	180	160	100	300	310	240	260	210	220
	$D\Theta_2 = 2,5 \cdot O_1 A$	$\gamma, \text{град}$	120	100	90	80	70	60	50	40	30	20

5-жадвалнинг давомати

Схематичтүйн	Звеноларнинг узулиги	Гернидан калталик-лари	Вариантлар									
			0	1	2	3	4	5	6	7	8	9
VI	$a = 4 \cdot O_1 A$	$O_1 A, м$	0,12	0,05	0,03	0,04	0,11	0,10	0,06	0,09	0,07	0,08
	$b = 5 \cdot O_1 A$	$\varphi, град$	30	-60	90	120	150	210	240	270	300	330
	$AB = 4,5 \cdot O_1 A$	$n_1$ аил	30	50	70	90	110	130	150	170	150	210
	$AC = 5,5 \cdot O_1 A$	$n_1$ мин										
	$BO_2 = 3 \cdot O_1 A$	$P_1, н$	220	215	230	212	350	218	216	240	125	240
VII	$O_3 D = 2,5 \cdot O_1 A$	$\gamma, град$	120	100	90	80	70	60	50	40	30	20
	$a = 4 \cdot O_1 A$	$O_1 A, м$	0,05	0,09	0,08	0,06	0,04	0,02	0,08	0,12	0,10	0,11
	$b = 2 \cdot O_1 A$	$\varphi, град$	300	270	240	220	180	150	120	90	60	30
	$AE = 5,2 \cdot O_1 A$	$n_1$ аил	40	60	80	100	120	140	160	180	200	220
	$AC = 2 \cdot O_1 A$	$n_1$ мин										
VIII	$CD = 3 \cdot O_1 A$	$P, н$	100	200	50,0	200	160	245	270	250	280	165
	$b = 2,5 \cdot O_1 A$	$O_1 A, м$	0,08	0,10	0,20	0,22	0,10	0,18	0,16	0,12	0,15	0,16
	$O_2 B = 4 \cdot O_1 A$	$\varphi, град$	30	60	90	120	150	180	240	270	300	330
	$BC = 3,8 \cdot O_1 A$	$n_1$ мин	60	50	40	30	70	80	90	100	120	110
	$b_1 = 32, \cdot O_1 A$	$P, н$	100	120	140	150	180	160	200	170	130	110
IX	$b = 2,5 \cdot O_1 A$	$O_1 A, м$	0,04	0,05	0,06	0,04	0,10	0,12	0,14	0,16	0,18	0,20
	$b_1 = 4 \cdot O_1 A$	$\varphi, град$	330	30	60	270	90	240	120	210	180	0
	$n_1$ аил	$n_1$ мин	60	70	80	50	40	30	90	100	80	60
	$O_2 D = 5 \cdot O_1 A$	$P, н$	200	300	400	350	250	220	320	360	340	260
	$AB = 3 \cdot O_1 A$	$O_1 A, м$	0,07	0,08	0,09	0,10	0,11	0,12	0,13	0,14	0,15	0,06
X	$AC = 3,0 \cdot O_1 A$	$\varphi, град$	30	60	90	120	180	210	240	270	300	360
	$n_1$ аил	$n_1$ мин	4000	5000	6000	4500	3500	5500	6500	4000	3000	500
	$A_1 C = 3,0 \cdot O_1 A$	$\alpha, град$	60	80	100	60	80	100	90	120	70	50
		$P, н$	1500	1600	1700	1800	1900	1400	1750	1850	1650	1550

зияти учун барча звенолар бурчагий тезланишларининг қиймати ва уларнинг йўналиши аниқланади.

3 Тезланишлар плани чизилиб, унинг барча нуқталарининг чизигий тезланишларини ҳисобланади ва механизм звенолари бурчагий тезланишларининг қиймати ва йўналиши аниқланади.

4 Механизм нуқтаси  $S_4$  траекториясининг эгрилик радиуси аниқланади ва эгрилик айланаси чизилади.

### МЕХАНИЗМНИНГ КУЧЛАРИНИ ҲИСОБЛАШ

1. Механизм звеноларининг инерция кучлари ва инерция кучларининг моментлари ҳисобланади. Звеноларининг массаси  $m = ql$  формула билан ҳисобланади. Бу ерда  $q$ —звенонинг Сир метр узунлигига тўғри келган массаси  $q=5,0$  кг/м қилиб олинади,  $l$ —звенонинг узунлиги, м.

Звенонинг ҳаракат текислигига тик ва оғирлик марказидан ўгувчи уққа нисбатан инерция моменти қўйидагича ҳисобланади:

$$I_s = 0,1 \cdot ml^2$$

Ползуннинг массаси  $m = 2 \cdot m_1$  деб олинади, бу ерда  $m_1$ —егаки звенонинг массаси.

2. Звеноларнинг тебраниш нуқталари аниқланади ва бу нуқталарга механизм звеноларининг „натижаловчи“ инерция кучи кучириб қўйилади.

3. Механизмнинг барча кинематикавий жуфтларида ташқи кучлар ва инерция кучлари таъсиридан ҳосил бўлган реакция кучлар аниқланади.

4. Етакчи звенога таъсир этувчи Р куч кучлар плани тузиш йули билан ва Н. Е. Жуковскийнинг „бикр ричаг“ усули билан ҳисобланади ва олинган натижалар бир-биринга таққослаб кўрилади. Уларнинг бир-биридан фарқи 5 % дан ошмаслиги керак.

---

### II ЛИСТ

### ТИШЛИ РЕДУКТОР ЛОЙИҲАЛАШ ВА УНИ ТЕКШИРИШ

Берилган оддий ва планетар поғоналардан иборат редукторнинг кинематикаси ҳисобланади. Тишли ғидирлаклар 4 ва 5 дан тузилган оддий узатманинг эволъвентавий профиллари чизилади.

Редукторнинг схемаси 59-шаклда ва унинг ўлчамлари 6-жадвалда келтирилган. Схемада кўрсатилган марказий ғидирлак 1, 3 лар сателлит 2(2-2') ва водило Н планегар узат-

## 6 - жадсаса

Редуктор нинг түрі	Катталиклар	Варианттар									
		0	1	2	3	4	5	6	7	8	9
I	$n_5$ , айл/мин	64	80	128	53,3	53,3	45	60	30	30	51,5
	$z_1$	13	14	15	16	17	13	14	15	16	17
	$z_2$	26	28	30	32	34	39	42	45	48	51
	$z_2'$	13	14	15	16	17	13	14	15	16	17
	$z_3$	52	56	60	64	68	65	70	75	80	85
	$a_W$ , мм	189	195	135	105	133	51	110	150	69	165
	$u_{4,5}$	2,5	2,0	1,25	3,0	3,0	2,0	1,5	3,0	3,0	1,75
	$m$ , мм	6	5	5	2,5	3,5	2	4	3	1,5	6
II	$n_5$ , айл/мин	300	200	150	120	200	240	133	120	200	240
	$z_1$	24	26	25	26	28	28	26	26	28	26
	$z_2$	33	32	34	36	36	38	40	40	34	36
	$z_2'$	21	22	23	22	22	22	24	22	24	22
	$z_3$	78	80	82	84	86	88	90	88	86	84
	$a_W$ , мм	140	175	205	260	175	168	276	318	258	168
	$u_{4,5}$	1,67	2,68	3,31	4,20	2,5	2,11	3,84	4,3	2,44	2,11
	$m$ , мм	5	5	5	5	5	6	6	6	6	6
III	$n_5$ , айл/мин	250	214	375	300	375	250	187,5	300	214	375
	$z_1$	19	20	21	22	23	24	18	17	19	20
	$z_2$	57	60	58	59	60	61	56	55	60	60
	$z_2'$	19	20	19	22	23	24	18	17	19	25
	$z_3$	95	100	98	103	106	109	92	89	98	105
	$a_W$ , мм	109	109	66	74	92	89	105	84	113	79
	$u_{4,5}$	3,19	3,5	2,14	2,7	2,17	3,24	4,25	2,65	3,71	2,16
	$m$ , мм	2	2	2	2	2	2	2	2	2	2

6-жадвалнинг давоми

Рекупер нинг турн	Катталиклар	Вариантлар									
		0	1	2	3	4	5	6	7	8	9
IV	$n_6$ , айл/мин	1200	857	984	1200	1430	857	1000	2000	857	1200
	$z_1$	20	18	26	14	19	22	17	24	23	20
	$z_2$	28	30	40	26	34	36	25	38	30	40
	$z_2'$	20	22	20	21	26	26	20	22	21	22
	$z_3$	68	70	86	61	79	84	62	84	74	82
	$a_W$ , мм	180	162	141	120	111	162	117	84	207	165
	$u_{4,5}$	2,87	4,4	4,22	3,21	2,70	4,4	3,33	2,11	3,93	4,24
V	$m$ , мм	3	3	3	3	3	3	3	3	3	3
	$n_5$ , айл/мин	750	1000	857	1200	667	1000	750	1200	1000	1000
	$z_1$	42	34	29	30	21	25	20	20	25	30
	$z_2$	20	20	21	21	20	21	30	40	30	20
	$z_3$	82	74	71	72	61	67	80	100	85	70
	$a_W$ , мм	134	128	116	108	180	122	180	144	262	150
	$u_{4,5}$	2,35	1,90	2,41	1,7	3,5	2,21	4,0	3,0	2,54	2,0
VI	$m$ , мм	4	4	4	4	4	4	4	4	4	4
	$n_5$ , айл/мин	400	417	333	543	286	500	500	333	333	400
	$z_1$	21	20	20	25	22	18	30	28	35	40
	$z_2$	20	30	40	20	36	24	20	20	20	20
	$z_3$	61	80	100	65	94	63	70	63	75	80
	$a_W$ , мм	185	200	230	195	385	190	260	275	270	285
	$u_{4,5}$	3,35	3,0	3,6	2,54	4,31	2,45	2,85	4,23	4,4	3,75
	$m$ , мм	5	5	5	5	5	5	5	5	5	5

## 6 - жадвалнинг ўзоми

Резултат нинг турни	Катталиклар	Вариантлар									
		0	1	2	3	4	5	6	7	8	9
VII	$n_{50}$ , айл/мин.	156,5	60	120	120	144	96	93	83	103	68,5
	$z_1$	20	20	20	23	22	18	16	15	14	18
	$z_2$	26	40	20	23	33	27	43	30	35	45
	$z_3$	72	100	60	69	88	72	102	75	84	108
	$a_W$ , мм.	108	170	146	168	144	190	150	180	165	240
	$u_{4,5}$	2	4	3	3	2	3	2	3	2	3
	$m$ , мм.	4	4	4	4	4	5	5	5	5	5
VIII	$n_{50}$ , айл/мин.	240	320	360	480	576	288	720	412	360	412
	$z_1$	32	30	22	16	20	18	24	18	20	28
	$z_2$	16	15	44	32	30	27	28	21	15	21
	$z_3$	64	60	110	80	80	72	80	60	50	70
	$a_W$ , мм.	376	336	312	280	288	400	264	426	432	420
	$u_{4,5}$	4,0	3,0	3,33	2,5	2	4	1,54	2,69	2,86	2,5
	$m$ , мм.	8	8	8	8	8	8	8	8	8	8
IX	$n_{50}$ , айл/мин.	667	1200	2400	1200	750	750	2000	1200	857	750
	$z_1$	80	60	70	64	65	84	85	56	75	72
	$z_2$	40	80	30	16	35	21	30	14	35	18
	$z_3$	25	20	25	12	15	14	25	21	20	12
	$z_4$	65	50	65	60	45	77	80	63	60	66
	$a_W$ , мм.	216	234	252	162	213	216	219	189	165	357
	$u_{4,5}$	3,0	2,0	2,23	2	1,29	2,13	2,65	2,5	1,75	2,13
	$m$ , мм.	6	6	6	6	6	6	6	6	6	6

6-жадвалнинг давоми

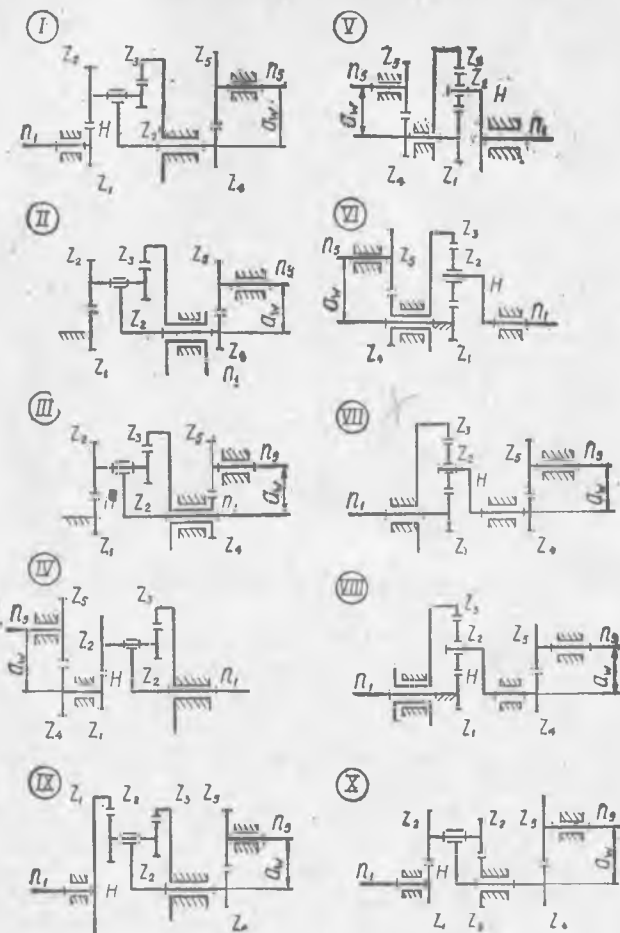
Редуктор нинг түрі	Катталиклар	Вариантлар									
		0	1	2	3	4	5	6	7	8	9
X	$n_{50}$ , айл. мин.	144	57,5	192	120	72	32	720	4975	9000	6000
	$z_1$	24	20	20	30	20	20	60	20	30	25
	$z_2$	36	70	40	60	80	80	40	21	31	26
	$z_3$	12	20	20	30	40	20	25	20	30	25
	$z_4$	48	70	40	60	60	80	75	21	31	26
	$a_w$ , мм	270	370	360	425	485	420	270	320	405	340
	$u_{45}$	2	2,22	3	4	4	3	2	2,76	2,24	3
	$m$ , мм	10	10	10	10	10	10	10	10	10	10

мани, тишли ғилдираклар 4, 5 эса оддий узатмани ташкил қиласи.

Құйидаги параметрлар берилади: етакланувчи звеноны ғилдирак 5 нинг айланиш частотаси  $n_5$ ; планетар узатма ғилдираклари  $z_1, z_2, z_2', z_3$  тишиларининг сони; оддий узатма ғилдираклари орасидаги масофа  $a_w$  ва унинг узатиш сони  $u_{45}$ . Барча ғилдиракларнинг илашиш модули  $m$  бир-бирига тенг қилиб олинади.

Талаб қилинади: 1) планетар узатма ва редукторнинг узатиш сонлари  $u_{pl}, u_p$  ни аниқлаш; 2) электрик двигателнинг (етакчи ғилдиракнинг) айланиш частотаси  $n_1$  ни аниқлаш; 3) оддий узатма ғилдираклари тишиларининг сонини ҳисоблаш; 4) редуктор ғилдиракларининг бошланғич айланаси ва водило радиусларини ҳисоблаш топиш, унинг схемасини иккى проекцияда  $\mu_e$  масштабда чизиш; 5) ғилдираклар 4 ва 5 нинг асосий геометрик параметрлари (илашиш қадами, бўлиш айланаси буйлаб тишининг қалинлиги  $S$ , бошланғич  $r$  ва асосий  $r_a$  айланалар радиуси, шунингдек, тиши каллаги  $r_a$  ҳамда тиши оёғи  $r_f$  буйлаб утказилган айланаларнинг радиусларини ҳисоблаш; 6) бир жуфт ғилдирак тишилари илашмасини чизиш, бунда узунлик масштабини шундай танланадики, тишининг баландлиги 50 мм дан кам бўлмасин, ҳар бир ғилдирак учун камидан 3 та тишининг профили чизиб кўрсатилади; 7) чизмада назарий ва ҳақиқий илашиш чизиги ва ёйини, тишиларнинг иш профиллари ва илашманинг асосий параметрларини кўрсагиш;

*ГИШЛІР*  
планетар механизмлор схемасы



59-шакл.

8) ғилемдірек 4 тишининг профилини графоаналитикавий усулда чизиш ва графикавий усулда чизилған тиши профили билан таққослаш; 9) графикавий ва аналитикавий усуллар билан илашманинг қопланиш коэффициенти өни анықлаш.

### III ЛИСТ

#### КУЛАЧОКЛИ МЕХАНИЗМЛарНИ ДИНАМИКАВИЙ ЛОЙИХАЛАШ

Лойиҳалаш учун қўйидаги параметрлар берилади.

1) Турткичнинг

$$\frac{d^2s}{d\varphi^2} = \frac{d^2s}{d\varphi^2} (\varphi) \quad \text{ёки} \quad \frac{d^2\beta}{d\varphi^2} = \frac{d^2\beta}{d\varphi^2} (\varphi)$$

диаграммаси шаклидаги ҳаракат қонуни; 2) тургич силжиғанда кулачокнинг  $\varphi_k$ ,  $\varphi_y$ ,  $\varphi_k$  бурилиш бурчаклари; 3) кулачокнинг айланиш частотаси —  $n_k \text{ мин}^{-1}$  4) турткичнинг максимал силжиши  $h_{\max}$ ; 5) эксцентриситет —  $e$ , 6) босим бурчаги —  $\alpha$ .

Кулачок схемасининг тури 51-шаклда ва турткичнинг ҳаракат қонуни 52-шаклда, унинг асосий параметрлари эса, 7-жадвалда келтирилган. Талаб қилиниади: 1) тезланишининг аналогини графикавий интеграллаб, турткичнинг тезлик ва силжиши графикларини чизиш; 3) силжиши, тезлик ва тезланиши графикларининг масштабларини аниқлаш; 2) кулачокнинг минимал радиуси  $r_{0 \min}$  ни аниқлаш; 4) тургич ролигининг радиуси  $r_p$  ни аниқлаш.

#### ГРАФИКАВИЙ ҚИСМ

1. Турткичнинг берилган ҳаракат диаграммаси

$$\frac{d^2s}{d\varphi^2} = \frac{d^2s}{d\varphi^2} (\varphi) \quad \text{ёки} \quad \frac{d^2\beta}{d\varphi^2} = \frac{d^2\beta}{d\varphi^2} (\varphi)$$

ихтиёрий масштаб бўйича чизилади.

2. Турткичнинг ҳаракат диаграммасини графикавий усул билан интеграллаб,

$$\frac{ds}{d\varphi} = \frac{ds}{d\varphi} (\varphi) \quad \text{ва} \quad S = S(\varphi) \quad \text{ёки}$$

$$\frac{d\beta}{d\varphi} = \frac{d\beta}{d\varphi} (\varphi) \quad \text{ва} \quad \beta = \beta(\varphi)$$

диаграммалар чизилади.

3. Кулачокли механизминг турига қараб, ўзгарувчан параметрларнинг „биттасини йўқотиш“ усули билан

$$S = S\left(\frac{ds}{d\varphi}\right) \quad \text{ёки} \quad S = S\left(\frac{d^2s}{d\varphi^2}\right)$$

графиклари чизилади.

4. Кулачокнинг назарий профилининг минимал радиуси  $r_{0 \min}$  аниқланади. Агар кулачокли механизм коромислоли бўлса, ку-

## 7- жадвал

Диаграмма нин Схемини Типи		Ассоции хисоб- лаш параметр- лары	Вариантлар									
			0	1	2	3	4	5	6	7	8	9
I	A	$\varphi_k = \varphi_n$ , град.	100	90	80	70	110	120	140	150	75	60
		$\varphi_y$ , град.	10	20	30	40	10	10	20	0	25	40
		$h_{max}$ , м	0,030	0,018	0,020	0,024	0,023	0,030	0,040	0,035	0,025	0,020
		$n_k$ , айл/мин.	500	450	400	350	300	250	200	325	340	260
		$e$ , м.	0,01	0,01	0,02	0,01	0,02	0,01	0,02	0,01	0,02	0,01
II	B	$\varphi_k = \varphi_n$ град.	150	140	130	120	110	100	90	80	75	120
		$\varphi_y$ , град.	0	10	20	30	40	50	20	10	25	20
		$h_{max}$ , м	0,025	0,030	0,025	0,020	0,020	0,025	0,010	0,024	0,012	0,016
		$n_k$ айл/мин.	425	450	475	300	350	375	400	400	500	325
		$e$ , м	0	0,010	0,020	0,020	0,010	0	0,015	0,025	0,025	0,020
III	A	$\varphi_k = \varphi_n$ град.	80	90	60	100	70	110	120	130	140	150
		$\varphi_y$ , град	20	10	30	20	10	40	30	10	20	0
		$h_{max}$ , м	0,030	0,035	0,020	0,030	0,026	0,018	0,020	0,025	0,022	0,016
		$n$ , айл/мин.	200	225	250	275	300	325	350	375	400	450
		$e$ , м	0,015	0,010	0,020	0,015	0,010	0,020	0,015	0,010	0,020	0,010
IV	B	$\varphi_k = \varphi_n$ град.	125	150	100	130	120	100	110	90	80	70
		$\varphi_y$ , град.	25	10	40	20	30	40	20	40	30	50
		$h_{max}$ , м	0,044	0,050	0,060	0,055	0,050	0,042	0,040	0,030	0,025	0,032
		$n_k$ айл/мин.	400	450	500	425	550	600	350	300	275	325
		$e$ , м.	0,026	0,018	0,016	0,014	0,010	0	0,015	0,020	0	0,025
V	C	$\varphi_k = \varphi_n$ град.	120	100	88	108	112	96	104	90	80	120
		$\varphi_y$ , град.	60	40	80	24	36	70	22	40	30	20
		$\beta_{max}$ , град.	20	30	35	15	25	30	40	30	20	18
		$L_{O_T A}$ , град.	0,130	0,100	0,110	0,120	0,108	0,130	0,140	0,150	0,100	0,096
		$\alpha$ , град.	45	45	45	50	50	50	48	46	45	48

7- жадвалнинг давоми

		Диаграмма- ниг турн Схемалнг турни	Асосий хи- соблани параметрларлар	Вариантлар									
				0	1	2	3	4	5	6	7	8	9
VI	C		$\varphi_k = \varphi_{k_1}$ , град.	72	78	84	90	96	102	108	114	120	120
			$\varphi_y$ , град.	60	50	40	90	30	36	54	12	30	48
			$\beta_{\max}$ , град.	20	30	25	28	18	22	24	26	32	34
			$l_{O_T A}$ , м.	0,064	0,080	0,083	0,086	0,097	0,108	0,110	0,126	0,120	0,130
			$\alpha$ , град.	45	45	45	46	48	50	45	50	48	46
VII	C		$\varphi_k = \varphi_{k_1}$ , град.	112	108	104	100	96	90	80	110	120	180
			$\varphi_y$ , град.	46	54	62	70	86	90	30	20	10	0
			$\beta_{\max}$ , град.	15	20	25	22	28	18	24	30	32	34
			$l_{O_T A}$ , м.	0,130	0,126	0,120	0,110	0,100	0,090	0,080	0,090	0,110	0,110
			$\alpha$ , град	45	50	50	45	46	48	46	45	50	45
VIII			$\varphi_k = \varphi_{k_1}$ , град.	80	90	100	110	120	130	140	150	100	90
			$\varphi_y$ , град.	40	30	20	10	20	10	0	0	30	40
			$h_{\max}$ , м.	0,020	0,022	0,024	0,026	0,028	0,030	0,035	0,032	0,018	0,016
			$n_k$ , айл/мин.	200	225	250	275	300	325	350	375	400	450
			$e$ , м	0,010	0,015	0,020	0,016	0,018	0,022	0,015	0	0,010	0,015
IX	A		$\varphi_k = \varphi_{k_1}$ , град.	110	75	85	95	105	100	90	110	120	130
			$\varphi_y$ , град.	20	25	15	35	15	10	20	0	10	0
			$h_{\max}$ , м.	0,030	0,035	0,020	0,015	0,050	0,025	0,020	0,015	0,030	0,020
			$n_k$ , айл/мин.	400	450	500	550	600	625	650	475	600	425
			$e$ , м.	0,012	0,010	0,020	0,025	0,015	0,025	0,020	0	0,010	0,020
X	B		$\varphi_k = \varphi_{k_1}$ , град.	100	80	60	120	140	160	130	110	90	105
			$\varphi_y$ , град.	40	50	60	30	20	0	10	20	30	25
			$h_{\max}$ , м	0,020	0,030	0,040	0,032	0,036	0,028	0,025	0,030	0,020	0,030
			$n_k$ айл/мин.	600	300	550	250	500	350	450	400	375	325
			$e$ , м	0,010	0,020	0,030	0,010	0,015	0,025	0,010	0,015	0,018	0,014

лачок билан коромислонинг айланиш марказлари оралиғи  $L_{0_{\text{от}}}$  аниқланади.

5. Кулачокнинг назарий профили чизилади.  
6. Турткич ролигининг радиуси  $r_p$  аниқланади.  
7. Механизмнинг берилган вазияти учун алмаштирилган механизм чизилади.

8. Кулачокнинг ҳақиқий профили чизилади.  
9. Алмаштирилган механизмнинг қутбий тезлик ва тезланиши планлари тузилиб, турткичнинг тезлик ва тезланиши аниқланади.

10. Алмаштирилган механизмнинг қутбий тезлик ва тезланиш планларидан топилган, турткичнинг берилган вазиягдаги тезлик ва тезланиш қийматлари  $\frac{ds}{d\varphi} = \frac{ds}{d\varphi}(\varphi)$  ва  $\frac{d^2s}{d\varphi^2} = \frac{d^2s}{d\varphi^2}(\varphi)$  диаграммасидаги қийматлар билан таққосланади.

11. Турткичнинг берилган ҳолати учун босим бүрчаги  $\alpha$  нинг қиймати графикавий усул билан аниқланади.

Изоҳ: 1. Схема — A нинг барча варианatlари учун  $\alpha_{\max} = 30^\circ$  қилиб олинади.  
2. Схема — C нинг кулачогининг айланиш частотаси  $n_k = 60 \dots 100$  айл/мин қилиб олинади.

## АДАБИЁТ

1. Артоболевский И. И. Теория механизмов и машин. М., „Наука“, 1975.
2. Кожевников С. Н. Теория механизмов и машин. М., „Машиноведение“, 1969.
3. Юдин В. А., Петрокас Л. В. Теория механизмов и машин. М., „Высшая школа“, 1967.
4. Усмонхўжаев Ҳ. Ҳ. Механизм ва машиналар назарияси. „Ўқитувчи“ нашриёти, Т., 1970.
5. Кореняко А. С. и др. Курсовое проектирование по теории механизмов и машин. Киев, „Высшая школа“, 1970.
6. Курсовое проектирование по теории механизмов и машин. Под редакцией проф. Артоболевского С. И. М., „Высшая школа“, 1960.
7. Теория механизмов и машин. „Проектирование“, под общей редакцией Кульбачного О. И. М., „Высшая школа“, 1970.
8. Безвесельный Е. С. Курсовое проектирование по теории механизмов и машин в примерах. Харьков, 1960.
9. Костюк Д. И., Голдаева О. И., Яковлев Ю. В. Руководство к курсовому проектированию по теории механизмов и машин. Харьков, „Высшая школа“, 1956.
10. Иззатов З. Х. Методическая разработка к курсовому проектированию по теории механизмов и машин для студентов ВЗО, Ташкент, 1975.

## МУНДАРИЖА

Сүз бөши . . . . .	3
Кириш . . . . .	5
<b>I. Ричагли механизмлар лойиқалаш . . . . .</b>	<b>7</b>
1. Ричагли механизмларнинг турлари ва уларнинг техникада ишлатилиши . . . . .	7
2. Ричагли механизмларнинг түзилишини Ассур-Артоболевский усулни билди текшириш . . . . .	10
3. Механизм лойиқалашнинг асосий масалалари . . . . .	15
4. Ричагли механизм звеноларининг ўлчамларини аниқлаш . . . . .	16
5. Кривошип-коромислоли механизм лойиқалаш . . . . .	17
6. Кривошип ползууни механизм лойиқалаш . . . . .	19
7. Кулислии механизм лойиқалаш . . . . .	20
<b>II. Ричагли механизмларнинг кинематикасини тадқиқ этиш . . . . .</b>	<b>21</b>
1. Механизмни кинематикавий текшириш тартиби . . . . .	22
2. Механизм звеноларининг вазиятини аниқлаш . . . . .	22
3. Механизм звеноларининг айрим нұқталары траекториясини чи- зни . . . . .	23
4. Звено ҳамда кинематикавий жуфтешіг тезлік ва тезланиш- ларнинг аниқлашнинг асосий тәнгламалари . . . . .	24
5. Иккінчи клас, 1-тур группанинг тезлік ва тезланишларнини аниқлаш . . . . .	28
6. Иккінчи клас, 2-тур группанинг тезлік ва тезланишларнини аниқлаш . . . . .	34
7. Иккінчи клас, 3-тур группанинг тезлік ва тезланишларнини аниқлаш . . . . .	40
8. Диаграммавий (графикавий) усул . . . . .	44
<b>III. Машина ва механизмлар динамикаси . . . . .</b>	<b>52</b>
1. Механизм звеноларига таъсир этувчи күчлар . . . . .	52
2. Механизм звеноларидаги инерция күчларини аниқлаш . . . . .	51
3. Механизмларни кинетостатикавий ҳисоблаш . . . . .	60
4. Иккінчи клас, Ассур группаларини кинетостатикавий ҳисоблаш . . . . .	61
5. Ричагли механизмларнинг етакчи звеносини кинетостатикавий ҳисоблаш . . . . .	70
<b>IV. Текис ричагли шарнирли механизмларнинг структураси, ки- нематикаси ва кинетостатикавий текшириш . . . . .</b>	<b>74</b>
1. Механизмнинг структурасини текшириш . . . . .	75
2. Механизмнинг кинематикасини текшириш . . . . .	79
3. Механизмни кинетостатикавий ҳисоблаш . . . . .	89

А. Механизм звеноларининг инерция кучларини аниқлаш . . . . .	89
Б. Механизм звеноларининг умумий инерция кучлари қўйилган нуқтани аниқлаш . . . . .	91
В. Кинематикавий жуфтлардаги реакция кучларини аниқлаш . . . . .	92
Г. Етакчи звено кучларини хисоблаш . . . . .	97
Д. Мувозанатловчи $P_m$ кучини Н. Е. Жуковский усулни билан аниқлаш . . . . .	97
<b>V. Машинанинг берилган куч таъсиридаги ҳаракатини текшириш</b>	98
1. Келтирилган куч ва масса . . . . .	99
<b>VI. Тишли механизмлар лойиҳалаш</b>	104
1. Тишли механизминг техникада ишлатилиши ва улариниг турлари . . . . .	104
2. Тишли илашманинг асосий теоремаси . . . . .	105
3. Эволъвента ва унирг хоссалари . . . . .	105
4. Эволъвентавий илашманинг асосий параметрлари . . . . .	108
5. Гиддирек тишиларини коррекциялаш . . . . .	112
6. Коррекциялаш усуллари . . . . .	112
7. Тўғри тишли ташики илашмали узатма лойиҳалаш тартиби . . . . .	119
8. Тишли редуктор лойиҳалаш ва уни текшириш . . . . .	119
9. Ташиб илашмали эволъвента профилли гиддирек тишини ясаш . . . . .	122
10. Тишининг профилини графикавий усулда чизиш . . . . .	124
11. Тишининг профилини графоаналитикавий усулда чизиш . . . . .	125
<b>VII. Тишли узатмалариинг кинематикавий анализи</b>	129
1. Дифференциал тишли механизмларининг кинематикавий анализи . . . . .	131
2. Планетар тишли механизмларининг кинематикавий анализи . . . . .	136
3. Тишли механизмлариниң тезланишларини графикавий усул билан аниқлаш . . . . .	139
<b>VIII. Кулачокли механизм лойиҳалаш</b>	142
1. Лойиҳалаш тартиби . . . . .	144
2. Диаграмма маснитабларини аниқлаш . . . . .	147
3. Кулачокининг минимал радиусини аниқлаш . . . . .	148
4. Илгарилама-қайтар ҳаракатланувчи роликли турткичи бўлган марказий кулачокли механизм лойиҳалаш . . . . .	149
5. Марказий бўлмаган роликли кулачокли механизм лойиҳалаш . . . . .	150
6. Турткичи ролигининг радиусини аниқлаш . . . . .	152
7. Ҳақиқий кулачок профилини чизиш . . . . .	152
8. Алмаштирилган механизм чизишни ва турткичиниг тезлик ва тезланишини аниқлаш . . . . .	153
9. Алмаштирилган механизмнинг тезланишларини аниқлаш . . . . .	155
10. Илгарилама-қайтар ҳаракатланувчи тарелкали турткичи бўлган кулачокли механизм лойиҳалаш . . . . .	156
11. Кулачок профилининг минимал радиусини аниқлаш . . . . .	156
12. Кулачокининг профилини чизиш . . . . .	159
13. Алмаштирилган механизм чизишни ва турткичиниг тезлик ва тезланишини аниқлаш . . . . .	160
14. Роликли коромислоли турткичи тебранувчи бўлган кулачокли механизм лойиҳалаш . . . . .	161
15. Кулачок профилини чизиш . . . . .	166
16. Алмаштирилган механизм чизишни ва коромисло ролиги марказининг тезлик ҳамда тезланишларини аниқлаш . . . . .	166
17. Кулачокли механизм пружинасининг ҳарактеристикасини аниқлаш . . . . .	169
<b>Курсавий лойиҳа топшириқлари</b>	174
<b>Адабийт</b>	189

*На узбекском языке*

**ЗАФАР ХАСАНОВИЧ ИЗЗАТОВ**

**КУРСОВОЕ ПРОЕКТИРОВАНИЕ ПО ТЕОРИИ  
МЕХАНИЗМОВ И МАШИН**

Учебное пособие для студентов  
высших технических  
учебных заведений

*Ташкент „Ўқитувчи“—1979*

Махсус муҳаррир (жамоатчилик асосида) **А. Ҳамидов**

Нашриёт муҳаррири **А. С. Тўрахонов**

Бадиий муҳаррир **Ф. Некқадамбаев**

Тех. муҳаррир **Т. Золотилова**

Корректор **М. Махмудхўжаева**

ИБ № 1110

Теришга берилди 14.11. 1978 й. Босишга рухсат этилди 21.08  
1979 й. Формат 60×90<sup>1/16</sup>. Тип. қозози № 3, Кегли 10 шпон-  
сиз. Литературная гарнитура. Юқори босма усулида босилди.  
Шартли б. л. 12,0. Нашр.л. 10,0. Тиражи 12000. Зак. № 170.  
Баҳоси 50 т.

„Ўқитувчи“ нашриёти. Тошкент, Навоий кучаси, 30. Шарт-  
нома № 12-78.

Нашриётлар, полиграфия ва китоб савдоси ишлари облассы  
бошқармасининг Морозов номли босмахонаси. Самарқанд,  
У. Турсынов күчаси, 82. 1979 й.

Типография имени Морозова областного управления по де-  
лам издательств, полиграфии и книжной торговли.  
Самарканд, ул. У. Турсунова, 82.